

С.Н.ПОЛЕВОЙ В.Д.ЕВДОКИМОВ

Упрочнение **ме**таллов



Упрочнение металлов

СПРАВОЧНИК







ББК 34.65 П49 УДК 621.787.669 (035)

Рецензент лауреат Государственной премии СССР д-р техн. наук **В. Н. Лозовский**

Полевой С. Н., Евдокимов В. Д.

П49 Упрочнение металлов: Справочник. — М.: Машиностроение, 1986. 320 с., ил. — (Серия справочников для рабочих).

В пер. 1 р. 30 к.

Изложены сведения о современных методах упрочнения металлов; механических, термических, физико-химических, а также об областях их применения. Даны рекомендации по рациональному выбору наиболее эффективного метода и режимов упрочнения металлов с учетом экономии материалов, энергетических и трудовых ресурсов. Приведены примеры реализации методов упрочнения конкретных деталей и инструмента.

Для рабочих машиностроительных предприятий, может быть полезен учащимся ПТУ.

$$\Pi \frac{2704070000-273}{038(01)-86} 273-86$$

ББК 34.65 6П4

ОГЛАВЛЕНИЕ

Предисловие	4
Глава 1. КЛАССИФИКАЦИЯ МЕТОДОВ УПРОЧНЕНИЯ	_
МЕТАЛЛОВ	5
НЫМИ МЕТОДАМИ.	9
Упрочнение термическими методами	9
Упрочнение криогенными методами	72
Глава 3. УПРОЧНЕНИЕ ХИМИКО-ТЕРМИЧЕСКИМИ МЕ-	
ТОДАМИ	85
Насыщение соединениями углерода	85
Насыщение соединениями азота	114
Насыщение соединениями бора	136
Насыщение соединениями хрома Насыщение сложными соединениями ванадия, титана, цир-	155
кония, вольфрама, ниобия, серы, алюминия, кремния.	164
Обработка инструмента из быстрорежущей стали в атмо-	
сфере пара	183
Интенсификация процессов диффузионного насыщения.	184
Глава 4. УПРОЧНЕНИЕ ФИЗИЧЕСКИМИ И ФИЗИКО-	
ХИМИЧЕСКИМИ МЕТОДАМИ	188
Упрочнение методами электролитического осаждения и-	
растворения	188
Упрочнение методами химического осаждения из растворов Упрочнение методами лазерного воздействия	212 231
Упрочнение методами мазерного возденствия	239
Упрочнение методами наплавки легирующими металлами	244
Упрочнение методами электроискровой обработки	259
Упрочнение методами ионно-плазменной обработки.	268
Глава 5. УПРОЧНЕНИЕ МЕТОДАМИ ПЛАСТИЧЕСКОГО	
ДЕФОРМИРОВАНИЯ	278
Упрочнение методами поверхностного пластического дефор-	
мирования без использования внешнего тепла	278
Упрочнение энергией взрыва	294
Упрочнение методами электромеханической пластической обработки	298
Список литературы.	309
Предметный указатель	315
1*	3
1 T	- 3

ПРЕДИСЛОВИЕ

В справочник включены сведения о большинстве известных методов упрочняющей обработки металлов. Проанализированы многочисленные способы и процессы, выбраны наиболее эффективные и доступные для практического использования. Рекомендации приведены в виде конкретных режимов, составов, описаний, процессов. В случаях, где понимание процесса может быть затруднено, для лучшего восприятия технологии приведено краткое описание сущности физического или химического явления. В отдельных случаях приведены простейшие формулы для расчета параметров технологического режима, показан графиками характер изменения свойств обрабатываемого металла. При использовании изобретений приведены выдержки из их описаний, что позволит, при необходимости, воспользоваться авторской консультацией.

Справочник рассчитан на рабочих, непосредственно осуществляющих процессы упрочнения. Он может оказаться полезным заводским технологам при разработке технологической документации. Систематизация сведений и их содержание позволяют надеяться, что справочник будет полезен учащимся ПТУ.

КЛАССИФИКАЦИЯ МЕТОДОВ УПРОЧНЕНИЯ МЕТАЛЛОВ

Известные методы упрочнения условно можно разделить на шесть основных классов упрочнения (таблица): 1 класс — с образованием пленки на поверхности; 2 — с изменением химического состава поверхностного слоя; 3 — с изменением структуры поверхностного слоя; 4 — с изменением энергетического запаса поверхностного слоя; 5 — с изменением шероховатости поверхностного слоя; 6 — с изменением структур по всему объему металла.

с изменением энергетического запаса поверхностного слоя; 5—с изменением шероховатости поверхностного слоя; 6—с изменением структур по всему объему металла. Классы разделены на методы и процессы. Процессы могут выполняться при наличии или сочетании следующих внешних условий: в газовой среде; в жидкости; в пасте; без использования или с использованием теплоты при нормальном, повышенном или высоком давлении; в низком, среднем или глубоком вакууме; в атмосфере водяного, водогазового или ионного пара; в контролируемых атмосферах экзогаза или эндогаза; в электропроводящей или диэлектрической среде; в среде с поверхностно-активными или абразивными свойствами; в магнитном, электрическом, гравитационном или термическом поле. Внешние условия характеризуют специфические особенности технологического процесса, при которых осуществляется данный метод упрочнения. Сочетание условий открывает перспективу дальнейшего развития методов упрочнения металлов и повышения их эффективности.

условия характеризуют специфические особенности технологического процесса, при которых осуществляется данный метод упрочнения. Сочетание условий открывает перспективу дальнейшего развития методов упрочнения металлов и повышения их эффективности.

Любой экономически обоснованный метод упрочнения требует проверки типовой технологии в конкретных условиях для каждого вида упрочняемого изделия. Применяемость метода упрочнения металла определяют по основным факторам, характеризующим внешние и внутренние условия эксплуатации упрочненных изделий и технико-экономические возможности использования метода в сложившихся условиях и в перспективном периоде. В каж-

Классификация методов упрочнения металла

Класс и метод	Процесс
Упрочнение созданием пленки на поверхности	
Осаждение химической реакцией	Оксидирование, сульфидирование, фосфатирование, нанесение упрочняющего смазочного материала, осаждение из газовой
Электролитическое оса- ждение	фазы Хромирование, никелирование, электрофорез, никельфосфатирование, борирование, борохромирование, хромофосфатирофосфатирофосфатирофосфатирофосфатирофосф
Осаждение твердых осадков из паров	вание Электроискровое легирование, термическое испарение тугоплавких соединений, катодно-ионная бомбардировка, прямое электронно-лучевое испарение, реактивное электронно-лучевое испарение, элек-
Напыление износостой- ких соединений	трохимическое испарение Плазменное напыление порошковых материалов, детонационное напыление, электродуговое напыление, лазерное напыление
Упрочнение изменением химического состава поверхностного слоя металла	
Диффузионное насыщение	Нитрооксидирование, нитроцементация, карбонитрация, карбохромирование, азотирование, хромоазотирование, хромотитанирование, хромосилицирование, кромоалитирование, борохромирование, борирование, цианирование, сульфоцианирование, диффузионное никелирование, циркосилицирование, бороцирконание, легирование маломощными пучками ионов
Упрочнение изменением структуры поверхностно- го слоя	
Физико-термическая обработка Электрофизическая обработка	Лазерная закалка, плазменная закалка Электроимпульсная обработка, электро- контактная обработка, электроэрозионная обработка, ультразвуковая обработка

Π	p	0	Д	0	Л	ж	e	H	И	е	T	a	б	Л	И	Ц	ы
---	---	---	---	---	---	---	---	---	---	---	---	---	---	---	---	---	---

	TIPOGOUME IN CITATON A GLA
Класс и метод	Процесс
Механическая обработка	Упрочнение вибрацией, фрикционно-упрочняющая обработка, дробеструйная обработка, обработка взрывом, термомеханическая обработка, поперечно-клиновая прокатка, прокатывание, волочение, ре-
Наплавка л егированным металлом	дуцирование Газовым пламенем, электрической дугой, плазмой, лазерным лучом, пучком ионов
Упрочнение изменением энергетического запаса поверхностного слоя	
Обработка в магнитном поле	Электроферромагнитная обработка, обра- ботка в импульсном магнитном поле
Упрочнение изменением шероховатости поверхности	
Электрохимическое полирование Обработка резанием	Окунанием в ванну в струе электролита Шлифование, суперфиниширование, хо-
Пластическое деформирование	нингование Накатка, раскатка
Упрочнение изменением структуры всего объема металла	
Термическая обработка при положительных температурах Криогенная обработка	Закалка светлая, обычная, несквозная, сквозная, изотермическая, с самоотпуском, с подстуживанием, с непрерывным охлаждением, ступенчатая. Отпуск высокий, низкий Закалка с обработкой холодом с температуры закалки или охлаждение с нормаль-
	туры закалки или оклаждение с нормаль- ной температуры, термоциклирование

дом конкретном случае для каждого конкретного вида упрочняемого изделия на выбор и принятие обоснованного решения о целесообразности использования метода упрочнения влияет своя, специфическая группа факторов. Наиболее полная оценка приемлемости метода для данных условий возможна, когда рассматривается наиболее полное число факторов и связи между ними. С этой целью рационально изучить и классифицировать основные факторы, действующие в данных конкретных условиях.

Внедрение технологии упрочняющей обработки требует проведения большого комплекса подготовительных работ. В их числе — определение номенклатуры изделий, деталей и поверхностей, упрочнение которых целесообразно; выбор наиболее эффективного, экономически оптимального метода упрочнения, его экспериментальная проверка в лабораторных условиях; подготовка материальной базы — приобретение и изготовление стандартизованного и нестандартизованного оборудования, различных приборов и инструментов; подготовка производственных помещений и коммуникаций; накопление основных и вспомогательных материалов; обучение кадров, комплектование специализированных служб и производств, разработка технической документации и др.

УПРОЧНЕНИЕ ТЕРМИЧЕСКИМИ И КРИОГЕННЫМИ МЕТОДАМИ

УПРОЧНЕНИЕ ТЕРМИЧЕСКИМИ МЕТОДАМИ

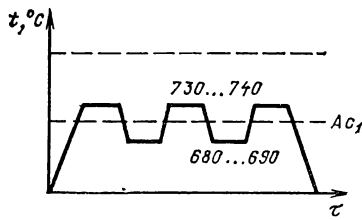
Отжиг. Для получения структур, близких к равновесному состоянию, применяют отжиг — нагрев стали до заданной температуры, выдержку при ней и последующее медленное охлаждение. В процессе отжига улучшаются механические свойства и выравнивается химический состав стали; улучшается обрабатываемость ее на станках; уменьшаются остаточные деформации; осуществляется подготовка структуры стали для последующей термической обработки, изменяются свойства наклепанного металла. По этим причинам отжиг как технологическая операция включается составной промежуточной частью в большинство комплексных технологических процессов упрочняющей обработки. Проведение операции отжига способствует достижению заданных конечных свойств стали, упрочняемой другими методами обработки.

Различают следующие виды отжига: рекристаллизационный, полный, неполный; отжиг на зернистый перлит (сфероидизация); изотермический; низкотемпературный;

диффузионный (гомогенизация).

Рекристаллизационный отжиг применяют для снятия наклепа холоднодеформированного металла. Нагрев при рекристаллизационном отжиге сталей марок У7, У8, У9, У10, У11, У12, У13, Х, 9ХС, ХВГ, 7Х3, ХВ4, 6ХВ2С осуществляют при 670—700 °С; марок Х12, Х12М, Х12Ф1 — 730—750 °С, а марок Р18, Р9 — 760—780 °С. При температуре рекристаллизации детали выдерживают не более одного часа.

Полный отжиг применяют для уменьшения твердости, снятия напряжений и исправления структуры после ковки в случае неправильного нагрева или охлаждения технологической оснастки, изготовленной из доэвтектоидных и эвтектоидных сталей. В результате полного отжига про-



Рис, 1. Схема циклического режима отжига

исходит полная перекристаллизация металла, структура получается мелкозернистая с равномерным распределением перлита и феррита. При полном отжиге сталь нагревают выше Ac_3 (см. табл. 25) на 20—30 °C, выдерживают до полного прогрева, после чего медленно затем с любой скоростью.

охлаждают до 600°C, a

охлаждают до 600 °С, а затем с любой скоростью. Неполному отжигу подвергают доэвтектоидную сталь, прошедшую правильный режим ковки. При этом сталь нагревают до температуры, находящейся между Ac_1 и Ac_3 , и выдерживают до полного прогрева. Режим охлаждения такой же, как при полном отжиге. Отжиг на зернистый перлит применяют для снижения твердости, улучшения обрабатываемости и подготовки структуры стали к последующей закалке. При таком отжиге проводят нагрев выше температуры Ac_1 на 10-25 °С и выдерживают до полного прогрева. Отжиг на зернистый перлит можно проводить по циклическому режиму (рис. 1). Отжигаемые изделия несколько раз попеременно выдерживают при температуре на 15-20 °С выше и ниже Ac_1 , после чего охлаждают с печью до 550 °С. Изотермический отжиг применяют для обработки легированных и высокоуглеродистых сталей. Назначение его такое же, как и полного отжига. При изотермическом отжиге доэвтектоидную сталь нагревают до температуры

его такое же, как и полного отжига. При изотермическом отжиге доэвтектоидную сталь нагревают до температуры выше Ac_3 на 30—50 °C, а заэвтектоидную сталь на 30—50 °C выше Ac_1 . Выдерживают до полного прогрева, затем быстро охлаждают до температуры несколько ниже Ac_1 , выдерживают при этой температуре, после чего охлаждают с любой скоростью. Для проведения изотермического отжига требуется меньше времени, чем для полного отжига. Для быстрого охлаждения изделие переносят в печь с меньшей температурой или охлаждают при открытой дверце с последующим выравниванием температуры. Режимы изотермического отжига приведены в табл. 1. Низкотемпературный отжиг применяют для снижения твердости и снятия внутренних напряжений в технологической оснастке из заэвтектоидных сталей. Изделие

	Темпе		
Сталь	нагрева	изотермической выдержки	Твердость <i>НВ</i>
У9, У10 У11, У12, У13 Х, ХВГ 9ХС, Х12М, Х12Ф1 Р18, Р9	740—750 750—780 770—800 850—870 830—850	600—650 620—660 670—720 720—750 720—750	170—197 187—207 190—228 217—255 217—255

1. Режимы изотермического отжига инструментальных сталей

нагревают несколько ниже Ac_1 (примерно до 680 °C, т. е. до температуры отпуска), выдерживают до полного прогрева, затем охлаждают вместе с печью или на воздухе. Процесс называют отжигом условно.

— Диффузионный отжиг применяют для крупных литых кубиков из штамповых сталей. При этом изделия нагревают выше Ac_3 на 150—250 °C и после длительной выдержки медленно охлаждают с печью. Цель процесса — устранение химической неоднородности и грубой структуры литых сталей. После диффузионного отжига необходим полный отжиг для устранения структурных изменений, вызванных перегревом.

ходим полный отжиг для устранения структурных изменений, вызванных перегревом.

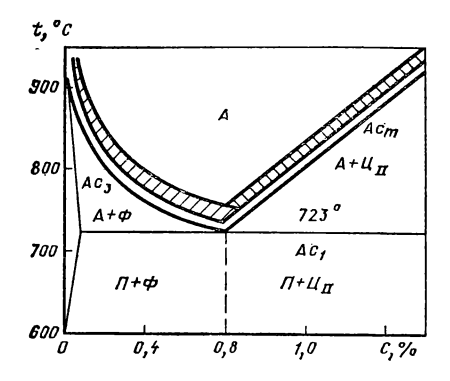
Для выбора режимов отжига различных инструментальных сталей следует использовать данные табл. 25. Скорость нагрева при отжиге должна быть такой, при которой обеспечивается равномерный нагрев всей садки, и для углеродистой и легированной стали принимается равной 100 °С/ч; для высокохромистой и быстрорежущей стали 50°C/ч.

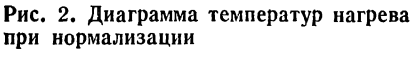
50 °С/ч.

Выдержка при отжиге составляет 1—2 ч в камерных печах и 2—4 ч в шахтных невентилируемых печах (из-за замедленного прогрева центральной части партии заготовок). Время выдержки в камерных печах отсчитывают от момента достижения температуры печи, равной температуре окончательного нагрева, определяемой по показаниям приборов. До этого момента происходит выравнивание температуры по всему объему садки.

Охлаждение после отжига проводят по одной из двух технологических схем:

технологических схем:





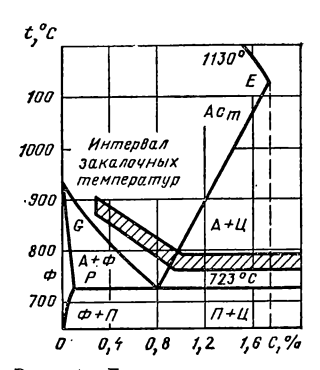


Рис. 3. Диаграмма закалочных температур для углеродистых сталей

І схема — непрерывное охлаждение с печью до 500 °C со скоростью 50 °С/ч для углеродистых сталей и 25—30 °С/ч для легированных и быстрорежущих; дальнейшее охлаждение проводят на воздухе, и скорость его не регламентируется. Отжиг с непрерывным охлаждением проводят в камерных и шахтных печах при общей массе партии заготовок более 300 кг;

II схема — охлаждение с изотермической выдержкой, дальнейшее охлаждение до 500 °С с печью, а затем на воздухе. Охлаждение от температуры отжига до температуры изотермической выдержки при этой схеме не регламентируется. Оно проволится при выключенной печи.

II схема — охлаждение с изотермической выдержкой, дальнейшее охлаждение до 500 °С с печью, а затем на воздухе. Охлаждение от температуры отжига до температуры изотермической выдержки при этой схеме не регламентируется. Оно проводится при выключенной печи. Дверцы открывать запрещается во избежание неравномерного охлаждения заготовок. Время на охлаждение с изотермической выдержкой составляет 1—2 ч для углеродистой стали, 3—4 ч для легированной, 3—8 ч для быстрорежущей. Изотермический отжиг следует проводить в камерных или шахтных печах с программным регулированием температуры.

нием температуры. Детали из сталей У7, У7А, У8, У8А, У10, У10А, У12, У12А сечением до 8 мм² (метчики сечением до 12 мм²) охлаждают в расплаве солей или щелочей, а сечением более 8 мм² — в 5—10 % -ном водном растворе поваренной соли или щелочи до температур, указанных в табл. 1. Отжиг инструмента из быстрорежущей стали в карбюризаторе или в чистом древесном угле не разрешается,

Содержание	Температура	Содержанне	Температура
углерода, %	нормализации, °С	углерода, %	нормализации, °С
0,1	От 920 до 940	0,8	От 775 до 790
0,2	» 890 » 910	1,0	» 830 » 850
0,4	» 850 » 870	1,2	» 900 » 920
0,6	» 800 » 820	1,4	» 950 » 970

2. Температуры нагрева при нормализации сталей

так как при этом происходит поверхностное науглероживание, в результате чего в процессе последующей закалки оплавляются режущие кромки. Отжиг такого инструмента проводят в контролируемой атмосфере, в отработанном карбюризаторе либо в угле с добавкой 10—15 % кальцинированной соды.

Нормализация. Процесс нагрева стали на 30-50 °C выше Ac_3 , выдержку при этой температуре и последующее охлаждение на спокойном воздухе называют нормализацией (рис. 2). Нормализацию применяют, в основном, для снятия внутренних напряжений и улучшения обрабатываемости стали. Практически температуру нормализации углеродистых сталей можно выдерживать в пределах, указанных в табл. 2.

Закалка. Операцию, при которой доэвтектоидную сталь нагревают на 20-30 °C выше Ac_3 , а эвтектоидную и заэвтектоидную стали на 20-30 °C выше Ac_1 и после выдержки при этой температуре быстро охлаждают в воде, масле или на воздухе в зависимости от состава стали, называют закалкой (рис. 3).

В результате закалки получаются неравномерные структуры, так как быстрое охлаждение препятствует фазовым превращениям. После закалки сталь становится твердой и хрупкой. Структура закаленной стали состоит из мартенсита, нерастворившихся карбидов и остаточного аустенита. Заэвтектоидную сталь не следует нагревать до закалки выше Ac_m , так как при этой температуре происходит перегрев и снижается качество технологической оснастки. Выбор способа закалки зависит от состава стали, требуемых свойств и сложности изделий. Различают следующие виды закалки: полная, неполная, с непрерывным охлаждением, изотермическая, ступенчатая, с подстужи-

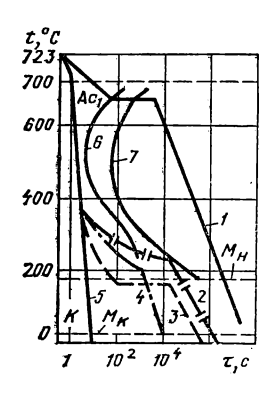


Рис. 4. Кривые охлаждения при различных способах термической обработки стади:

1 — изотермический отжиг; 2 — изотермическая закалка; 3 и 4 — ступенчатая закалка при температуре соответственно ниже и выше мартенситной точки; 5 — обычная закалка; 6 и 7 — соответственно начало и конец превращения

ванием, в двух жидких средах, с ограниченным пребыванием в охлажс самоотпуском, дающей среде, сквозная, несквозная, обычная, чистая, светлая, с обработкой холодом.

При полной закалке темперанагрева должна быть тура

 Ac_3 или Ac_m , при неполной долкритических точек интервале закалочных температур. жна находиться в Если закалку проводят со скоростью охлаждения выше критической, то структура стали после охлаждения состоит из мартенсита и остаточного аустенита, а если проводят со скоростью охлаждения ниже критической, то из ферритокарбидной смеси различной степени дисперсности (сорбит и троостит закалки).

Закалку с непрерывным охлаждением проводят в воде, масле и других средах, причем температура среды ниже мартенситной точки $M_{\rm H}$.

Режимы закалки и отпуска конструкционных сталей приведены в табл. 3; коррозионно-, кислото- и окалиностойких — в табл. 4; теплостойких — в табл. 5; пружинных — в табл. 6; цементуемых — в табл. 7.

При изотермической закалке (рис. 4) детали нагревают на 10-20 °C выше обычной температуры закалки, охлаждают в масле, в расплавленных солях или щелочах, имеющих температуру выше мартенситной точки $M_{\rm H}$, с выдержкой, достаточной для полного распада аустенита. В результате изотермической закалки уменьшаются напряжение и деформация, при этом резко снижаются трещинообразование и коробление. Ее применяют при изготовлении деталей сложной формы, крупных размеров и большой длины.

Режимы изотермической закалки конструкционной стали некоторых марок приведены в табл. 8. При ступенчатой закалке охлаждение от высокой тем-

пературы ведут в горячей среде (ванне) при температуре

3. Режимы термической обработки конструкционных сталей

	İ	Закали	Отпуск			
.	Темпе нагре	ература ева, °С		/pa,		
Марка стали	Первая закалка или нор- мализа- ция	Вторая закалка	Охлажда- ющая среда	Температура, °С	Охлажда- ющая среда	
		Углерод	истая			
30	870	_		250		
40	840					
4 5	830	_	Вода	450 350 250 160	Возду х	
50	810	_		500		
		Хроми	стая			
15X, 15XA 20X	880	770—820	Вода или масло	180	Возду х или масло	
30X	860	_	Масло	500	Вода или масло	
30XPA	900	860	Воздух	200	Возду х	
35 X 38 X A 40 X	860	_	Масло	500 550 500	Вода или масло	
45X 50X	840 830			520 520		
		Марганцо	вистая			
15Γ 20Γ	880	_	Воздух	-	-	
25Γ				560		
30Г 35Г 40Г	860	-	Вода или воздух	600	Возду х	
45Γ 50Γ	850	_		600		

Продолжение табл. 3

		Закалк	a		Отпуск			
	Темпе нагре	ратура вва, °С		pa,				
Марка стали	Первая закалка или нор- мализа- ция	Вторая закалка	Охлажда- ющая среда	Температура, °С	Охлажда- ющая среда			
10Γ2	920	_	Воздух	-	_			
30Г2	880			600				
35Γ2 40Γ2 45Γ2 5 0Γ2	870 860 850 840		Масло или возду х	650	Возду х			
Хромомарганцовая								
18ΧΓ 18ΧΓΤ 20 ΧΓΡ	880 880—950 880	870 —		200	Возду х или масло			
27ХГР	870	_	Масло (при		Воздух			
25XГТ 30ХГТ	880—950	850	950 °C — воздух)		Вода			
40ΧΓΤΡ 3 5ΧΓΦ	840 870	_		550 630	или масло			
25ΧΓM	860		-	200	Воздух			
	:	Хромокрем	иниевая					
33XC	920	-	Вода или масло	630	Вода или масло			
38XC 40XC	900	_	Масло	630 540	Масло			

Изотермическая закалка при 900—910 °C в селитре при 330—350 °C, затем охлаждение на воздухе

Хромомолибденовая и хромомолибденованадиевая

15XM		Воздух	650	Воздух
20XM	880	 Вода	500	
		или масло	j .	

Продолжение табл. 3

		Закалк	a	}	Отпуск
M	Темпе нагре	ратура ва, °С	_	ypa,	_
Марка стали	Первая закалка пли нор- мализа- ция			Температура, °С	Охлажда- ющая среда
30XM 30XMA	880	_		540	Вода или масло
35XM	850	-		560	
38XM			Масло	580	Воздух
30Х3МФ	870			620	Вода или масло
40ХМФА	860	_		580	Масло
		Хромована			
15ХФ	880	760—810	Вода или масло	180	Воздух или масло
4 0ΧΦΑ	000	_	или масло Масло	650	или масло Вода или масло
	' н	Іикельмоли	Ібденовая		•
15H2M	1	770-820	Масло	180	В озду х
20H2M	860				
20XH		760—810		180	
40XH 45XH 50XH	820	_	Вода или масло	500 530	Вода или масло
Хp	омоникеле	, вая и хроі	, моникелевая с	бором	•
20XPH	930950	780—830		200	Воздух
12XH2 12XH3Л	860	760—810	Масло	180	или масло
20XH3A	820	_		500	Вода или масло
12X2H4A 20X2H4A	860	760—800 780	Масло	180	Воздух или масло
30XH3A	820	_		530	Вода или масло
Хромокремн	емарганцо	вая и хрог	иокремнемарга	НЦОВОН	,
20ΧΓCA			!	500	
25XTCA	880	_	Масло	480	Вода
30ΧΓC 30ΧΓCA				540	или масло

Продолжение табл. 3

	1	Закалк	a		Отпуск
	Темпеј нагре	ратура ва, °С		/pa,	
Марка стали	Первая закалка или нор- мализа- ция	Вторая закалка	Охлажда- ющая среда	Температура, °С	Охлажда- ющая среда
	евой и на	триевой се	калка при 86 литры, имеющ на воздухе	30°C в ей темп	
35ХГСА	950	890	Воздух	230	Воздух
30ΧΓСΗ2Α	700	1	Масло	1 260	или масло
JUAI CHZA		_		200	
и хо			воникелевая вая с титаном	и бор	ом
15ХГН2ТА	960	840		180	Воздух или масло
20ΧΓΗΡ 20ΧΓΗΤΡ	930—950	780—830 850	Масло	200	Масло
38ХГН	850	_		570	Вода или масло
	Xpon	тоникельм о	олибденовая		
14X2H3MA	880	770		180	Воздух
20XH2M	860	780		200	Вода или мас ло
30 X H2MA				530	Воздух
38X2H2MA	870	_	Масло	580	Воздух или масло
40XH2MA 40X2H2MA	850 870	_		620 600	Вода или масло
38XH3MA	850	_		590	Воздух
18X2H4MA	950	860	Воздух	200	Воздух
25X2H4MA	850	_	или масло Масло	560	или масло Масло
Хромон	икельмоли	бденовая і	и хромоникель	ванади	евая
30ХН2МАФА	860			680	
36Х2Н2МФА 38ХН3МФА	850	_	Масло	600	Воздух
45ХН2МФА 20ХН4ФА	860 850	_		460 630	Масло Вода
Хромоал	Юминиевая	и хромоа	люминиевая с	молиб	ценом
38Х2Ю 38Х2МЮА	930 940	-	Вода	630 640	Вода
DONZIMION	940		или масло	040	или масло

4. Режимы термической обработки коррозионно-стойких, кислотостойких и окалиностойких сталей

	Зак	алка	Температура		
Сталь	Температура Охлажда- нагрева, °С ющая среда		отпуска (охлаждение на воздухе), °С	Твердость <i>HRC</i>	
12X13 20X13	950—1050		500—550 550—600	_ _	
30X13 40X13	1000—1050	Масло	200—225 200—300 550—600	48—50 50—55 —	
95X18 14X17H2	1000—1075		200—225 275—300 250—300 540—560	57—60 52—55 36—42 30—35	
17X18H9	1000—1050 1050—1100	Воздух	_		
12X18H9T	1100—1150		_		
06X18H11 08X18H12T 10X23H18	1050—1100	Вода	_ _ _	18	
36X18H25C2		Воздух	-		
45X14H14B2M 40X9C2 40X10C2M	1150—1200 1000—1050 1100—1150	Вода Масло Вода	800—830 750—780	=======================================	

5. Режимы термической обработки теплостойких сталей

Сталь	Температура нагрева, °С	Охла- ждающая среда	Температура отпуска или старения, °С
12MX	Нормализация 910—930	Воздух	670—690
12Х1МФ	Нормализация 960—980		700—750
20Χ1Μ1Φ1 T P	Закалка 970—990	Масло	680—720
20Х1М1Ф1БР	Нормализация 1030— 1050	Воздух	Ступенчатый отпуск 600— 3 ч; 700—720—6 ч

Продолжение табл. 5

Сталь	Температура нагрева, °С	Охла- ждающая среда	Температура отпуска или старения, °С
25Х1МФ	Закалка: вариант I — 880—900 вариант II — 930—950	Масло	640—660 620—660
25X2M1Φ	Нормализация: вариант I — 1030— 1050 вариант II — 950—970	Воздух	680—720
18X3MB	Закалка 950—970	Масло	660—680
20Х3МВФ	Закалка 1030—1060	Масло	660—700
15X5 15X5М 15X5ВФ 12X8ВФ	Отжиг 840—860	С печью	_

6. Режимы термической обработки пружинных сталей общего назначения

Сталь	Температура закалки, °С	Охлаждающая среда для закалки	Температура отпуска, °С
65 70	840 830	Масло	480
75 85	820		
У9А У10А, У12А	760—790 770—810	Масло (790—810) или вода (760—770)	300—420
60Г	840	Масло	480
65Γ, 70Γ	830		
55ГС 50С2 55С2, 55С2A	870	Масло или вода	460
60C2, 60C2A		Масло	420

Продолжение табл. 6

Сталь	Температура закалки, °С	Охлаждающая среда для закалки		
70C3A	860		460	
5 0ΧΦΑ, 50ΧΓΦΑ			520	
60C2XΦA	850	Масло	410	
65C2BA				
60C2H2A 70C2XA	880 870		420	

7. Режимы термической обработки конструкционных цементуемых сталей

Сталь	Операция	Темпера- тура на- грева, °С	Сталь	Операция	Темпера- тура на- грева, °С
10	Цемента- ция	900—920	18XF	Цемента- ция	880—900
	Закалка	780—800		Закалка	800—820
	в воде Отпуск	180-200	3	в масле Отпуск	180—200
20	Цемента- ция	900—920	15ХФ	Цемента- ция	920—940
	Закалка	780—800		Закалка	850—860
	в воде Отпуск	180-200		в масле Отпуск	180—200
1 5Γ	Цемента-	880—900	20ХГР	Цемента-	900—930
	ция Закалка	780—800		ция Закалка	830—850
	в масле Отпуск	180—200		в масле Отпуск	180—200
20Γ	Цемента-	880—900	18 X Г T	Цемента-	900—920
	ция Закалка	780—800		ция Закалка	800—820
	в масле Отпуск	180—200		в масле Отпуск	180—200
15X	Цемента-	900—920	18X2H4MA	Цемента-	900—920
	ция Закалка	780—820		ция Закалка	850—870
	в масле Отпуск	150—180		в масле Отпуск	180—200

Сталь	Операция	Темпера- тура на- грева, °С	Сталь	Операция	Темпера- тура на- грева, °С
12XH2	Цемента- ция Закалка в масле	900—920 790—800	12X2H4A	Цемента- ция Закалка в масле	900—920 780—800
12XH3A	Отпуск Цемента- ция Закалка в масле Отпуск	180—200 900—920 790—800 180—200	20X2H4A	Отпуск Цемента- ция Закалка в масле Отпуск	180—200 920—930 780—800 150—160

8. Режимы изотермической закалки некоторых конструкционных сталей

Сталь	Максимальная Темпера- толщина или диаметр изделия, мм грева, °C		Температура среды закалочной ванны, °С	Выдерж∢ ка в ванне, мин
25ΧΓΗ2ΤΑ 40Χ2Η2ΜΑ	Для изделий типа труб и пластин — 15 Для цилиндриче- ских изделий — 30		200—260 315—325	30—40 20—30
38X2H2MA	Для изделий типа труб и пластин — 25 Для цилиндрических изделий — 30	070 600	300—325	30—40
30ХГСА	Не более 15	870—890	370—400 * 360—390	15—20
30ХГСН2А	80—100	890—910	280—320 270—300 240—280	60

^{*} Чем больше сечение изделия, тем ниже температура закалочной ванны.

выше точки $M_{\rm H}$ до выравнивания температуры по всему сечению. Дальнейшее охлаждение проходит на воздухе. При этом происходит превращение аустенита в мартенсит. Ступенчатую закалку проводят двумя способами;

1) нагретое изделие охлаждают в горячей среде, температура которой на 20—30 °C выше температуры мартен-

Сталь	Температура закалки, °С	Температура изотер- мической выдержки в соляной ванне, °C	Твердость <i>HRC</i>
У7А	800—820	150—180	59—61
У8А, У9А	780—790		60—62
У10А, У12А	790—810		61—62
У13А	810—830		62—64
11ХФ	810—830		62—63
9XC	870—880	160—200	62—64
XBCr	860—875		62—63
XIC	860—870	160—180	61—63
XBL	830—850	160—200	
X	845—855	160—180	61—64
6XC	860—875	250—300	45—50
P9	1280—1300	400—500 (250—350)	60—61
P18	1240—1250	400—500 (250—350)	

9. Режимы ступенчатой закалки инструментальных сталей

Примечание. В скобках указаны температуры второй выдержки.

ситного превращения, а затем охлаждают на воздухе; после извлечения из горячей среды в период аустенитных превращений изделие можно править;

2) нагретое изделие охлаждают в горячей среде ниже температуры мартенситного превращения примерно на 160—190 °C, а затем на воздухе; при этом способе закалки править изделия невозможно из-за быстрого образования мартенсита, но по сравнению с обычной закалкой уменьшается брак из-за образования трещин и коробления.

На рис. 4 представлены некоторые кривые охлаждения, характеризующие различные способы термической обработки стали. Режимы ступенчатой закалки инструментальных сталей некоторых марок приведены в табл. 9.

Закалка с подстуживанием состоит в том, что перед погружением в охлаждающую среду изделие выдерживают на воздухе. Выдержку устанавливают опытным пу-

тем с таким расчетом, чтобы превращение аустенита не

тем с таким расчетом, чтооы превращение аустенита не началось до погружения изделия в охлаждающую среду. Во время закалки в двух жидких средах происходит быстрое охлаждение до температуры выше мартенситной точки и замедленное охлаждение ниже ее. Это достигается путем погружения изделия в воду и последующего перенесения его в масло (закалка «через воду в масло»). Время охлаждения в воде устанавливают для каждого вида

деталей опытным путем.

Закалку с ограниченным пребыванием в охлаждающей среде и дальнейшим охлаждением на воздухе проводят с таким расчетом, чтобы температура изделия при извлечении его из охлаждающей ванны была ниже мартенситной точки.

ной точки. Закалку с самоотпуском применяют в основном для ударного инструмента, изготовленного из углеродистой стали, твердость которого должна уменьшаться от рабочей части к хвостовику. Пребывание инструмента в охлаждающей среде ограничивают настолько, чтобы внутренняя часть сечения сохранила количество тепла, достаточное для отпуска наружных закалившихся слоев стали после извлечения инструмента из охлаждающей среды на воздух. На практике часто инструмент вторично погружают в охлаждающую среду, чтобы не допустить излишнего нагрева поверхности. При этом для оценки режима термического процесса руководствуются цветами побежалости грева поверхности. При этом для оценки режима термического процесса руководствуются цветами побежалости (например, при закалке зубил) или временем, установленным опытным путем для каждого типоразмера инструмента. Закалку с самоотпуском проводят в такой последовательности: нагревают инструмент до температуры закалки, опускают рабочую часть в воду до потемнения, вынимают инструмент, быстро зачищают рабочую часть шлифовальной шкуркой или напильником. При появлении цвета побежалости, соответствующего заданной температуре отпуска, инструмент охлаждают в масле или воле воле.

При сквозной закалке изделие прокаливают насквозь. Оно имеет практически однородную структуру (мартенсит и остаточный аустенит) и одинаковые свойства по сечению. При несквозной закалке сечение имеет неоднородную структуру (неравномерное распределение продуктов распада аустенита выше точки $M_{\rm H}$) и разные свойства.

Обычная закалка характеризуется наличием окислов на поверхности. Чистая закалка проводится при нагреве в печах с контролируемой атмосферой. В результате на поверхности изделий образуются пригары масла или цвета побежалости. Преимущество светлой закалки в расплавленных щелочах заключается в том, что деталь, прошедшая такой вид термообработки, имеет светлую поверхность, меньшее коробление и более высокую твердость.

Состав охлаждающей ванны выбирают в зависимости от требуемой рабочей температуры. Для закалки инструментальных сталей наиболее целесообразно применять смесь из 75 % едкого кали и 25 % едкого натра. Щелочь расплавляют в тигле из углеродистой стали. Коррозионностойкую сталь для тиглей применять не рекомендуется. Закаливающая способность ванны, работающей при температуре до 250 °С, повышается при перемешивании и зависит от количества введенной воды. Наибольшей охлаждающей способностью обладает смесь, содержащая 6—10 % воды.

При светлой закалке в расплавленной щелочи выполняют такие операции: подогрев в расплавленной поваренной соли при температуре 800—840 °C; нагрев под закалку в ванне при температуре на 10—20 °C выше соответствующей температуры закалки (ванны, имеющие в составе хлористый барий, для светлой закалки применять нельзя, так как последний загрязняет щелочную ванну; целесообразнее использовать хлористый кальций); охлаждение в расплавленной щелочи до полного выравнивания температуры при ступенчатой закалке и до окончания превращения— при изотермической (время выдержки в щелочной ванне при ступенчатой закалке принимают равным 15 с на 1 мм сечения); промывка в воде, имеющей температуру 70—90 °C; промывка в проточной воде; окунание в 2—5 %-ный водный раствор нитрита натрия, предохраняющего от коррозии.

храняющего от коррозии. Детали с твердостью HRC 60 и выше не следует после закалки в щелочной ванне сразу промывать в горячей воде, так как это может привести к растрескиванию и значительному короблению. В этом случае детали необходимо охлаждать примерно до 100 °C на воздухе, а затем промывать в горячей воде. Детали, подвергаемые свет-

лой закалке, не должны иметь следов жира во избежание появления в этих местах темных пятен.

В результате такого метода термообработки можно повысить качество детали благодаря минимальной деформации, снизить трудоемкость процесса и сократить время на термообработку.

Закалку с последующей обработкой холодом применяют для более полного разложения аустенита. При этом закаленную деталь дополнительно охлаждают ниже 0°С. Закалку с обработкой холодом выполняют в такой последовательности: нагрев до температуры закалки, закалка, дополнительное охлаждение до температур ниже 0°С, отпуск.

отпуск.

Особенности закалки инструментов рассмотрены ниже. Определяя необходимость разложения остаточного аустенита, нужно учитывать, что при наличии в структуре стали более 25 % остаточного аустенита твердость стали заметно снижается, а износостойкость возрастает. Положительное влияние на износостойкость оказывают мелкозернистая структура, наличие остаточного аустенита и отсутствие нерастворенных карбидов. Для обеспечения высокой абразивной износостойкости хрупкая и твердая структура не должна иметь карбидов: в мягкой и пластичной карбиды должны быть высокой степени дисперсности и распределены по всей матрице. В последние годы все шире применяются быстрорежущие стали с 1,05—1,15 % С и до 2,7 % V. Эти стали подвергаются аустенизации при 1190—1210 °C и отпуску при 540—570 °C (HRC 67—70). Второй отпуск проводится при температуре на 30 °С ниже, чем первый. Перед аустенизацией эффективен нагрев при 950 °C в течение 30 мин. Для повышения качества быстрорежущей стали карбиды в ее структуре должны быть дисперсными и равномерно распределенными. Температура нагрева должна точно регулироваться на всех стадиях ТО.

Закалка кобальтовых сталей типа Р9К5, Р9К10, Р12К8Ф2М3, Р6К8Ф2М5 с температур ближе к верхнему пределу оптимальной температуры и выдержке при нагреве под закалку не менее 8 с/мм сечения обеспечивает высокие режущие свойства режущих инструментов, например, резцов и фрез. Инструменты, закаленные с пониженных температур на 15—20 °С ниже оптимальной тем-

пературы, имеют низкие режущие свойства. Уменьшение времени выдержки при оптимальной температуре до 4 с/мм приводит к резкому снижению вторичной твердости и стойкости инструмента.

Температуру нагрева под закалку выбирают в зависимости от формы, размеров, назначения и условий нагружения детали. Температура нагрева зависит от состава стали, а также от положения критических точек Ac_1 и Ac_3 на диаграмме интервалов закалочных температур железоуглеродистых сплавов.

Нагрев под закалку проводят преимущественно в электропечах — ваннах в расплавах солей. Реже применяют печи сопротивления, газовые печи или установки ТВЧ. Данные для установления режима нагрева стальных изделий на установках ТВЧ приведены в табл. 10—12.

Для безопасной работы соляных ванн (устранения разбрызгивания расплавленных солей при загрузке влажных или холодных деталей) применяют ступенчатый нагрев под закалку. Инструмент из углеродистой и легированной

10. Глубина проникновения электрического тока в сталь в зависимости от частоты тока

	Глубина проникновения	(мм) при температуре, °С
Частота тока, Гц	15	800
50 500 2 500 10 000 50 000 250 000	10,0—5,0 3,0—1,5 1,5—0,7 0,70—0,35 0,30—0,15 0,15—0,07	70,8 22,0 10,0 5,0 2,2 1,0

11. Рекомендуемая частота электрического тока (Гц) для нагрева под закалку на заданную глубину

Частота	Глубина закаливания, мм						
тока	1,0	1,5	2,0	3,0	4,0	6,0	10,0
Наивысшая Наинизшая Оптимальная	250 000 15 000 60 000	100 000 7 000 25 000	60 000 4 000 15 000	30 000 1 500 7 000	15 000 1 000 4 000	8000 500 1500	2500 150 500

12. Температура нагрева ТВЧ некоторых предварительно отожженных нормализованных и улучшенных сталей в зависимости от времени аустенизации

Сталь	Температуј врем	Температура нагрева (°С) при суммарном времени аустенизации, с			
	10	3	1		
35	880—900	900—940	940—980		
	860—880	880—920	920—960		
	840—860	860—900	900—940		
40	860—880	880—920	920—960		
	840—860	860—900	900—940		
	820—840	840—880	880—920		
45, 50	850—870	870—910	910—950		
	830—850	850—890	890—930		
	810—830	830—870	870—910		
45Γ2, 50Γ	840—860	860—900	880—920		
	820—840	830—870	860—900		
	800—820	810—850	840—880		
65F	820—840	840—880	860—900		
	800—820	810—850	850—890		
	790—820	790—830	830—870		
40X, 45X	880—920	920—960	940—980		
40XHM	840—880	860—900	880—920		
40XH, 45XH	860—880	900—940	920 —960		
	820—840	840—880	860—900		
40XC, 30XΓC	920—940	940—980	960—1000		
	880—900	920—960	940—980		
ШХ15, ШХ12 9X ШХ6, ШХ9	890—930 850—870 880—920 840—860	920—960 880—920 900—940 860—900	940—980 900—940 920—960 880—920		
У8, У9, У10, У11,	780—800	820—860	840—880		
У12	760—780	800—840	820—860		
ХВГ	860—880	840—880	860—900		
	820—840	820—860	840—880		

	Первый п	одогрев	Второй подогрев		
Группа стали	Темпера- тура, °С	Отноше- ние	Темпера- тура, °С	Отноше- ние	
Углеродистая и леги-	400-500	1 1	-	_	
рованная Высокохромистая и	400—500	2:1	840—860	2:1	
быстрорежущая Быстрорежущая	400—500	2 1	1040—1060	1:1	

13. Отношение продолжительностей предварительного подогрева и окончательного нагрева стали под закалку

стали подогревают один раз для подсушивания и сокращения времени окончательного нагрева; инструмент из быстрорежущей стали подогревают дважды: первый подогрев проводят для подсушивания инструмента, второй — для предотвращения его деформации в процессе закалки.

Для крупногабаритного сложнофасонного инструмента применяют третий подогрев (при 1050 °C), после которого сокращается продолжительность окончательного нагрева при закалке, а следовательно, уменьшается обезуглероживание. Первый подогрев при закалке сталей Р12, Р18, Р18Ф2, Р18К5Ф2, Р14Ф4, Р10К5Ф5, Р9К5, Р9К10, Р6М3, У7, У7А, У8, У8А, У10, У10А, У12, У12А, Х12М, ХВГ, 9ХС проводят до температуры 400—500 °С, второй подогрев при закалке сталей Р12, Р18, Р18Ф2, Р14Ф2, Р10К5Ф5, Р9К5, Р9К10, Р6М3 — до 840—860 °С, а сталей Х12Ф1, Х12М, — до 800—820 °С.

Данные для расчета времени нагрева инструмента под закалку приведены в табл. 13—17, время прогрева заготовок в пламенной печи — в табл. 18.

Для повышения стабильности режущих свойств и износостойкости инструмента, изготовленного из вольфрамомолибденовых сталей типа P6M5, может быть использован следующий способ термической обработки быстрорежущей стали [а. с. 628178 (СССР)].

В целях повышения стабильности режущих свойств и износостойкости инструмент подвергают дополнительному высокотемпературному подогреву и последующему подстуживанию перед окончательной термообработкой. Сначала инструмент подогревают один или 2 раза при температурах ниже температуры окончательного нагрева,

14. Зависимость времени нагрева в различных средах от отношения объема заготовки V (см³) к ее поверхности F, см²

Среда	Темпера- тура, °С	Отношение	Время нагрева, мин
	850	0,50 1,00 1,50	4 15 32
Ванна из поваренной соли	950	0,50 1,00 1,50	3 11 22
	1050	0,50 1,00 1,50	2 7 14
	100	0,50 1,00 1,50	14 23 32
Масляная ванна	200	0,50 1,00 1,50	11 18 24
	300	0,50 1,00 1,50	8 14 19
	300	0,50 1,00 1,50	3,5 8 14
Ванна из смеси солей NaNO ₃ и KNO ₃ (1 1)	450	0,50 1,00 1,50	2,5 6 10
	600	0,50 1,00 1,50	1,4 4 7

Продолжение табл. 14

Среда	Темпера- тура, °С	Отношение	Время нагр ева, мин		
Свинцовая ванна	650—850	0,25 0,50 1,00 1,50 2,00 2,50	0,6—0,8 1,2—1,6 3—4 5,1—6,8 7,8—11,0 11—15		
	500	0,12 0,08	25 45		
Электрическая печь	750	0,12 0,08	20 26		
	900	0,12 0,08	15 22		

15. Продолжительность (мин) подогрева и окончательного нагрева инструментов и технологической оснастки под закалку

	Подогрев до тем	ипературы, °С		
Инструмент	550—600	800—850	Окончатель- ный нагрев под закалку	
Метчики, развертки, сверла, круглыс протяжки и другой стержневой инструмент	$\tau = bD$	$\tau = cD$	$\tau = aD$	
Фрезы, насадные развертки и зенкеры, у которых $\frac{D-d}{z} < h$. Круглые, а также накатные плашки и фрезы, у которых $\frac{D-d}{2} < h$	$\tau = b \frac{D - d}{2}$	$\tau = c \frac{D - d}{2}$	$\tau = a \frac{D - d}{2}$	
Круглые протяжки из легированных сталей, нагреваемые в электрической печи	$\tau = b (d + 4)$	_	$\tau = d + 4$	

Продолжение табл. 15

	Подогрев до тем		
Инструмент	550—600	800 850	Окончатель- ный нагрев под закалку
Шпоночные протяжки	$\tau = b (h + 4)$		$\tau = h + 4$
Молотовые штампы и штампы для холодного деформирования стали	au = bh	$\tau = ch$	$\tau = ah$

Обозначения: D — диаметр режущей части инструмента, мм; d — диаметр отверстия инструмента, мм; h — высота и толщина, мм; a, b, c — коэффициенты (см. табл. 16).

16. Значения коэффициентов а, b, c (мм/мин) для расчета продолжительности нагрева инструментов под закалку

Материал инструмента	Қоэффи- тнент	Соляная ванца	Печь перио- дического действия
Углеродистая сталь	a	0,10—0,17 0,30—0,35 (без подо- грева) 0,30—0,40	0,7—0,8 1,2—1,5 (без подо- грева) 1,4—2,5
Легированная сталь	a b	0,30—0,40 0,15—0,20 0,30—0,40	1,4—2,5 1,0—1,2 1,4—2,5
Высоколегированная сталь типа X12, X12M	a b	0,17—0,18 0,30—0,40	0,4—0,5 1,4—2,5
Быстрорежущая сталь типа P18 и P9	c a	0,30—0,35 0,9—0,12	0,8—1,1 0,25—0,35

Примечание. Если ванна не соляная, а свинцовая, то коэффициент а для углеродистой стали составляет 0,1 (без подогрева).

затем подогревают в соляной ванне при температуре на 40-50 °C выше оптимальной температуры закалки, выдерживают при этой температуре 10-60 с (в зависимости от диаметра или толщины инструмента), переносят в соляную ванну с температурой 850-1050 °C, подстуживают в ней около 2 мин и после этого подвергают закалке и отпуску.

	продолжительности (И	выдержки
от сечения при	закалке углеродистой	стал	И		

		амен- печь		іяная Сина	_	Пламен- ная печь		Соляная ванна	
Размер прогре- ваемого сечения, мм	Нагрев	Выдержка	Нагрев	Выдержка	Размер прогре- ваемого сечения, мм	Нагрев	Выдержка	Нагрев	Выдержка
25 50 75 100	20 40 60 80	5 10 15 20	7 17 24 33	3 8 12 17	125 150 175 200	100 120 140 160	25 30 35 40	40 50 55 65	20 25 30 35

Примечания: 1. Для легированной стали продолжительность нагрева и выдержки должна быть увеличена на 25—40 %.
2. Температура печи должна быть на 10—30 °С выше заданной

температуры закалки.

18. Время (мин) подогрева цилиндрических и квадратных заготовок в пламенной печи

Темпе- ратура печи и заготов- ки, °С	Цилиндр	Квадрат	Дилиндр Дилиндр	ф. Надрат	т т Цилиндр	ж Квадрат	Цилиндр	ж Квадрат	Цилиндр			
	2	5	E	50	7	5	1	00	150	2.00	250	300
300 500 650 750 900 1000 1100 1200	20 14 13 11 9 7	- 14 13 - 11	37 32 31 21 25 25 23 20	35 25 25 25	62 47 47 47 32 35 31 30	- 50 42 - 32	70 70 60 40 40	70 70 70 40	200 120 90 80 70	250 160 120 110 100	350 200 180 160 120	- 400 250 200 180 150

² Полевой С. Н. и др.

Время выдержки при первом нагреве при различных диаметрах (толщине) инструмента приведено ниже.

Подобная термическая обработка приводит к гомогенизации аустенита, равномерной по величине зерна структуре и стабильным механическим и эксплуатационным
свойствам инструмента.

Износостойкость инструмента при точении и фрезеровании труднообрабатываемых материалов повышается на 25—30 %.

Для предупреждения окисления и обезуглероживания, а также для уменьшения коробления и трещинообразования нагрев и охлаждение технологической оснастки, в том числе инструментов из углеродистой стали, проводят в соляных ваннах (исключение составляют отдельные виды специального инструмента, например, длинные протяжки, для которых нет стандартных электрических ванн необходимого размера). Во избежание обезуглероживания поверхности в процессе нагрева необходимо проверять

19. Скорость охлаждения стали в различных закаливающих средах

Закаливающая среда	Скорость охлаждения (°С/с) в интервале температур				
	·650—550	300-200			
Вода при температуре, °С:					
18	600	270			
25	500	270			
50	100	270			
75	30	200			
Мыльная вода	30	200			
Эмульсия масла в воде	70	200			
Вода, насыщенная углекислотой	150	200			
10 %-ный водный раствор при 18 °C:					
едкого натра	1200	300			
поваренной соли	1100	300			
соды	800	2 70			
5 %-ный раствор марганцевокислого ка-	450	100			
лия					
Керосин	160—180	40 —60			
Масло индустриальное	120	25			
Спокойный воздух	3	1			
Сжатый воздух	30	10			

химический состав солей, не применять соли, имеющие отклонения по составу от стандарта или $T\mathcal{Y}$, и периодически добавлять в ванну раскислители (буру, борную кислоту, фтористый магний).

Выбор среды для охлаждения зависит от марки стали, требуемой твердости, формы, размеров детали. По составу и свойствам все закалочные среды подразделяют на четыре группы: вода и водные растворы, масла, расплавленные соли и щелочи, воздух. Скорость охлаждения стали в различных средах приведена в табл. 19. Воду и водные растворы применяют при закалке деталей простой формы диаметром или толщиной от 8 до 12 мм из углеродистой стали. Температуру воды необходимо поддерживать примерно 18—25 °С. При температуре ниже 18 °С увеличивается скорость структурных превращений, что ведет к трещинообразованию. В случае повышения температуры воды свыше 25 °C и загрязнения ее маслами и мылом резко снижается охлаждающая способность в интервале 550— 650 °C, что приводит к образованию мелких пятен на поверхности закаленного инструмента. Детали сложной конфигурации из углеродистой стали охлаждают в двух средах: в воде до 250—300°C, а затем в масле. Продолжительность выдержки в воде до перенесения в масло составляет 1—2 с на каждые 6 мм диаметра или толщины изделия. Переносить деталь из воды в масло следует быстро во избежание отпуска. Масла имеют более низкую скорость охлаждения, чем вода. Охлаждение в масле проводят в интервале температур от 18 °С до температуры на 40—50 °С ниже температуры вспышки масла. Для сталей с устойчивым аустенитом (Р18, Р9, Х12М,

X12Ф1) охлаждающей средой служит воздух, подаваемый компрессором или вентилятором, либо спокойный воздух. компрессором или вентилятором, лиоо спокоиныи воздух. При охлаждении воздухом, подаваемым компрессором или вентилятором, перед закалкой проверяют, нет ли в воздухопроводе воды, так как попадание ее на изделие может быть причиной появления трещин.

Критический диаметр некоторых марок инструментальных сталей при закалке в различных средах приведен в табл. 20. Назначение и рекомендуемые составы соляных

ванн указаны в табл. 21.

Нагрев можно выполнять в «кипящем» слое. Для этого на под печи укладывают трубчатый змеевик для подачи

20. Критический диаметр (мм) инструментальных сталей при закалке в различных средах

		(Среда	
Сталь	Вода	Масло	Селитра	Воздух
У7, У7У У8, У8А У10, У10А У11, У11А	15—20	4—6	4—6	Не закаливается
У12, У12 A У13, У13A	10—12 10—20			
11ХФ	15—25 —	7—10 8—35	4—10 8—27	Не закаливается при диаметре инструмента свыше 20 мм Не закаливается
ХВСГ Х6ВФ Р9 Х12М	— — — Сплошная	80 80—100 — 80—100	80 80—100 — 80—100	25—30 — До 10 50—60
X12Ф1 9XC XBГ P18	прокали- ваемость То же » »	80—100 15—50 15—70 Сплошная прокали- ваемость	80—100 12—35 15—40	50—60 Не закаливается То же 10—15

 Π р и м е ч а н и е. Критический диаметр соответствует твердости HRC 60 в глубине образца и твердости HRC 62 и более на его поверхности.

21. Назначение и рекомендуемые составы соляных ванн для термообработки инструмента

		Состав ванны, % по массе				icce	y-	
Назначение состава ванны	Температур- ный интер- вал, °C	BCl ₂	MgF ₂	NaCl	NaNO2	NaOH ,	KNO3	Температу. ра плавл ния, °С
	Быстрорез	кущи	е ста	ЛИ				
Второй подогрев	840-860	68	2	30		_	_	650
под закалку	840-860	78		22	 		 	654
-	1040—1060	97	3	 		_		950
	1040—1060	100	-		 	_	—	960

Продолжение табл. 21

		С	остав	ванн	ы, %	по ма	acce	j ė	
Назначение состава ванны	Температур- ный интер- вал, °C	BCI ₂	MgF2	NaCl	NaNO2	NaOH	KNOs	Температу- ра плавле- ния, °С	
Окончательный нагрев под закалку Нагрев под светлую закалку	1200—1300 1200—1300 150—250	95 100 —	5 —	_	=	_ 25	=	940 960 140	
Охлаждение при ступенчатой за- калке	180—240	_	_	_	50	-	50	145	
Отпуск	150—300		l —	 —	45	_	55	137	
Высо	кохромистые	инст	руме	нталі	ные	стали			
Второй подогрев под закалку Окончательный нагрев под закалку Охлаждение при ступенчатой закалке	840—860 840—860 980—1050 980—1050 360—600 350—700	68 78 68 78 —	2 - - -	30 22 30 22 —		- - - 100		650 654 650 654 335 322	
Отпуск	400—560 400—560 400—560	111	_	_ 		15 100	100 85 —	335 226 328	
Углеродистые	Углеродистые и легированные инструментальные стали								
Нагрев под закал- ку	770—900 770—900 790—900 700—900	68 78 —	2 - 44	30 22 70 —	1 1 1	_ _ _ 56	_ _ _	650 654 730 655	

Примечания: 1. Для раскисления соляных ванн применяют буру 0,8—1 % или ферросилиций 0,5—1,5 % от массы соли.

2. Для раскисления щелочных ванн используют желтую кровя-

ную соль 0,2-0,5 % от массы щелочи.

3. В расплаве, применяемом для нагрева под закалку при 790—900 °С для углеродистых и легированных инструментальных сталей, содержится дополнительно к указанному количеству NaCl примерно 25 % КСl и 5 % примесей, а в расплаве для нагрева под светлую закалку при 150—250 °С, кроме 25 % NaOH, содержится еще 75 % КОH.

газовоздушной смеси. Печь оборудуют вытяжной системой вентиляции. Под печи заполняют частицами корунда размером 0,3—0,4 мм так, чтобы на поверхности змеевика образовался слой толщиной 1,5—2 толщины одного ряда обрабатываемых заготовок. Частицы во время работы на-

ходятся во взвешенном состоянии в газовоздушной смеси. Смесь сжигают с коэффициентом избытка воздуха 0,6—1,2. Высота плотного слоя обычно составляет 60—250 мм. Нагреваемые твердые частицы корунда, «бомбардируя» поверхность нагреваемого металла, ускоряют нагрев (скорость нагрева достигает 15 мм/мин). Коэффициент теплоотдачи составляет 550—600 Вт/(м²-с). В процессе нагрева поверхностные слои металла выгорают. Угар металла в «кипящем» слое составляет 0,2—0,25 %, а при нагреве в электропечах 1,0—1,7 %.

Высокое качество термической обработки обеспечивается при нагреве инструментальных сталей в вакууме. Нагрев в вакууме при давлении 10 Па и менее практически исключает окисление, науглероживание и обезуглероживание поверхности стальных изделий, благодаря чему этот способ нагрева особенно предпочтителен при технической обработке сталей, легированных хромом, титаном, цирконием, алюминием и марганием. В последние годы разработаны специальные установки, которые наряду с отжигом в вакууме дают возможность проводить при необходимости цементацию с последующей закалкой в различных средах. Современные вакуумные печи, работающие при температурах до 3000 °С, позволяют производить высококачественную термическую обработку различного инструмента из углеродистых, легированных и быстрорежущих сталей с высокой экономической эффективностью. Для закалки инструмента в жидких средах применяют многокамерные вакуумные печи шлюзового типа.

Преимущества термической обработки в вакууме инсттипа.

типа. Преимущества термической обработки в вакууме инструментальных сталей: чистота поверхности, снижение содержания газов, хорошая воспроизводимость результатов, меньшее коробление, повышенная стойкость инструмента. Инструментальные стали подвергают термической обработке в вакууме от 0,13 до 66,5 Па. При термической обработке в вакууме рекомендуется считаться с возможностью испарения легирующих элементов, в особенности Мо и Сг. Скорость испарения зависит от вакуума. Для стали с 14 % Сг при температуре 990 °С и вакууме 0,01 Па наблюдают снижение содержания Сг от 0,5 до 13,5 %. Поэтому в процессе термической обработки быстрорежущей стали вакуум 0,013 Па поддерживается

только при нагреве до температуры 850 °C; при температуре закалки 1220 °C в печь подводится азот при давлении от 13,3 до 66,5 Па. Тепловую изоляцию вакуумных печей закалки 1220 °С в печь подводится азот при давлении от 13,3 до 66,5 Па. Тепловую изоляцию вакуумных печей осуществляют с помощью графитоволокнистых материалов. Необходимую скорость охлаждения при закалке достигают принудительной циркуляцией атмосферы. Снижение температуры от 1220 до 550 °С при давлении (1,5—1,75)·10⁵ Па достигается за 2 мин. Для закалки быстрорежущей стали требуется большая скорость охлаждения, чем при закалке штамповой стали, поэтому давление газа должно быть большим. Температура нагрева быстрорежущей стали при закалке в вакуумной печи должна быть на 10—20 °С ниже; 12 % -ные Сг-содержащие стали с W или Мо можно также закаливать в вакуумной печи. Для ускорения отпуска в вакуумных печах детали нагревают и охлаждают в циркулирующем инертном газе. При охлаждении в поток газа автоматически вводят теплообменник. При необходимости отпуск может быть совмещен с операцией азотирования, которая проводится в смеси аммиака и эндогаза (50 50); при этом образуется слой карбонитридов в несколько микрон, обладающий высокой износостойкостью, под которым лежит диффузионный слой толщиной 100—200 мкм, обогащенный азотом.

Отпуск — процесс нагрева и выдержки закаленной стали при температуре на 20—30 °С ниже критической точки Ar₁. Во время отпуска происходят превращения мартенсита и остаточного аустенита, в результате чего уменьшаются внутренние напряжения и хрупкость, повышаются вязкость и пластичность стали.

вышаются вязкость и пластичность стали.

Отпуску необходимо подвергать все закаленные детали, кроме тех, которые прошли изотермическую закалку. В зависимости от требуемых температур отпуск проводят В зависимости от требуемых температур отпуск проводят в масляных или селитровых ваннах, в печах с принудительной циркуляцией воздуха, а также в ваннах с расплавленной щелочью (светлый отпуск). Отпуск технологической оснастки из углеродистой и легированной сталей следует проводить преимущественно в жидких средах, желательно в расплавленных солях. Для обеспечения качественного отпуска крупногабаритного инструмента сложной формы (фрезы, долбяки, шеверы и т. п.) более рационально проводить замедленный нагрев в печах с перемешиваемой атмосферой или с атмосферой пара.

Режимы отпуска инструментальных сталей (см. с. 43) определяются их химическим составом и требуемой твердостью. Охлаждение после отпуска может быть медленным, если сталь не склонна к отпускной хрупкости. В противном случае охлаждение ведут быстро.

По условиям нагрева различают отпуск высокий, низкий, средний и многократный. При высоком отпуске, когда температура нагрева достаточно высока, сталь приобретает сорбитовую структуру. Для конструкционной стали температура сорбитизации находится в пределах 450—670 °С. В процессе высокого отпуска закаленную сталь, охлажденную до температуры ниже 300 °С, не следует помещать в печь с высокой температурой, так как быстрый нагрев может привести к растрескиванию. При низком отпуске температура нагрева ограничена необходимостью сохранения высокой твердости. Высокохромистые, инструментальные и быстрорежущие стали нагревают до 400—600 °С. Средний отпуск применяют при необходимости сохранить упругие свойства в сочетании с достаточной вязкостью и проводят при температуре нагрева 350—480 °С.

При многократном отпуске процесс нагрева, выдержки

грева 350—480 °C.

При многократном отпуске процесс нагрева, выдержки и охлаждения повторяется несколько раз. Такой отпуск применяют в основном для быстрорежущей стали. При проведении многократного отпуска инструмента из быстрорежущей стали необходимо обязательное охлаждение инструмента до 20 °C (после каждого отпуска) на спокойном воздухе либо струей воздуха, нагретой до 20—25 °C. Для охлаждения можно также использовать водяной туман. Заменять продолжительный отпуск большим числом кратковременных отпусков при более высоких температурах (например, двукратный отпуск по 30 мин при 580 °C или двукратный отпуск по 15 мин при 600 °C) можно при термической обработке инструмента из сталей типа Р9 и Р18. Кратковременный отпуск при 580 °C допускается в автоматизированных агрегатах и в стационарных соляных ваннах с обязательным автоматическим регулированием температуры расплава с точностью ±5 °C и строгим выполнением технологии отпуска. Кратковременный отпуск при 600 °C допускается применять только в автоматизированных конвейерных агрегатах и линиях, где возможно соблюдение малой выдержки (10—15 мин) при едиможно соблюдение малой выдержки (10—15 мин) при еди-

•								
Цвет побежалости	Температура, °С	Толщина окислен- ного слоя, мкм						
Светло-желтый Соломенно-желтый Желто-коричневый Красно-коричневый Фиолетовый Синий Голубой Серый	220 240 255 265 280 300 315 300—350	0,45 0,45 0,50 0,50 0,65 0,65 0,65 0,72						

22. Температуры, соответствующие цветам побежалости на металлической поверхности

ничной загрузке деталей в специальные приспособления. В случае проведения отпуска в ваннах или в печах с газовой атмосферой необходимо соблюдать следующие требования: не загружать детали на под печи, особенно если печь до загрузки работала при более высоких температурах; применять специальные корзины или поддоны, которые изолируют отпускаемые детали от прямого контакта с подом печи; при использовании жидких отпускных ванн подогревать инструмент перед его загрузкой в ванну.

Отпуск проводят также и на цвет побежалости, нагревая детали в печах, на электроплите, в горячем песке и т. п. Появляющаяся в результате нагрева окисная пленка приобретает различные цвега побежалости, зависящие от температуры отпуска. Перед отпуском на один из цветов побежалости необходимо зачистить деталь, снять окалину, нагар масла и пр. В табл. 22 приведены температуры, соответствующие цветам побежалости.

Температура отпуска зависит от состава стали и требуемой твердости. Для получения твердости не менее HRC 59—60 отпуск проводят при температуре 150—250°С. Штампы для горячей штамповки из углеродистой стали, цанги и ударный инструмент отпускают при температуре 250—400 °C. При этом мартенсит превращается в троостит, твердость *HRC* снижается от 50 до 45, повышается пластичность. Штампы для горячей штамповки и детали приспособлений из легированных сталей отпускают при температуре 400—600 °C. В результате такого отпуска образуется сорбитовая структура. Твердость HRC снижается от 45 до 30, резко повышаются пластичность и ударная вязкость. Быстрорежущую сталь отпускают при температуре $540-580\,^{\circ}\mathrm{C}$. Отпуск сопровождается увеличением твердости («вторичное отвердевание»), так как происходит выделение карбидов из аустенита, который при последующем охлаждении превращается в маррыи при последующем охлаждении превращается в мартенсит. Для быстрорежущих сталей марок P12, P18, P18К5Ф2 выполняют три отпуска, для P14Ф4, P10К5, P9Ф5 три—четыре отпуска, для P9М4, P6М3 два отпуска. Продолжительность отпуска приведена в табл. 23.

Твердость закаленной инструментальной стали в зависимости от температуры отпуска дана в табл. 24.

Охлаждение после отпуска проводят на воздухе. Стали, содержащие хром и никель, после отпуска в интервале температур 450—650 °C охлаждают в масле или воде, так как при более медленном охлаждении они становятся хрупкими.

Измерительный инструмент высокой точности диаметром или толщиной 15—20 мм отпускают при 125—130 °С в течение 24—36 ч, диаметром или толщиной более 20 мм при 125—130 °С в течение 36—48 ч. Один продолжительный отпуск можно заменить несколькими кратковремен-

23. Ориентировочная продолжительность отпуска инструментальной стали в электрических печах с принудительной циркуляцией воздуха

Наибольший размер сечения	Темпера-	Продолжительность выдержки, мин., для сечения			
технологической оснастки, мм	Typa, °C	круглого	квадратного	прямо- угольного	
25	200-400	110—120	130—140	160—170	
50	200—400	Св. 120	150—160	180190	
		до 130	1		
100	200-400	140—150	180190	210220	
100	180-200	150	180	210	

Примечание. При отпуске в соляных или масляных ваннах продолжительность выдержки пересчитывают с учетом коэффициента, равного 0,4.

24. Твердость HRC закаленных легированных инструментальных сталей в зависимости от температур отпуска

	Интервалы температур отпуска, °С					
Сталь	160-200	200-300	300-400	400 500	500 600	
7ХФ 8ХФ 9ХФ 11ХФ 13Х ХВ4	60—59 61—60 62—60 64—60 64—61 66—64	59—55 60—55 60—55 60—55 60—55 64—60	55—50 55—50 60—53	50—41 50—41 53—48	- - - - 48-40	
В2Ф 9Х1 X, ШХ15	62—59 64—61	59—55 61—55	55—49 49—55	49—41 49—41	41—35 41—28	
12Χ1 9ΧC X ΓC	64—63	63—59	59—54	54—47	47—39	
9XBГ XBГ XBСГ 9X5ВФ 8X6НФТ 8X4B3M3Ф2 X6ВФ X12	63—60 63—62 64—63 61—59 62—58 62—59 63—58 65—62	60—56 62—58 63—59 — — — 62—59	58—52 59—54 — — — — 59—58	52—46 54—47 — — — — 58—56	46—37 47—39 — — — — 56—50	
X12M X12Ф1 7XГ2ВМ 6X6ВЗМФС 7X3, 8X3 5XВМ 5XНВ 5XНВС 5XГМ 4XМФС 4X5В2ФС 4X5МФС 4X5МФС 4X3ВМФ	63—62 63—59 60—59 — — — — — — — — —	62—59 59—57 59—56 — 60—58 59—58 — — 57—52 — —	59—57 57—57 56—53 — 58—55 58—48 — — 52—46 —	57—55 — 53—48 — 55—50 48—35 47—41 — 46—40 — — 50—45	55—47 — 48—39 60—58 50—39 — 41—34 41—35 40—34 46—36 52—51 50—45	

	Интервалы температур отпуска, °С					
Сталь	160-200	200-300	300-400	400—500	500-600	
4X4BMФC 3X3M3Ф 3X2B8Ф 4X2B5MФ 4X2B2MФC 5X3B3MФC 5X2MHФ 4XC 6XC 4XB2C 5XB2C 6XB2C 6XB1		49—48 ——————————————————————————————————	48—46 ——————————————————————————————————	46—45 ——————————————————————————————————	53-47 50-45 45-40 50-45 50-45 50-45 50-45 42-35 42-36 42-33 - 43-35 43-35	

Продолжение табл. 24

ными, но с суммарной продолжительностью, равной указанной выше. Двукратный отпуск измерительного инструмента проводят по следующей схеме: первый отпуск
при температуре 135—140 °C в течение 1—2 ч; второй
при 120—125 °C в течение 1—2 ч. Вторичный отпуск
инструмента при 120—130 °C в течение 2—3 ч применяют
для снятия напряжений, вызванных шлифованием.

Инструмент, который должен иметь высокую твердость
(HRC 58—60), отпускают при 150—200 °C. В этом случае
твердость снижается незначительно. Отпуск при более
низких температурах (120—160 °C) применяют для измерительного инструмента для снятия напряжений после
чернового шлифования. Такой отпуск рекомендуется проводить в нагревательной масляной ванне (старение).

Дополнительный отпуск после заточки и шлифования
инструмента из быстрорежущей стали вводят для повышения его износостойкости. Режим дополнительного отпуска: температура нагрева 360—370 °С, время выдержки
2 ч, охлаждение на воздухе. Отпуск проводят в отпускной
печи. Стойкость инструмента при этом повышается максимально в 1,5 раза. симально в 1,5 раза.

Улучшение. Процесс, состоящий из закалки и последующего высокого отпуска при 500—700 °С. Улучшению подвергают стали для получения необходимого сочетания

25. Температура (°C) отжига, закалки и отпуска инструментальных сталей

Сталь	л нжтО	Закалка	Отпуск	Твердость после от- пуска <i>HRC</i> , не более
У7, У7А	690—710	810—840	140—200	63
У8, У8А	690—710	800—820	140-200	63
У10, У10А	750—770	790—810	140-200	65
У12, У12А	750—770	790—810	140—200	65
У13, У13А	750—770	790—810	140—200	65
P5K10	860—880	1220—1240	570—610	66
P6M3	850—870	1220—1240	570—610	66
P6M5	840—860	1225—1235	550—560	65
P8M3K6C	870—890	1200—1230	535—565	69
P9	830—850	1230—1250	550—570	62
P9K5	860—880	1220—1240	570—580	66
P9K10	840—860	1235—1245	565—575	66
Р9Ф5	840—860	1220—1240	570—580	66
P9M4K8	840—860	1210—1240	540—560	68
P10Κ5 Φ5	860—880	1230—1250	570—610	67
P12	860—880	1240—1260	560—570	65
P12Φ2K8M3	850—860	1220—1250	540—560	68
P14Ф4	860—880	1240—1260	560—610	66
P18, P18M	860—880	1270—1290	550570	62
P18Φ2	860-880	1270—1290	570—610	66
Р18К5Ф2	860—880	1270—1290	570610	66
5XB2C	710—740	860—900	400—500	42
5XHB	830—850	840860	480—580	42
5XHM	780—790	830860	500580	42
X12М, X12Ф1	850870	10301050	140200	64
XB5	800820	830—850	140—170	67
ХВГ	770—790	830—850	140170	65
Х, ШХ15	770—790	830850	140—170	65
9XC	790—810	860880	140—200	65
11X	750—770	800820	140—250	65
13X	7 50—770	780—800	100—200	67
XBCL	790—810	860—880	140—250	63
Х6ВФ	830—850	990—1010	150—210	64
55Х6В3СМФ	860—880	1060—1075	535—545	61

прочности и вязкости. Улучшение углеродистой и легированной стали проводят до закалки и отпуска, а быстрорежущей стали и ее заменителей после термической обработки режущей части инструмента.

Улучшение легированных сталей выполняют в такой последовательности: закалка в масле (после предварительной механической обработки) от температуры 1290 °С для сталей типа P18 и от 1250 °С для сталей типа P9; нормализация с нагревом до 840—860 °С; закалка при 920—950 °С; отпуск при 670—720 °С с выдержкой 2—3 ч до получения твердости HRC 33—37 и для достижения хорошей обрабатываемости при чистовой механической обработке; закалка по обычным режимам (табл. 25).

Для улучшения структуры и уменьшения деформации при последующей термической обработке применяют комбинированную термическую обработку — закалку в масле с последующим отжигом. Температуру нагрева для комбинированной закалки принимают на 20—30 °С выше температуры закалки, приведенной в табл. 25. Такой обработке подвергают заготовки для технологической оснастки сложной конфигурации, а также резьбовой инструмент после черновой механической обработки.

раоотке подвергают заготовки для технологической оснастки сложной конфигурации, а также резьбовой инструмент после черновой механической обработки.

Старение. Процесс отпуска стали с метастабильной структурой в интервале температур 120—200 °С или при нормальной температуре. В процессе старения происходит изменение физических и механических свойств сталей и структура принимает более стабильное состояние. По температурным условиям различают естественное, про-

26. Твердость HRC закаленных углеродистых сталей в зависимости от температуры отпуска, $^{\circ}C$

	Интервалы температур отпуска, °С					
Сталь	160-200	200-300	300-400	400 500	500—G00	
У7, У7А У8, У8А, У8Г У9, У9А У10, У10А У11, У11А У12, У12А У13, У13А	63—60 64—60 64—62 64—62 65—62 62—65 66—62	60—54 60—55 62—56 62—56 62—57 62—57	54—43 55—45 56—46 56—47 57—49 57—49	43—35 45—35 46—37 47—38 49—38 49—38	35—27 35—27 37—28 — — —	

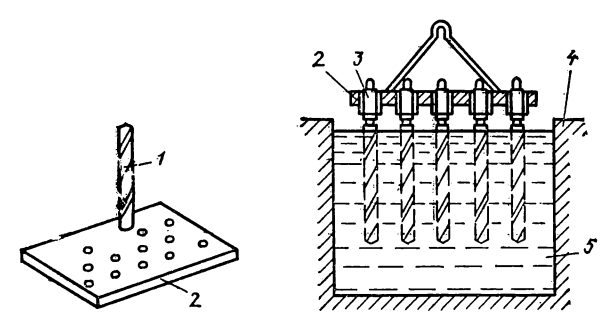


Рис. 5. Приспособления для нагрева сверл в печах (a) и в соляных ваннах (b):

1 — сверло; 2 — плита; 3 — втулка; 4 — ванна; 5 — охлаждающая среда

исходящее при нормальной температуре, и искусственное, осуществляемое при повышенной температуре (обычно не выше 200 °С), старение. По начальной структуре различают старение закаленной или наклепанной стали, проводимое для стабилизации размеров и формы детали, и старение (дисперсионное твердение) стали, имеющей в структуре пересыщенные или твердые растворы. Режимы старения указаны на с. 44, температура отжига, закалки и отпуска инструментальных сталей приведена в табл. 25.

Термообработка сверл. Сверла в основном изготовляют составными: рабочую часть из быстрорежущей стали, а хвостовую — из конструкционной. Непосредственно после сварке этих частей заготовку сверла подвергают отжигу, а после механической обработки — закалке и отпуску.

Нагрев рабочей части сварных сверл из быстрорежущей стали проводят в соляных ваннах или в печах, используя приспособления, приведенные на рис. 5. Удобнее пользоваться соляными ваннами с несколькими тиглями. В первой ванне сверла подогревают до 600—650 °С. Затем их переносят во вторую ванну и нагревают до 800—850 °С. Окончательный нагрев до температуры закалки (для быстрорежущей стали) осуществляют в третьей ванне. Продолжительность нагрева сверл под закалку указана в табл. 27. После выдержки охлаждение проводят в масле, подогревом до 90—140 °С. Сверла охлаждение можно про-

27. Продолжительность (мин) нагрева сверл в соляных ваннах и камерных печах

	Диам	מדי	Число одновре- менно	Быстроре	Углеродистая и легированная сталь		
	верл,		нагре- ваемых сверл, шт.	Соляная ванна	Қамерная печь	Соляная ванна	Камер- ная печь
От	3д 6 10	o 5 8 12	10—12 6—8 4—5	0,17—0,25 0,41—0,50 0,66—0,83	0,4—0,5 0,8—1,0 1,4—1,6	0,54— 0,75 0,8—1,1 1,3—1,5	3—4 5—6 7—8
	14 18	16 20	3—4 2—3	0,83—1,00 Св. 1,0 до 1,3	Св. 1,6 до 2,0 » 2,0 » 2,5	1,8—2,2 2,3—2,6	10—12 14—15
» » »	22 26 33	25 30 37	2 1 1	Св. 1,3 до 1,5 1,6—2,0 2,4—2,8	2,5 3,0 3,2—4,0 4,8—5,6	2,9—3,2 3,5—3,8 4,5—5,0	

водить в соляной ванне до 500—550 °С, а затем на воздухе. Отпуск проводят в шахтных печах с принудительной циркуляцией воздуха при 550—570 °С. При термической обработке хвостовика сверла его по-

При термической обработке хвостовика сверла его погружают в соляную ванну, нагретую до 820—740 °С, выдерживают, после чего охлаждают в 5 %-ном растворе NaCl до температуры 150—200 °С, а затем на воздухе. После закалки хвостовик отпускают в соляной ванне при 450—500 °С.

Нагрев сверл из легированной или углеродистой стали проводят в соляной ванне, после чего охлаждают в селитровой или масляной ванне до 150—180 °С, а затем на воздухе. Отпуск сверл из различных марок легированных сталей, кроме стали 9ХС, проводят в масляной ванне при 150—180 °С в течение 1—2 ч. Сверла из стали 9ХС отпускают в масляной ванне или в электропечах при 180—200 °С в течение 1,5—2 ч. Сверла из углеродистой стали охлаждают в воде до 180—200 °С, а затем переносят в масло.

Оптимальным для сверл из стали Р6М5Қ5 является следующий режим: предварительный нагрев до 1000 °С, окончательный до 1230 °С; температура ванны для изотермической вакалки 500 °С; одно-, двухкратный отпуск

при 580 °C в течение 30 мин и последующее охлаждение на воздухе.

при 580 °C в течение 30 мин и последующее охлаждение на воздухе.

Твердость рабочей части сверл из легированной и углеродистой стали диаметром до 10 мм должна быть HRC 59—63; диаметром свыше 10 мм HRC 61—64.

Термообработка зенкеров. Рабочую часть зенкеров из быстрорежущей стали термически обрабатывают до твердости HRC 62—64, а хвостовую часть до твердости HRC 30—45. Технологический процесс термообработки зенкеров и оборудование приведены в табл. 28.

Термообработку сварного хвостовика зенкера, изготовленного из стали 45, проводят в такой последовательности: первый подогрев в шахтной пламенной печи до 120—130 °C с выдержкой при этой температуре в течение 7 мин; окончательный нагрев в соляной ванне до 850—880 °C с выдержкой 2 мин; охлаждение в воде; нагрев в шахтной печи или в соляной ванне до 450—550 °C; выдержка при этой температуре (продолжительность выдержки зависит от размеров зенкера).

После термообработки проводят контроль. Твердость рабочей части зенкера определяют тарированным напильником. Зенкеры диаметром до 6 мм контролируют на твердость в количестве 10 % от партии. Твердость хвостовой части определяют у 5—10 % инструментов от партии, а кривизну — у 10 %.

Термообработка метчиков. Метчики изготовляют из углеродистых, легированных и быстрорежущих сталей. Нагрев метчиков под закалку проводят в соляной ванне. В результате обеспечивается получение высокой твердости поверхностных слоев металла при вязкой сердцевине, уменьшается деформация резьбы и увеличивается стойкость метчика.

Метчики из быстрорежущей стали нагревают преиму-

кость метчика.

кость метчика. Метчики из быстрорежущей стали нагревают преимущественно в два приема: при 400—500 °С и при 800—850 °С. Охлаждение проводят в селитровой ванне, нагретой до 450—400 °С, или в масле, нагретом до 150—200 °С, с последующим охлаждением на воздухе. В селитровую или масляную ванну метчики погружают в вертикальном положении, перемещая их по кругу вверх и вниз. Метчики из углеродистой стали диаметром до 8 мм следует охлаждать в масле, диаметром свыше 8 мм — в воде (до потемнения) с последующим переносом в масло. Отпуск

28. Технологический процесс термообработки зенкеров из быстрорежущей стали

Операция	Температура нагрева, °С	Оборудование и среда	Время выдержки,
Первый нагрев	500—600	Камерная элек- трическая или пламенная печь	$\tau = K \frac{D_{\text{pacul}}}{4l + D}$
Второй нагрев	850—880	Ванна (78 % BaCl и 22 % NaCl)	$\tau = \frac{10D_{\text{pacy}}l}{4l + D}$
Оконча- тельный нагрев	1230—1240 (для стали типа Р9) 1270—1280 (для стали типа Р18)	Ванна BaCl	$\tau = \frac{5D_{\text{pacu}}l}{4l + D}$
Охла- ждение	450—600	Ванна (расплав солей)	Такое же, как при первом нагреве, затем на воздухе
	90—140	Бак (масло)	До температуры 200— 250°С, затем на воздухе
	20—40	Спокойный воздух для зенкеров диа- метром до 10 мм; струя воздуха для зенкеров диаме- тром свыше 10 мм	До полного охлаждения
Отпуск (дву- кратный или трех- кратный)	560—570	Соляная ванна или электровоз- душная печь	1 ч с момента прогрева партии заготовок до тем- пературы отпуска

Обозначения: l — глубина погружения зенкера в ванну нагрева, равная величине зоны закалки плюс 0.5D, см; D — днаметр зенкера, см; $D_{\rm pacu}$ — расчетный диаметр, см; $D_{\rm pacu} = D - h$ (h — высота зуба, см); K — коэффициент (для пламенных печей K = 30, для электропечей K = 35).

метчиков проводят в масляной ванне при 150—180 °C в течение 1—2 ч. Твердость режущей части метчиков контролируют тарированным напильником. Твердость метчиков из быстрорежущей стали должна составлять *HRG* 61—65; из углеродистой и легированной стали диамет-

	Число	Быстрорежущая	Углеродистая сталь		
Диаметр метчиков, мм	одновременно нагреваемых метчиков, шт.	сталь (нагрев в соляной ванне)	Соляная ванна	Камерная печь	
2 3 6 8 10 12 14 18 20 24	15—20 10—15 8—10 8—10 8—10 6—8 6—8 6—7 4—5 3—4	0,25—0,35 0,33—0,40 0,66—0,88 0,8—1,0 1,0—1,1 1,4—1,5 1,5—1,6 2,0—2,2 2,2—2,4 2,4—2,6	0,50—0,58 0,05—0,80 1,0—1,3 1,5—1,8 2,0—2,2 2,4—2,6 3,1—3,3 4,0—4,2 4,3—4,5 5,3—5,5	2—3 3—4 4—6 6—7 7—8 9—10 10—11 13—14 15—16 18—20	

29. Продолжительность нагрева метчиков под закалку, мин

ром 1-6 мм HRC 57—60; диаметром 7—15 мм HRC 58—62; диаметром свыше 15 мм HRC 59—63. Ориентировочная продолжительность нагрева метчиков под закалку приведена в табл. 29.

В отличие от сверл метчики могут не иметь высокой твердости по всему сечению. При вязкой сердцевине уменьшается опасность поломки метчиков при правке или работе. Под закалку метчиков малых диаметров с мелким шагом резьбы их нагревают до нижнего предела технологических температур.

Термообработка резцов из быстрорежущей стали. Термообработку этих резцов проводят после напайки и приварки пластинок к стержню. Если пластинки напаяны припоем ГФК, то термообработку резцов проводят в такой последовательности: окончательный нагрев под закалку (например, для стали типа Р9 до 1230—1250 °С), продолжительность нагрева приведена в табл. 30; охлаждение на воздухе до 1050—980 °С; охлаждение в масле до 180—120 °С; двукратный отпуск в селитровой ванне при 540—560 °С с выдержкой около 1 ч.

Если пластинки приварены с использованием сварочных порошков, то после полного охлаждения резца проводят «ступенчатую» термообработку в такой последовательности: нагрев до 820—850 °С; нагрев до 960—980 °С; нагрев до 1240—1300°С; охлаждение в масле или в струе холодного воздуха; отпуск при 540—560 °С с выдержкой

30.	Продолжі	ительность	нагрева	резцов	из	быстрорежущей	стали
под	закалку,	мин					

Размер наименьшей стороны сече- ния резца, мм	Число одновременно нагреваемых резцов, шт.	Высокотемпера- турная соляная ванна	Камерная печь
10	От 6 до 8	От 1,2 до 1,5	От 2,5 до 3,0
12	» 6 » 7	Св. 1,5 » 2,0	Св. 3,0 » 4,0
16	» 5 » 6	» 2,0 » 2,5	» 4,0 » 5,0
20	» 3 » 5	» 2,5 » 3,0	» 5,0 » 6,0
25	» 2 » 4	От 3,2 » 4,0	» 6,0 » 8,0
30	» 2 » 3	Св. 4,0 » 5,0	» 8,0 10,0

в печи в течение 2—3 ч (в зависимости от сечения); охлаждение в масле или в струе холодного воздуха. Твердость режущей части резца после отпуска должна быть HRC 62—65.

Термообработка фрез. Термообработку червячных, цилиндрических, торцовых, дисковых, пазовых, отрезных и фасонных фрез из быстрорежущей стали осуществляют в такой последовательности: первый подогрев до 600—650°; второй подогрев до 800—850°С; окончательный нагрев до 1270—1290°С; охлаждение до 200—250°С в соляной ванне, нагретой до 500—550°С, или в масле, температура которого равна 90—140°С, с последующим охлаждением на воздухе; промывка, трехкратный отпуск при 550—570°С в соляной ванне; промывка и пассивирование; контроль твердости. Продолжительность нагрева фрез под закалку, приведена в табл. 31, 32.

Сборные фрезы (концевые и шпоночные) термически обрабатываются по такому же режиму, как и сварные сверла. Прорезные фрезы нагревают в вертикальном положении. Дисковые фрезы толщиной до 2,5 мм во избежание деформации охлаждают между металлическими плитами. Отпуск должен быть двукратным при 550—570 °С. Закалку червячных фрез в масле проводят в горизонтальном положении. Фрезы из углеродистой стали после нагрева под закалку в соляной ванне охлаждают в воде и ватем переносят в масло. Выдержка в воде должна быть наименьшей во избежание появления трещин. Например, фрезу диаметром 25 мм охлаждают в воде 3—4 с, после чего переносят в масло.

31.	Продолжительность	нагрева	цилиндрических	фрез	под	закалку,
мин						

Диаметр	Ширина	Число одновре- менно		оежущая аль	Легированная сталь	
фрезы, мм	фрезы, нагре- мм ваемых фрез, шт.		ваемых Соляная Камер- фрез, ванна ная печь		Соляная ванна	Камер- ная печь
40 50 60 75 90	50 60 60 75 100	2 2 2 1 1	1,1—1,2 1,4—1,5 1,8—2,0 2,6—2,8 3,8—4,0	2,2—2,4 2,8—3,0 3,6—4,0 5,2—5,5 7,6—8,0	2,2—2,4 2,8—3,0 3,6—4,0 5,2—5,6 7,6—8,0	10—11 12—13 14—16 18—26 22—24

32. Продолжительность (мин) нагрева концевых фрез под закалку

Диа-	Число одновре- менно	Быстрор	ежущая сталь	Углеродистая, легированная сталь		
метр, мм	нагре- ваемых фрез, шт.	Соляная ваниа	Камерная печь	Соляная ванна	Қамерная печь	
3-4 5-6 7-8 10-11 12-15 16-17 18-19 20-21	10—15 8—10 6—8 6—8 5—6 5—6 4—5 3—4	0,3—0,35 0,5—0,58 0,75—0,9 1,0—1,1 1,1—1,3 1,5—1,6 1,7—1,8 2,0—2,2		0,6—0,8 1,0—1,3 1,5—1,8 2,0—2,2 2,4—2,6 3,5—3,8 4,0—4,5 Св. 4,5 до 5,0	3—4 5—6 Св. 6 до 7 » 7 » 8 12—13 Св. 13 до 14 15—16 17—18	
27—28	2—3	2,3—2,4 2,5—2,8	5,0 5,5	Св. 5,0 до 5,5	Св. 18 до 20	

Прецизионные зуборезные инструменты из стали типа P6M5 и P6M5K5 целесообразно изготовлять с разделением процесса шлифования закаленного инструмента на предварительное и окончательное. В этом случае последующий дополнительный отпуск при 500 °C в течение 1 ч после предварительного шлифования и при 200 °C в течение 1 ч после окончательного шлифования наиболее надежно стабилизирует размеры инструмента при хранении.

После окончательной термообработки контролируют твердость фрез твердомером или тарированным напиль-

33. Продолжительность нагрева круглых плашек под закалку, мин

Тол- щина плаш- ки, мм	Число одновре- менно нагре- ваемых плашек, шт.	Соляная ванна	Камер- ная печь
6	10—12	1,6—1,8	6—7
7	10—12	1,8—2,0	7—8
9	8—10	2,3—2,5	8—9
11	8—10	2,5—2,8	9—10
14	6—8	2,8—3,0	10—11
18	6—8	3,2—3,5	14—15
22	5—6	4,2—4,5	17—18
25	5—6	4,7—5,0	22—24
30	4—5	6,0—6,5	28—30
36	3—4	7,5—8,0	36—38

ником. Она должна составлять *HRC* 62—65. Качество отпуска проверяют магнитным методом у 5—10 % фрезиз партии.

Термообработка плашек. Плашки должны иметь повышенную вязкость. В целях предотвращения выкрашивания режущей части их нагревают под закалку до нижнего предела температур с минимальной выдержкой. Продолжительность нагрева плашек под за-

грева плашек под за-калку приведена в табл. 33. Предварительный подогрєв плашек под закалку проводят в соляной ванне до 750— 780 °C. Плашки диаметром более 25 мм предварительно нагревают до 400 °C. Во избежание обезуглероживания поверхности резьбы нагрев ведут в хорошо раскисленной соляной ванне. При окончательном нагреве в камерной печи плашки покрывают слоем буры. Во избежание коробления не допускается провисание плашек в печи. Время вы-держки в камерной печи —1 мин на 1 мм² сечения плашки. Плоские плашки для уменьшения коробления охлаждают под прессом между плитами, охлаждаемыми водой. Тангенциальные плашки охлаждают в селитре при 450—500 °С или в масле при 150—200 °С, а затем на воздухе. Плоские плашки отпускают при 160—170 °С в течение 11 поские плашки отпускают при 160—170 С в течение 24 ч. Для тангенциальных плашек проводят двукратный отпуск по 1 ч при температуре до 540—580 °C. Твердость плашек должна быть в пределах HRC 59—61. Контроль твердости проводят твердомером. Тарированным напильником проверяют обезуглероживание резьбы. Накатные плашки из стали X12Ф1 изготовляют из поковок с последующей термической закалкой. После образования резьбы плашки подогревают в печи до 810 °C, а затем окончательно подогревают в хлорбариевой ванне до 1050 °C. Для предупреждения коробления их охлаждают в вертикальном положении в течение 15 мин в растворе селитры, нагретом до $450\,^{\circ}$ С. Затем плашки переносят в ванну с маслом при температуре $80\,^{\circ}$ С. Отпуск плашек проводят в электропечи при $450\,^{\circ}$ С в течение $3-4\,^{\circ}$ 4. Интервал времени между закалкой и отпуском не должен превышать $2\,^{\circ}$ 4. Твердость накатных плашек после отпуска должна быть HRC 56-58.

шать 2 ч. Твердость накатных плашек после отпуска должна быть HRC 56—58.

Термообработка протяжек. Протяжки изготовляют из быстрорежущих или легированных сталей XBГ, X12H, XГ и др. Для уменьшения деформации термообработку длинных протяжек выполняют 3 раза: после предварительной механической обработки, после окончательной механической обработки и после шлифования. Термообработку после предварительной механической обработки выполняют в такой последовательности: нагрев до температуры закалки с предварительным подогревом; охлаждение в масле; отпуск при 770—790 °С; правка. Вместо закалки с высоким отпуском можно проводить отжиг в чугунной стружке или угле. Термообработка после окончательной механической обработки включает подогрев до 800—850 °С в вертикальной шахтной печи или соляных ваннах (при нагреве в шахтных печах для уменьшения обезуглероживания и окисления поверхности протяжки обертывают листовым асбестом; после нагрева в течение 15—30 мин их освобождают от асбеста, рабочую часть посыпают бурой и несколько минут повторно нагревают для расплавления буры, после чего переносят в печь для окончательного нагрева); окончательный нагрев в шахтной электрической печи или в соляных ваннах; охлаждение в масле в вертикальном положении до 300—400 °С; горячая правка под прессом; охлаждение на воздухе в подвешенном состоянии; двукратный отпуск по 1 ч при 550—580 °С; правка; очистка, нормализация хвостовой части.

Термообработка протяжек после шлифования заключастовой части.

стовои части. Термообработка протяжек после шлифования заключается в отпуске в масляной ванне при $200-250\,^{\circ}$ С для снятия внутренних напряжений, возникающих при шлифовании. Если корпус протяжки сваривается с хвостовиком из стали $40\,\mathrm{X}$ или 50, то твердость хвостовика должна быть в пределах HRC 35-45. Требуемая твердость хвостовика может быть получена при нормализации или закалке, путем нагрева в соляной ванне или на установке

ТВЧ до 840-850 °C, охлаждения в масле и отпуска хвостовика в селитре.

Стовика в селитре.

При термообработке протяжек необходимо соблюдать следующие условия: при всех операциях протяжки должны находиться в вертикальном положении в подвешенном состоянии; окончательный нагрев протяжек малой длины следует проводить в соляной ванне, а длинных — в шахтной печи (при отсутствии таковых нагрев ведут в горизонтальной печи на подставках); при охлаждении во ризонтальной печи на подставках); при охлаждении во время закалки подвешенную протяжку следует перемещать вверх и вниз (плоские протяжки небольших сечений для уменьшения деформации охлаждают зажатыми между охлаждаемыми плитами или под прессом); правку после закалки и отпуска необходимо проводить в горячем состоянии; правку после очистки следует проводить при подогреве сварочной горелкой до температуры отпуска.

Термообработка калибров-пробок. Чтобы уменьшить возможную деформацию калибров, их подвергают улучшению после предварительной механической обработки. После улучшения выполняют повторную механическую обработку с припуском на шлифование и доводку. Термическую обработку калибров-пробок выполняют в такой последовательности: предварительный подогрев в тща-

обраютку с припуском на шлифование и доводку. Гермическую обработку калибров-пробок выполняют в такой последовательности: предварительный подогрев в тщательно раскисленной соляной ванне до 600—650 °C; окончательный нагрев в соляной ванне до 820—850 °C; охлаждение в соляной ванне и на воздухе до 150—180 °C, а затем в масле до 20—70 °C; обработка холодом в холодильной установке при температуре до —55 °C; промывка в 10 %-ном содовом растворе; отпуск в шахтной печи при температуре 160—180 °C; механическая обработка (предварительная доводка); старение при температуре 150 ± ±10 °C. Твердость калибров после обработки должна быть HRC 56—64. Калибры, изготовленные из стали У10, У10А, закаливают в воде, а затем в масле. Продолжительность отпуска зависит от квалитета калибров. При высоком квалитете отпуск длится от 20 до 32 ч, а при пониженном — от 2 до 3 ч.

Термообработка скоб и шаблонов. Скобы и шаблоны простой формы изготовляют из малоуглеродистой стали, а шаблоны или лекала сложной формы из высокоуглеродистой или легированной. Термообработку скоб и шаблонов из стали 20 проводят в такой последовательности:

цементация; нагрев в соляной ванне при температуре 780—800°С под закалку; охлаждение в соляной ванне и на воздухе до 150—180°С и в водяной ванне до 30—40°С;

воздухе до 150—180 °С и в водяной ванне до 30—40 °С; обработка холодом в холодильной установке при температуре до —20 °С для сохранения размеров; промывка в 10 %-ном содовом растворе при 70—90 °С; отпуск при 160—180 °С; старение в масляной электрованне при 150± ±10 °С после шлифования и предварительной доводки. Если шаблоны или скобы изготовлены из стали 20Х, то отпуск проводят в масле. Продолжительность отпуска зависит от размеров инструмента и глубины цементации. Шаблоны и лекала сложной формы охлаждают с подогревом в расплавленной соли или масле, что значительно уменьшает степень деформации. Чтобы уменьшить деформацию шаблонов и скоб, закаливают только их рабочие поверхности. поверхности.

поверхности.

Термообработка штампов для горячей штамповки. Рекомендуемые режимы термообработки штампов для горячей штамповки приведены в табл. 34. Охлаждение после отжига (температура нагрева указана в табл. 35) проводят с печью со скоростью 40—50 °С/ч до температуры 350—400 °С, а затем на воздухе. При нагреве под закалку детали штампов загружают в печь при температуре до 400 °С. Нагрев до температуры 650 °С выполняют со скоростью до 80 °С/ч. При температуре 650 °С дают выдержку 2,5 ч для штампов массой до 500 кг и 3—4 ч для штампов массой до 1000 кг и более. Дальнейший нагрев до заданной температуры закалки ведут со скоростью 100 °С/ч. Штампы с резкими переходами нагревают с меньшими скоростями. Выдержка при температуре закалки для малых штампов должна быть не менее 5,5 ч, для средних и крупных 8—9 ч. Для сокращения времени закалки штампов применяют изотермическую закалку.

9 ч. Для сокращения времени закалки штампов применяют изотермическую закалку.
Перед установкой в печь боковые поверхности штампа с обработанными ручьями обмазывают огнеупорной глиной с асбестом, а зеркало штампа и фигуру засыпают отработанным карбюризатором или прокаленной чугунной стружкой, а затем обмазывают глиной и асбестом. Малые штампы укладывают фигурой вниз на поддон со слоем отработанного карбюризатора толщиной 35—40 мм. Время выдержки на каждые 25 мм наименьшей толщины штампа определяют из такого расчета: при нагреве в га-

34. Режимы термообработки штампов для горячей штамповки

		Закалка		Отпуск			
Сталь	Темпера- тура на-	Среда охла-	Твер- дость после	Темпера- тура на-	Твердость после отпуска		
	грева, °С	ждения	закал- ки	грева, °C	НВ	HRC	
У7	800—830	Вода	62—64	370—400	340—375	3740	
7X3	830—860	Масло	59-61	480—520	364-430	39—45	
8X3	820—850	»	60-62	480—520	387—430	41—45	
4XC	890—920	»	52—54	240—270	495—512	51—52	
6XC	Св. 840	Вода	58—60	240—270	295—512	51—52	
	до 860	M	E0 60	250 450	400 420	42 45	
	Св. 860 до 880	Масло	5860	350—450	402—430	43—45	
5XHB	830—860	»	54—58	520540	387—430	41—45	
011112	830—860	»	54—58	530—550	364—402	39—43	
	830—860	»	54—58	560—580	321—364	35—39	
5XHT	830—850	»	53—58	475—485	387—430	41-45	
	830—850	»	5358	Св. 485	364—402	39—43	
	830—850		53—58	до 510 520—540	321—364	3539	
5XHC	850—870		55—59	500—520	387-430	41-45	
OZITIO	000-070		00-03	510-530	364-402	39—43	
			l	520-540	321—364	35—39	
5XBΓ	840—860	Масло	56-58	240—270	495—512	5152	
	840860	»	56—58	420—450	430—460	45—48	
5X FM	830-870	Воздух	56-58	500-550	306—341	33—37	
	830-870	» M	56-58	575—625	269—306	28—33	
	830—870 830—870	Масло »	56—58 56—58	550—575 575—600	388—451 341—388	41—47 37—41	
	830—870	<i>"</i> »	56-58	600—625	321—368	35—39	
	830—870	»	56—58	625—650	306—341	33—37	
	830—870	»	56—58	650—675	269—306	28-33	
5XHM	830860	»	54—58	520—540	387—430	41—45	
5XIC	840—880	»	56—58	550-580	388-451	4147	
	840—880	»	5658	Св. 580	341—368	37—41	
	840—880		56—58	до 610 600—620	321—368	35—39	
	840-880	» »	56-58	Св. 620	269-306	28-33	
	1 010 000		100 00	до 650	203 - 000	20-00	
4 Χ5Β2ΦC	1060—1080	»	52-54	570—600		4550	
4Х5В4ФСН	1060-1070	»	54—56	600—620	_	45—50	
3 Χ2Β8Φ	1120-1140	»	54—56	600-610	-	50	
AVODOANO	1120—1140	»	50	640650	-	55	
4 Χ3Β2ΦM2	1090—1110 1090—1110	»	54-56	610—620	_	50	
30ХГС	890—920	» Вода,	54—56 46—52	650—660 520—660	277—310	45 29—34	
OUNIO	030-320	масло	1 70-02	020-000	211-010	2504	
	1 1	Macero	l				
	·		<u></u>				

Продолжение табл. 34

	3	Закалка			Отпуск	
Сталь	Темпера- Среда тура на- охла-		Твер- дость после	Темпера- тура на-	Твердость после отпуска	
	грева, °С	ждения	закал- ки	грева, °С	HB	HRC
35 ΧΓC A	870—900	Вода,	48—56	600—660	277—310	2931
5XHCB	850—870 850—870 850—870	масло Масло » »	55—59 55—59 55—59	520—540 530—550 550—570	387—430 364—402 321—364	41—45 39—43 15—39
3X2B8 4XB2C	1050—1100 870—900	» »	49—52 52—56	600—620 240—270	402—475 512—540	42—48 53—55
5XB2C	870—900 870—900	» »	52—56 54—57	420—450 240—270	430—460 512—540	46—48 53—55
6XB2C	870—900 850—875 850—875	» » »	58—60	420—450 240—270 420—450	430—460 512—540 430—460	46—48 53—55 46—48
5ХН2ВФ	830—870 830—870 830—870 830—870 830—870 830—870	» » » Возду х »	58—60 58—60 58—60 58—60 58—60 58—60	500—525 525—550 550—575	388—451 341—388 321—368 306—341 341—388 321—368	41—47 37—41 35—39 33—37 37—41 35—39

35. Температура отжига заготовок штампов для горячей штамповки

Сталь	Температура нагрева, °С	Твердость НВ	Сталь	Температура нагрева, °С	Твердость <i>НВ</i>
7X3 8X3 4XC 5XHT 5XHC 5XHB 6XB2C 5XHCB	780—800 780—900 820—840 760—790 790—810 760—790 780—800 Св. 790 до 820	187—229 207—255 197—228 192—235 207—255 197—241 180—217 207—255	5XB2C 5XBC 6XC 30XCC 35XCC 35XCC 3X2B8 4XB2C 4X8B2	800—820 760—790 820—840 Св. 840 до 880 840—870 820—840 800—820 Св. 820 до 830	207—255 197—241 197—241 187—228 197—228 207—255 197—217 207—255

вовой печи малолегированной стали 35-40 мин, стали 3X2B8, 4X8B2, 7X3 и 8X3 40-50 мин; при нагреве в электрической печи 50-60 мин.

трической печи 50—60 мин.
Перед закалкой штампы тщательно очищают от остатков карбюризатора, обмазки и окалины. При закалке штампов в масле не следует допускать их полного охлаждения до нормальной температуры. Крупные штампы охлаждают в масле до 100—150 °С и немедленно помещают в печь для отпуска. Задержка в выполнении отпуска может привести к трещинообразованию. Продолжительность отпуска после закалки штампов определяют из расчета на каждые 25 мин наименьшей толщины штампа: для доэвтектоидных сталей (40С, 30ХГС, 35ХГС, 4ХВ2С и др.) 40—45 мин, для заэвтектоидных сталей 50—60 мин. Скорость нагрева устанавливают не более 50 °С/ч. После проведения общего отпуска штампов хвостовики подвергают дополнительному отпуску для снижения их твердости. Хвостовики штампов из стали 5ХНТ отпускают при 700—720 °С, нагрев ведут на специальных плитах или в специальных печах. После нагрева и выдержки при указанной температуре штампы охлаждают с печью до 350—500 °С. Последующее охлаждение ведут на воздухе.

на воздухе.

Для увеличения эксплуатационной стойкости штампового инструмента наряду с обычной закалкой на заданную твердость рабочая поверхность инструмента подвергается дополнительной закалке с нагревом ВТЧ. При закалке ТВЧ скорость нагрева 20—150 °C/с, температура выше обычной технологической на 100—150 °С, твердость поверхности повышается на 5—8 единиц. Микроструктура поверхности — мелкоигольчатый мартенсит, что обеспечивает высокие механические свойства и повышенные эксплуатационные качества инструмента. В процессе высокочастотной закалки на поверхности инструмента формируются внутренние сжимающие напряжения, совпадающие по направлению с напряжениями, возникающими при штамповке и обеспечивающими высокую прочность инструмента. Напряжения, формируемые на границе закалки ТВЧ и объемной закалки, растягивающие, что обеспечивает упругую деформацию инструмента при штамповке. Дополнительную поверхностную закалку ТВЧ применяют для различного инструмента—пуансонов,

вставок, прижимов, изготовленных из специальных штамповых сталей: $4X5M\Phi C$, $40XCM\Phi$, $4X2M\Gamma\Phi$ — для горячей штамповки и ШХ15, X12 — для холодного деформирования.

деформирования.

Стойкость штампов для объемной штамповки крупногабаритных изделий из титановых сплавов и высокопрочных сталей может быть увеличена при использовании способа упрочнения, приведенного в а. с. 926042 (СССР).

Предварительно на рабочей поверхности штампа выполняют компенсационные уклоны. Циклическое нагружение осуществляют при интенсивности напряжений 150—250 МПа длительностью 5—15 с. Между циклами нагружения проводят корректирование гравюры штампа.

Циклическое нагружение (12—15 циклов) до корректирования гравюры штампа производят при 450—500 °С. После корректирования гравюры штампа производят нагружение в процессе эксплуатации штампа при 350—450 °С.

350-450 °C.

нагружение в процессе эксплуатации штампа при $350-450\,^{\circ}$ С. Предварительное нагружение штампа проводят специально изготовленной заготовкой, плотно прилегающей к рабочей поверхности штампа и нагретой до $700-800\,^{\circ}$ С. Для отвода тепла от штампа в процессе его эксплуатации (с целью поддержания температуры штампа в пределах $350-450\,^{\circ}$ С) опорные поверхности штампа и опорной плиты профилируют, увеличивая площадь контакта, а на поверхность раздела кладут тонкий пластичный лист металла с хорошей теплопроводностью, например, тонкий лист технической меди. Циклическое нагружение штампа осуществляют при $450-500\,^{\circ}$ С. Этот диапазон температур выбирают из тех соображений, что при температурах ниже $450\,^{\circ}$ С штамп при интенсивности напряжений $\sigma_i \leqslant 600\,^{\circ}$ МПа находится в упругом состоянии и не происходит его упрочнение. При температурах выше $500\,^{\circ}$ С и при $\sigma_i \geqslant 250\,^{\circ}$ МПа наблюдается явление кратковременной ползучести, в результате которой уровень накопленных в процессе тренировки штампа остаточных напряжений снижается и не происходит упрочнения штампа (при рабочих нагружениях штамп находится в упругопластическом состоянии).

Заготовку для штампа, имеющую конфигурацию готового изделия, но с компенсационным уклонами, изготовляют из жаропрочных сплавов, например, из ЖС6-К

или ХН77ТЮР. В тех случаях, когда не удается сделать заготовку монолитной, ее изготовляют из составных частей. Температура заготовки должна быть не менее 700—800 °C, поскольку при подстывании штампа с поверхности и термосопротивлении на поверхности контакта при циклическом нагружении температура рабочей поверхности штампа не превышает 500 °C.

штампа не превышает 500°С.

Затем размеры гравюры корректируют согласно полученной расчетной конфигурации. При этом происходит перераспределение остаточных напряжений на рабочей поверхности вследствие снятия части металла. Поэтому после первого нагружения штампа проводят второе. После каждой штамповки проверяют профиль гравюры и конфигурацию получаемого изделия. В случае необходимости проводят вторую корректировку гравюры штампа после 5—10 штамповок.

па после 5—10 штамповок.

Вместе с гравюрой штампа обрабатывают его опорную поверхность, делают ее волнистой таким образом, чтобы в проекции на плоскость разреза получалась синусоидальная кривая. Таким же образом обрабатывают и сопрягаемую поверхность на опорной плите. На поверхность раздела кладут тонкий лист технической меди или алюминия. Через такую поверхность при работе штампа в процессе штамповки тепло легче отводится от штампа.

Предлагаемый способ упрочнения штампов выгоден при производстве крупногабаритных штамповок типа лонжеронов, дисков и т. д., где нецелесообразны иные способы упрочнения.

собы упрочнения.

собы упрочнения.

Для увеличения стойкости рабочих элементов вырубных штампов из сталей У8 и У10А первую закалку проводят при температуре нагрева 1200 ± 10 °C в масле. Для предотвращения роста аустенита нагрев до температуры закалки проводят в расплаве соли хлористого бария в соляной ванне. После закалки — отпуск при 450 °C. Вторую закалку выполняют по обычному для углеродистых сталей режиму: закалка от температур 800—820 °C, ватем низкий отпуск при 180—200 °C. Твердость рабочей поверхности вырубного штампа после двойной закалки HRC 57—59. Структура стали после двойной закалки с промежуточным отпуском представляет собой мелко-игольчатый отпущенный мартенсит. Двойная закалка с промежуточным отпуском увеличивает стойкость вы-

36. Влияние газов на сталь

Влияие на сталь	Газ	Химическая формула	
Окисляющее	Кислород Углекислый газ Водяной пар	$\begin{array}{c c} & O_2 \\ CO_2 \\ H_2O \end{array}$	
Восстанавливающее	Окись углерода Водород Метан	CO H ₂ CH ₄	
Обезуглероживающее	Углекислый газ Водяной пар	CO ₂ H ₂ O	
Науглероживающее	Окись углерода Метан	CO CH₄	
Азотирующее	Аммиак	NH ₃	
Нейтральное	Азот Аргон Гелий	N ₂ Ar He	

рубных штампов по сравнению со штампами, обработанными по общепринятому режиму.

Термообработка в контролируемой атмосфере. При нагреве металла в контролируемой атмосфере исключаются его окисление и обезуглероживание, появляется возможность назначить меньшие припуски на последующую механическую обработку; исключаются операции очистки поверхности после термообработки вследствие устранения окисления, достигается экономия металла до 3 % массы партии заготовок, помещаемой в печь; повышаются механические свойства и усталостная прочность металла, так как исключается обезуглероживание поверхностного слоя; сохраняется форма поверхностей деталей (особенно лезвийного инструмента и тонких деталей приспособлений), снижается трудоемкость изготовления деталей; улучшаются условия труда в термических отделениях.

В табл. 36 приведен ряд окисляющих и восстанавливающих газов. Из этих газов можно составить нейтраль-

37. Температура воспламенения газовых компонентов

содержание в смеси воздух—газ, %	Температура воспламенения, °С		
5,00—15,00	650—705		
2,37—9,50	518		
12,50—74,20	643—658		
4,00—74,20	580—590		
	5,00—15,00 2,37—9,50 12,50—74,20		

38. Классификация и назначение контролируемых атмосфер

	Состав, % по объему			Точка		
Контролируемая атмосфера	Водород	Азот	Кис- лород	росы, °С	Назначение	
Класс А Вакуум Класс В			_	_	Отжиг углероди- стых и легирован- ных сталей	
Газы в баллонах: аргон (99,898 %) гелий (99,99 %) Водород: торговый чистый	0,001 0,01 99,8 100	0,1 - 0,2 -	0,001 — —	-50 -50 -30 -50	Отжиг, отпуск и нагрев под закал- ку углеродистых и легированных сталей	
Азот: торговый чистый	1—3	99,8 99—97	0,2	-30 -50	То же То же	

ные газовые смеси иди смеси из газов, взаимодействующих между собой. В последнем случае газы нейтрализуют друг друга при определенных температурах и составе стали, поверхность которой необходимо защитить от окисления и обезуглероживания. Атмосфера печи с такими газами будет нейтральна к поверхности нагреваемого

Темпе- ратура точки росы, °С	Содержание влаги, % по объему	Темпе- ратура точки росы, °С	Содержание влаги, % по объему	Темпе- ратура точки росы, °С	Содержание влаги, % по объему
-8 -6 -5 -4 -3 -2 5 4 3	0,306 0,364 0,397 0,432 0,471 0,512 0,397 0,432 0,471	2 0 4 5 6 7 8	0,512 0,605 0,810 0,868 0,930 0,998 1,070 1,140	10 14 15 16 17 18 19 20	1,220 1,60 1,71 1,82 1,95 2,08 2,22 2,36

39. Температура точки росы для различного содержания ${\rm H_2O}$ в газах

инструмента. Свойства контролируемых атмосфер область их применения приведены в табл. 37, 38.

Регулирование состава контролируемой атмосферы может осуществляться по точке росы. В табл. 39 даны сведения о температуре точки росы для различного содержания H₂O в газах.

При оценке факторов, влияющих на эффективность теплообмена лучеиспусканием, следует учитывать, что при нагреве в контролируемой атмосфере сталь со светлой поверхностью воспринимает почти в 2 раза меньше лучистой энергии, чем сталь с окисленной поверхностью, поэтому при прочих равных условиях детали нагреваются дольше, чем в печах с окисленной атмосферой.

Правка после термообработки. Деформированные детали после термической обработки подвергают правке одним из следующих способов: в горячем состоянии перед охлаждением при закалке; в штампах и зажимных приспособлениях в процессе закалки и отпуска; со специальным подогревом в интервале температур отпуска стали (для закаленных и отпущенных деталей в холодном состоянии — то же).

³ Полевой С. Н. и др.

40. Допуски на биение концевого инструмента после термообработки, мм

	Диаметр инструмента						
Длина	до 10		св. 10 до 18		св. 18 до 30		
инструмента	Рабочая часть	Хвосто- вик	Рабочая часть	Х восто- вик	Рабочая часть	Х восто∗ вик	
До 120 Св. 120 до 260 » 260 » 450 » 450	0,08 0,10 0,12 0,15	0,10 0,12 0,15 0,18	0,10 0,12 0,15 0,18	0,12 0,15 0,18 0,20	0,12 0,18 0,18 0,20	0,15 0,18 0,20 0,23	
	Диаметр инструмента						
			Andmerp n	пструмент	'a		
Длина	св. 30	до 50		до 80		80	
Длина инструмента	св. 30 Рабочая часть					80 Хвосто- вик	

Правку в горячем состоянии проводят в процессе ступенчатой закалки после достижения температуры начала мартенситного превращения (200—350°С). Этот вид правки применяют для сталей с малой критической скоростью закалки. Деталь, в том числе инструмент, помещают на двух опорах выпуклой частью вверх и нагружают до устранения деформации. При этом учитывают упругие деформации после снятия нагрузки. Правку проводят деформации после снятия нагрузки. Правку проводят в два—три приема и прекращают по достижении температуры 60—40 °С. Биение осевых деталей после правки проверяют в центрах индикатором, а плоских изделий — на плите щупом. Допуски на биение концевого инструмента (кроме метчиков и сверл) после термической обработки приведены в табл. 40. Правку в штампах или зажимных приспособлениях проводят путем совмещения операций закалки и правки или отпуска и правки.

Деталь, нагретую до температуры закалки или частично охлажденную, зажимают в штампе и в зажатом состоянии охлаждентую, зажимают в штампе и в зажатом состоянии охлаждентую до скоростью необходимой для за-

стоянии охлаждают со скоростью, необходимой для за-

калки стали данной марки, а затем (также в штампе) подвергают отпуску.

подвергают отпуску.

Длинные протяжки, удлиненные сверла, хвостовой комбинированный и другой удлиненный осевой инструмент подвергают правке с подогревом. Инструмент можно подогревать частично или полностью в ваннах или печах либо с использованием установок ТВЧ. При местном подогреве нагревают зону наибольшего прогиба. Температура подогрева не должна быть выше температуры отпутительного прогименты правке придагают. ска. Динамическую нагрузку при правке прилагают в месте, противоположном области максимальной деформации. Среднюю статическую нагрузку прилагают непосредственно в месте максимальной деформации в течение длительного времени.

чение длительного времени. Правку в холодном состоянии проводят в тех случаях, когда деформация незначительна. Инструменты мелкого и среднего размера (сверла, развертки) правят на закаленных стальных плитах слабыми ударами мягкого молотка по месту максимальной деформации. У составного сварного инструмента большой длины под прессом правят незакаленные части. Цельный инструмент большой длины правят сильными ударами острозаточенного рихтовального молотка массой 1—3 кг. Удары наносят под углом 50—60 °С по направлению к оси инструмента непосредственно или через специальные ножи по деформированной части. части.

Контроль качества термообработки. Для определения качества термообработки применяют различные методы неразрушающего контроля с использованием просвечивания деталей, измерения интенсивности распространения в испытуемом объекте механических колебаний, определения электрических и магнитных свойств, а также методы, основанные на физико-механических использовании свойств жидкостей, газов и т. д.

Тепловой контроль термических операций проводят при помощи контрольно-измерительных, регулирующих и регистрирующих приборов, в которых в качестве датчиков измерения температуры использованы термометры и термопары. Термометры могут быть ртутные, манометрические и сопротивления. Ртутными термометрами измеряют температуру жидкой и газообразной среды в пределах —50 ... +500 °C. Манометрические термометры

мометры бывают двух видов: показывающие и самопишущие.

Контроль твердости технологической оснастки по методу Роквелла определяют глубину проникновения в металл алмазного или стального наконечника. Ее выражают в условных единицах, называемых числом твердости по Роквеллу. Угловое перемещение стрелки на одно деление шкалы прибора (единица твердости) соответствует 2·10⁻⁶ мм глубины вдавливания. Наличие окалины, грубых рисок и других дефектов искажает результаты измерений.

Для приближенного определения твердости пользуются тарированными напильниками плоской, квадратной или треугольной формы, предварительно термически обработанными на различную твердость насечки с интервалом 3—5 единиц по Роквеллу. Тарирование напильников проводят по специальным эталонным плитам, твердость которых точно определена прибором. Твердость насечки напильника обозначают на его нерабочей части (например, HRC 56, HRC 60 и т. п.). При контроле твердости детали подбирают такую пару напильников с минимальным интервалом по твердости, чтобы напильник с меньшей твердостью скользил по поверяемой поверхности, а напильник с большей твердость исследуемой поверхности будет находиться в пределах твердости напильников.

Контроль сплошности металла с помощью дефектоскопа. Исследуемую деталь намагничивают на специальных установках — магнитных дефектоскопах. Поверхность ее смачивают суспензией, состоящей из 0,5 кг порошка окиси железа и 1 л трансформаторного масла. В местах несплошности металла осаждаются частицы окиси железа, в результате чего рельефно выделяется дефект. После контроля деталь размагничивают в соленоиде, При люминесцентном металла озаждаются частицы окиси железа, в результате чего рельефно выделяется дефект. После контроля деталь размагничивают в соленоиде, При люминесцентном металла озаждаются частицы окиси железа, в результате чего рельефно выделяется дефект. После контроля деталь размагничивают в соленоиде, при люминесцентном металь замагничивают в соленоиде, при люженим металь замагничивают в соленом дефектов немагниться в специальн

жащую флюороль — вещество, которое светится под действием ультрафиолетовых лучей. Затем деталь промывают водой, при этом жидкость удаляется только с гладкой поверхности, а в дефектных местах она остается. После этого на поверхность насыпают мелкий порошок, обычно селикагель. Порошок впитывает жидкость из полостей и остается по краям дефекта при последующей обдувке поверхности. Если такую деталь осветить в темном помещении ультрафиолетовыми лучами, места дефектов будут светиться сине-голубым светом.

Для контроля дефектов применяют также метод импульсной ультразвуковой дефектоскопои. Принцип действия ультразвуковых импульсных дефектоскопов состоит в том, что ультразвуковая волна, распространяющаяся в исследуемом материале, при встрече с дефектом, служащим границей раздела двух сред, например воздушная полость в стали, отражается от этой границы. Отраженные волны принимают, усиливают и подают на индикатор. Импульсные дефектоскопы могут работать с одной стороны. По направленности ультразвуковых воли можно определить месторасположение и очертание дефектов. Для точной отметки глубиномеры. Глубиномеры также служат измерителями толщины изделий при доступе к их поверхности только с одной стороны.

Способы абразивной обработки поверхности металла после термообработки. Обработки поверхности металланосле термообработки. Обработки поверхности металлических частиц на ее поверхности, увеличения шероховатости обрабатываемой поверхности на одно- два значения параметра батываемой поверхн

батываемой поверхности на одно- два значения параметра Ra. Для обработки применяют чугунный песок с острыми гранями, получаемый на специальной установке разбрызгиванием и последующим размолом и просеиванием, имеющий твердость HRC 51—56, среднюю плотность 4.0-4.5 кг/см³ при максимальной плотности 6.9 кг/см³. Песок сортируется на фракции на вибрационных ситах. Абразивная обработка. Регенерированные абразивные зерна получают из перемолотых отходов и использованных абразивных кругов электрокорунда с предельными размерами зерен основной фракции 630-500 мкм (зер-

41. Последовательность выполнения процесса абразивной ультразвуковой обработки

Обрабатываемый объект	Операция	Среда и режим	Примечание
Детали сложной формы — от продуктов коррозии и других дефектов перед нанесением гальванических покрытий	Травление	Серная кислота — 0,1 г/л воды, соляная кислота — 0,05 г/л воды, контакт Петрова — 30 г/л воды, 60°С, выдержка 2 мин	Травление проводят одновременно с обезжириванием и удалением дефектов; между временем проведения операций не должно быть перерыва
Детали из коррозионно- стойкой стали — после тер- мической обработки	Промывка Обезжиривание Предварительное травление Промывка Ультразвуковая очистка	Проточная вода Бензин Азотная кислота — 8—10 %, фтористый натрий — 45 г/л воды, выдержка 20 мин Проточная вода Сода 3 %, 50—60 °С, выдержка 3 мин	
Детали из конструкционной стали — от термической окалины перед гальванопокрытием	Промывка	Серная кислота — 0,1 г/л воды, соляная кислота — 0,05 г/л воды, соль — 5 г/л воды, контакт Петрова — 30 г/л воды, 60°С, выдержка 0,5—5 мин Проточная вода	Травление можно проводить без ультразвука, но с последующим снятием шлама в воде с помощью ультразвука

нистость 50). При обработке абразивными зернами физические свойства поверхности деталей почти не изменяются, т. е. не нарушаются магнитные, коррозионные и другие свойства и не изменяется геометрия детали. Обработанные детали имеют темно-серый цвет. Обработку проводят в обычных аппаратах эжекционного типа.

в обычных аппаратах эжекционного типа. Гидро-абразивная обработка. Преимущество гидро-абразивной обработки заключается в отсутствии пылевыделения. Недостатками ее является необходимость применения специальных герметизированных аппаратов и
дополнительных операций по коррозионной защите деталей.

талей.

В качестве абразивного материала при гидро абразивной обработке от пригара и коррозии применяют песок зернистостью 160—100, т. е. с размерами зерен основной фракции 2000—1000 мкм в просеянном и просушенном виде. Такой песок смешивают с водой в отношении: 30 % воды и 70 % песка. Для предохранения деталей от коррозии в смесь добавляют 0,8—1,0 % кальцинированной соды или 0,5—1,0 % нитрита натрия. После очистки детали промывают и подвергают дополнительной антикоррозионной обработке.

При гидро абразивной обработке от окалины применяют кварцевый песок зернистостью 50-80, т. е. с размером зерен 500-800 мкм. Струя направляется под давлением $(3,9-5,9)\cdot 10^5$ Па. Расстояние от распылителя до обрабатываемой детали следует изменять от 80 до 150 мм. Оптимальный угол наклона сопла 45°

Ультразвуковая абразивная обработка. Для ультразвуковой обработки используют колебания с частотой более 16 кГц, образуемые с помощью ультразвукового генератора. При таких колебаниях в жидкости возникают поочередно зоны сжатия и растяжения. В момент растяжения происходят местные разрывы жидкости и образуются пузырьки (полости), которые заполняются парами жидкости и растворенными в ней воздухом и другими газами. В момент сжатия пузырьки сминаются, что сопровождается сильными гидравлическими ударами. Эти удары очищают поверхность от загрязнений и других дефектов. Последовательность выполнения операций ультразвуковой обработки приведена в табл. 41.

УПРОЧНЕНИЕ КРИОГЕННЫМИ МЕТОДАМИ

Влияние криогенной обработки на структурные преврашения сталей и изменение их физико-механических свойств. В структуре закаленной стали имеется некоторое количество сравнительно мягкого остаточного аустенита, что обусловлено ее химическим составом и режимом термообработки. В результате этого понижаются твердость и прочность, ухудшаются теплопроводность и магнитные свойства, изменяются размеры, ухудшается качество поверхности изделия. Отпуск закаленной стали с целью ликвидации или уменьшения количества остаточного аустенита в большинстве случаев неэффективен. Для этого наиболее рационально использовать криогенный метод (глубокое охлаждение).

В процессе криогенной обработки обеспечивается улучшение механических свойств инструментов, в том числе инструментов из быстрорежущих сталей (повышение их износостойкости и режущих свойств), повышение твердости и износостойкости контрольно-измерительных инструментов, штампов и пресс-форм, изготовляемых из высокоуглеродистых и легированных конструкционных сталей, увеличение твердости коррозионно-стойких сталей с повышенным содержанием углерода, улучшение качества поверхностей, подвергаемых полированию или доводке, так как наличие мягких аустенитных участков препятствует получению однородной зеркальной поверхности.

ности.

ности.
При оценке целесообразности назначения криогенной обработки стали необходимо учитывать такие особенности: повторное охлаждение закаленной стали не улучшает ее свойств, если при этом не достигаются температуры более низкие, чем при закалке; продолжительность выдержки при низкой температуре не оказывает влияния на результаты обработки; наибольшие структурные изменения под влиянием криогенных температур происходят в сталях с повышенным содержанием остаточного аустенита (высокоуглеродистые и легированные стали, причем в легированных сталях больше остаточного аустенита, чем в углеродистых); закономерности изменения размеров детали в результате аустенитно-мартенситных превращений следует определять опытным путем для конкретного

42.	Средние	значения	коэфс	рициентов	расширени.
стру	уктурных	составля	ющих	стали	

Структурная составляющая стали	Коэффициент линей- ного расширения с. 10°, °C-1	Коэффициент объем- пого расширения β•16°, °С−1
Аустенит	23,0	70,0
Мартенсит	11,5	35,0

43. Температура начала и конца мартенситного превращения для углеродистой стали, °С

Количество углерода,	Начало	Конец
%	превращения М _н	превращения М _К
0—0,3	350	200
0,3—1,17	180	—140

химического состава стали в зависимости от режимов предыдущей термообработки и конфигурации детали; при обработке детали особо сложной формы с неравномерным распределением массы рекомендуется немедленно после закалки применять отпуск для снятия закалочных напряжений; нельзя непосредственно после закалки производить охлаждение ниже нуля, так как в этих случаях увеличиваются напряжения и опасность образования трещин; криогенная обработка приводит к росту объема структурных составляющих при распаде остаточного аустенита. В табл. 42 приведены средние коэффициенты расширения аустенитно-мартенситных фаз стали.

Распад остаточного аустенита и превращение его в мартенсит происходят в определенном интервале температур (табл. 43). Если закалку осуществляли при пониженных температурах, то аустенит мало насыщен кислородом, его превращение полностью заканчивается при температуре ниже нуля, и такое охлаждение не вызывает дополнительных превращений. Если закалка выполнена при повышенных температурах, то в результате ее образуется аустенит с высокой концентрацией по углероду и легирующим элементам. При охлаждении стали, закаленной при повышенных температурах, ниже нуля проис-

44.	Влияние	криогенной	обработки	на	свойства	стали
-----	---------	------------	-----------	----	----------	-------

	Мартенситные точки, °С		Количест	Прирост твердости	
Сталь	M _{II}	M _K	до обра- ботки	после обработки	после обработки, <i>HRC</i>
У7 У8 У9 У10 У12 9XC X XВГ	300—250 250—225 225—210 210—175 175—160 210—185 180—145 155—120	-50 -55 -55 -60 -70 -60 -90 -110	3—5 4—8 5—12 6—18 10—20 6—17 9—28 13—45	1,0 1-6 3-10 4-12 5-14 4-17 4-17 2-17	0,5 1,0 1—1,5 1,5—3 3—4 1,5—2,5 3—6 5—10

ходит превращение аустенита в мартенсит, протекающее до температуры конца мартенситного превращения (табл. 44). Влияние 1 % легирующих элементов на температуру конца мартенситного превращения показано ниже.

Снижение температуры конца мартенситного превращения, °C
45
26
30
25
35
7

Охлаждение ниже этой температуры не вызывает дальнейшего превращения аустенита в мартенсит. Чем больше углерода и легирующих элементов в стали, тем выше температура закалки, тем большее количество остаточного аустенита получается в закаленной стали и, следовательно, тем ниже температура начала $M_{\rm H}$ и конца $M_{\rm H}$ мартенситного превращения (см. табл. 44). На количество остаточного аустенита оказывает влияние скорость охлаждения стали в области температур мартенситного превращения. С уменьшением этой скорости количество остаточного аустенита увеличивается. В некоторых марках стали не весь аустенит превращается

в мартенсит. Определенное количество его стабилизируется, причем тем большее, чем выше температура закалки и ниже температура мартенситного превращения. Выдержка закаленной стали при нормальной температуре ведет к стабилизации остаточного аустенита. После этого при последующем охлаждении превращение начинается не сразу, а после циклического гистерезиса в несколько десятков градусов. Продолжительность разрыва между временем закалки и криогенной обработки влияет на стабилизацию аустенита.

Температура, при которой аустенит стабилизируется, вависит от марки стали. Выше этой температуры, обозначаемой $M_{\rm c}$, аустенит не стабилизируется. Если $M_{\rm c}$ лежит ниже $20\,^{\circ}$ С, то между закалкой и криогенной обработкой может быть промежуток времени любой длительности. Если точка $M_{\rm c}$ лежит выше $20\,^{\circ}$ С, то криогенную обработку следует проводить сразу после закалки. Стабилизирующее влияние длительности выдержки после закалки будет тем больше, чем выше лежит точка $M_{\rm c}$. Стабилизация размеров технологической оснастки высокой точности достигается дополнительной термообработкой — старением, выполняемым после одноразовой криогенной обработки и предусматривающем длительный нагрев до $120-150\,^{\circ}$ С.

Криогенную обработку целесообразно применять для нерегулируемых разверток, расточных блоков, протяжек и прошивок, гладких и резьбовых калибров (скоб, пробок, колец, шаблонов), концевых мер длины, установочных мер, рабочих деталей штампов и пресс-форм, направляющих и фиксирующих деталей станочных приспособлений, контрольных и установочных оправок.

Особенности криогенной обработки технологической оснастки, изготовленной из различных сталей. В углеродистых сталях с содержанием углерода свыше 0,6 % в результате криогенной обработки обеспечивается повышение твердости при любой закалочной температуре (рис. 6). При этом надо учитывать, что положение точки $M_{\rm R}$ на шкале температур изменяется с изменением температуры закалки (табл. 45). При закалке от температуры 750 до 800 °C охлаждение углеродистых инструментальных сталей до —30 °C достаточно для максимального превращения остаточного аустенита. Чем ниже температура закалки, а

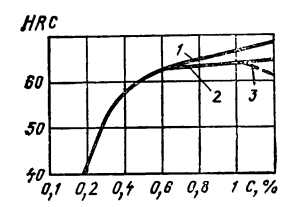


Рис. 6. Зависимость твердости закаленной углеродистой стали от содержания углерода и метода термообработки при нагреве:

1 — выше Ac_3 и обработке при криотемпературах; 2 — выше 780 — 800 °C; 3 — выше Ac_3

45. Зависимость температуры точки $M_{\rm R}$ углеродистой инструментальной стали от температуры закалки

Сталь	Температура закалки, °С	Температура М _к , °C
У8	780	0
У10	1000 780	-60 0
У12	1000 780 1000	—90 —20 —100

следовательно, чем меньше аустенит насыщен углеродом, тем меньше должен быть разрыв во времени

между закалкой и криогенной обработкой. Температура мартенситного превращения углеродистой инструментальной стали некоторых основных марок приведена в табл. 46.

С повышением температуры закалки быстрорежущей стали количество остаточного аустенита в ней при нормальной температуре возрастет; стабилизируемость его уменьшается. Поэтому криогенную обработку такой стали следует проводить при более низкой температуре. Сталь, закаленная при пониженных температурах нагрева, претерпевает более полное мартенситное превращение. Время между операциями закалки и криогенной обработкой для такой стали необходимо сократить. Если в процессе охла-

46. Температура мартенситного превращения и эффективность охлаждения ниже 0 $^{\circ}$ С углеродистых инструментальных сталей

	Границы превращения, °С		Количество го аустени охлажден	Прирост твердости <i>HRC</i> после	
Сталь	Мн	Mĸ	до 20°C	до М _к	охлаждения до М _к
У7 У8 У9 У10 У12	300—255 255—230 230—210 210—175 175—160	—55 —55 —55 —60 —70	До 5 3—5 5—12 6—18 10—23	До 1 1—5 3—10 4—12 5—14	До 0,5 До 1 1—1,5 1,5—3 3—4

47.	Зависимость	количества	остаточн	юго аустенита	в сталях
OT	продолжитель	ности пер <mark>е</mark> ј	рыва при	охлаждении	

Продолжительность перерыва при охлаждении, ч	Полнота превращення аустенита, %	Количество остаточно- го аустенита, %
0,1	88	До 6,5
1,0	63	9,5
10,0	35	15

ждения до 100 °C (табл. 47) делать остановки, то количество аустенита увеличится.

Для быстрорежущих сталей преимущества криогенной обработки сохраняются после отпуска при температурах до 580 °С. Если отпуск проводят при более высоких температурах, преимущество охлаждения ниже нуля исчезает. Для снижения количества остаточного аустенита наиболее эффективна термообработка, включающая в себя отпуск (при 580 °С для стали типа P18Ф2 K8M или 560 °С для стали типа Р6М5Ф2 К8 либо Р6М5Ф3) после закалки, криогенную обработку при —70 ... —100 °С (для указанных типов сталей) и двухкратный отпуск при 560—580 °С. После такой обработки количество остаточного аустенита приближается в стали типа P18Ф2К8М до 1,9 %, в стали типа P6М5Ф2К8 до 0,52 %; твердость стали *HRC* 65—66. Быстрорежущие стали, обработанные при криотемпературах и затем отпущенные, приобретают более равномерную твердость, чем стали, охлажденные только в масле и отпущенные 3 раза при 560 °C. Для резцов из быстрорежущей стали, обрабатываемой при криотемпературах, рекомендуется двукратный отпуск при 540 °C с выдержкой не менее 1 ч. Средняя стойкость инструментов, охлажденных ниже нуля, на 40—50 % превышает стойкость инструментов, не подвергающихся криогенной обработке. Температура мартенситного превращения легированной инструментальной стали некоторых основных марок приведена в табл. 48.

Криогенная обработка закаленных конструкционных сталей нецелесообразна, так как температура конца мартенситного превращения таких сталей выше 20 °С. Этот вид обработки применяют для конструкционных сталей, предварительно прошедших цементацию, азотирование или

48. Температура мартенситного превращения и эффективность охлаждения ниже нуля легированных сталей

	Границы превра- ицения, °С		Количесті го аусте халаж	Прирост твердости <i>HRC</i> после	
Сталь	M _H	M _K	20 °C	до М _К	охлаждения до М _к
7X 7X9 9X X 9XC XBI XI 20X3 13H2A 13H5A 12H5A 18X2H4BA	280—230 240—185 220—180 175—145 210—185 155—120 120—100 140—120 160—140 160—140 120—100 130—120	-55 -60 -70 -90 -60 -110 -120 -100 -95 -95 -120 -110	3-10 4-17 6-18 10-28 6-27 13-45 22-60 17-40 12-30 12-30 22-60 20-45	1—8 2—12 4—13 5—14 4—12 2—17 До 20 » 15 3—14 3—14 До 20 » 15	До 1 1—2,5 1—2,5 3—6 1,5—2,5 До 10 » 15 » 10 4—7 4—7 До 15 » 10

цианирование. Высокое содержание углерода в цементованном слое способствует сохранению в нем остаточного аустенита (особенно в сталях, содержащих такие легирующие элементы, как хром, никель и вольфрам). Твердость и износостойкость цементованных изделий при криогенной обработке повышаются. Режим криогенной обработки сталей с насыщенным поверхностным слоем аналогичен назначенному для углеродистых или легированных инструментальных сталей с количеством углерода и легирующих примесей, равным количеству, содержащемуся в поверхностном слое.

ющих примесей, равным количеству, содержащемуся в поверхностном слое.

Рекомендации по выбору режимов термообработки инструментальных сталей с применением криогенных температур. Внедрение в производство криогенных процессов для обработки инструментальных сталей связано с изменением последовательности операций термической обработки, возможным изменением режимов операций термообработки — цементации или закалки и отпуска, минимально допустимого промежутка времени между окончанием операции закалки и началом охлаждения ниже нуля, т. е. продолжительности вылеживания при нормальной температуре, наиболее оптимальной температуры охлаждения, скорости охлаждения и продолжитель-

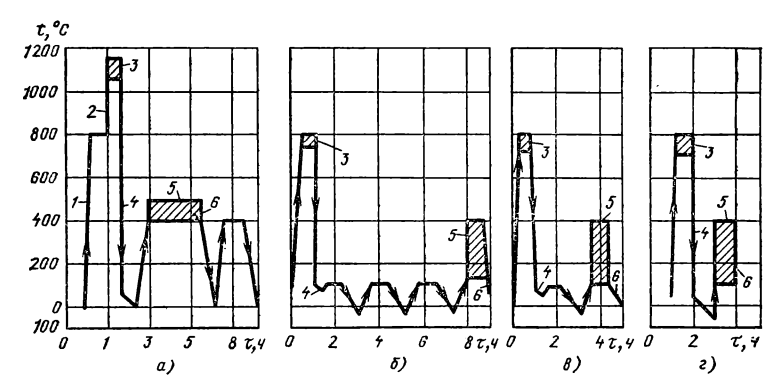


Рис. 7. Графики режимов термообработки сталей с применением криотемператур:

a — быстрорежущих; δ — шарикоподшипниковых; δ — легированных цементованных; ϵ — инструментальных; I — предварительный нагрев; 2 — закалка в масле; 3 — интервал температуры закалки; 4 — обработка при криотемпературах; δ — интервал температуры отпуска; δ — охлаждение

ности выдержки при низких температурах, экономичности (с учетом окупаемости затрат, связанных с усложнением технологии).

Для деталей особо сложной формы с неравномерным распределением массы и разными переходами по сечению, особенно для деталей, изготовленных из высоколегированных сталей, характеризуемых сквозным прокаливанием, немедленно после закалки выполняют отпуск для снятия закалочных напряжений. Если охлаждать такие детали ниже нуля, то увеличивается опасность образования трещин. Поэтому их подвергают обычному отпуску, затем охлаждают ниже нуля и, наконец, подвергают вторичному отпуску при несколько пониженной температуре. Такая последовательность технологического процесса предотвращает опасность возникновения кольцевых трещин в массивных инструментах из быстрорежущей стали, сваренной встык с углеродистой или низколегированной.

При изготовлении технологической оснастки высокой точности (измерительных инструментов, деталей прецизионных приборов и т. п.) возникает необходимость обеспечения максимальной стабилизации размеров. В этих случаях необходимо устранить остаточный аустенит, сохранившийся в стали в небольших количествах после одноразовой криогенной обработки. Это достигается дополни-

49. Зависимость удельного объема аустенита и мартенсита от количества углерода в стали

Количество	Удельный объем (см³/г)			
углерода	при 20°C			
в стали, %	аустенита	мартенсита		
0,2	0,12270	0,12761		
0,4	0,12313	0,12812		
0,6	0,12356	0,12863		
0,8	1,12399	0,12915		
1,0	0,12442	0,12965		
1,4	0,12528	0,13061		

тельной обработкой — старением изделий, предусматривающим длительный нагрев 120-150 °С. На рис. 7 приведены графики режимов термообработки различных сталей применением криотемператур.

Рекомендации по искриогенпользованию температур ных восстановления техно-

логической оснастки. Восстановление технологической оснастки. инструмента, с применением числе В TOM криотемператур основано на явлении роста структурных составляющих при распаде остаточного аустенита в охлажденных инструментальных

восстановления технологической оснастки Процесс с применением криотемператур состоит из щих операций: очистка, обезжиривание и проводимые с помощью технических салфеток следуюсушка, вочных жидкостей; комплектование технологической оснастки в партии с учетом температуры обработки и времени выдержки; криогенная обработка каждой партии в отдельности (время выдержки отсчитывается с момента прекращения кипения азота, а при использовании криогенной установки — с момента достижения требуемой отрицательной температуры в криогенном аппарате); оттаивание без использования источников теплоты, просушка по прекращении процесса охлаждения (после полного исчезновения снежного инея через 0,5—2 ч); контроль размеров технологической оснастки; доведение полученных размеров до исполнительных (выполняют по технологии, принятой для изготовления новой технологической оснастки) путем применения тонкого шлифования, притирки, хонингования и т. п.

Применение криогенных температур для стабилизации формы и размеров деталей. В результате самопроизвольных фазовых превращений в стали и перераспределения остаточных напряжений могут произойти изменения разтехнологической жидкостей; комплектование

меров и формы деталей во время их эксплуатации или хранения на складе. Эти процессы, протекающие медленно при нормальной температуре, могут интенсифицироваться под влиянием естественной теплоты рук рабочего, сезонных колебаний температуры, нагрева инструмента при снятии стружки либо в результате действия силы трения в подвижных соединениях и т. п.

Обычным способом стабилизации размеров и форм точных деталей из закаленной стали является отпуск (тепловое старение). Степень стабилизации повышается при дополнительном превращении остаточного аустенита, для чего очень часто требуется отпуск при столь высокой температуре, что деталь теряет необходимую по условиям работы твердость. При обработке стальных деталей крио-

50. Влияние криогенной температуры на размерную стабильность стали при 20 $^{\circ}\mathrm{C}$

	j ė			Изя	иенени	е 1 см	длинь	ир	и 20	°C, ı	MN	
я темпе-		HRC	О Ж Без отпуска						тпус		кратн течен 150°0	ие
Сталь	Криогенная ратура, °С	Твердость	Депр	Неделя	Месяц	Квартал	Год	День	Неделя	Месяц	Квартал	Год
Углеро- дистая инстру- менталь-	*1 50 160	66,0 67,0 66,5	0	-90 110 120	—175 —205 —240		-480	0 0 0	4 6 5	-8 -10 -8	-10 -14 -11	-17 -11 -16
ная Шарико- подшип- никовая Вольфра- мовая штампо-	*1 50 160 *1 50 160	65,0 66,0 66,0 66,0 67,5 67,5	0	-10 -36 -50 -52 -88 -94	*2 *2 *2 —101 —162 —173	-82 -110 -135 -156 -230 -248	197 259 355	0 0 0 0 0	-3 -1 -3 -5 -2	-5 -4 -2 -6 -8 -4	-6 -4 -4 -8 -11 -6	-8 -6 -6 -10 -14 -8
вая Марган- цовистая штампо- вая	*1 50 160	64,0 64,5 65,0	0 0	—11 —36 —50	-30 -71 -91	-48 -103 -128	87 158 183	0 0 0	-1 -3 -5	-2 -5 -8	$ \begin{array}{r} -4 \\ -7 \\ -10 \end{array} $	6 8 13

 $^{^{*1}}$ Приведены изменения $1\ \mbox{cm}$ длины необработанной стали при 20° С.

^{*2} Нет данных.

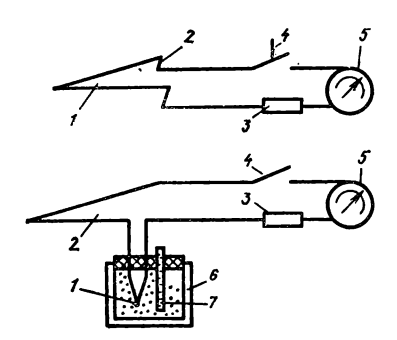


Рис. 8. Схемы прибора для замера низких температур до —150 °C:

1 — рабочий спай термопары хромель-копель; 2 — свободный спай; 3 — сопротивление 420 Ом; 4 — тумблер; 5 — потенцнометр; 6 — термос; 7 — термометр

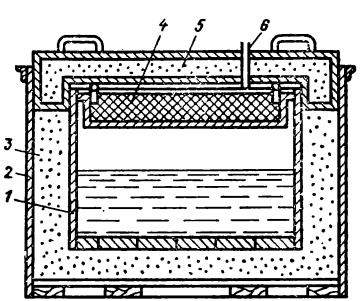


Рис. 9. Криогенный аппарат с жидкой ванной:

1 — сварной бак; 2 — контейнер; 3 — теплоизоляция; 4 — сетка с деталями; 5 — крышка; 6 — испарительная трубка

генным методом их размеры стабилизируются, что имеет особое значение для стальных закаленных точных деталей технологической оснастки, стабильность форм и размеров которых должна быть обеспечена на все время хранения и эксплуатации (калибров, мерительных эталонов, точного режущего инструмента, рабочих деталей штампов, пресс-форм и т. п.). Чем больше остаточного аустенита в структуре стали, тем эффективнее в этом отношении криогенная обработка (табл. 50).

Эффективность стабилизации размеров деталей возрастает при сочетании тепловых (отпуск, старение) и низкотемпературных методов обработки. На основании этого в зависимости от требований, предъявляемых к деталям, которые должны сохранить точные размеры, можно рекомендовать следующие варианты технологических процессов: закалка, криогенная обработка, продолжительный отпуск, включающий тепловое старение (для деталей повышенной точности, измерительных инструментов и т. п.); закалка и чередующиеся охлаждение ниже нуля и отпуск (или старение) по схеме: охлаждение—отпуск—охлаждение—отпуск (или старение для деталей особо высокой точности, где необходимо обеспечить постоянство конфигурации и размеров). Для размерной стабилизации закаленных стальных деталей необходимо обеспечить более пол-

ное превращение остаточного аустенита, чем для получения максимальной твердости.

максимальной твердости.

Приборы для измерения криогенных температур. Для измерения криогенных температур в холодильных камерах применяют спиртовые термометры, дистанционные измерители, унифицированные электрические термометры, электронные автоматические уравновешенные мосты.

При отсутствии специальных средств измерения криогенных температур для этих целей можно использовать прибор, изготовленный по простейшим схемам, приведенным на рис. 8. Для настройки прибора рабочий спай помещают в криогенный аппарат, а свободный спай выводят в атмосферу. Термометром замеряют температуру окружающего воздуха и устанавливают стрелку потенциометра со специально проградуированной шкалой на замеренную температуру, после чего прибор готов к работе. Второй вариант схемы прибора отличается тем, что свободный спай помещен в колбу, установленную в термосе, наполненном льдом. Стрелку потенциометра устанавливают на нуль. Для повышения точности показаний потенциометра необходимо следить по спиртовому термометру за тем, чтобы температура свободного спая была постоянно равна нулю.

Источники получения криогенных температур для

Источники получения криогенных температур для обработки инструментальных материалов. В качестве источников умеренного холода (до —70 °C) при обработке технологической оснастки используют аммиачные и фреоновые установки; для получения криогенной температуры (до —135 °C) — криогенные установки. Могут также при-

51. Характеристика криоагентов

Криоагент	Агрегатное состояние	Температура нижняя при нормальном давлении, °С	Скрытая теплота испарения при температуре кипения и нормальном давлении, кДж/кг
Углекислый газ	Твердое	78,5 *	574,8 **
Кислород	Жидкое	182,8	213,7 *
Азот	»	195,8	197,8

^{*} Температура сублимации сухого льда при нормальном дав-

^{**} Скрытая теплота сублимации, кДж/кг.

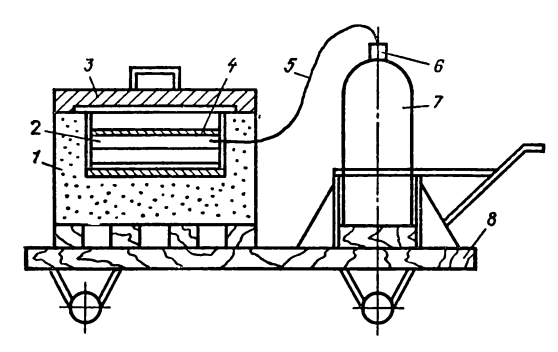


Рис. 10. Передвижной криогенный аппарат с использованием сжиженного углекислого газа:

1 — криоаппарат; 2 — рабочая ванна; 3 — крышка; 4 — сетка; 5 — шланг; 6 — редуктор; 7 — баллон; 8 — тележка

меняться криогенные аппараты и с другими источниками криотемпературы (рис. 9). Криоагентами обычно служат твердый углекислый газ (сухой лед), жидкий азот, жидкие кислород и воздух (смесь жидкого азота и жидкого кислорода) и др. Характеристика криоагентов приведена в табл. 51, температура их кипения при атмосферном давлении указана ниже.

Аммиак	33,5
Углекислота .	-78,5
Хлористый метил	-23,7
Азот	-195,8
Смесь твердой углекислоты с:	
хлористым метилом	8 2
хлороформом	 77
этиловым эфиром .	 77
треххлористым фосфором	 76
этиловым спиртом	7 2
хлористым этилом.	60
ацетоном	7 8
Фреон	-29,4
Этилен	-105,2
Метан .	-161,5
Кислород	—1 83 [°]

При отсутствии готового сухого льда его можно получить в результате дросселирования из баллона сжиженного углекислого газа (рис. 10) через небольшое (диаметром 1,5—3 мм) отверстие сопла.

УПРОЧНЕНИЕ ХИМИКО-ТЕРМИЧЕСКИМИ МЕТОДАМИ

НАСЫЩЕНИЕ СОЕДИНЕНИЯМИ УГЛЕРОДА

Цементация в твердом карбюризаторе. Цементации в твердом карбюризаторе подвергают стальные детали для повышения твердости, теплостойкости и износостойкости, достигаемых при последующей закалке. Цементацию деталей малой и средней длины проводят в камерных печах, большой длины в шахтных печах. Детали

1. Составы карбюризаторов для цементации

Состав	Компонент	Содержа- ние, %	Состав	Компонент	Содержа- ние, %
2 3 4	Углекислый барий Углекислый кальций Летучие Вода Древесный уголь Углекислый кальций Вода Полукокс Углекислый барий Углекислый кальций Мазут или патока Древесный уголь Углекислый натрий Углекислый кальций Каревесный уголь Углекислый кальций Углекислый кальций Древесный уголь Иглекислый кальций Древесный уголь Иглекислый кальций Древесный уголь	20—25 2,5—5 До 10 » 6 Остальное 10—15 3,5 До 6,0 Остальное 12—15 1,0—1,5 3,0—5,0 4,5—5,0 Остальное 10,0 3,0	9 10 11	Углекислый натрий Древесный уголь Углекислый натрий Древесный уголь Углекислый барий Торфяной кокс Ацетат натрия Полукокс Древесный уголь Мазут Ацетат бария Полукокс Древесный уголь Древесный уголь Углекислый натрий Древесные опилки Костная мука Углекислый натрий Подсолнечная	10 90 10 90 6—10 90—94 10 30—35 55—60 2—3 10 75—80 10—15 100 5—8 92—95 60 5
				лузга	

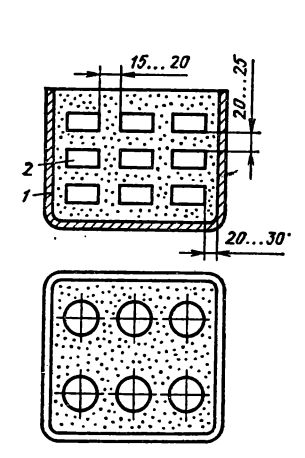


Рис. 1. Схема упаковки деталей в цементационный ящик: 1 — ящик; 2 — детали

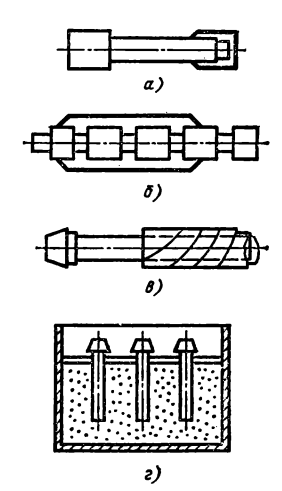


Рис. 2. Местная защита от цементации:

a — колпачок; b — труба; b — обертывание асбестом; b — частичная упаковка в карбюризатор

укладывают в цементационные ящики с карбюризатором. При выборе формы ящиков стремятся сократить неиспользуемый объем так, чтобы обеспечивался равномерный подогрев за минимальное время. Составы карбюризаторов приведены в табл. 1. Детали укладывают следующим образом: на дно ящика насыпают слой карбюризатора толщиной 30-40 мм, на него помещают детали, затем снова насыпают слой карбюризатора и так далее до верха ящика. Последним сверху должен быть слой карбюризатора (между деталями и крышкой) толщиной 20-30 мм (рис. 1). Детали должны занимать 10-15 %, а карбюризатор — 85—90 % объема ящика. При укладке деталей необходимо следить, чтобы они не касались друг друга и стенок ящика. Каждый слой карбюризатора во избежание осадки последнего и провисания деталей необходимо уплотнять, встряхивая ящик. На верхний слой карбюризатора кладут лист асбеста, закрывают ящик крышкой и обмазывают ее смесью огнеупорной глины с песком. После естественной сушки ящики ставят в печь, нагретую до заданной температуры. Расстояние между ними должно быть не менее 30—50 мм. Продолжительность процесса цементации приведена в табл. 2. При ступенчатом режиме цементации процесс ведут в два этапа: после полного прогрева ящиков с деталями в печи устанавливают рабочую температуру 950 °C. После выдержки температуру в печи снижают до 850 °C и выдерживают ящики с деталями в течение времени, указанного в табл. 3.

2. Продолжительность цементации в твердом карбюризаторе при температуре 910—930 °С в зависимости от требуемой глубины слоя и размера ящика

Минимальный	Обц		ельность проце не слоя, мм	ecca,
размер ящика, мм	0,5-0,7	0,7-0,9	0,9-1,2	1,2-1,5
100 150 200 250	4—5 4,5—6,5 5,5—6,5 6,5—7,5	5—6 5,5—6,5 6,5—7,5 7,5—8,5	6—7,5 6,5—8,5 7,5—9,5 8,5—10,5	7,5—9 Св. 9 до 11 10—12 11—14

3. Зависимость продолжительности (мин) цементации в твердом карбюризаторе при ступенчатом режиме обработки от требуемой глубины слоя

	Глубина слоя, мм				
Рабочая температура, °C	0,7—1,0	1,1-1,5			
950 850	1 2	2 3			

4. Составы защитных обмазок при цементации в твердом карбюризаторе

Компонент	Содержание компонента, %	Рекомендации по изготовлению и применению смеси
Тальк Глина огнеупорная Вода Песок Глина огнеупорная Бура Селитра натриевая Окись свинца	50 25 25 40 44 10 3 3	В смесь добавляют жидкое стекло до сметансобразной консистенции Все составляющие перемешивают и разводят на жидком стекле до получения сметанообразной консистенции

Продолжение табл. 4

		TIPOROTIME TO TOTAL L
Компонент	Содержание компонента, %	Рекомендации по изготовлению и применению смеси
Тальк	58	Смесь разводят на жидком стек-
Окись алюминия	28	ле (одна часть смеси и три части
Сурик свинцовый	14	жидкого стекла)
Глина шамотная	90	Смесь разводят на воде до сме-
Асбестовая крошка	10	танообразной консистенции. Предпочтительно применять для
•-		защиты отверстий
Медь однохлористая	70	Замешивают на канифольном ла-
Сурик свинцовый	30	ке до сметанообразной конси-
Песок (кремнезем)	60	Разводят на жидком стекле (три
Глинозем	35	части смеси и одна часть жид-
Окись железа	3	кого стекла). Пасту наносят
Окись титана	0,25	в два слоя
Окись магния	1,75	
Глина огнеупорная	40	Разводят на жидком стекле до
Песок сеяный	45	сметанообразного состояния. Па-
Бура	12	сту наносят в два слоя
Нитрид натрия	3	_
Маршаллит	85	Разводят на жидком стекле
Бура	2	
Тальк	13	6
Хромокислый калий	12	Составы готовят отдельно и сме-
Кальцинированная	1	шивают в пропорции 1 1
сода Поташ	4	
Жидкое стекло	77	
Маршаллит Маршаллит	80	
маршаллит Каолин	20	
Тальк	66	Составы готовят отдельно и сме-
Каолин	34	шивают в пропорции 1 1. Раз-
1/40011111	0.	водят на жидком стекле, нано-
		сят в два слоя толщиной до 1 мм
		каждый
Асбестовый порошок	35	Хранят не более 2 ч с момента
Жидкое стекло	65	приготовления
Окись меди	30	Наносят в два слоя
Тальк	20	
Жидкое стекло	50	

Разборку ящиков после цементации осуществляют при температуре не выше 100 °С. Остывшие детали должны иметь светло-серую поверхность. При частичной цементации деталей поверхности, не подлежащие обработке, следует защищать (рис. 2) с помощью асбеста, труб, кол-

паков и обмазок, состав которых приведен в табл. 4 (составы доводят до сметанообразной консистенции).

ставы доводят до сметанообразной консистенции).

Контроль качества цементованных деталей выполняют по образцам-свидетелям, изготовленным из стали той же марки и прошедшим термическую обработку и цементацию вместе с контролируемой партией деталей. Глубину цементованного слоя измеряют по микрошлифам. Контроль качества деталей, цементованных в пастах, аналогичен контролю деталей, цементованных в твердых карбюризаторах. Контроль после газовой цементации выполняют по образцам-свидетелям аналогично контролю деталей после цементации в твердом карбюризаторе. Контроль состава газовой среды в печи ведется с помощью газоанализатора. Температура нагрева деталей контролируется оптическим фотопирометром (табл. 5).

Ниже в качестве примера приведена технология приго-

фотопирометром (табл. 5).

Ниже в качестве примера приведена технология приготовления защитной обмазки, состоящей из 70 %-ной меди однохлористой и 30 %-ного свинцового сурика. Смесь замешивают в 15 %-ном растворе канифоли в очищенном скипидаре. Компоненты (например, 85 г свинцового сурика и 215 г однохлористой меди) просеивают через сито и тщательно перемешивают. В 100 мл скипидара растворяют 15 г канифоли. Затем в пяти объемах растворяют 15 г канифоли. Затем в пяти объемах раствора замешивают три объема сухой смеси. Готовую обмазку наносят кисточкой на обезжиренные участки поверхности детали слоем 1,0—1,5 мм, просушивают при температуре 100—150 °С в течение 1,0—1,5 ч и охлаждают. Допускается повторное нанесение обмазки. После цементации пленка защитной обмазки удаляется струей воды или металлической повторное нанесение обмазки. После цементации пленка защитной обмазки удаляется струей воды или металлической щеткой. Для повышения стойкости инструмента из быстрорежущей стали его заготовки подвергают цементации. В результате можно получить сталь с мелкими равномерно распределенными карбидами в диффузионном слое. Возрастают твердость и износостойкость, но ухудшаются прочность и вязкость, в структуре стали сохраняется большое количество остаточного аустенита (до 40 %). Количество остаточного аустенита может быть снижено при комплексной термомеханической обработке заготовок способом, изложенным в а. с. 737479 (СССР). Способ включает в себя химико-термическую обработку, высокотемпературную термомеханическую обработку (ВТМО), закалку, отпуск и криогенную обработку.

5. Виды, причины брака при цементации, методы предупреждения и исправления

Брак	Метод определени	Основные причины образования	Методы предупреждения и исправления
Разъедание поверхности изделия	Осмотр	Наличие в карбюризаторе сернокислых солей более 3—6 %	Применение карбюризатора, содержащего не более 3—6 % сернокислых солей. Дополнительная механическая обработка
Стекловидные наплывы на поверхности	Осмотр	Наличие песка в кар- бюризаторе	Просеивание карбюризатора, имеющего песок. Дополнительное травление в серной или соляной кислоте либо механическая обработка, в том числе и гидроабразивная очистка
Неодинаковая глубина цементации	Осмотр излома	Плохое перемешивание карбюризатора, неравномерный прогрев ящика	Тщательное перемешивание кар- бюризатора, равномерный про- грев ящика. Повторная цемен- тация при защите зон поверх- ности с повышенным содержа- нием углерода
Излишняя глубина це- ментации	Осмотр излома	Повышенные температуры и время выдержки при цементации	Контроль режима

Брак	Метод определения	Основные причины образования	Методы предупреждения и исправления
Повышенная концентрация углерода в цементованном слое	Просмотр шлифа под микроскопом	Применение сильного карбюризатора	Контроль режима, Двойная за- калка
Пониженная концентрация углерода в цементованном слое	Определение твердости, просмотр шлифа под микроскопом	Низкая температура цементации, примененение слабого карбюризатора, перегрузка печи деталями	Контроль режима. Повторная цементация по режиму в нормальном карбюризаторе
Недостаточная глубина цементации	Осмотр излома, про- смотр шлифа под ми- кроскопом	То же	То же
Поверхностное обезуглероживание цементованного слоя	Определение твердости, просмотр шлифа под микроскопом	Излишне медленное охлаждение ящиков с печью после цементации	Контроль режима. Повторная кратковременная цементация при нормальной температуре
Неравномерная цементация	Определение твердости	Грязная поверхность изделия, усадка кар- бюризатора	Нагрев в ящиках, наполненных смесью угля с 3—5 % кальцинированной соды, до 920—940 °С и выдержкой при этой температуре 2—4 ч

6. Режим комплексной обработки заготовок из стали Р6М5 для снижения количества остаточного аустенита

Операция	Темпера- тура, °С	Количество остаточного аустенита в зависимости от вида обработки, %
Цементация ВТМО:	1150+5º	_
аустениз ац ия	1200	_
деформация	1050	==
Закалка	В масле	57
Отпуск (первый)	560	40
Отпуск (второй)	560	35
Обработка при криотемпера- турах	— 196	16

Примеров и разверток) из быстрорежущей стали Р6М5. Заготовки подвергают высокотемпературной цементации в твердом карбюризаторе при температуре 1150+50 °С с выдержкой в течение 8 ч. В результате глубина слоя насыщения углеродом достигает 3,2 мм при концентрации 1,1 %. Затем осуществляют ВТМО по следующему режиму: нагрев до температуры аустенизации 1200 °С, подстуживание до 1050 °С, горячее гидродинамическое выдавливание заготовок зенкеров со степенью деформации 72 % и заготовок развертки со степенью деформации 65 % за проход без пресс-остатка, с последующей немедленной закалкой в масле.

с последующей немедленной закалкой в масле. Выдавленные заготовки подвергают двухкратному отпуску при 560 °С продолжительностью по 1 ч и криогенной обработке в жидком азоте в течение 30 мин по режиму, приведенному в табл. 6. В результате такой обработки профильная заготовка инструмента имеет поверхностный упрочненный и износостойкий слой глубиной 2,1—2,3 мм по вершине зуба, твердостью HRC 66—68 с припуском под шлифование. Износостойкость зенкеров и разверток, обработанных указанным способом, в 1,5—2 раза выше по сравнению с инструментом, изготовленным другими способами. Рентгеноструктурные и металлографические исследования показывают, что деформация в режиме ВТМО способствует формированию однородной дисперсной структуры металла с аустенитным зерном 12—13 балла и карбидной неоднородностью 1—2 балла.

7. Составы паст, применяемых для цементации стали

Состав	Компонент	Содержани е, %
1	Газовая сажа Кальцинированная сода Железосинеродистый калий Веретенное масло (отработанное)	28 3,5 1,5 67
2	Голландская сажа Кальцинированная сода Декстрин Индустриальное масло (отработанное)	30 10 20 40
3	Голландская сажа Кальцинированная сода Щавелево-кислый натрий	55 30 15
4	Ацетиленовая сажа Кальцинированная сода Декстрин Мазут	30 20 10 40
5	Древесноугольная пыль Кальцинированная сода Железосинеродистый калий Декстрин	75 5 10 10
6	Ацетиленовая сажа Кальцинированная сода Железосинеродистый калий Декстрин	60 30 5 5
7	Голландская сажа Кальцинированная сода Железосинеродистый калий Декстрин	70 10 10 10

Использование этого способа обеспечивает получение высокой твердости поверхностного слоя, повышенных прочностных и пластических свойств сталей, износостойкости, долговечности и надежности работы инструмента, повышение качества и стойкости режущего инструмента в 1,5—2,0 раза и снижение расхода инструментальных сталей на 30—50 %.

Цементация в пасте. При единичном и мелкосерийном производстве применяют цементацию в пасте, позволяющую сократить продолжительность процесса. Составы паст приведены в табл. 7.

Для изготовления паст исходные материалы просеивают и взвешивают в нужной пропорции, затем ссыпают в мешалку и тщательно перемешивают. Жидкие составляющие (масло, мазут, керосин) вводят при непрерывном перемешивании. Паста должна иметь сметанообразную консистенцию. Для получения равномерной глубины цементованного слоя пасту необходимо наносить на поверхность детали ровным слоем. Приближенно можно считать, что толщина слоя пасты должна быть в 5—8 раз больше требуемой глубины цементованного слоя. Перед покрытием пастой детали должны быть тщательно очищены от окалины, коррозии, грязи и т п в противочищены от окалины, коррозии, грязи и т. п.; в противном случае паста плохо удерживается на поверхности. ном случае паста плохо удерживается на поверхности. Детали, покрытые слоем пасты, загружают в ящики. Кромки крышек ящиков тщательно промазывают огнеупорной глиной. Цементацию проводят при 910—950 °C. Продолжительность цементации пастой при температуре процесса 950 °C по сравнению с цементацией в твердом карбюризаторе при 910 °C сокращается в 5—6 раз. Содержание углерода в цементованном слое достигает 1,0—1,2 %; твердость после закалки превышает HRC 60. 1,2 %; твердость после закалки превышает *HRC* 60. После цементации детали охлаждают на воздухе, затем осуществляют закалку. В целях экономии времени и сокращения числа подогревов закалку деталей целесообразно проводить непосредственно после извлечения их из цементационного ящика, температура которого на воздухе снижается до температуры закалки.

Цементация в жидкой среде. Этот процесс осуще-

ствляется в ваннах с расплавленными солями и приме-

8. Составы ванн для цементации в жидкой среде

Состав Компо	пент Содержание, %
1 Кальцинированная со Поваренная соль Карбид кремния 2 Кальцинированная со Поваренная соль Хлористый аммоний Карбид кремния	8—10 7—8

няется для обработки деталей небольших размеров. Составы ванн приведены в табл. 8.

Предварительно очищенные и подогретые до 300—400 °С детали загружают в соляную ванну в сетчатом ковше. Рабочая температура процесса 850—870 °С, скорость цементации в пасте состава 1 0,25—0,35 мм/ч, состава 2 0,45—0,55 мм/ч; достигаемая глубина цементации 0,1—0,5 мм.

Газовая цементация. Осуществляют в муфельных шахтных электропечах. В качестве жидких карбюризаторов применяют бензол, синтин, керосин, пиробензол, индустриальное и трансформаторное масло; в качестве газообразных — природный и попутный газы, газ нефтяных месторождений, пропано-бутановые смеси. В шахтные печи с вентиляторами жидкие карбюризаторы подают в виде капель или в пылевидном состоянии через фор-

9. Расход карбюризатора при газовой цементации

	теристика течи	Керосин, пиробензол, синтин			Природный газ		
2	33 413 74	кап	ель/мин	i	м ³ /ч		÷
Объем рабочего престранства, м³	Средняя часовая производительность при цементации на глубину 1 мм, кг/ч	Нагрев	Выдерж- ка	л/ч на 1 м³ рабоче- го пространства	Нагрев	Выдерж- ка	л/ч на 1 м³ рабоче- го пространства
0,04 0,080 0,14 0,25 0,35 0,03 0,10 0,14 0,34 2,80 37,0	100 150 220 400 600 1500 50 150 220 600	25—35 35—45 35—45 50—75 50—75 60—80 25—35 35—45 35—45	60—70 60—90 70—90 120—150 150—170 40—60 60—90 70—90 120—150 2,0—2,5	4,50 2,50 1,50 1,47 1,05 0,52 4,50 2,10 1,50 1,10 0,80	0,4—0,6 0,4—0,6 — 0,3—0,5	1,2—1,6 1,2—1,6 1,2—1,8 — 0,9—1,2 0,9—1,2	13,0 7,5 5,6 4,0 1,78 - 10,0 7,5 4,1 1,8 1,2

Примечание. Принято, что в 1 см³ жидкого карбюризатора содержится в среднем 23 капли.

10. Зависимость глубины цементованного слоя от продолжительности выдержки при температуре 930 °C (без учета времени прогрева)

	Продолжительность цементации, ч					
Глубина слоя, мм				Ma	Масло	
	Керо- син	Бензол	Пиро- бензол	транс- форма- торное	инду. стриаль- ное 20	Синтин
От 0,7 до 1,0 Св. 1,0 » 1,3 » 1,3 » 1,6 » 1,6 » 1,9 » 1,9 » 2,5	5—7 7—9 9—11 11—13 13—15	 810 1012 1315 1518	4—6 6—8 8—10 10—12	4—6 5—8 8—10 10—12 13—15	7—9 10—12 12—14 14—17 —	3—4 5—6 6—8 9—10

11. Составы защитных обмазок при газовой цементации

Состав	Компонент	Содер- жание, % по массе	Примечание
1	Маршаллит Бура Тальк	85—90 1,5—2,0 10—15	Разводят на жидком стекле
2a	Хромовокислый кальций Кальций Сальцинированная сода	12 7	Составы 2а и 2б приготов- ляют отдельно и смеши- вают в соотношении 1 1
26	Поташ Жидкое стекло Маршаллит Каолин	4 77 80 20	
3	Песок Глина Бура	44 40 13 3	Разводят на жидком стекле и наносят в два слоя
4	Нитрит натрия Тальк Каолин	70 30	Разводят на жидком стекле
5	Асбестовый порошок Жидкое стекло	35 6 5	Хранят не более 2 ч с мо- мента приготовления
6	Свинцовый сурик Окись алюминия	8 16	Наносят в два слоя. Обмазка пригодна при вы-
7	Тальк Жидкое стекло Окись меди Тальк Жидкое стекло	16 72 30 20 50	сокотемпературной цементации Наносят в два слоя

сунки, соединенные с двух- или четырехплунжерными насосами. Расход различных карбюризаторов приведен в табл. 9. Цементующая активность жидких карбюризаторов приведена в табл. 10.

При частичной цементации поверхности детали, не подлежащие обработке, следует изолировать от атмосферы печи с помощью защитных обмазок, составы которых приведены в табл. 11. Очищенные детали, уложенные в корзину или в специальные приспособления, загружают в печь на расстоянии 5—10 мм друг от друга. Продолжительность периода нагрева определяется в зависимости от типоразмера печи и

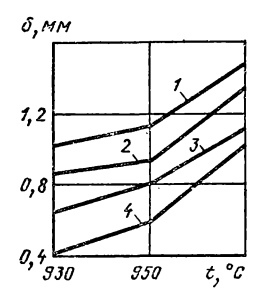


Рис. 3. Влияние температуры на глубину цементации при различных карбюризаторах:

1 — сиптин; 2 — керосин; 3 — уайт-спирит; 4 — индустриальное масло

колеблется в пределах 1—4 ч. Скорость нагрева и выдержку определяют с помощью данных, приведенных в табл. 12, 13. Заданную глубину цементованного слоя получают путем подбора температуры процесса. Рабочая температура обычного режима цементации 900—940 °C, высокотемпературной цементации 970—1100 °C. Влияние температуры на глубину цементации при выдержке в течение 3 ч и использовании различных карбюризаторов показано на рис. 3.

Охлаждение деталей после газовой цементации осуществляют в колодцах, на воздухе или в закалочных

12. Средние значения скорости газовой цементации при различной температуре процесса

_	C	корость,	при температуре, С		
Глубина слоя,	900	925	950	975	1000
До 0,5 0,5—1,0 1,0—1,5 1,5—2,0 2,0—2,5	0,45 0,30 0,20 0,15 0,12	0,55 0,40 0,30 0,20 0,15	0,75 0,55 0,40 0,25 0,20	0,75 0,55 0,35 0,25	0,95 0,75 0,55 0,40

⁴ Полевой С. Н и др.

13. Продолжительность выдержки при нитроцементации инструментов из быстрорежущей стали

Инструмент	Днаметр нли толщина, мм	Выдержка, ч
Сверла, зенкеры, развертки	До 15 15—25	1,0—1,5 1,5—2,0
Метчики	25—50 До 15 15—25 25—50	2,0—3,0 0,5—1,0 1,0—1,5 1,5—2,0
Фрезы:	20-00	1,0-2,0
резьбовые с зубьями шлифованными	25—50 Св. 50	1,0—1,5 1,5—2, 0
то же, нешлифованными	25—50 Св. 50	1,5—2,0 2,0—2,5
червячные и шлицевые с зубьями шлифованными	50—75 Св. 75	1,0—1,5 1,5—2,0
то же, нешлифованными	50—75 Св. 75	1,5—2, 0 2,0—2,5
цилиндрические, фасонные и торцовые	До 50 50—75 Св. 75	1,0—1,5 1,5—2,0 2,0—2,5
Резцы:		, ,
дисковые	До 10 Св. 10	1,0—1,5 1,5—2,0
круглые	До 5 5—15	1,0—1,5 1,5—2,0
тангенциальные	10 25	1,5 2,0

средах (при непосредственной закалке). Скорость охлаждения выбирают такой, чтобы обеспечивались минимальное коробление, отсутствие трещин, карбидной сетки и, в случае необходимости, возможность механической обработки.

Метод газовой цементации применяют и для упрочнения инструментов, изготовленных из твердых сплавов и быстрорежущих сталей. Этим методом за 3— 5 ч цементации при температуре 1000—1100 °С можно получить диффузионный слой толщиной 3—7 мкм, состоящий из монокарбидов Ti, V, Nb, Cr, Mo, W и сложных карбидов Ti—Nb, Ti—Cr, Nb—Cr и др. Газовую цементацию используют для повышения эксплуатационной стойкости ковочных штампов, изготовленных из сложнолегирован-

ных сталей, обладающих эффектом вторичной твердости (например, сталь состава (%): С 0,36; Si 1,1; Cr 5,3; W 1,3; Мо 1,5; V 0,3). Инструмент подвергают подогреву до 590 °С, затем нагреву в камере в атмосфере эндогаза до 850 °С и цементации при 1020 °С в атмосфере эндогаза, обогащенной метаном, от 0,5 до 3 ч. Охлаждение (закалку) после цементации проводят в эндогазе, после чего выполняют трехкратный отпуск при 560 °С с выдержкой 1 ч на каждые 200 мм сечения. Получают цементованный слой глубиной до 0,75 мм с твердостью на поверхности HV 650; содержание С на поверхности 0,7 %, в середине слоя 0,5 %. Стойкость цементованных штампов при изготовлении клапанов возрастала до 4000—6000 шт. против 1800—2500 шт. для обычных штампов; при изготовлении шпинделей стойкость возрастала до 5500 товлении шпинделей стойкость возрастала до 5500—6000 шт. против 4000—4500 шт. Цементация может быть применена и для штампов из других Cr—Мо—V и Cr—Мо—W-содержащих сталей.

Низкотемпературная нитроцементация. Такой обра-ботке подвергают технологическую оснастку, изготовлен-ную из быстрорежущей стали всех марок. При нитроце-ментации происходит одновременно насыщение поверх-ностного слоя азотом и углеродом, образующимися в ре-зультате разложения жидкого цианизатора — триэтановультате разложения жидкого цианизатора — триэтаноламина $(C_5H_5O)_3N$, жидкого или газообразного карбюризатора и аммиака при их одновременной подаче в печь. В качестве жидких карбюризаторов применяют керосин, легкое индустриальное масло, пиробензол; в качестве газообразных — природный газ и газ, используемый для бытовых нужд. Состав карбюризатора и атмосферы печи при низкотемпературной нитроцементации приведен в табл. 17.

в табл. 17. Низкотемпературная нитроцементация повышает твердость на поверхности изделий, сопротивление износу и задиру, обеспечивает хорошую прирабатываемость и высокую износостойкость. При низкотемпературной нитроцементации инструмента из быстрорежущих сталей за 60-240 мин происходит образование диффузионного слоя глубиной 0.03-0.08 мм с содержанием углерода 0.96-1.02 % и азота 0.15-0.30 %. Слой имеет высокую твердость (H_{25} 91.7-97.8) и износостойкость. Хрупкого слоя, содержащего избыточную ϵ -фазу, на поверхности инстру-

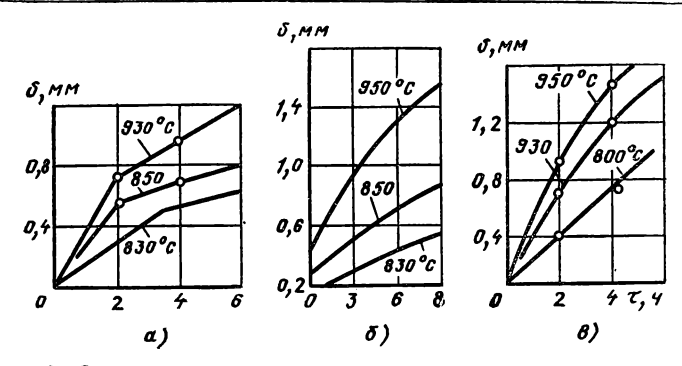


Рис. 4. Зависимость глубины нитроцементованного слоя от температуры процесса:

a — триэтаноламин; b — пиробензол и аммиак; b — индустриальное масло и аммиак

мента не образуется. Поверхность приобретает матовый, синеватый цвет. Нитроцементацию проводят в шахтных муфельных электропечах или в камерных электропечах после механической и термической обработки. Инструмент не должен иметь прижогов, заусенцев и других дефектов на поверхности режущих кромок. Твердость инструментов перед нитроцементацией должна быть не менее HRC 61. Подготовка деталей к нитроцементации заключается в очистке и обезжиривании поверхности. С этой целью их тщательно протирают и промывают в бензине или 5 %-ном растворе каустической соды (едкого натра), нагретом до 80—90°C в течение 10—15 мин. После промывки детали насухо протирают и устанавливают в приспособлении или укладывают в корзины с соблюдением зазоров, необходимых для свободной циркуляции газов. способления с нитроцементуемыми деталями загружают в печь после того, как в ней будет достигнута рабочая температура, равная температуре предшествовавшего отпуска (для инструментов из быстрорежущей стали 550— 560°C, для инструментов из высокохромистых сталей типа X12 и X12Ф1 510—520°C). Подачу карбюризатора проводят при закрытой крышке печи. В период прогрева печи до рабочей температуры в нее вводят примерно 30— 40 % объема карбюризатора. Остальное количество карбюризатора (60—70 %) расходуют равномерно в течение всего периода выдержки деталей в печи. Глубина слоя нитроцементации составляет 0,02—0,05 мм. На рис. 4 показана зависимость глубины нитроцементованного слоя от температуры процесса. Продолжительность низкотемпературной нитроцементации дана в табл. 14, средняя скорость нитроцементации — в табл. 15, режимы высокотемпературной нитроцементации приведены в табл. 16. Продолжительность выдержки устанавливают в зависимо-

14. Продолжительность низкотемпературной нитроцементации при 570 °C

Насыщающая среда	Продолжительность процесса, ч
Эндогаз (40 % $\rm H_2$, 20 % CO, 40 % $\rm N_2$) + 25 % аммиака Экзо- и эндогаз (20 % $\rm H_2$, 20 % CO, 60 % $\rm N_2$) + + 50 % аммиака	0,5—3
Экзогаз (90 % N_2 , 10 % CO_2) $+$ 50 % аммиака, 50 % продуктов пиролиза керосина, спирта или синтина $+$ 50 % аммиака	1—6

Примечания: 1. При применении эндогаза ниже 700 °C возможен взрыв. Для предотвращения взрыва рекомендуется следующая технология: у передней дверцы создается пламенный затвор, печь нагревают до 800 °C, подают при этой температуре эндогаз и аммиак, далее снижают температуру до 620 °C, печь постоянно продувают газом, загружают детали и выполняют процесс при 570 °C.

2. После окончания процесса ускоренное охлаждение в светлокалящем масле или потоке защитного газа.

15. Средняя скорость нитроцементации (мм/ч) при различных температурах процесса

Глубина слоя, мм	Температура процесся, °С				
	860	930	950		
До 0,5	0,20	0,40	0,50		
0,5—1,0	0,15	0,30	0,40		
1,0—1,5	0,12	0,20	0,30		

16. Режимы высокотемпературной нитроцементации стали

Насыщающая среда	Темпера- тура, °С	Глубина слоя, мм	Примечание
Эндогаз (20 % СО, 40 % Н ₂ , 40 % N ₂) + + 3—5 % природного газа + 3—5 % аммиака *	860	0,25—1,0	Процесс осуществляется в безмуфельных методических печах. Углеродный потенциал регулируется по точке росы или содержанию СО ₂ . Приборы для регулирования потенциала азота не разработаны
Маловодородный экзоэндогаз (20 % CO, 20 % H ₂ , 60 % N ₂) + 0,5—0,8 % природного газа + + 2—4 % аммиака	860	0,5—0,8	То же. Применение маловодородной эндотермической атмосферы менее пожароопасно, а также устраняет возможность возникновения водородной хрупкости
Маловодородный эндогаз + 1,5 % природного газа + 4—6 % аммиака	820—860	0,20,5	
Природный газ + + 20—25 % аммиака	860	0,6-0,9	Процесс ведется в верти- кальных печах типа Ц
Триэтаноламин + + 10 % воды	860—930	0,2—1,0 0,8—1,5	Процесс осуществляется в вертикальных и ретортных шнековых печах. Дозированную подачу триэтаноламина в печь осуществляют с помощью топливного насоса
Синтин, керосин, спирт и т. п. + 5— 50 % аммиака от об- щего объема ^{2*}	860—930	0,4—1,5	Процесс в∘дется в верти• кальных печах

 ^{1*} Из-за отсутствия приборов автоматического регулирования азота подача аммиака в атмосферу печи должна строго регулироваться.
 2* Рекомендуется подавать в печь азот для лучшей циркуляции газа в рабочем объеме печи. В печь Ц-60 рекомендуется вводить 43—49 % керосина (0,5 л/мин), 14—17 % аммиака (2,0 см³/мин) и 34—43 % технического азота (150 см³/мин).

70

	Темпе-	Расход,						
(C ₈ H ₄ OH ₈)N	NH₄OH	NaNO ₃	Na AlO ₂	H ₂ O	ратура печи, °С	ка- пель/мин		
94,5	0,5	0,3	0,3	4,4	550	<u>50</u> 60		
94,5	0,5	0,3	0,3	4,4	560	55 65		
95,3	0,5	0,4	0,2	3,6	560	60		

17. Состав карбюризатора и атмосферы печи при нитроцементации

Продолжение табл. 17

Точка	Состав атмосферы печи,* %							
росы	со	СН₄	NH ₃	Ił,	CO ₂	O ₂		
-2+1 -3-6 -3-7	26—27 28—30 27—29	3,0—3,2 3,5—4,3 3,4—3,8	7—8 6—9 8—11	28—30 28—32 24—27	0,60 0,30 0,60	0,3 0,2 0,5		

Примечания: 1. В числителе приведены данные расхода для печи Ц-25; в знаменателе — для печи Ц-75.

сти от вида и размеров поперечного сечения инструмента. В табл. 13 указана продолжительность выдержки с момента достижения рабочей температуры 550—560 °С при нитроцементации деталей из быстрорежущей стали. По окончании выдержки прекращается подача аммиака, а затем и карбюризатора. Печь выключают, и после того, как погаснет факел отходящих газов, крышку открывают и выгружают инструменты из муфеля.

Для изготовления специального инструмента из стали P6M5, подвергающегося карбидизации, рациональна следующая технология. Фильеры, центры для шлифования, матрицы и пуансоны для вырубки листовых заготовок после механической обработки с припуском до 0,15 мм

^{*} Остальное азот.

на сторону подвергают карбидизации по режиму: загрузка в печь Ц-25, разгретую до 940 °С, подача карбюризатора (80 капель/мин в первые 30 мин и 100—110 капель/мин во время выдержки в течение 6—10 ч); охлаждение садки в масле, загрузка на отпуск при температуре деталей 120—140 °С, отпуск при 200—220 °С в течение 6 ч, охлаждение на воздухе; заточка, измерение твердости по Виккерсу (Н V_{30/30} 950—980); шлифование, доводка, промежуточный отпуск при температуре 180 °С в течение 6 ч.

отпуск при температуре 180 °С в течение 6 ч. Дисковые резцы, матрицы для холодной высадки, развертки карбидизируют по аналогичному режиму, охлаждают на воздухе, проводят высокий отпуск при $700\,^{\circ}$ С в течение 4 ч. Затем проводят закалку с подогревом до $840\,^{\circ}$ С в течение 20 мин, нагревом до $1120-1140\,^{\circ}$ С (8— $10\,^{\circ}$ мин) в масле. После трехкратного отпуска при температуре $520\,^{\circ}$ С в течение 2 ч измеряют твердость HV_{50} 96— $107\,^{\circ}$ и проводят заточку с промежуточным отпуском при $500\,^{\circ}$ С в течение 2 ч.

107 и проводят заточку с промежуточным отпуском при 500 °C в течение 2 ч.

Газовая карбидизация в продуктах пиролиза триэтаноламина с активизирующими добавками для повышения твердости специального инструмента из стали типа Р6М5 экономична, позволяет повысить износостойкость фильер, матриц, пуансонов по сравнению с аналогичной оснасткой из стали типа X12М в 2—4 раза или до уровня твердосплавных из сплавов марок ВК10, ВК20.

Для инструментов, прошедших нитроцементацию, применяют следующие виды контроля: наружный осмотр для выявления видимых следов окисления, бурого налета, закоксовывания, а также забоин, сколов и пр.; выборочный контроль твердости с помощью приборов Виккерса либо Супер—Роквелла и проверка хрупкости слоя с помощью прибора Роквелла (проверка ведется по образцамсвидетелям, изготовленным из той же стали, что и инструменты, и прошедшим термическую обработку и нитроцементацию вместе с инструментами); контроль состава газов в печи путем химического анализа проб отходящих газов; контроль расхода газа с помощью реометров; контроль расхода жидких карбюризаторов, а также триэтаноламина путем измерения мензуркой подачи в единицу времени. времени.

Для интенсификации процесса насыщения и повышения износостойкости диффузионного слоя в карбюризатор,

содержащий триэтаноламин и воду, дополнительно вводят уксуснокислый аммоний, аммоний и никель азотнокислый [а. с. 740863 (СССР)]. В карбюризатор, содержащий триэтаноламин и воду, дополнительно вводят уксуснокислый аммоний, аммоний и никель азотнокислый при следующем соотношении компонентов (%): уксуснокислый аммоний 2,5—6,0; азотнокислый аммоний 3,0—10,0; азотнокислый никель 0,5—1,2; сода 1,0—12,0; триэтаноламин остальное.

ламин остальное.

Введение в триэтаноламин азотнокислого и уксуснокислого аммония снижает температуру разложения основного компонента триэтаноламина до 490—500 °С. Скорость и полнота пиролиза, определяемого по выходу активных газов, повышается на 30—80 %. Образующиеся частицы окиси никеля оказывают влияние на связывание водорода в молекулярную форму, что предотвращает возникновение повышенной хрупкости в поверхностном слое. Карбюризатор готовят последовательным введением в чистый триэтаноламин насыщенных водных растворов азотнокислого аммония NH4NO3, уксуснокислого аммония CH3COONH4 и азотнокислого никеля Ni(NO3)2. Азотнокислый аммоний приготовляют растворением в воде при нормальной температуре 1780—1800 г/л химически чистого NH4NO3; уксуснокислый аммоний вводят в виде содержащего 1400—1480 г/л водного раствора; азотнокислый никель — в виде содержащего 2300—2350 г/л водного раствора. Максимальное количество воды, вводимое с насыщенными водными растворами, не превышает 12 %.

Пример. Подвергают нитроцементации при 570 °C в течение 3 ч в печи Ц-25 зенкеры из стали Р9К5, имеющие после закалки и отпуска *HRC* 65,5. Состав карбюризатора (%): уксуснокислый аммоний 6,0; азотнокислый аммоний 10; азотнокислый никель 1,2; вода 7,5; триэтаноламин остальное.

ноламин остальное. Расход карбюризатора в первые 20 мин составляет 138 см 3 /ч, а затем 156 см 3 /ч. Охлаждают на воздухе. Скорость насыщения составляет 0,03 мм/ч против 0,015 мм/ч в других карбюризаторах. Получают слой глубиной 0,101 мм с микротвердостью $H_{\mu_{s_0}}$ 1007, в то время как при обработке в других карбюризаторах глубина слоя 0,056 мм. Износостойкость слоя повысилась в 1,5 раза.

Карбюризатор обеспечивает повышение скорости образования слоя с оптимальным соотношением азота и углерода в 1,5—1,7 раза. Износостойкость инструмента

разования слоя с оптимальным соотношением азота и углерода в 1,5—1,7 раза. Износостойкость инструмента повышается в 1,4—2 раза. Слои не склонны к выкрашиванию при ударных нагрузках и при значительных толщинах (0,2—0,25 мм). Карбюризатор прост в приготовлении, не содержит дефицитных и токсичных компонентов, не образует сажистых смолистых соединений в печах и системах отвода газообразных продуктов из печей. Нитроцементация в твердых смесях применяется прементов из быстрорежущих сталей. Рабочая смесь (%): 60—80 древесного угля и 20—40 желтой кровяной соли, либо 20—40 животного угля, 40—60 древесного угля и 20—25 желтой кровяной соли. Составляющие смеси дробят, просеивают и тщательно перемешивают. Поперечный размер кусочка угля не должен превышать 1—3 мм. Смесь просушивают при температуре 100—120 °С. Предварительно очищенные детали упаковывают в металлические ящики, пересыпая их смесью. Ящики устанавливают в печь и выдерживают при температуре 550—560 °С в течение 2—3 ч. Затем ящики выгружают из печи, охлаждают до 200—100°С и распаковывают. Охлаждение ящиков до нормальной температуры приводит к слипанию

дают до 200—100°С и распаковывают. Охлаждение ящиков до нормальной температуры приводит к слипанию смеси, что затрудняет распаковку и очистку. При указанной продолжительности выдержки глубина нитроцементованного слоя достигает 0,015—0,055 мм.

— Нитроцементация пастами. Состав пасты: 16,7 желтой кровяной соли; 21,5 карбюризатора; 4,2 углекислого натрия; 3,8 карборунда; 0,9 цемента и 52,9 жидкого стекла. Паста в сметанообразном состоянии наносится на обрабатываемую деталь, предварительно подогретую до 300°С. Карборунд и цемент способствуют быстрому затвердеванию пасты на воздухе, препятствуют стеканию солей при нагреве детали до температуры обработки. Поверх слоя пасты наносят смесь из 60% кварца и 40% жидкого стекла и погружают в 30%-ный водный раствор аммиака. При последующем нагреве ТВЧ смесь превращается в керамическую оболочку. Для нитроцементации нагрев производится ТВЧ до температуры 1200°С. За 2 мин глубина слоя достигает примерно 1 мм. Метод удобен при производстве зубчатых колес, дисков, муфт,

кулачков и других подобных деталей, изготовляемых из конструкционных сталей.

кулачков и других подобных деталей, изготовляемых из конструкционных сталей.

Цементация литого инструмента из быстрорежущего инструмента — повышенная хрупкость из-за наличия в структуре стали карбидной эвтектики. Повышение износостойкости такого инструмента может быть достигнуто обезуглероживанием поверхностного слоя металла и последующей его высокотемпературной цементацией [а. с. 850703 (СССР)]. Способ включает гомогенизирующую обработку, закалку и отпуск. Гомогенизирующую обработку проводят двухступенчато при 1270—1280 °С и 1310—1320 °С в обезуглероживающей атмосфере, а затем осуществляют высокотемпературную цементацию. Обезуглероживание при 1270—1280 °С обеспечивает получение низкоуглеродистой оболочки, необходимой для предотвращения роста расплавленной эвтектики, которая образуется при 1310—1320 °С. За сравнительно короткое время получают слой феррита в 2—3 мм. В нем эвтектические карбиды полностью отсутствуют.

Последующее науглероживание обезуглероженной поверхности (например, высокотемпературная цементация) позволяет получить в поверхностном слое структуру с мелкозернистыми равномерно распределенными карбидами, обеспечивающую после окончательной термической обработки высокие режущие свойства и износостойкость литого режущего инструмента из быстрорежущей стали.

Пример Заготовки размером 10×100×60 мм

стали.

стали.

Пример. Заготовки размером $10 \times 100 \times 60$ мм, полученные методом точного литья из быстрорежущей стали Р6М5, нагревают до $1270\,^{\circ}$ С и обезуглероживают в среде влажного водорода в течение 1 ч. Затем повышают температуру до $1310\,^{\circ}$ С с двухчасовой выдержкой при этой температуре. Последующее охлаждение со скоростью 15 град/с. В результате на поверхности заготовок обравуется слой феррита толщиной 3 мм. Обезуглероженные заготовки подвергают высокотемпературной цементации в стандартном твердом карбюризаторе при $1150\,^{\circ}$ С с выдержкой в течение 2 ч. Охлаждение до $850\,^{\circ}$ С ведут є печью. Выдерживают при этой температуре 2 ч и окончательно охлаждают с печью. В результате высокотемпературной цементации в обезуглероженном поверхностном слое об-

разуется структура с мелко дисперсными равномерно распределенными карбидами.
После химико-термической обработки проводится окончательная термическая обработка по режиму, соответствующему термической обработке быстрорежущей стали Р6М5. Величина и темп изнашивания резцов из этой быстрорежущей стали, обработанных по предложенному

Ромъ. Величина и темп изнашивания резцов из этой быстрорежущей стали, обработанных по предложенному способу, значительно меньше, чем у резцов, изготовленных из литой быстрорежущей стали. Способ обеспечивает получение поверхностного слоя с мелкодисперсными равномерно распределенными карбидами, что значительно повышает режущие свойства и износостойкость литого режущего инструмента из быстрорежущей стали.

Диффузионное насыщение инструментов, изготовленных из быстрорежущих сталей, карбидами металлов непосредственно в процессе резания можно осуществить описанным ниже способом [а. с. 722999 (СССР)]. Известно, что в результате заточек, которым подвергаются инструменты после химико-термической обработки, происходит частичное обезуглероживание режущих кромок и отпуск затачиваемых поверхностей, что приводит к снижению их твердости. Способ повышения износостойкости режущих инструментов непосредственно при их эксплуатации включает в себя нагрев и диффузионное насыщение металла инструмента в полимерсодержащей среде. Нагрев осуществляют обработкой резанием, а насыщение подачей полимерсодержащей среды в зону резания. В качестве полимерсодержащей среды используют 10 %-ную суспензию полиэтилена низкого давления (ГОСТ 16338—77) в 5 %-ной водной эмульсии эмульсола ЭТ-2. Обработка резанием в полимерсодержащей среде осуществляется при ужесточении режимов резания на 20—30 % в течение 2—3 мин. Ужесточение режимов обработки по сравнению с обычно принятой технологией требуется для соелеужесточении режимов резания на 20—30 % в течение 2—3 мин. Ужесточение режимов обработки по сравнению с обычно принятой технологией требуется для создания в зоне обработки необходимых энергетических условий, обеспечивающих с одной стороны эффективную термомеханодеструкцию полимерного компонента среды до образования активного атомарного углерода, а с другой — высокую температуру и ингредиент механических напряжений на режущих кромках инструмента. При резании в полимерсодержащей среде происходит науглероживание инструмента. Высокая температура в зоне резания спо-

собствует деструкции полимера, содержащегося в среде, с последующим образованием активного углерода. Это значительно ускоряет его диффузию в металл инструмента (содержание углерода в процессе такой обработки в полимерсодержащей среде увеличивается на 0,4—0,5 %). Высокая концентрация активного углерода в зоне резания и наличие ювенильных (свободных от окислов) по-

ния и наличие ювенильных (свободных от окислов) поверхностей способствуют дополнительному образованию мелкодисперсных карбидов типа Fe₃W₃C.

Пример. Сверла из стали P6M5, диаметром 25 мм при сверлении стали 40X перед проведением сравнительных испытаний на износостойкость эксплуатировались в 10 %-ной суспензии полиэтилена низкого давления и 5 %-ной водной эмульсии эмульсола ЭТ-2 в течение 2—3 мин при следующих режимах: скорость 39,2 м/мин, подача 0,28 мм/об, глубина сверления 100 мм.

Сравнительные испытания проводили с использованием в качестве смазочно-охлаждающей жидкости 5 %-ной водной эмульсии эмульсола ЭТ-2. Режим сверления: скорость 27,9 м/мин, подача 0,28 мм/об, глубина сверления 100 мм. Стойкость инструмента фиксировалась по достижении износа задней поверхности, равного 1 мм.

ления 100 мм. Стойкость инструмента фиксировалась по достижении износа задней поверхности, равного 1 мм. В результате, в среднем по партии из 10 сверл, сверла, упрочненные описанным способом, обладают стойкостью в 5—6 раз больше стойкости стандартных.

Таким образом, способ позволяет повысить производительность труда за счет экономии времени на смену и заточку инструмента, проводить упрочнение инструмента непосредственно на рабочем месте, без дополнительного оборудования. Достигается экономия дорогостоящих инструмента произвольного постоящих инструмента приментальных стальных из наготов дение раукимих струментальных сталей, идущих на изготовление режущих инструментов.

инструментов.

Карбонитрирование. Одним из перспективных направлений увеличения стойкости режущего инструмента из быстрорежущей стали является его термодиффузионное насыщение азотом и углеродом (жидкое азотирование). Значительный эффект получается при карбонитрировании зубчатых колес, кулачков, резьбовых соединений из ферромагнитных конструкционных сталей и др.

Насыщение поверхностных слоев инструмента углеродом, азотом, серой или несколькими элементами одновременно повышает его твердость, износостойкость, со-

Обезжиривание	Подогрев	Нагрев для карбонитрирования	Охлаждение
Горячий 3 %-ный рас- твор NaOH	До 300—350 °C в течение 10—15 мин	Соляная ванна, продувка возду- хом до 540— 560°C	На воздухе до 150°C Перенос в расплав NaOH—NaNO ₂ — NaNO ₃

18. Технологический гроцесс карбонитрирования быстрорежущих сталей

противление усталости и соответственно стойкость. Однако применяемые в настоящее время способы химико-термической обработки имеют ряд недостатков.

Процесс цианирования на основе цианида натрия (NaCN) и цианида калия (KCN) не находит широкого применения из-за высокой токсичности. Газовое азотирование инструмента требует длительного времени например, обработка крупногабаритных штампов длится 36-40 ч. Поэтому перспективным является процесс низкотемпературного жидкостного азотирования на основе неядовитых солей — цианатов и карбонатов. Процесс основан насыщении поверхности азотом и углеродом (карбонитрирования (в расплаве солей типа КСNО (80—85 % КСNО и 15—20 % $\rm K_2CO_3$), NaCNO при температуре 540—560 °C. Наиболее часто используют расплав, состоящий из 25— 38 % NaCNO (получаемого сплавлением мочевины и кальцинированной соды в соотношении 1,3 1), 25— $35 \% \text{ Na}_2\text{CO}_3$ и 28—40 % KCl. Карбонитрированию подвергают режущий инструмент (как новый, так и восстановленный), изготовленный из всех марок быстрорежущей стали, после окончательной термической (закалка, отпуск) и механической (шлифование, заточка, полирование) обработки. Инструмент для карбонитрирования должен быть очищенным от грязи, обезжиренным, без каких-либо защитных, оксидных или других покрытий.

Подогрев инструмента в воздушной атмосфере проводят в течение 10—15 мин при температуре 300—350 °С. Для ведения процесса карбонитрирования используют

Оксидирование	Промывка	Промывка в эмульсоле	Просушка
Раствор NaOH—KNO₂ при 140°C в течение 20—30 мин Стабилизация, температура 300°C	В горячей воде	5 %-ный рас- твор Э2, или ЭТ2, ИГЛ-205	На воздухе

19. Продолжительность карбонитрирования основных видов инструмента, мин

Инструмент	Размер инструмента, мм	Время выдержки в ванне, мин	Глубина карбонитри- дного слоя, мкм
Сверла (диаметр)	7—10 10—20 20—30	15—20 20—25 25—30	10—15 15—20 20—30
Развертки, зенкеры, мет- чики	Более 30 7—10 10—20 20—30 Более 30	30—45 15—20 20—25 25—30 25—40	20—30 10—15 15—20 20—30 15—20
Фрезы (диаметр): резьбовые концевые насадные Борфрезы (диаметр)	До 35 35—50 Более 50 7—10 10—20 20—30 Более 30	20—25 25—30 35—45 15—20 20—25 25—30 30—45	10—15 10—15 10—15 10—15 10—15 10—15
Дисковые фрезы (толщина)	1—2 2—5 5—10 10—15 Более 15	10—15 15—20 20—25 25—30 20—45	7—10 10—15 10—15 10—15 10—15

Продолжение табл. 19

Инструмент	Размер инструмента, мм	Время выдержки в ванне, мин	Глубина карбопитри- рованного слоя, мкм
Фрезы цилиндрические (диаметр) Фрезы червячные шлицевые (диаметр) Гребенки круглые Токарные и строгальные резцы (толщина) Пресс-формы литья под давлением (сталь 3X2B8) Знаки для пресс-форм (сталь 3X2B8Ф) (толщина) Штамповый инструмент	До 25 25—40 40—60 Волее 60 Более 60 Вое размеры 6×10 8×12 10×16 16×24 20×30 30×45 Все размеры До 25 Более 25 Все размеры	10—15 25—30 30—40 50—60 25—30 30—45 30—40 15—20 20—25 25—30 30—35 35—40 40—45 120—150 60—90 90—120	10—15 10—15 10—15 10—15 20—30 20—30 15—20 10—15 15—20 20—30 20—30 80—150 40—80 80—100 30—60

печь-ванну, снабженную системой вентиляции. Агрегат состоит из бака для обезжиривания, печи с воздушной атмосферой для подогрева, печи-ванны с температурой нагрева до 600 °С, ванны для оксидирования (воронения) при температуре до 140 °С, ванны (бака) для удаления соли с поверхности инструмента. Основные технологические операции процесса карбонитрирования приведены в табл. 18. Карбонитрирование инструмента проводят при температурах: для быстрорежущих сталей марок P18, P9K10, P12 — 560 °С и марок P9, P6M5 — 550 °С; для легированных сталей марок X12M, X12Ф, X12 — 540 °С. Длительность выдержки инструмента в ванне при указанной температуре карбонитрирования приведена в табл. 19.

Максимальные значения микротвердости 1316 получены при температуре ванны 550—570 °С независимо от

времени выдержки. При температуре 580 °C такая микротвердость получается только при выдержке 25—30 мин. Твердость сердцевины во всех случаях составляет более 60.

Для карбонитридного инструмента важно иметь не только высокую поверхностную твердость, но и плавное ее изменение от поверхности к сердцевине, предотвращающее скалывание диффузионного слоя. Оптимальным

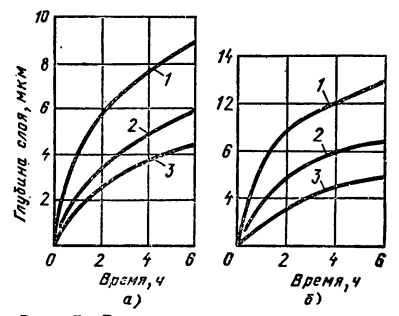


Рис. 5. Влияние времени выдержки и температуры на глубину карбонитридного слоя:

a — для стали P18; b — для стали P6M5; b — 1100 °C; b — 1050 °C; b — 1000 °C

режимом карбонитрирования быстрорежущих сталей следует считать температуру 560 °C и выдержку 20—25 мин. Режим позволяет при достаточной толщине диффузионного слоя получать максимальную твердость 1316, плавно изменяющуюся от поверхности к сердцевине изделия. Оптимальная глубина карбонитридного слоя для режущего инструмента составляет 20—30 мкм, микротвертость отога 970, 1200. Микроспримента карбонитридного слоя для режущего инструмента составляет 20—30 мкм, микротвертость отога 970, 1200. дость слоя 970—1200. Микроструктура карбонитриддость слоя 970—1200. Микроструктура кароонитридного слоя при всех режимах практически одинакова и состоит из двух зон. У поверхности диффузионного слоя расположена светлая нетравящаяся полоса — карбонитридная фаза на основе гексагонального нитрида железа, легированного углеродом (Fe₃N, C). Толщина этой зоны зависит от температуры и времени выдержки. При выдержке 15 мин зона нитрокарбидов отсутствует. Максимальная толщина зоны (10—15 мкм) наблюдается после карбонитрирования по режиму: температура процесса 550—570 °С, выдержка 30 мин. За зоной нитрокарбидов расположена травящаяся зона — тонкая смесь феррита, карбидов, нитридов, карбонитридов железа и легирующих элементов (вольфрама, ванадия, хрома, молибдена). Наибольшая толщина этого слоя (60—65 мкм) получена при 550—570 °С и выдержке 30 мин. Зона основного металла представляет собой высоколегированный мартенсит отпуска и карбиды. На рис. 5 приведена параболическая зависимость глубины карбонитридного слоя от вре-

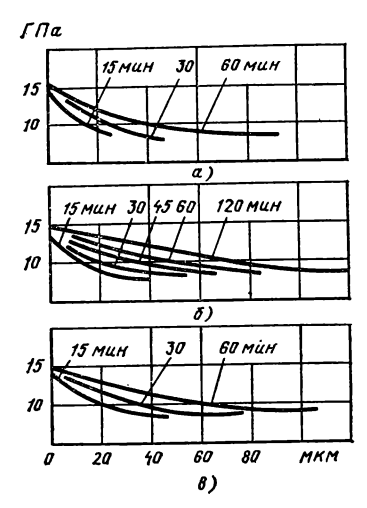


Рис. 6. Изменение микротвердости по глубине карбонитридного слоя в стали Р9К5 при $540\,^{\circ}\mathrm{C}$ (a), $560\,^{\circ}\mathrm{C}$ (σ) и $580\,^{\circ}\mathrm{C}$ (σ)

мени выдержки сталей Р18, Р6М5, Р9К5; на рис. 6 показано изменение микротвердости по глубине карбонитридного слоя в стали P9K5. Для других марок результаты сталей аналогичны и отличаются только абсолютными значениями величин.

Карбонитрирование значительно увеличивает износостойкость быстрорежущей стали. Например, коэффициент трения сталей Р6М5 и Р9 за счет карбонитрирования уменьшается в 2—3 раза. Стойкость сверл, фрез и других видов режущего инструмента после карбонитрирования увеличивается в 3—5 раз.

Карбонитрирование аустенитных сталей типа 12X18H10T повышает их стойкость против заедания, т. е. возникновения и развития повреждений поверхности трения вследствие схватывания и переноса материала деталей пары трения под влиянием больших нагрузок при высоких скоростях скольжения и температуре.

насыщение соединениями азота

Азотирование. Процесс насыщения поверхности стали азотом. Азотированию подвергают технологическую оснастку, изготовленную из легированных сталей 3Х2В8Ф, Х12, Х12Ф1, 7Х3 по ГОСТ 5950—73 и сталей 38Х2МЮА, 20Х и 30Х по ГОСТ 4543—71, для получения высокой поверхностной твердости и износостойкости. Азотирование проводят в шахтной электрической печи сопротивления с герметичным муфелем из жаростойкой стали, снабженным вентилятором и трубками для ввода и вывода газов.

Технологическую оснастку, поступающую на азотирование, предварительно подвергают улучшению, механиче-

ски обрабатывают и очищают от коррозии и грязи. Перед загрузкой в муфель технологическую оснастку обезжиривают. Особо ответственные изделия, например, пресс-

вают. Особо ответственные изделия, например, прессформы для литья пластмасс, перед азотированием фосфатируют. Мелкую оснастку подвешивают в муфеле печи на мягкой стальной проволоке диаметром 0,5—1,0 мм, крупную устанавливают на металлическую подставку на дно муфеля. При этом необходимо следить, чтобы рабочие поверхности не соприкасались. Укладывать и подвешивать изделия следует осторожно, без ударов.

Герметичность муфеля проверяют пропусканием через него аммиака под давлением 3,5—5,0 кПа следующим образом: включают печь, нагревают ее до 100 °С, затем впускают аммиак. После выхода аммиака из печи и прохождения его через бутыль, заполненную водой, измеряют давление. Давление проверяют по водяному манометру в течение всего процесса; избыточное давление должно быть 2—4 кПа. Степень диссоциации аммиака контролируют по диссоциометру. Температуру регулируют автоматически потенциометром. Рабочая температура азотирования 500—570 °С; продолжительность выдержки в зависимости от требуемой глубины слоя и температуры процесса задают из расчета 15 ч на 0,1 мм азотированного слоя. слоя.

Слоя.
Продолжительность процесса при азотировании инструментов, изготовленных из быстрорежущих сталей, приведена в табл. 20. Средняя скорость азотирования в зависимости от температуры процесса и глубины азотирования показана в табл. 21. Режимы термической обработки некоторых сталей перед азотированием даны в табл. 22. Оптимальные режимы процесса азотирования должны соответствовать указанным в табл. 23. Степень диссоциа-

соответствовать указанным в табл. 23. Степень диссоциации аммиака устанавливается в зависимости от температуры процесса; при 500—520 °C выдерживается в пределах 18—25 %; при 530—550 °C в пределах 25—40 %. На рис. 7 показана зависимость продолжительности формирования азотированного слоя от температуры процесса и влияние легирующих элементов на глубину и твердость азотированного слоя. После азотирования проводят замедленное охлаждение вместе с печью до температуры 300—350 °C при сохранении подачи аммиака. Твердость азотированной технологической оснастки до-

20. Продолжительность выдержки инструментов из быстрорежущей стали при азотировании в смеси аммиака (20—40 %) и (60—80 %) науглероживающего газа при 550— $560\,^{\circ}$ C

Инструмент	Диаметр или толщина ин- струмента, мм	Выдержк а, ч
Сверла, зенкеры, развертки	До 15 15—25 25—30	1,0—1,5 1,5—2,0 2,0—3,0
Метчики	До 16 15—25 25—50	0,5—1,0 1,0—1,5 1,5—2,0
Резьбовые фрезы: с шлифованным зубом с нешлифованным зубом	25—50 Св. 50 25—50 Св. 50	1,0—1,5 1,5—2,0 1,5—2,0 2,0—2,5
Фрезы цилиндрические, фасонные и торцовые	До 50 50—75 Св. 75	1,0—1,5 1,5—2,0 2,0—2,5
Резцы: дисковые круглые тангенциальные	До 10 Св. 10 До 5 5—15 10×10 25×25	1,0—1,5 1,5—2,0 1,0—1,5 1,5—2,0 1,5 2,0
		!

21. Средняя скорость азотирования

	Скорость азотиро	вания (мм/ч) при	температуре, °С
Глубина слоя, мм	500	550	600
До 0,2 0,2—0,4 0,4—0,6 0,6—0,8	0,020 0,015 0,010 —	0,040 0,030 0,020 0,015	0,06 0,03 0,02

22. Режимы термической обработки перед азотированием

Сталь	Закалка, °С	Отпуск, °C	Твердость <i>НВ</i>
38X2MIOA 30X3MФ 40XH2MA 30XH2MA 30XH2MФА 18X2H4MA 12X13 20X13 11X11H2B2MФ 10X11H20T3P 45X14H14B2M	940±10 в масле или теплой воде 880±10 в масле 850±10 » » 850±10 » » 850±10 » » 850—870 в масле или на воздухе 1000—1050 в масле 1000—1050 в масле или на воздухе 1000±10 в масле или на воздухе 1000±10 в масле или на воздухе 1000±10 в масле Нормализация 3—5 ч на воздухе	600—670 в масле или воде 580—620 на воздухе 580—600 » » 540—560 » » 580—650 » » 680—780 в масле 600—700 в масле или в воде 660—710 на воздухе 750 на воздухе	302—341 285—321 302—341 302—341 302—341 302—341 179—241 241—341 269—321 302—388 179—269

23. Режимы азотирования стали

Сталь	Температура процесса, °С (+40°С)	Продол- житель- ность, ч	Глубина слоя, мм	Поверхност- ная твер- дость HV_{100} номинальная
X12Ф1 X12Ф1 4X8B2 3X2B8Ф	510 510 510 560	25 55 36 65	0,15—0,20 0,20—0,30 0,30—0,35 0,45—0,55	900—1000 900—1000 900—1000 700—750
7Х3 38Х2МЮА	500—520 510 для первой ступени 550 для второй ступени	48—60 15 25	0,40—0,50 0,5—0,6 0,5—0,6	1000—1100 850—1000 850—1000
18X2H4MA	490—510	40—50	0,35—0,40	750—850

Быстрорежущие стали подвергаются жидкостному, газовому и твердому азотированию. Важным условием качественного азотирования является правильное проведение исходного ТО инструмента, надлежащей очистки его поверхности, отсутствие обезуглероживания. Быстрорежущие стали с высоким содержанием W склонны к выкрашиванию после азотирования. Наиболее пригодны для азотирования Мо- и W — Мо-содержащие стали. Азотирование быстрорежущей стали повышает твердость до HV 1300; в сталях с высоким содержанием V до HV 1500. Для режущего инструмента предпочтительна HV 1100. При жидкостном азотировании оптимальные результаты получаются при 570 °C и продолжительности процесса до 15 мин. Выдержка при азотировании сверл, разверток, зенкеров при температуре 570 °C определяется из расчета 0,5 мин на 1 мм сечения; при температуре 540 °C 0,7 мин на 1 мм сечения. Азотирование инструмента для нарезки резьбы в бакелите повышает его стойкость на 50—70 %. Азотирование инструмента для нарезки резьбы в пластмассе, армированной стекловолокном, повышает его стойкость в 3—4 раза. Азотирование спиральных сверл диаметром свыше 2 мм также повышает их стойкость. Азотированию подвергаются дисковые пилы толщиной более 0,4 мм. Жидкостное азотирование постепенно вытесняет газовое азотирование инструмента из быстрорежущей стали. Твердое азотирование инструмента из быстрорежущей стали не дало положительных результатов. результатов.

результатов.
При газовом азотировании особое внимание следует обратить на качественное проведение депассивации поверхности (в 20 % -ной HCl с последующей промывкой в нейтрализаторе), тщательное выдерживание продолжительности циклов процесса и степени диссоциации насыщенного газа (аммиака). Для повышения стойкости штампов и деталей пресс-форм, работающих в условиях интенсивных температурно-силовых нагрузок, применяют способ газового азотирования, состоящий из повторяющихся циклов вакуумирования и подачи реагирующего газа. Изделие нагревают в вакууме до 570 °С, после чего подают реагирующий газ. После выдержки в течение 10 мин печь вакуумируют и повторяют циклы в указанной последовательности 120 мин. Это повышает

стабильность и воспроизводимость результатов азотирования по глубине и механическим свойствам получаемого

слоя, но не позволяет увеличить глубину слоя, которая остается в пределах 0,012—0,20 мм.

Для увеличения глубины азотированного слоя и сокращения длительности процесса при азотировании инструментальных сталей, преимущественно штампового
назначения, может быть использован способ по а. с. 775175 (CCCP).

При азотировании деталей из инструментальных сталей выдержку в насыщающей среде ведут в течение 30—60 мин, а в инертной атмосфере 20—40 мин при температуре на 100—150 °С выше температуры насыщения, причем выдержку в насыщающей среде и инертном газе последовательно повторяют 2—5 раз и заканчивают обработку в насыщающей среде.

следовательно повторяют 2—5 раз и заканчивают обработку в насыщающей среде.

Первоначально в среде насыщающего газа при температуре азотирования 580 °C образуется слой ненасыщенного фраствора, толщина которого увеличивается со временем. В насыщающей среде изделие выдерживают
при температуре азотирования 30—60 мин. При меньшей
выдержке времени применительно к штамповым сталям
не удается достигнуть глубины азотирования слоя более
0,12—0,15 мм. Верхний предел времени насыщения выбирают из условия образования на поверхности хрупкой
в-фазы, появление которой резко тормозит диффузию
азота вглубь. При принятых для инструментальных сталей
температурах азотирования образование в-фазы начинается
через 60 мин. Следовательно, дальнейшая выдержка в насыщающей среде нецелесообразна, так как глубина упрочненного слоя практически не увеличивается, зато прочность его снижается за счет образования на поверхности
хрупкой в-фазы. Поэтому насыщающую атмосферу заменяют инертным газом. Благодаря большой подвижности
азота в фразе диффузия на этом этапе протекает даже
при малой его концентрации.

В инертной среде изделие выдерживают при температуре на 100—150 °С выше температуры азотирования
в течение 20—40 мин. Повышение температуры в пределах 100—150 °С наиболее целесообразно, так как
повышается коэффициент диффузии в фазе примерно
в 5—6 раз. При увеличении температуры более

чем на 150 °C возможно снижение твердости диффузионного слоя.

Оптимальная выдержка времени при повышенной температуре в инертной среде составляет 20—40 мин, что обеспечивает увеличение глубины азотированного слоя по сравнению со слоем, полученным после азотирования при температуре 580 °C без последующей выдержки в аргоне, примерно в 2-2,5 раза.

Выдержку в насыщенной среде и инертном газе последовательно повторяют 2—5 раз и заканчивают обработку в насыщающей атмосфере. При этом нитридная сетка из уи в-фаз дробится, что ведет к измельчению нитридов и увеличению интенсивности проникновения азота в раствор из насыщающей атмосферы.

Увеличение выдержки до числа более 5 нецелесообразно, так как не способствует существенному возраста-

нию глубин азотированного слоя.

Пример. Обработке подвергают плоские образцы из стали 4X3ВМФ в шахтной печи типа СШОЛ. В качеиз стали 4ХЗВМФ в шахтной печи типа СШОЛ. В качестве насыщающей среды используют аммиак, в качестве инертной среды аргон. Азотирование проводят при 580 °С с выдержкой 40 мин. Затем насыщающую среду заменяют аргоном и выдерживают образцы при 680 °С в течение 20 мин. Выдержку в среде насыщающего и инертного газов повторяют 3 раза. Процесс заканчивают в насыщающей атмосфере и охлаждают образцы вместе с печью до 200 °С. Общая длительность процесса составляет около 3,5 ч. Глубина диффузионного слоя равна 0,285 мм, поверхностная микротвердость 950—1000.

Несмотря на сравнительно высокие результаты, достигаемые при использовании приведенного способа газового азотирования инструментальных сталей, он, однако, в принципе не исключает образования хрупкой є-фазы. Образование є-фазы даже в небольшом количестве резко тормозит диффузию азота и препятствует увеличению глубины упрочненного слоя.

С целью интенсификации процесса азотирования и повышения качества азотированного слоя используют способ, изложенный в а. с. 901363 (СССР).

При газовом азотировании деталей из инструменталь-

ных сталей выдержку в насыщающей среде и инертном газе, например аргоне, ведут с последовательным умень-

шением длительности поочередно. Причем соотношение между длительностью последующей и предыдущей выдержки поддерживают в пределах 0,5—0,85.

На этапе первой выдержки в насыщающей среде при температуре азотирования 580 °C образуется слой ненасыщенного фраствора, толщина которого увеличивается во времени. Верхний предел времени насыщения выбирают из условия образования на поверхности хрупкой є-фазы, появление которой резко тормозит диффузию азота. Степень насыщения фраствора азотом возрастает в период первой выдержки, поэтому длительность последующих выдержек следует уменьшить. В противном случае, т. е. при сохранении равных длительностей выдержек, возможно возрастание степени концентрации азота в фрастворе до величины, соответствующей появлению є-фазы. Кроме того, повышение содержания азота в слое способствует сохранению остаточного аустенита после закалки, что также снижает качество слоя.

Каждую выдержку в насыщающей среде ведут в тече-

закалки, что также снижает качество слоя. Каждую выдержку в насыщающей среде ведут в течение 30—60 мин. Повторяют выдержки 2—5 раз. Если соотношения длительностей последующей и предыдущей выдержки меньше 0,5, то интенсивность азотирования снижается, и за 2—5 выдержек не удается достичь желаемой глубины азотированного слоя, т. е. 0,25—0,30 мм. Если длительность последующей выдержки снижается незначительно и соотношение длительностей поддерживается выше 0,85, то это приводит к ухудшению качества (снижению микротвердости) азотированного слоя за счет подвления в-фазы появления є-фазы.

появления в-фазы.

Пример. При обработке инструментальных штамповых сталей типа 4X3ВМФ азотирование проводят при 580°С. После замены насыщающей среды аргоном температуру повышают до 680°С и выдерживают образцы 20 мин. Выдержку в среде насыщающего и инертного газов повторяют 2—3 раза. Процесс заканчивают в насыщающей атмосфере и охлаждают образцы вместе с печью до 200°С. Максимальное значение глубины азотированного слоя достигает 0,325 мм. Поверхностная микротвердость равна 1000—1100. Если соотношение длительностей последующей и предыдущей выдержек в насыщающей среде ниже предела 0,5—0,85, то глубина азотированного слоя снижается до 0,178 мм. Ухудшается его качество, так как

Количе- ство вы- держек	Длитель- ность выдержки в насыща- ющей среде, мин	Соотношение длительности выдержей в насыщанющей среде	Длитель- ность вы- держки в арго- не, мин	Глубина азотиро- ванного слоя, мм	Поверх- ностная микро- твердость
2 3 3 2	50—20 50—40—32 40—36—32 50—35	0,4 0,8 0,9 0,7	20 20 20 20 20	0,178 0,325 0,235 0,285	950 1000—1100 950—980 1000—1100

24. Сравнительные результаты газового азотирования стали 4X3BMФ при различной длительности цикла насыщения

поверхностная микротвердость падает до 950 (табл. 24). Способ позволяет интенсифицировать процесс азотирования в 1,5 раза, достичь большей глубины азотированного слоя без увеличения длительности процесса. Глубина слоя возрастает на 12 % по сравнению с известным способом. Время азотирования равно 120—122 мин. Сокращается общее время выдержки в насыщающей среде, необходимое для получения азотированного слоя заданной толщины. Общее время азотирования сокращается на 30 %. Дальнейшую интенсификацию процесса азотирования и увеличение твердости азотированного слоя, преимущественно в инструментальных сталях штампового назначения, можно обеспечить осуществляя непосредственно перед закалкой термоциклирование с нагревом до 1200—1250 °С и охлаждением в масло и совмещая отпуск с азотированием [а. с. 821512 (СССР)]. В способе химико-термической обработки инструментальных сталей, включающем закалку с пониженной

В способе химико-термической обработки инструментальных сталей, включающем закалку с пониженной температуры, отпуск и азотирование, перед закалкой проводят термоциклирование с нагревом до 1200—1250 °С и охлаждением в масло, а отпуск совмещают с азотированием. Закалку с пониженной температуры проводят от 970—1070 °С. Количество циклов при термоциклировании выбирают равным 3—5 в зависимости от марки стали. Термоциклирование интенсифицирует процесс растворения карбидов и обеспечивает высокую концентрацию легирующих элементов в перенасыщенном α -твердом растворе термообработанной стали. Повышение легированности твердого раствора способствует увеличению раство-

римости азота в α -фазе, что служит одной из основных причин повышения твердости. Повышение растворимости азота в α -фазе тормозит образование на поверхности слоя хрупких высокоазотистых фаз и тем самым способствует повышению прочности.

Термоциклирование увеличивает количество дефектов кристаллической решетки, что облегчает диффузию, активирует процесс азотирования и обеспечивает увеличение толщины диффузионного слоя.

Нагрев до отпускных температур и длительная выдержка в процессе азотирования обеспечивают получение требуемого уровня физико-механических свойств основного металла упрочняемого изделия. В процессе 3—5-кратного термоциклирования происходит полная диссоциация карбидов и насыщение α -твердого раствора легирующими элементами. Например, термоциклирование сталей типа 4X3ВМФ и 4X4ВМФС осуществляется с нагревом до 1250 °С в каждом цикле, выдержкой времени 6 мин и охлаждением в масло. После термоциклирования выполняют закалку с нагревом до 970 °С и охлаждением в масло. Затем проводят азотирование в среде диссоциированного аммиака при температуре 560 ± 10 °С в течение 10 ч. В результате указанной обработки глубина диффузионного слоя находится в пределах 278—326 мкм, микротвердость у поверхности HV 1168, на глубине 25—30 мкм HV 920—824.

Жидкостное цианирование. Такой обработке подвергают технологическую оснастку, в том числе инструмент, изготовленный из быстрорежущей стали Р18, Р9, Р9Ф5, Р9К5, Р6М3 по ГОСТ 19265—73, высокохромистой (легированной) стали Х12, Х12Ф, Х12Ф1, Х12М, Х12ФТ и другой стали, прошедшей окончательную механическую обработку. При цианировании происходит одновременное насыщение поверхностного слоя азотом и углеродом. Различают три вида цианирования: низкотемпературное (540—560°С), среднетемпературное (820—860°С) и высокотемпературное (920—960°С). Цианирование на небольшую глубину (0,15—0,5 мм) осуществляется при 840—870°С в течение 0,5—2 ч с последующей закалкой непосредственно из цианировочной ванны. На небольшую глубину цианирование проводят при 900—950°С в течение 2—6 ч. Зачастую для повышения твердости, тепло-

стойкости и противозадирных свойств осуществляют низкотемпературное цианирование при 560—580 °С. Цианирование проводят в соляных печах-ваннах с наружным электрообогревом или в электродных печах-ваннах. Состав ванн приведен в табл. 25, 26, 29, 30, 31.

Цианат натрия готовят из кальцинированной соды NaCO₃ и мочевины (NH₂)₂CO. Для этого кальцинированную соду смешивают с мочевиной в пропорции 1:1,5, засыпают в тигель, предварительно подогретый до 600—700°С, и расплавляют (температура плавления цианата натрия 550—570°С). По мере оседания расплава в тигель добавляют сухую смесь. Во избежание выброса не следует насыпать смесь на зеркало ванны и перемешивать ванну до полного ее расплавления. Смесь следует добавлять при выключенной печи и появлении корочки на поверхности

25. Состав ванн для низкотемпературного цианирования

Co-	Содержание солей, %						Темпе- ратура	
став	NaCN	KCN	K₄Fe(CN) ₆	Na ₂ CO ₈	NaCl	кон	CaCl ₂	плавле- ния, °С
1 2 3 4 5 6 7 8	50 96—98 60 50 30 — —	50	 90 75 3		18 25 —	- - - 10 25 -	- - - - - - 32	490 550 420 515 535 500 490 520

26. Состав бесцианистых ванн для жидкостного азотирования

	Содера	жание соле	й, %		
Состав	Нитрит натрия NaNO ₂	Нитрат натрия NaNO ₃	Нитрат калия KNO₃	Температура плавления, °C	Рабочая температура, °С
1 2 3 4	45 45 — —	55 100 —	55 — — 100	137 221 317 337	150—500 250—550 325—600 350—600

27. Рекомендуемое время выдержки при низкотемпературном цианировании инструмента из быстрорежущей стали

Инструмент	Диаметр или толщина, мм	Время выдержки, мин
Сверла, зенкеры, развертки	От 3 до 5 » 20 » 30 Св. 30	6 15 Ot 1 go 23
Метчики	От 5 до 8 » 12 » 20 Св. 30	5 10 От 14 до 18
Протяжки	От 5 до 10 » 20 » 30	8 16
Фрезы:	Св. 30	От 20 до 25
резьбонарезные с зубьями: шлифованными нешлифованными	От 25 до 50 Св. 50 От 25 до 50 Св. 50	12 15 15 От 18 до 20
червячные и шлицевые с зубьями: шлифованными нешлифованными	От 50 до 75 Св. 75 От 50 до 75	16 От 20 до 35 30
цилиндрические, фасонные, тор- цовые со шлифованными зубьями дисковые	Св. 75 До 50 Св. 75 От 1 до 5 » 5 » 15 Св. 15	От 40 до 50 » 10 » 15 » 25 » 30 » 6 » 18 » 12 » 15 » 18 » 23
Фасонные и тангенциальные резцы		» 12 » 30

28. Зависимость глубины слоя от времени выдержки и состава ванны низкотемпературного цианирования

Выдержка, мин	Глубина слоя (мм) при массовой доле NaCN, %				
	90	50	30		
5 15 30 45 60	0,008 0,020 0,035 0,037 0,045	0,006 0,018 0,030 0,035 0,043	0,006 0,015 0,030 0,035 0,040		

29. C	оставы	вани	ДЛЯ	среднетемпературного	цианирования
-------	--------	------	-----	----------------------	--------------

Массовая доля активных солей, Состав		актив- солей,	Массовая доля неактивных солей, %				Примечание
CIAB	NaCN	Циан- плав	NaCl	BaCl ₂	CaCl ₂	Na ₂ CO ₂	
1	55—60	_	2 <i>5</i>	_		15	Поставляется в ви- де готового соста- ва
2 3	30 30	_	70 40	_	-	30	— Допускается при- менять техниче-
4 5	_	10 10	35 45	<u> </u>	55 —	_	ский NaCN — —

30. Составы ванн для высокотемпературного цианирования

Состав	Массовая доля активных солей, %		Массовая доля неактивных солей, %			
	NaCN	Циан- плав	NaCl	CaCl ₂	BaCl ₂	Na ₂ CO ₈
1 2 3 4 5	50 45 10—15 12—20 —	 10	15 8 25—30 5—7 40	 50	35 47 55—60 75—80	

расплава. После расплавления смесь сливают в противни слоем толщиной не более 30—40 мм.

Для закрепления деталей в процессе цианирования и при переносе их для закалки, промывки и других операций применяют приспособления, показанные на рис. 8. Приспособление должно фиксировать детали в положении, при котором получается минимальное коробление, обеспечивать максимальную производительность ванны, не деформироваться под действием массы цианируемых деталей, удерживать детали так, чтобы не затруднялся свободный доступ соли к цианируемой поверхности, обеспечи-

31. Состав высокоцианатных ванн на основе мочевины (карбамида), применяемых для цианирования

5 1707050* _	Состав ванны исходном состоя- нии в момент загрузки, %	Рабочий состав ванны, %	Состав регенерирующей смеси при освежении ванны, %	Температура устойчивой работы ваены, °С	Область применения
	5 (NH ₂) ₂ CO 5 K ₂ CO ₃	65—75 КСNО 25—35 К ₂ СО ₃ До 1 КСN	45 K ₂ CO ₃ 55 (NH ₂) ₂ CO Освежение проводят при 350— 360 °C	560—580	_
	5 (NH ₂) ₂ CO 5 N ₂ CO ₃	20—40 NaCNO 12—20 NaCN 50—60 Na ₂ CO ₃	15 % свежей смеси карбамида и соды в соотношении 55: 45 или 10 % цианата натрия (через каждые 8 ч работы) или 4 % карбамида через каждые 2 ч работы	560—580	Для обработки конструкционных сталей
48) (NH ₂) ₂ CO 3 Na ₂ CO ₃ 2 NaCl	_	4 % карбамида или 3 % цианата натрия через каждые 2 ч работы		Для обработки быстрорежущих сталей
28 28 60	5—35 NaCNO 8—40 KCl 5—35 Na ₂ CO ₃ 0—75 KCNO 5—40 K ₂ CO ₃	 60—75 КСNО 25—40 К ₂ СО ₃ До 1 КСN	- - - - -	 	— ———————————————————————————————————

 Π р и м е ч а н и е. $(NH_2)_2CO$ — карбамид; K_2CO_{ϵ} — углекислый калий (поташ); Na_2CO_3 — углекислый натрий; NaCNO, KCNO — цианаты.

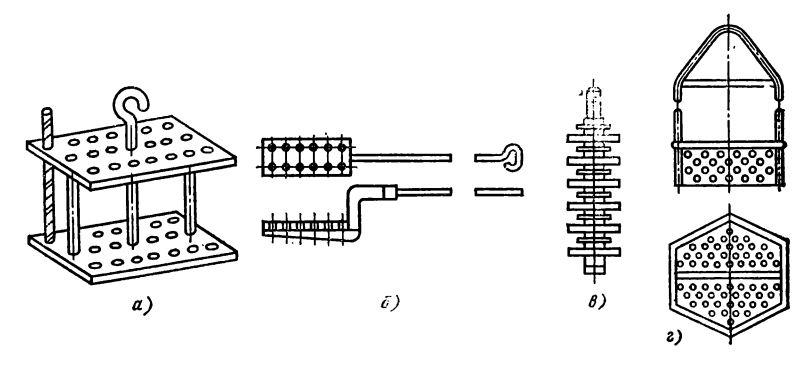


Рис. 8. Приспособления для закрепления и переноса деталей при химико-термической обработке:

 — приспособление для установки деталей стержневой формы с упором в нижнюю плиту; б — плита с отверстиями для подвешивания стержневых деталей;
 в — подвеска для цианирования дисков с защитой внутреннего отверстия;
 с — сетчатая корзина для мелких деталей

вать наиболее полное стекание солей при извлечении деталей из ванн, закрепление детали на нужном уровне над ванной при неполном их цианировании. Время выдержки при цианировании устанавливают в зависимости от вида (формы) и размеров инструмента (табл. 27, 28, 32, 33). Перед цианированием технологическую оснастку подвергают обязательному внешнему осмотру. Не допу-

32. Скорость процесса цианирования при 12 %-ном содержании циана в смеси

Темпера- тура, °С	Время, ч	Глубина, мм	Темпера- тура, °С	Время, ч	Глубина, мм
820	0,5 1,0 2,0	0,15 0,25 0,38	900	0,5 1,0 2,0	0,33 0,43 0,60
845	4,0 0,5 1,0 2,0 4,0	0,60 0,20 0,33 0,45 0,70	925	4,0 0,5 1,0 2,0 4,0	0,94 0,38 0,51 0,76 1,12
870	0,5 1,0 2,0 4,0	0,30 0,38 0,56 0,84	950	0,5 1,0 2,0 4,0	0,4 0,68 0,86 1,35

Темпе- ратура ванны, °С	Выдерж- ка, мин	Глубина слоя, мм	Темпе- ратура ванны, °С	Выдерж- ка, мин	Глубина слоя, мм
900	25 45 90	0,20—0,25 0,30—0,50 0,50—0,80	950	120 180 200—360	0,80—1,00 1,00—1,20 1,40—1,60

33. Зависимость глубины слоя от продолжительности выдержки в высокотемпературных цианистых ваннах

скается наличие заусенцев, забоин и других дефектов поверхности. Для удаления остатков смазочного материала инструменты промывают и тщательно просушивают, так как попадание воды в ванну вызывает опасный выброс солей.

Перед цианированием рекомендуется подогревать цианируемую технологическую оснастку до 300—400 °С, в результате чего уменьшается коробление, что особенно важно при цианировании инструментов больших размеров и сложной формы. Кроме того, тепловая энергия ванны не расходуется на полный нагрев детали, а следовательно, сокращается время, необходимое для проведения процесса, и увеличивается производительность ванны. Если инструменты перед цианированием подогревают, то указанная в табл. 33 выдержка может быть сокращена в среднем на 25 %.

Поскольку инструмент подвергают цианированию после окончательной обработки, включая заточку и шлифование, необходимо не только тщательно вести технологический процесс, но и осторожно обращаться с инструментом, чтобы не повредить режущие кромки. Для деталей из быстрорежущих сталей температура цианирования 510—550 °С, для деталей из высокохромистой стали типа X12 510—520 °С. Повышение температуры приводит к снижению твердости и красностойкости закаленной и отпущенной стали. После того как ванна для цианирования будет окончательно подготовлена к работе (очищена от осадков и пены, доведена до требуемой концентрации солей и рабочей температуры), в нее загружают технологическую оснастку, подготовленную для цианирования. Так как верхний слой солей имеет несколько пониженную

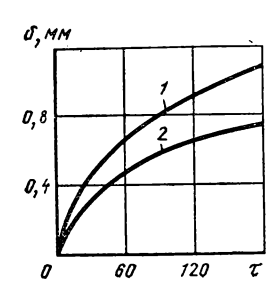


Рис. 9. Зависимость глубины цианирования в от продолжительности т пре-

температуру, то загружать инструменты нужно так, чтобы участки, подлежащие цианированию, были на 15—20 мм ниже уровня жидкости в ванне.

Размер партии заготовок бирают так, чтобы при ее грузке температура ванны не снижалась более чем на 50— 80 ° С. По истечении выдержки, предусмотренной технологическим процессом, инструмент извлекают

процессом, инструмент извлекают процессом, инструмент извлекают из ванны и выдерживают над ней некоторое время, чтобы остатки солей стекли в ванну. Охлаждение инструмента до 60—80 °С следует проводить под колпаком ванны или в вытяжном шкафу для предотвращения попадания в цех испарений остатков солей. Стержневой инструмент рекомендуется охлаждать в вертикальном положении, остальной на подставках и в стеллажах, расположив его таким образом, чтобы исключалось возможное коробление. После охлаждения необходимо обезвредить остатки солей, сохранившихся на поверхности инструмента. Для этого при низкотемпературном цианировании применяют соли щелочных металлов, хорошо растворимые в воле. щелочных металлов, хорошо растворимые в воде. После охлаждения инструменты вместе с приспособле-После охлаждения инструменты вместе с приспособлением погружают в бак с водой, нагретой до 80—90 °C. В нем остатки соли растворяются, после чего инструменты переносят в другой бак, заполненный 7—10 %-ным раствором железного купороса, нагретого до 60—80 °C, где происходит обезвреживание остатков солей. После выдержки в течение 5—10 мин инструменты промывают в проточной воде. Затем их просушивают на воздухе или в сушильном шкафу и смазывают для предохранения от коррозии. На рис. 9 показана зависимость глубины слоя

коррозии. На рис. 9 показана зависимость глубины слоя насыщения от продолжительности цианирования в ванне с 20 % NaCN, 20 % NaCl, 60 % BaCl₂.

Твердость цианированной технологической оснастки должна быть не ниже HRC 61, глубина цианированного слоя для метчиков и резьбонарезных фрез 0,001—0,015 мм, для сверл, протяжек и разверток 0,015—0,02 мм, червячных затылованных фрез 0,02—0,03 мм, пресс-форм 0,08—

0,2 мм. Цианированию нельзя подвергать сверла, развертки, зенкеры диаметром менее 3 мм и метчики диаметром менее 5 мм, так как при этом повышается хрупкость их режущих граней.

Для контроля качества цианированной технологической оснастки применяют такие методы: наружный осмотр с целью выявления поверхностных дефектов в виде трещин, забоин, остатков налипших солей (контролю подвергают все обработанные инструменты); определение твердости цианированной поверхности с помощью прибора Виккерса при нагрузке 10—50 Н (1—5 кгс) (2—3 % от партии инструментов); контроль по микроструктуре (2—3 % от партии инструментов); проверка биения концевого инструмента (10—15 % от партии).

Цианирование твердыми карбюризаторами и пастами.

Цианирование твердыми карбюризаторами и пастами. Состав смесей для цианирования в твердом карбюризаторе при температуре 550—570 °С приведен в табл. 34. Состав паст и продолжительность выдержки при цианировании конструкционных сталей приведены в табл. 35, 36.

Ионное азотирование в тлеющем разряде. Способ упрочнения инструмента ионным азотированием (ИА) заключается в обработке заготовки потоком ионов азота. В результате последние проникают в поверхностный слой детали на контролируемую глубину от 100 до 1000 атомных слоев. ИА производят в разреженной азотсодержащей атмосфере с подключением азотируемых изделий к отрицательному электроду (катоду). Анодом является контейнер установки (печи). Между катодом (изделием) и анодом возбуждается тлеющий разряд. Ионы газа,

34. Состав	смесей (%) для	низкотемпературного	цианирования
в твердом	карбюризаторе		

№ смеси	Древесный уголь	Желтая кровяная соль	Карбопаты бария, натрия и калия	Животный уголь, роговая или костяная мука
1 2 3 4 5	60—80 40—50 40—60 50—70 40—60	20—40 15—20 20—25 20—40	15—20 	20—30 20—40 — 20—40

35. Состав паст (%), применяемых при цианировании конструкционной стали

	Номер пасты						
Составляющие	1	2	3	4			
Голландская сажа или мелко- зернистый торфяной кокс	40—50	30—60	35	45	40		
Карбонаты: бария натрия или калия Желтая кровяная соль Шавелево-кислый натрий или калий	20—40 5—10	 2040 510 510	15 20 15	20 20 15	15 20 20		
Цианплав Муравьинокислый никель или	5—10 —	5—10 5—10	_	_	_		
щавелево-кислый кобальт Феррохром Кварцевый песок	_		15 —	_	- 5		

36. Продолжительность выдержки при цианировании деталей пастами (температура 920—930 °C)

Па	ста 1	Паста 2		
Выдержка,	Глубина слоя, мм	Выдержка ч,	Глубина слоя, мм	
0,75 1,00 1,50 2,00 3,00 4,00	0,85 1,25 1,65 1,80 2,00 2,50	0,50 0,75 1,00 1,50 2,00 2,00	0,70 0,80 0,90 1,25 1,60 1,60	

бомбардируя поверхность изделия, нагревают ее до температуры насыщения. Для получения нитридных покрытий используют установку, оснащенную герметичной камерой с расположенным в центре электродом-подставкой, на котором устанавливается обрабатываемое изделие. Над электродом-подставкой расположен кольцевой анод. Через камеру прокачивается смесь азота с водородом, причем отношение концентрации N_2/H_2 колеблется в пределах 0.5-2.0. Рабочее давление в камере 0-665 Па,

напряжение разряда 400—800 В, ток 0—1 А, температура нагрева изделия при обработке 300—500 °С. Процесс ионного азотирования выполняют в две стадии: первая — очистка изделий катодным распылением; вторая собственно насыщение. Катодное распыление проводят в течение 5—60 мин при напряжении 1100—1400 В и давлении 13—26 Па. При катодном распылении температура поверхности азотируемого изделия не превышает 250 °C. Собственно азотирование выполняют при 470—580 °C при разрежении 130—1300 Па и рабочем напряжении 400—1100 В; продолжительность процесса составляет от нескольких минут до 24 ч. При ионном азотировании для защиты поверхностей от насыщения азотом иснии для защиты поверхностеи от насыщения азотом используют гальванические покрытия (например, никелевые толщиной 10—15 мкм) и экраны. ИА проводят в вакууме на оборудовании, аналогичном используемому при электронно-лучевой сварке. Требуемая чистота потока ионов составляет 90 %.

Установка для ИА состоит из вакуумной рабочей ка-

Установка для ИА состоит из вакуумной рабочей камеры, источника высокого напряжения и диффузионного насоса. Отечественная промышленность выпускает печи ионного азотирования типа НШВ — 28.7/6.

Преимущества ИА по сравнению с обычным жидкостным и газовым азотированием состоят в возможности целенаправленного контроля структуры получаемого поверхностного слоя, применении относительно низких температур (до 500 °C) и сокращении продолжительности обработки. Процессы ИА не сопровождаются фазовой перекристаллизацией. перекристаллизацией. Общая толщина диффузионного перекристаллизацией. Оощая толщина диффузионного слоя достигает 0,4—1 мм, причем слой в несколько микрон состоит только из нитридов железа и обладает максимальной твердостью. Длительность ИА колеблется в пределах 0,5—36 ч в зависимости от требуемой глубины упрочненного слоя. ИА позволяет повысить поверхностную твердость и износостойкость у таких сталей, которые обычному азотированию не поддаются.

Ионному азотированию не поддаются.
Ионному азотированию подвергают штампы, деформирующие инструменты различных типов, режущие инструменты, в том числе протяжки, червячные фрезы, метчики, долбяки, детали оборудования для переработки пластмасс, детали машин, работающие на износ в условиях повышенных температур.

НАСЫЩЕНИЕ СОЕДИНЕНИЯМИ БОРА

НАСЫЩЕНИЕ СОЕДИНЕНИЯМИ БОРА
Борирование. Диффузионное насыщение поверхности металла соединениями бора в виде боридов железа Fe₂/В и FeВ применяют для повышения износостойкости и красностойкости изделий, в том числе работающих при повышенных либо пониженных температурах, знакопеременных и ударных нагрузках или в агрессивных и абразивных средах. Борированию можно подвергать любые марки стали, его проводят в смеси борсодержащих порошков, паст, газов или в расплаве солей (табл. 37). Преимущественно используется для упрочнения металлических поверхностей, работающих на истирание! режущих инструментов из быстрорежущих сталей, штампового инструмента, пресс-форм, деталей дробильных машин, желобов грохотов, башмаков коксовыталкивателей и деталей, работающих при 500—850 °C. Примеры режимов борирования некоторых инструментов приведены в табл. 38.

в табл. 38.

Борированные детали из углеродистых сталей подвергают ступенчатой закалке в водных растворах селитр или щелочей. Легированные борированные стали, в том числе быстрорежущие, подвергают изотермической закалке. Нагрев борированного инструмента для термической обработки (нормализация, закалка с отпуском) целесообразно выполнять в соляных ваннах состава (%): NaCl 50; KCl 50 (для сталей ХВГ, 45, 40Х, 9ХС, X, ШХ15, У8А, У10А, 5ХНВ, 6ХВ2С и др.) или NaCl 22; BaCl₂ 78 (для сталей, имеющих температуру закалки 1000 °С и

78 (для сталей, имеющих температуру закалки 1000 °С и выше). Целесообразен нагрев борированных деталей в вакуумных печах или печах с защитной атмосферой. В результате борирования возможно изменение размеров детали. Поэтому при изготовлении точных и высокоточных деталей целесообразно их обработку выполнять в такой последовательности: предварительная механическая обработка (обдирка); улучшение (закалка и низкий отпуск по режимам, соответствующим маркам сталей); механическая обработка с припуском на доводку, борирование или хромирование, термическая обработка для обеспечения требуемого комплекса свойств основного металла; окончательная доводка размеров упрочненных деталей методами механической обработки (шлифование, полирование).

37. Методы борирования стали							
Насыщающая среда	Темпера- тура, °С	Продол- житель- ность, ч	Глубина слоя, мм	Примечание			
Б	орирование	в поро	шковых смес	ях			
Порошки аморф- ного бора, карби- да бора или фер- робора + 30— 40 % глинозема + + 1—3 % хлори- стого аммония	950—1050	3—6	0,1-0,3	Изделия упаковы- вают в ящики, за- полненные бори- затором. Приме- няют борирование в среде водорода и при вакууме			
	Электролі	изное б	орирование				
Расплавленная бура Расплавленная бура + 40—60 % борного ангидрида	900—950 900—950 Жидкос	2—6 2—4 гное бо	0,15—0,35 рирование	Плотность тока на катоде (изделие) 0,15—0,2 А/см², анод — графитовый стержень; напряжение 6—24 В			
Расплавленная бура $+$ 30—40 % карбида бора или ферробора Расплавленная смесь (50 % хлористого бария $+$ 40 % хлористого натрия) $+$ 10 % карбида бора или 20 % ферробора	950—1000 900—1000		0,15—0,40	Рекомендуется для изделий слож- ной формы			
Газовое борирование							
Диборан, разбавленный водородом (от 1:25 до 1 150) Треххлористый бор	800—850 750—950	3-6	0,05—0,20	Позволяет выполнить процесс при низких температурах (500—550°C) Недостаток — токсичность и взрывоопасность			

38. Режимы порошкового диффузионного борирования деталей технологической оснастки

	Сталь	Режимы борирования			Микро-
Наименовацие		Темпе- ратура, °C	Выдерж- ка, ч	Глубина слоя, мм	твер- дость <i>HV</i>
Пуансоны для гибки деталей в холодном со-	У8А	900	3	0,04	18 000
стоянии Резьбонакатные плашки Матрицы формовочных штампов	X12M XBΓ	1050 900	6 4	0,08 0,08	19 00 0 19 50 0
Мампон цанги Слесарный инструмент Молотовые штампы	40X 9XC 5XHB	900 900 900	3 4 6	0,05 0,07 0,09	17 500 18 500 18 000

При последовательном многокомпонентном насыщении операции улучшения выполняют после цементации перед борированием

Насыщающие смеси — порошки, пасты и т. п. — состоят из боронесущих соединений (карбида бора, бора аморфного, буры, борида магния, борного ангидрида, тетрафторбората калия, борфтористого калия, окиси бора и др.), активаторов (фтористый натрий, хлористый натрий, фтористый аммоний, хлористый аммоний, сера, фтористый калий и др.) и восстановителей (окись алюминия, фтористый алюминий, алюминий и др.) в различных композиционных сочетаниях. Выбор состава смеси определяется условиями работы упрочняемой поверхности (глубиной диффузионного слоя, твердостью, рабочей температурой, скоростью изнашивания и т. п.), требованиями защиты окружающей среды (токсичностью, теплопроводностью и т. п.) и экономическими соображениями (трудоемкостью, расходом ресурсов, стоимостью ингредиентов) Как правило, насыщающие смеси можно использовать многократно (15—20 раз), без существенного корректирования их состава или с небольшой добавкой активаторов. Процесс осуществляют в герметичных металлических контейнерах или с помощью специальных приспособлений, позволяю-

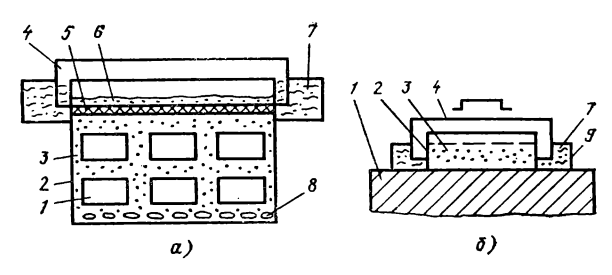


Рис. 10. Схема упаковки деталей при общем или местном борировании в порошке:

a — общее борирование; b — местное борирование; b — деталь; b — контейнер, b — борсодержащий порошок; b — крышка; b — асбестовый лист; b — песок; b — нитросиликатное стекло; b — парафни; b — наружная стенка внешнего контейнера

щих провести местное (зональное) борирование крупногабаритных деталей, совмещенное с процессом нагрева для термической обработки (рис. 10).

На дно контейнера 2 из жаростойкой стали насыпают слой строганного парафина 8, на него слой борсодержащего порошка 3 (толщиной 10—20 мм) и укладывают ряд деталей 1. Аналогично рядами послойно укладывают остальные детали. Верхний ряд засыпают борсодержащим порошком, толщиной слоя 15—20 мм. Сверху укладывают асбестовый лист 5 и насыпают речной песок 6 слоем 5—10 мм. Контейнер закрывают крышкой 4. Зазор заполняют натросиликатным стеклом 7. Контейнер помещают в печь с температурой 950—1000 °С. При нагреве пары парафина вытесняют из контейнеров воздух. По мере дальнейшего повышения температуры натросиликатное стекло плавится, образуется герметичный жидкий затвор.

В результате борирования стойкость штампового инструмента из углеродистых сталей повышается до 10 раз, из легированных инструментальных сталей в 3—4 раза. Общие недостатки процесса борирования поверхностей—выкрашивание при эксплуатационных температурах выше 800 °С, продавливание и откалывание боридных слоев высокой твердости, опирающихся на более мягкую основу, трудность восстановления изношенной поверхности из-за высокой твердости остатков боридных слоев.

Ниже приведены эффективные составы насыщающих смесей и описание способов борирования. Порошкообраз-

ный состав для борирования стальных изделий [а. с. 933801 (СССР)] содержит окись алюминия, карбид бора и активатор — салициловую кислоту — при следующих соотношениях компонентов, %: окись алюминия Al_2O_3 34—36, салициловая кислота $C_7H_6O_3$ 4—6, карбид бора B_4C — остальное.

При нагревании состава салициловая кислота, обла-дающая низкой температурой разложения, распадается с образованием активных атомов углерода и водорода, а также их соединений, обладающих большой активностью. Эти соединения вытесняют из зоны реакции воздух, отрицательно влияющий на активность смеси, а также восстанавливают активный атомный бор из его соединений.

навливают активный атомный бор из его соединений. Все компоненты применяют в виде порошков в обезвоженном состоянии. Состав готовят следующим образом. Навески обезвоженных солей и кислоты тщательно перемешивают на противне. Готовый состав засыпают в контейнер с плавким затвором. В центр контейнера помещают детали, предварительно обезжиренные авиационным бензином. Затем контейнер, закрытый крышкой, помещают в электропечь сопротивления, нагретую до 950 °C. Борирование проводят в течение 4 ч. При борировании в этом составе за 4 ч при 950 °C формируется слой толщиной 90—110 мкм. Состав нетоксичен.

Состав на основе карбида бора, %: карбид бора — 50, окись алюминия — 43, хлористый натрий — 4, фтороборат калия — 3.

Этот состав также формирует на стальных деталях слой боридов глубиной 90—100 мкм при 950 °С и времени выдержки 4 ч, но обладает токсичностью.
Смесь для борирования стальных изделий, обеспечи-

вающая повышение стабильности свойств борированного вающая повышение стаоильности свойств борированного слоя и увеличение процесса борирования [а. с. 802397 (СССР)], содержит карбид бора, окись алюминия, фтористый алюминий и буру при следующем соотношении компонентов (%): B_4C 6 — 15; $Na_2B_4O_7$ 1—4; AlF_3 0,5—3,5; Al_2O_3 — остальное. Предпочтителен состав смеси (%): B_4C 8; $Na_2B_4O_7$ 2, AlF_3 2; Al_2O_3 88.

Смесь готовят смешиванием предварительно прокаленных буры и глинозема с высушенными B_4C и AlF_3 . Компоненты смеси подвергают обезвоживанию: Al_2O_3

прокалке при $1000~^{\circ}$ С в течение 1 ч, $Na_2B_4O_7$ при $520~^{\circ}$ С в течение 1,5 ч, AlF_3 и B_4 С сушке при $300~^{\circ}$ С в течение 1 ч. Компоненты смешивают в барабане в течение 3 ч. Борирование проводят при 1000 °С в течение 4 ч в стальных контейнерах в печах с воздушной атмосферой при герметизации контейнеров плавким затвором. Процесс ведут при 950—1050 °С в течение 3—4 ч. Режим процесса определяется маркой обрабатываемой стали и толщиной слоя, которую необходимо получить. В результате борирования получают пластичные боридные покрытия, содержащие только фазу Fe_2B , толщиной 20—100 мкм, не содержащие пор и трещин. Смесь используют без регенерации 3-4 раза, после чего в нее добавляют $Na_2B_4O_7$ и AlF_3 в количестве 1 и 0.5 % от массы смеси соответственно. Смесь позволяет реализовать одинаковую скорость процесса борирования и постоянный фазовый состав во всем диапазоне концентраций. При меньшем содержании В₄С, ${\rm Na_2B_4O_7}$ и ${\rm AlF_3}$ скорость процесса борирования снижается и стабильность процесса падает. При большем в боридном слое появляется фаза FeB, что увеличивает хрупкость получаемого покрытия.

П р и м е р. Пуансоны из стали X12M размерами 45 и 50 мм, закаленные до HRC 58—62, подвергают борированию в смеси состава (%): B_4C 8; $Na_2B_4O_7$ 2; Al_2O_3 88 по следующему режиму: при 1000 °C в течение 4 ч; при 1050 °C в течение 0,5 ч.

Процесс проводят в контейнерах из стали X18H69T, герметизированных плавким затвором из крупки натрийсиликатного стекла. Нагрев контейнеров осуществляют в печи с воздушной атмосферой. По истечении времени выдержки контейнеры погружают на $^{2}/_{3}$ их высоты в холодную проточную воду и выдерживают 40 мин. Затем их распаковывают и пуансоны подвергают отпуску при 200 оС в течение 1 ч.

В результате на пуансонах получен слой фазы Fe_2B толщиной 95 мкм, твердость основы HRC 56—58. Средняя стойкость борированных пуансонов — 120 000 ударов; серийных, не подвергнутых борированию, — 20 000 ударов.

Безэлектролизное жидкостное борирование. Выполняется в расплавленной буре с добавлением 30—40 % (по массе) карбида бора или 20 % хлористого натрия и 30 % силикомарганца. Процесс осуществляется в тигель-

ных печах-ваннах при 900 °C. За 5 ч глубина боридного слоя достигает 0,2 мм. В отличие от электролизного борирования достаточно равномерный слой можно получить на деталях любой формы. Однако такие ванны быстро истощаются. Добавлять карбид бора в ванну нецелесообразно, так как это приводит к снижению ее жидкотекучести. Повысить жидкотекучесть можно путем введения нейтральной соли. При этом снижается активность ванны. Метод позволяет получить однофазный твердый боридный слой из боридов Fe₂B.

Жидкостное электролизное борирование. В металлическом тигле расплавляют буру, постепенно забрасывая ее в тигель порциями по 8—10 кг. В расплав погружают обрабатываемую деталь и графитовый стержень. Деталь подключают к отрицательному полюсу источника постоянного тока (катод), графитовый стержень к положительному полюсу (анод). Электроды устанавливают после того, как уровень ванны достигнет ¹/₄ высоты тигля. Концы электродов должны находиться на расстоянии не менее 100 мм от дна тигля и не менее 30 мм от его стенок. В электрододержатель подается охлажденная вода, включается том мм от дна тигля и не менее зо мм от его стенок. В электрододержатель подается охлажденная вода, включается ток защиты тигля. Процесс обычно осуществляется при плотности тока от 0,15 до 0,20 А/см² борируемой поверхности и при напряжении 10—14 В. По мере заполнения ванны силу тока повышают до установленного предела. После достижения рабочей температуры процесса (930— 950 °C) в ванну плавно загружают детали и выдерживают в ней 2,5—3 ч. Глубина борированного слоя достигает в ней 2,5—3 ч. Глубина борированного слоя достигает 0,15—0,20 мм. При выдержке до 6 ч можно получить слой толщиной до 0,35 мм. Дальнейшее увеличение выдержки, повышение температуры более 980 °С и плотности тока свыше 0,25 А/см² незначительно увеличивает глубину слоя, повышая его хрупкость. По окончании процесса ток выключают, деталь извлекают из ванны, охлаждают (закаливают) на воздухе или в масле, промывают в кипящей воде 1—2 ч и отпускают по режиму отпуска, принятому для данной стали. Перед борированием поверхность детали следует очистить от следов масла, окалины и других загрязнений.

Для защиты отдельных участков детали от борирования проводят гальваническое меднение или хромирование. Неполное погружение детали в ванну, как метод

местного борирования, непригодно вследствие сильного разъедания металла детали на границе раздела поверхности ванны и воздуха. Недостатки процесса жидкостного электролизного борирования — низкая стойкость тиглей и повышенный расход буры. С течением времени не весь выделяющийся бор участвует в формировании покрытия. Часть бора образует аморфный слой, который «привари-Часть бора образует аморфный слой, который «приваривается» к поверхности, ухудшая ее чистоту и препятствуя адсорбщии активного бора. Аморфный слой бора уносится из электролита вместе с изделием и частично остается в электролите, загрязняя его. В результате при многократном использовании насыщающей среды в ней накапливается аморфный бор, который внедряется в слой боридов, создает пористость и ухудшает свойства боридного покрытия. Для повышения качества и стойкости покрытия к разрушению под действием динамических нагрузок можно использовать способ электролизного борирования [а. с. 637462 (СССР)]. Электролиз расплавленных борсодержащих сред проводят в две стадии. На стадии I ведут электролиз при плотности тока на катоде 0,07—0,09 A/см² в течение 8—10 мин. На этой стадии образуются центры кристаллизации боридов, которые, сталкиваясь при росте, формируют сплошной слой. На стадии II плавно снижают плотность тока до нуля в течение 1,5—2 ч в зависимости от химического состава сплава. Происходит «рассасывание» высокобористой фазы, что Происходит «рассасывание» высокобористой фазы, что способствует уменьшению внутренних напряжений и повышению сопротивляемости разрушению под действием динамических нагрузок.

Пример. В предварительно расплавленную в графитовом электролизе борсодержащую среду (бура Na₂B₄O₇ + + 20 % NaF) помещают детали или инструмент, подключив положительный полюс источника тока к электролизеру, положительный полюс источника тока к электролизеру, а отрицательный к насыщаемым изделиям. Электролиз ведут при температуре 700—950 °C (в зависимости от состава среды и насыщаемого сплава) при катодной плотности тока 0,07—0,09 А/см² в течение 8—10 мин (I стадия). По истечении этого времени плавно снижают ток в цепи электролиза в течение 1,5—2 ч до нуля.

В результате борирования стали марки 45 предлагаемым способом в течение 2 ч глубина боридного слоя достигает 120—125 мкм. Количество фазы Fe₂B составило

90 %, фазы FeB — 10 %. Улучшилась чистота поверхности, возросла сопротивляемость разрушению под действием динамических нагрузок за счет уменьшения содержания высокобористой фазы.

Увеличить толщину боридного покрытия и его износостойкость можно следующим способом [а. с. 773140 (СССР)]. Через 8—10 мин после начала процесса электролиза при 900 °С в расплавленную среду вводят дополнительный электрод, подсоединив к нему отрицательный полюс дополнительного источника тока, а положительный — к насыщаемым изделиям, анодно поляризуют деталь и плавно повышают плотность тока на детали до 0,4—0,07 A/см².

Электролиты, содержащие в своем составе только буру и фтористый натрий, позволяют вести процесс борирования при температуре 700—800 °С. Снижение температуры борирования при улучшении качества диффузионного слоя обеспечивается в электролите при следующем соотношении компонентов (%): фтористый натрий 5—10, бура 30—40, фторборат натрия — остальное. При введении фторбората натрия в электролит изменяется строение расплавленной смеси. За счет ионизации расплава уменьшается концентрация громоздких катионных и анионных группировок. Вследствие этого снижается температура плавления среды для борирования с 694 до 400 °С, что позволяет проводить процесс диффузионного насыщения при температурах начиная с 500 до 600 °С. Электролит готовят следующим образом. Смесь, состоящую из 10 % фтористого натрия и 40 % буры, плавят в графитовом тигле. В расплав вводят фтороборат натрия в количестве 50 %. При борировании в этом электролите, например, быстрорежущей стали P18 при температуре 560 °С, плотности катодного тока 0,1 A/см² в течение 1 ч, на поверхности формируются качественные покрытия глубиной до 20 мкм и твердостью 1600—1800.

глуоиной до 20 мкм и твердостью 1600—1800.

Газовое борирование. Проводят в диборане В₂О₆. При нагреве его выше 500 °C он разлагается на водород и атомарный бор, который диффундирует в поверхность детали. Процесс ведут при температуре 850 °C в газовой смеси, состоящей из 2—4 % диборана и 98—96 % водорода. В течение 4—5 ч можно получить боридный слой глубиной до 0,2 мм. Метод взрывоопасен. Безопасность

Компоненты, %			_		
Состав	Карбид	Криолит	Бура	Связывающий материал	
1 2 3	50 55	50 45	<u>-</u> 16	Гидролизованный этилсиликат 20 %-ный раствор жидкого стекла в воде 20 %-ный раствор клея БФ-4	
				в ацетоне	

39. Составы паст, применяемых для борирования

метода обеспечивается при использовании в качестве насыщающей среды смеси треххлористого бора (BCl_3) и аммиака или азота.

Борирование пастами. Составы паст, применяемых для борирования, приведены в табл. 39.

Активность борсодержащей пасты можно увеличить [а. с. 404903 (СССР)]. В целях активизации обмазки, повышения качества диффузионного слоя, проведения процесса без применения высокочастотного нагрева применяют пасту при следующем соотношении компонентов (%): карбид бора 40—60; натрий фтористый 40—60.

В качестве связующего используют сульфитно-спиртовую барду. Толщина обмазки 3—5 мм. Образцы с нанесенной обмазкой сушат в течение 2 ч при 50 °С. Борирование проводят при 1000—1100 °С в течение 5—10 мин. Продолжительность выдержки выбирают в зависимости от требуемой глубины диффузионного слоя.

Нагрев борируемых изделий осуществляют как ТВЧ, так и в обычных газопламенных или электрических печах.

При борировании формируются диффузионные слои, состоящие из боридов железа с твердостью HV 1600—2000. Интенсифицировать процесс борирования стали в по-

Интенсифицировать процесс борирования стали в порошках и пастах можно за счет повышения насыщающей способности состава [а. с. 685715 (СССР)], который содержит (%): аморфный бор 75—85; буру 10—20; тетрагидробораты щелочных металлов 1—10. При использовании состава в виде порошков или паст получают глубокие борированные слои. Борирование выполняют в течение

4—6 ч при 900—1000 °С. Толщина борированного слоя 0,06—0,25 мм, микротвердость 2000—2300.

Боросульфидирование применяют для повышения стой-кости инструмента и технологической оснастки из быстрорежущих, штамповых и других сталей.

Смесь, используемая для боросульфидирования, содержит (%): борный ангидрид 38—42; алюминий 24—31; борфтористый калий 28—33; фтористый аммоний 0,5—1,5; серу 0,5—1,5 [а. с. 885343 (СССР)]. Процесс одновременного насыщения бором и серой ведут при 550—700 °С в герметизированных контейнерах из газов, выделяющихся в результате взаимодействия компонентов. В качестве связующего используют сульфитно-спиртовую барду, гидролизованный этилсиликат, жидкое стекло, раствор клея БФ-2 в ацетоне и другие связующие, крепители, клеи или лаки. При приготовлении смеси используют раздельный вариант, т. е. предварительно проводят восстановление борного ангидрида алюминием. В полученную смесь вводят остальные компоненты, готовят обмазку, наносят на стенки контейнера и сушат. Введение в состав фтористого аммония и серы обеспечивает необходимую газовую среду для протекания процесса газового боросульфидирования в интервале температур 550—700 °С. При низкотемпературном насыщении на обрабатываемой поверхности формируются диффузионные слои, состоящие из борида Fe₂B, легированного серой. Присутствие серы снижает хрупкость слоя и коэффициент трения, повышает износостойкость и задиростойкость упрочненных изделий. Пасту наносят на стенки контейнер герметизируют плавким затвором на основе борного ангидрида.

Газовое низкотемпературное боросульфидирование ангидрида.

ангидрида.

Газовое низкотемпературное боросульфидирование стали У8 в контейнере, футерованном предлагаемым составом, при 600 °С в течение 2 ч обеспечивает получение диффузионного слоя боридов Fe₂B, легированных серой, толщиной 10 мкм с пониженной хрупкостью (до 2 баллов).

Борохромирование. Осуществляют для повышения износостойкости деталей, работающих в тяжелых условиях и подвергающихся абразивному изнашиванию, а также для повышения стойкости режущего инструмента. Для борохромирования предлагается состав, содержащий хром,

титан, фтористый калий и карбид бора при следующем соотношении (%): хром 15—20; фтористый калий 4—5; титан 3—8; карбид бора остальное [а. с. 783359 (CCCP)].

Борохромирование проводят либо в вакуумной печи, либо в герметично закрытом контейнере. Износостой-кость деталей после борохромирования увеличивается в 1,5—1,9 раза по сравнению с борированными деталями. Снижается хрупкость борированного слоя. Стойкость деталей, в частности штампов, можно повысить, используя состав для борирования (борохромирования) [а. с. 765398 (СССР)]. Состав имеет следующее соотношение компонентов (%): хром 1,4—3,0; бура 1,5—6,0; карбид бора — остальное. Компоненты смеси прокаливают в сущильном шкафу: хром (Сг) при 300—400 °С в течение 2 ч, масса кристаллизационной воды составляет 0,9 %; буру ($Na_2B_4O_7$) при 300—400 °C в течение 2 ч, масса кристаллизационной воды составляет 44 %; карбид бора (B_4 C) при 300—400 °C в течение 2 ч, масса кристаллизационной воды составляет 0,9 % После прокаливания компоненты взвешивают согласно массовому и процентному содержанию в смеси. Перед употреблением смесь измельчают и тщательно перемешивают. Порошок насыпают в контейнер, укладывают детали. Сверху снова насыпают порошок слоем 20—30 мм, после чего контейнер закрывают крышкой и герметизируют.

При введении хрома в борсодержащую смесь от 1,4 до 3 % улучшаются механические свойства обрабатываемых металлов. Появляется возможность получать диффузионные покрытия сложного состава, обладающие высокими физико-механическими свойствами, высокой коррозионной стойкостью и малой шероховатостью поверх-

ности упрочненных деталей.

ности упрочненных деталей. Пример. Упрочняют пуансон и матрицу из стали У8 в смеси порошков, состоящей (%) из технического карбида бора 91, буры технической 6 и порошка хрома 3. Борохромирование осуществляют в течение 5—6 ч. Поверхность упрочненных образцов чистая и качественная, толщина диффузионного слоя 150—170 мкм, слой равномерный, плотный, без пор и трещин. Микротвердость слоя составляет 200—2200. Насыщающая способность смеси без снижения активности — 4—5 циклов. Состав позво-

ляет получить равномерный и плотный диффузионный слой и устраняет налипание смеси к поверхности.

Электролизное диффузионное борохромирование в среде состава (%): борный ангидрид 75 — 80; фтористый натрий 12 —22; окись хрома 3—8 или окись буры 95—97; окись хрома 3—5; при плотности тока на катоде 0,15—0,2 А/см², температуре 850—900 °С часто сопровождается образованием в прикатодной зоне осадка — шлама, загрязняющего электролит, уменьшающего его жидкотекучесть, электрическую проводимость, насыщающую способность ность.

ность.

В результате на поверхности металлов формируются неравномерные по глубине покрытия. Для исключения указанного недостатка [а. с. 608849 (СССР)] в насыщенную струю, в состав которой входят бура и окись хрома, дополнительно вводят фтористый натрий при следующем соотношении компонентов (%): окись хрома 5—15; фтористый натрий 17—19; бура остальное.

Благодаря введению фтористого натрия изменяется строение расплавленной среды, уменьшаются катионные и анионные группировки за счет ионизации и, как следствие, уменьшается вязкость, увеличивается электрическая проводимость. При предлагаемом соотношении компонентов бура с фтористым натрием образуют эвтектику, плавящуюся при 694 °С и имеющую максимальную электрическую проводимость (при 900 °С удельная электрическая проводимость равна 80 См/м), минимальную вязкость. Введение в электрический расплав окиси хрома менее 5 % нецелесообразно, так как в этом случае процесс хи-5 % нецелесообразно, так как в этом случае процесс химико-термической обработки сдвигается в область бориро-

мико-термической обработки сдвигается в область борирования, т. е. в покрытии формируются лишь бориды железа FeB и Fe₂B. Введение в эвтектический расплав более 15 % окиси хрома приводит в процессе электролиза к образованию шлама, затрудняющего процесс химикотермической обработки.

Для получения насыщающей среды готовят эвтектическую смесь, состоящую из буры и фтористого натрия, плавят ее в графитовом тигле. Затем вводят окись хрома и перемешивают расплав до полного растворения окиси хрома. В приготовленной таким образом насыщающей среде проводят электролизное борохромирование в течение 2 ч при 900 °C, катодной плотности тока 0,15 A/cм²,

удельной электрической проводимости среды 38—55 См/м. В результате формируются покрытия толщиной 100—130 мкм с равномерностью слоя в пределах 5—10 мкм. Шлам на катоде не образуется.

Борохромирование мартенситностареющих сталей. Прочностные характеристики деталей машин элементов пресс-форм для литья под давлением, изготовляемых из мартенситностареющих сталей, повышают борированием и последующим хромированием при температуре 1050—1100 °С в составе, содержащем (%): хром 25—75; окись алюминия 70—20; хлористый аммоний 5. Состав обеспечивает сочетание жаропрочности и износостойкости. Однако при указанной температуре возникает охрупчивание сердцевины. Появляются трещины в слое из-за различия термических коэффициентов линейного расширения слоя и сердцевины. Активность состава и жаростойкость диффузионного слоя могут быть увеличены при использовании [а. с. 668974 (СССР)], следующего состава (%): хром 35—45; ниобий 10—20; цинк 1—3; окись алюминия 30—50; хлористый аммоний 1—5.

1—5.
Введение порошка цинка в насыщенную смесь повволяет снизить температуру хромирования до 900—950 °С
и уменьшить продолжительность процесса до 1—2 ч,
способствует диффузии хрома в боридный слой. Такой
режим насыщения устраняет возможность образования
карбонитридной сетки по границам аустенитного зерна
и одновременно не вызывает его роста.
Введение ниобия в смесь приводит к образованию
в поверхностном слое не только боридов хрома, но и ниобия и практически устраняет трещины после охлаждения.
Общий коэффициент термического линейного расширения
лиффузионного слоя приближается к коэффициенту тер-

Введение ниобия в смесь приводит к образованию в поверхностном слое не только боридов хрома, но и ниобия и практически устраняет трещины после охлаждения. Общий коэффициент термического линейного расширения диффузионного слоя приближается к коэффициенту термического линейного расширения мартенситностареющей стали, так как образующиеся бориды ниобия и хрома имеют температурные коэффициенты линейного расширения 7,9 — 8,3·10-6 K-1 и 11,1 — 12,8·10-6 K-1 соответственно.

Пример. После борирования мартенситностареющей стали в смеси карбида бора и буры при 830 °С в течение 2 ч проводят хромирование в контейнере с плавким затвором при 930 °С в течение 1 ч.

Процесс диффузионного борирования может осуществляться не только применительно к стальным деталям, но и к деталям, изготовленным из других металлов, в том числе цветных, в тех случаях, когда существует необходимость повысить износостойкость изделий. Ниже приведено описание состава смеси для борирования титана и его сплавов [а. с. 602602 (СССР)] и способ его выполнения. Смесь состоит из порошка титана, фторида натрия (активатор), окиси бора (борсодержащее вещество) и окиси алюминия, взятых в следующих соотношениях (%): порошок титана 30—40; фторид натрия 2—3; окись бора 30—40; окись алюминия остальное. Процесс насыщения титана и его сплавов проводят 2—6 ч при 750—1000 °С. Боридный слой отличается хорошей связью с основой и состоит из боридов титана ТіВ, ТіВ2, Ті2В5. Микротвердость борированной поверхности HV 2500—2800.

Приведенные способы позволяют получать в поверхностном слое изделий концентрацию легирующего элемента не более 4—20 % концентрации боридов, содержащихся в поверхностном слое.

в поверхностном слое.

в поверхностном слое.
 Такое содержание легирующего элемента в поверхностном слое является недостаточным для изделий, работающих в особо жестких условиях эксплуатации (работа при повышенной температуре и давлении, при высоком содержании абразива в среде и т. д.). Повысить износостойкость изделий за счет увеличения концентрации легирующего элемента в поверхностном слое и его толщины можно, используя высокотемпературный нагрев и выдержку в порошковой среде, содержащей насыщающий агент — диборид легирующего элемента, активатор и инертный разбавитель. Процесс осуществляют двухступенчато, с выдержкой при 800—900 °С в течение 1 ч и 1000—1050 °С в течение 2 ч. Двухступенчатый нагрев способствует активизации атомов бора на первой ступени нагрева. На этой стадии атомы бора почти полностью диффундируют в поверхностный слой металла обрабатываемого изделия. ваемого изделия.

Нагрев до температуры второй ступени обеспечивает активизацию атомов легирующего элемента, например, титана, циркония и др., которые начинают проявлять свою диффузионную активность при более высокой температуре, чем атомы бора на первой ступени. При этом

атомы бора не препятствуют проникновению атомов легирующего элемента в поверхностный слой изделия, так как

рующего элемента в поверхностный слой изделия, так как они уже почти полностью диффундировали в него на первой ступени нагрева. Время выдержки на второй ступени нагрева определяет концентрацию легирующего элемента и глубину его проникновения в поверхностный слой.

Пример. Детали, изготовленные из сталей 45Х и ШХ15, обрабатывают в порошковой среде, содержащей 10% диборида хрома, титана или циркония, 3% активатора и 87% инертного разбавителя. Нагрев осуществляют в контейнере по двухступенчатому режиму с выдержкой каждой партии деталей при 800—900°С в течение 1ч, а на второй ступени нагрева при 1000—1050°С с выдержкой 2ч. Обработка приводит к повышению концентрации легирующего элемента в поверхностном слое на 15—20% и увеличению толщины слоя в 1,5 раза.

Для интенсивного местного диффузионного борирования поверхностей крупных деталей, работающих в условиях истирания и ударных нагрузок при 500—850°С, без разборки изделия, непосредственно в период его эксплуатации (например, на деталях дробильных машин,

без разборки изделия, непосредственно в период его эксплуатации (например, на деталях дробильных машин, башмаков коксовыталкивателей, желобов грохотов и др.), может быть использован способ, изложенный в а. с. 784798 (СССР). На поверхность металла наносят энерговыделяющую пасту из окиси железа и алюминия в смеси с диффузионно активной борсодержащей составляющей. Паста воспламеняется и в процессе горения происходит борирование. В качестве борсодержащей составляющей используют бор, ферробор или окись бора.

зуют бор, ферробор или окись бора. На металлическую поверхность наносят слой пасты, содержащей ферробор или окись бора из расчета 0,9—4,8 % бора в смеси с окисью железа и алюминия. При воспламенении пасты происходит образование ферроборного покрытия, металлургически связанного с основой. Подвергаемая покрытию поверхность может быть образована из черного металла и иметь любую конфигурацию. По периметру обрабатываемой поверхности устанавливают экран из огнеупорного материала. Между поверхностью и экраном помещают энерговыделяющую пасту слоем от 10 до 200 мм. от 10 до 200 мм.

В ряде случаев сверху экрана помещают графитовые пластины, в одной из которых выполнено отверстие для

ввода заряда. Пластины служат для предотвращения выплескивания вещества заряда, удержания теплоты реакции заряда и более полного ее использования для образования покрытия. Заряд воспламеняют обычными способами.

Другим топливом кроме алюминия могут быть магний, кальций, кремний или сплав кальция с кремнием. Это топливо можно заменять частью алюминиевого порошка. Заряд состоит приблизительно из трех частей окиси железа, предпочтительно $\mathrm{Fe_2O_3}$ (может быть взят другой окисел железа $\mathrm{Fe_3O_4}$). Ферробор вводят в виде дробинок. Покрываемую поверхность целесообразно предварительно нагреть до $780-1100\,^{\circ}\mathrm{C}$. В результате экзотермической реакции образуется плотный металлический слой покрытия, металлургически связанный с основанием. Менее плотный слой шлака собирается сверху металлического слоя.

После завершения реакции графитовые пластины удаляют с огнеупорного экрана. На корку шлака помещают слой песка или другого материала. Материал покрытия затвердевает со дна, и это способствует образованию прочного беспористого слоя. Поверхность изделия может быть охлаждена до того, как твердый поверхностный слой затвердеет. Шлак удаляют разбиванием.

Ферроборное покрытие имеет в основной массе железо, содержащее 20-90 % Fe_2B , предпочтительно 45-80 % Fe_2B , но лучше 60-80 % Fe_2B . Покрытие имеет толщину 2,5-6,2 мм.

Покрытие может быть получено не только на стальной поверхности, но и на меди, олове, никеле, хроме, кобальте, молибдене, латуни, бронзе, различных ферросплавах и легированных сталях.

легированных сталях. Боромеднение. Комплексное диффузионное насыщение поверхности металла соединениями бора и меди выполняют для увеличения толщины диффузионного слоя и повышения его пластичности в условиях эксплуатации при температуре до $850-900\,^{\circ}$ С. Процесс используют при упрочнении штампового инструмента для горячей штамповки. Боромеднение проводят до основной термической обработки. Стойкость боромедненых штампов, например, из стали 7X3, в сравнении со стойкостью закаленных штампов повышается до 4 раз.

Состав смеси для боромеднения: 96—98 % В₄С; 2—4 % Си. Перед приготовлением смеси карбид бора прокаливают при 400—450 °С в течение 1—1,5 ч. Режим боромеднения: температура 910—920 °С, время выдержки с момента достижения рабочей температуры в контейнере 6 ч, охлаждение в печи до 400—450 °С, затем на воздухе до температуры не ниже 50—80 °С. После выгрузки из контейнера детали очищают от следов карбида бора сухой ветошью. Для повышения твердости основы до *HRC* 45. 50 боромециями в пламина подвергают термической 45—50 боромедненые штампы подвергают термической обработке в режиме: нагрев в безокислительной среде (древесном угле) до температуры 840—860 °С, выдержка в течение 3 ч с последующим охлаждением в масле и немедленный отпуск при 430 °С в течение 3,5 ч (для стали типа 7Х3).

типа 7 X3).

Свойства диффузионного боромедного слоя можно улучшить [а. с. 724602 (СССР)]. Изделие упаковывают в контейнер с насыщающей смесью, состоящей из 85—90 % технического карбида бора и 10—15 % порошка меди, загружают в печь, нагретую до температуры насыщения (900—1050 °С), и выдерживают в течение 2—6 ч. После этого контейнер с изделиями вынимают из печи, охлаждают в воде и распаковывают. В результате на поверхности изделий образуется диффузионный слой толщиной 240 мкм, микротвердостью 1500 ± 50, с содержанием 0,7 % меди. При этом образец выдерживает до разрушения 8 циклов пластического леформирования. разрушения 8 циклов пластического деформирования. Приготовление предлагаемого состава для боромеднения просто с технологической точки зрения. Спекание состава и припекание его к насыщаемой поверхности не наблюдается, устраняется необходимость дополнительной очистки изделий в кипящей воде.

стки изделий в кипящей воде.

Состав позволяет при прочих равных условиях увеличить толщину боромедненого слоя в 1,5—2 раза и повысить его пластичность в 1,4—1,6 раза по сравнению с известными составами. Боромедненые изделия подвергают дальнейшей термической и механической обработке.

Бороалитирование. Поверхности металлических деталей, работающие в условиях абразивного изнашивания и трения без смазочного материала, целесообразно упрочнять путем диффузионного насыщения соединениями бора, алюминия и азота [а. с. 581168 (СССР)].

Повышение прочности, износостойкости и сопротивления схватыванию бороалитированных покрытий на изделиях из конструкционных и инструментальных сталей достигается за счет образования нитридов алюминия, содержащих до 1,5 % Al в алюминидах железа и сложных алюмоборидных фазах, составляющих бороалитированный слой, а также дополнительного легирования азотом твердого раствора бора и алюминия в железе.

Способ состоит в следующем. Стальные изделия бороалитируют в расплаве буры с добавкой 10 % окиси алюминия при температуре 930 ± 10 °C и плотности тока электролиза 0.15 - 0.20 А/см² в течение 2 - 2.5 ч. Затем изделия в зависимости от требуемых свойств сердцевины охлаждают на воздухе или закаливают. После промывки и очистки их помещают в печь для газового азотирования. Процесс азотирования проводят при 510 ± 10 °C в среде диссоциированного аммиака со степенью диссоциации 25—30 % в течение 25 ч.

Образцы из сталей ШХ15, У8А, 40Х и 45, обработанные по указанному режиму, имели глубину упрочненного слоя в пределах 0,25—0,4 мм. Характерное отличие микроструктуры слоя — наличие темно-травящейся зоны непосредственно под слоем. Эта зона твердого раствора бора и алюминия в железе, дополнительно легированного азотом, наиболее отчетливо видна на сталях карбидного класса, например ШХ15.

класса, например ШХ15.
Азотирование повышает твердость бороалитированных покрытий. Если после бороалитирования твердость поверхности стали ШХ15 не более HV_{10} 950, то после азотирования она увеличивается до HV_{10} 1650.
Бороцирконирование. Насыщение проводят путем электролиза из расплавов системы (бура, криолит, глинозем, двуокись циркония). Однакой такой состав пригоден лишь для электролизного бороцирконирования, требует применения дорогостоящего оборудования, использования источников постоянного тока. Он сложен в эксплуатации и затрудняет термическую обработку непосредственно и затрудняет термическую обработку непосредственно после процесса химико-термической обработки. На практике часто используют состав, содержащий диборид циркония, инертную добавку и активатор (%): диборид циркония (ZrB_2) 47; инертная добавка (окись алюминия Al_2O_3) 50; активатор (фтористый алюминий AlF_3) 3. Процесс диффузионного насыщения проводят в герметичных жаростойких контейнерах. Недостатки этого состава: относительно низкая скорость формирования бороцирконированных диффузионных слоев, необходимость использования дорогостоящей оснастки, невозможность проведения закалки после химико-термической обработки. Можно увеличить насыщающую способность состава и обеспечить возможность проведения процесса в окислительной среде без защитной обмазки [а. с. 685717 (СССР)]. В состав, содержащий порошкообразный диборид циркония, дополнительно вводят карбид бора, в качестве инертной добавки — железную окалину и в качестве активатора — фтористый натрий при следующем содержании компонентов (%): карбид бора 45—60; диборид циркония 5—10; фтористый натрий 5—10; железная окалина 25—40. Для приготовления обмазки применяют следующие компоненты: технический карбид бора, железную окалину — отходы кузнечно-термического производства, натрий фтористый марки Ч, диборид циркония порошкообразный.

Смесь компонентов в виде обмазки наносят на упрочняемые поверхности. Обмазку готовят смешиванием порошкообразных компонентов (размер фракции 0,1—0,2 мм) с гидролизованным этилсиликатом, используемым в качестве связующего. Слой обмазки толщиной 4—5 мм наносят на образцы окунанием. После сушки в течение 10—20 мин при нормальной температуре на воздухе детали помещают в электропечь, нагретую до температуры процесса химикотермической обработки 900 °С, и выдерживают 4—6 ч. Процесс совмещают с нагревом для термической обработки, т. е. закалку проводят с температуры диффузионного насыщения. При закалке обмазка теряет прочность и отделяется от поверхности образца.

и отделяется от поверхности образца. Состав позволяет проводить процесс в обычной печной среде при длительных высокотемпературных выдержках (1—20 ч при 900—1100 °C). Глубина диффузионного слоя в сталях 40 X, 45 достигает 95—145 мкм.

НАСЫЩЕНИЕ СОЕДИНЕНИЯМИ ХРОМА

Диффузионное хромирование — процесс насыщения поверхности металла хромом и его соединениями. Процесс диффузионного хромирования может использоваться

6

50

45

на осн	ове ферро	хрома, %			
Состав	Ферро- хром	Окись алюми- ния	Хлори- стый алюми- ний	Остальное	Назначение
1 2 3 4	25 75 	72 70 20 26	3 5 5 2	$ \begin{array}{c c} & - & \\ & - & 25 \\ & - & \\ & - & 12 \\ & - & 12 \\ & - & 60 \end{array} $	Для деталей из углеродистых ста- лей
5	50	47	3		Лля леталей из ле-

5

5

2

Cr - 50

 $Cr_2O_3 - 45$

 $Cr_2O_3 - 45$

гированных

торым

дость

Для деталей, ко-

требуется повышенная твер-

40. Составы рабочей смеси для хромирования в порошках

45

8

для повышения жаро-, износо-, кавитационной и коррозионной стойкости деталей машин и инструмента в машиностроительной, химической, приборостроительной других отраслях промышленности. Хромированные изделия обладают повышенной окалиностойкостью до температуры 800 °C, высокой коррозионной стойкостью, а при содержании хрома в поверхностном слое 0,3— 0,4 % — повышенной твердостью и износостойкостью. Хромированию можно подвергать изделия, изготовленные из любых марок стали. Его проводят в высокотемпературных печах. Составы рабочих смесей на основе феррохрома, рекомендуемые для выполнения процесса хромирования, приведены в табл. 40.

Состав на основе окиси хрома содержит (%): окись хрома 55—60; алюминий 10—15; фтористый алюминий 3—5; окись алюминия остальное.

При последовательном карбохромировании, хромонитридизации в качестве источника хрома применяют 70 %-ный феррохром ФХ010. Из феррохрома отливать плиты, стержни, втулки и другие формы для неконтактного диффузионного хромирования в вакууме деталей сложной конфигурации или отдельных частей деталей. Для увеличения сублимирующей поверхности феррохром измельчают или гранулируют. Хорошие результаты получены при использовании в качестве источника комплексного насыщения металлического хрома марки X0.

В процессе хромоалитирования источником хрома и алюминия служит специально выплавленный сплав (80 % Cr + 20 % Al), обеспечивающий равномерное испарение хрома и алюминия

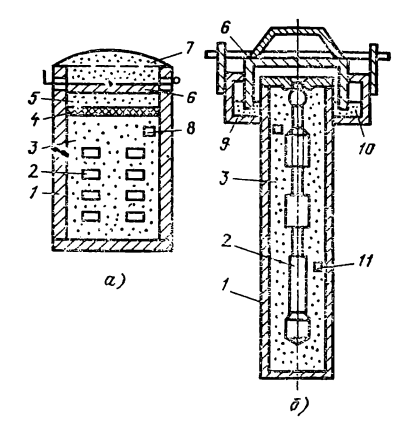


Рис. 11. Контейнер с крышкой, уплотняемой обмазкой (a), и с плавким затвором (σ) :

I — контейнер; 2 — обрабатываемы детали; 3 — хромирующий порошок; 4 — асбестовая крышка; 5 — смесь глины и угля; 6, 9 — крышка; 7 — замазка; 8, 11 — образец-свидетель; 10 — плавкий затвор

при неконтактном вакуумном способе. Хромоборирование проводят последовательным и непрерывно-последовательным способом. Источником бора служит смесь карбида бора металлического порошков И Приготовление хромирующей осуществляется смеси следующим образом. Взвешивают отдельные составляющие смеси. Взвешенное количество хрома и окиси алюминия (глинозема) смешивают и просушивают при 60— 100 °C в течение 1—2 ч, затем все составляющие тщательно смешивают (металлический хром, получаемый в кусках, размельчают в шаровой мельнице до порошка). Хромирующая смесь может быть использована многократно при условии добавки 10 % свежей смеси. Хранят смесь в сухом месте, в ящиках с крышками. Детали, очищенные от коррозии и загрязнений, загружают в нагревательную печь в контейнерах для хромирования с обычной крышкой, уплотняемой обмазкой, или в контейнерах с плавким затвором (рис. 11).

При упаковке изделий в ящики расстояние между стенками ящика и изделиями должно быть не менее 25 мм.

Перед укладкой изделий на дно ящика насыпают хромирующую смесь слоем 20—30 мм. После укладки изделий и образцов-свидетелей засыпают хромирующую смесь слоем 30—40 мм. Поверхность слоя закрывают листовым асбестом, затем надевают крышку. Герметизацию осуасоестом, затем надевают крышку. Герметизацию осуществляют заполнением герметизирующего желоба сухим песком или шамотным порошком.

Ящики загружают в печь при температуре не выше 400 °C. До температуры 600 °C нагрев осуществляют со скоростью 100 °С/ч.

со скоростью 100 °С/ч.
 Рабочая температура процесса 950—1100 °С, время выдержки 6—12 ч, скорость хромирования 0,02—0,04 мм/ч. Твердость обработанной оснастки достигает HV 1200 при глубине слоя 0,3 мм.
 Хромированные детали подвергают внешнему осмотру. Контроль качества, твердости и глубины слоя проводят по образцам-свидетелям. Качество слоя определяют травлением, глубину слоя — по микрошлифам, твердость измеряют прибором Виккерса при нагрузке 0,6—1 кгс (6, 10, 14) (6-10 H).

(6—10 Н).

Недостатки хромирующих составов: малая скорость формирования покрытий, применение в процессе насыщения герметичных контейнеров из жаростойкой стали, необходимость повторного нагрева при последующей термообработке хромированных деталей. Интенсифицировать процесс насыщения, отказаться от использования тиглей из жаростойкой стали, совместить процесс хромирования с нагревом под термическую обработку и повысить технологическую и экономическую эффективность процесса можно использованием следующего способа (а. с. 585235 (СССР)). Эффект постигается введением цесса можно использованием следующего способа (а. с. 585235 (СССР)). Эффект достигается введением в хромирующий состав, помимо окиси хрома, порошка алюминия и окиси алюминия, дополнительно хлористого аммония и смеси ацетона с клеем на основе фенолоформальдегидных смол, модифицированных поливинилбутиралем, при следующем соотношении компонентов (%): окись хрома 30—45; порошок алюминия 10—20; окись алюминия 14—24; хлористый аммоний 3—6; смесь ацетона с клеем на основе фенолоформальдегидных смол, модифицированных поливинилбутиралем, — 19—23. В смесь ацетона с клеем на основе фенолоформальдегидных смол, модифицированных поливинилбутиралем, компоненты

	Режим на	сыщения	Глубина слоя (мкм) в сталях			
Состав насыщающей среды, %	Темпе- ратура, °С	Продол- житель- ность, ч	45	У8	хвг	Х12Ф1
35 $Cr_2O_3 + 15$ $Al + 21$ $Al_2O_3 + 4$ $NH_4Cl + 25$ (ацетон + клей)	1050 1050 1100 1100	4 6 4 6	20 25 25 35	20 25 25 30	25 28 28 35	40 40 60 70

41. Режимы хромирования инструментальных сталей

входят в следующем соотношении (%): клей на основе фенолоформальдегидных смол, модифицированных поливинилбутиралем 10—40; ацетон 60—90.

Хромирующий состав наносят на поверхность, подлежащую упрочнению, слоем 1—3 мм. Насыщение ведут при 900—1200 °С в течение 0,5—6 ч. Нагрев может осуществляться как в воздушной атмосфере, так и в соляных ваннах.

Данные о насыщающей способности состава (нагрев в воздушной атмосфере) приведены в табл. 41.
При необходимости увеличить толщину хромирован-

При необходимости увеличить толщину хромированного слоя используют активированный состав для диффузионного насыщения [а. с. 703601 (СССР)]. В состав для хромирования, содержащий окись хрома и активатор, вводят двуокись кремния и силикомишметалл, а в качестве активатора берут фтористый натрий и хлористый аммоний. При этом содержание указанных компонентов должно быть следующим (%): окись хрома 38—42; силикомишметалл 23—25; натрий фтористый 2—3; аммоний хлористый 1—2; двуокись кремния остальное. Все материалы используют в порошкообразном состоянии. Силикомишметалл берут с размером частиц менее 0,05 мм. Обрабатываемые изделия помещают в контейнер и засыпают предварительное восстановленным составом. Предварительное восстановление состава проводят при температуре 850—950 °С. Перед засыпкой в контейнер восстановленного состава в него вновь вводят активатор согласно процентному содержанию компонентов. Диффузионное насыщение проводят с использованием плавкого затвора. В качестве плавкого затвора используют борный ангидрид. При проведении хромирования в указанном составе образ-

цов из стали У8 при 1050 °С в течение 4 ч толщина хромированного слоя равна 35—40 мкм.

Хромирование пастой. Детали покрывают 0,5—1 мм

слоем пасты из 75 % порошкового хрома (феррохрома), 25 % криолита, разведенных в гидролизованном этилсиликате. Сушка при температуре 100 °С в течение 1 ч, нагрев ТВЧ до 1050—1200 °С. На деталях из низкоуглеродистой стали за 3 мин образуется слой глубиной до 0,1 мм. При обычном хромировании для получения такого слоя при температуре 1050 °C требуется 8—10 ч. Недостаток способа — ухудшение качества поверхности из-за приваривания к ней частиц обмазки.

Вакуумное хромирование. Основано на том, что твердый хром обладает высокой испаряемостью. Детали и измельченный хром укладывают в металлический тигель, установленный в электровакуумной печи. Создается вакуум 1-0,1 Па. При температуре 1000-1100 °C происходит испарение хрома. Он заполняет рабочее пространство тигля и, контактируя с поверхностью деталей, диффундирует в глубь металла. При температуре процесса 1050 °C за 6 ч в низкоуглеродистой стали глубина хромированного слоя достигает 0,15 мм.

Хромотитанирование. Стойкость твердосплавного инструмента может быть увеличена в 7—10 раз созданием на его поверхности износостойких комплексных карбидных покрытий. Состав для комплексной химико-термической обработки твердосплавного инструмента рекомендован а. с. 779435 (СССР). В состав, содержащий двуокись титана, алюминий и окись алюминия, дополнительно вводят окись ниобия и хлористый аммоний при следующем составе (%): двуокись титана 30—40; окись ниобия 10—20; алюминий 10—24; хлористый аммоний 1—3; окись алюминия остальное. Процесс проводят при 950—1100°C в течение 1—6 ч в контейнерах без использования вакуума или защитных атмосфер. На поверхности твердосплавного инструмента формируется износостойкое покрытие, состоящее из смеси карбидов титана и ниобия (TiC и NbC) толщиной 7—15 мкм.

Диффузионное хромотитанирование твердосплавных пластин можно проводить в составе, содержащем (%): окись хрома 12,5; окись алюминия 14—21; хлористый аммоний 1—3; алюминий 21; окись титана 36,6. После обработки на инструменте образуется диффузионный слой толщиной 7—9 мкм с поверхностной микротвердостью 2500—3000. Стойкость пластин повышается в 3—3,5 раза.

Для увеличения толщины диффузионного слоя и повышения износостойкости инструмента может быть использован состав [а. с. 933793 (СССР)] (%): окись хрома 30—35; окись алюминия 14—21; хлористый аммоний 1—3; титан 30—35; железосинеродистый калий 7—10; парафин 1—3. Предпочтителен состав (%): окись хрома 35; железосинеродистый калий 10; титан 30; хлористый аммоний 3; парафин 3; окись алюминия остальное. Процесс проводят при 950—1000 °С в течение 1—4 ч в контейнере без использования вакуума или защитных атмосфер. На поверхности твердосплавного инструмента формируется износостойкое покрытие, состоящее из смеси карбидов хрома и титана, толщиной 10—22 мкм, с поверхностной микротвердостью 2700—3100. Состав позволяет увеличить толщину диффузионного слоя в 2—2,5 раза и повысить стойкость твердосплавного инструмента в 2 раза по сравнению с неупрочненным.

в 2 раза по сравнению с неупрочненным.

Хромосилицирование. Используется для поверхностного упрочнения деталей машин и инструментов. Состоит в одновременном диффузионном насыщении металлов карбидами хрома и кремнием (силицидами). Может проводиться в смеси порошков феррохрома и ферросилиция. Способ жидкостного хромосилицирования в расплаве [а. с. 250638 (СССР)] предполагает, что процесс насыщения осуществляют из расплава, имеющего следующий состав (%): кремнекислый натрий 65—75; окись хрома 5—15; хлористый натрий 9—11; силикокальций 9—11. Процесс ведут при температуре 1000—1100 °C. Вместо силикокальция можно использовать другие активные восстановители. Процесс проводят в течение 2—6 ч. Время насыщения определяется глубиной диффузионного слоя.

насыщения определяется глубиной диффузионного слоя. Способ имеет ряд преимуществ по сравнению с известными. Он характеризуется большей производительностью, так как отпадает необходимость в прогреве массивных контейнеров и порошка насыщающей смеси. Скорость формирования диффузионного слоя на 15—20 % выше, чем при насыщении из порошков. Исключается изготовление герметичных контейнеров.

⁶ Полевой С. Н. и др.

Насыщение при температуре $1100\,^{\circ}$ С в течение 4 ч на стали 20 создает диффузионный слой толщиной 0,1 мм, состоящий из твердого раствора хрома и кремния в α -железе. Слой обладает высокой жаростойкостью и коррозионной стойкостью в различных агрессивных средах. При насыщении стали V8 по тому же режиму образуется карбидный слой толщиной 20-25 мкм, состоящий из карбида хрома $\mathrm{Cr}_{23}\mathrm{C}_6$, легированного кремнием. Помимо свойств, отмеченных для стали 20, карбидный слой отличается высокой твердостью (HV_{100} 1600) и износостойкостью. Процесс сложного диффузионного хромосилицирования можно осуществить с использованием порошкообразного сплава «Сормайт», имеющего следующий химический состав (%): углерод 2,5-3,5; кремний 2,8-4,2; марганец 0,5-1,5; хром 25,0-31,0; никель 3,0-5,0; остальное железо.

железо.

железо.

«Сормайт» в смеси с компонентами [а. с. 582328 (СССР)] позволяет получить, например, в стали У9 диффузионный слой толщиной до 22 мкм (1000 °C, 4 ч) и неоднократно использовать насыщающий состав. В соответствии с его описанием состав содержит (%): хлорид алюминия 0,1—0,9; гидроокись алюминия 0,5—2,0; порошковый сплав «Сормайт» остальное. Хлорид алюминия применяют в виде кристаллогидрата $AlCl_3 \cdot nH_2O$, где $n \le 6$.

Твердый сплав «Сормайт I» после приготовления покрыт окисной пленкой. В процессе насыщения поверхностей изделий легирующими элементами она замедляет образование активных атомов хрома в реакционном пространстве. Это снижает интенсивность процесса и вызывает такую концентрацию хрома в диффузионном слое, которая способствует образованию преимущественно карбидов хрома твердостью 1200—1300.

Интенсифицировать процесс термодиффузионного

хрома твердостью 1200—1300. Интенсифицировать процесс термодиффузионного легирования в порошкообразном сплаве «Сормайт I» и увеличить твердость диффузионного слоя можно следующим способом [а. с. 450001 (СССР)]. Перед насыщенией твердый сплав «Сормайт I» обрабатывают водным раствором состава (%): бура 5—15; борная кислота 15—25; хлористый аммоний 20—30; остальное вода, с последующей сушкой при 280—320 °С.

В процессе сушки окисная пленка, покрывающая твердый сплав «Сормайт I», взаимодействует с компонентами

раствора и разрушается, что способствует возрастанию активности твердого сплава при диффузионном насыщении. Повышение концентрации хрома в диффузионном слое способствует увеличению толщины слоя и образованию преимущественно карбидов хрома твердостью 1600—1800.

Пример. В водный раствор 10 г буры, 20 г борной кислоты и 30 г хлористого аммония добавляют 1 кг порошка твердого сплава «Сормайт 1», перемешивают, а затем высушивают при 300 °С в течение 1 ч. Получают офлюсованный твердый сплав «Сормайт 1». Затем приготавливают рабочую насыщающую смесь, содержащую 60 % полученного офлюсованного твердого сплава, 39 % шамота и 1 % хлористого аммония, и пересыпают ею обрабатываемые детали. Термодиффузионное насыщение ведут при 1000 °С в течение 4 ч

При легировании стальных деталей указанным способом толщина диффузионного слоя составляет 23—25 мкм,

а его твердость 1600—1800.

Хромоалитирование. Поверхностное упрочнение хромоалитированием пресс-форм из сталей типа 4Х5В2ФС для литья под давлением алюминиевых сплавов (данные АЗЛК) позволяет повысить их стойкость до 15 раз. Штампы холодного и горячего деформирования из сталей Х12М, ЗХ2В8Ф, 5ХНМ увеличивают стойкость после хромоалитирования в 3—4 раза (данные ПО "ЗИЛ"). Диффузионное насыщение проводят в смеси состава (%): 38 Cr; 5 V; 7 Al; 5 SiO₂; 2 NH₄Cl; 1 H₃BO₃; 42 Al₂O₃ в контейнерах с плавким затвором при температурах 980 и 1050 °C. Продолжительность процесса 3—10 ч. После стандартной термообработки (закалка при 1050 °C, отпуск при 600 °C) в поверхностном слое на глубине до 20 мкм сохраняются напряжения сжатия. Однако в подслое величина растягивающих напряжений значительно уменьшается и составляет лишь 150 МПа. При совмещении процессов диффузионного насыщения и термообработки глубина поверхностного слоя с сжимающими напряжениями увеличивается с 20 до 50 мкм. Защитные покрытия значительно повышают окалиностойкость (при 700 °C), причем эффект защитного действия сильнее проявляется у низколегированных сталей типа 5 ХНМ.

НАСЫЩЕНИЕ СЛОЖНЫМИ СОЕДИНЕНИЯМИ ВАНАДИЯ, ТИТАНА, ЦИРКОНИЯ, ВОЛЬФРАМА, НИОБИЯ, СЕРЫ, Алюминия, кремния

Ванадирование. Применяют при изготовлении инструментов из малолегированных быстрорежущих сталей;

ментов из малолегированных оыстрорежущих сталей; выполняют в порошковых смесях, содержащих, например, следующие компоненты (%): феррованадий 60; хлористый аммоний 7; окись алюминия остальное.

Недостатком состава является малая глубина диффузионного слоя, не позволяющая производить заточку инструмента. Повышение износостойкости, прочности, пластичности и режущей стойкости инструмента может быть обеспечено использованием состава по а. с. 533670 (СССР). Лиффузионное ваналирование прородят в смеси (СССР). Диффузионное ванадирование проводят в смеси следующего состава (%): древесноугольный карбюризатор 10—20; феррованадий 35—45; хлористый аммоний 0,5—2; окись алюминия остальное.

10—20; феррованадий 35—45; хлористый аммоний 0,5—2; окись алюминия остальное.

Упрочнение осуществляют нагревом инструмента до 1040—1050 °C в порошковой смеси, содержащей 16 % свежего карбюризатора, 40 % феррованадия, 1 % хлористого аммония, окись алюминия остальное. Частицы феррованадия размельчают до грануляции 0,1—0,4 мм. Смесь тщательно перемешивают и засыпают в ящик слоем 20—30 мм, на который укладывают инструмент. Насыпают опять слой 20—30 мм, укладывают новый ряд деталей и т. д. Ящик герметизируют шамотной глиной. После окончания выдержки (6 ч) ящик охлаждают на спокойном воздухе до нормальной температуры и затем разбирают. Глубина диффузионного слоя составляет 1,4—1,6 мм. После диффузионной обработки инструмент подвергают закалке с 900 °C и отпуску при 150 °C (режим обработки на первичную твердость). Применительно к быстрорежущим сталям P18, P12, P6M3 свойства слоя: твердость поверхности после насыщения HRC 48—51; после закалки при 900 °C HRC 67—70; после отпуска при 150 °C HRC 67—70. Механические свойства повышаются на 20—40 %, износостойкость на 50—100 %, стойкость режущего инструмента в 2—5 раз.

Применение указанного состава при изготовлении рабочих деталей штампов и пресс-форм из инструментальных углеродистых или инструментальных легированных

сталей не обеспечивает получение необходимого комплекса свойств и, в первую очередь, твердости, износостойкости и эксплуатационной стойкости из-за малой легированнои эксплуатационной стоикости из-за малой легированно-сти по сравнению с быстрорежущими сталями. Для диф-фузионного ванадирования таких сталей может быть использован состав [а. с. 692909 (СССР)], содержащий (%): феррованадий 35—45; ферротитан 10—20; хлористый аммоний 0,5—1,5; древесноугольный карбюризатор остальное.

аммонии 0,5—1,5; древесноугольныи кароюризатор остальное.

Ферротитан вводят для предупреждения образования карбидов ванадия, так как он является наиболее сильным карбидообразующим элементом. Состав обеспечивает получение глубоких (до 3 мм) диффузионных слоев повышенной твердости, износостойкости и эксплуатационной стойкости на рабочих деталях штампов и пресс-форм. Пр имер. Осуществляют химико-термическую обработку рабочих деталей штампов и пресс-форм в предлагаемом составе при 920—950 °С. Частицы феррованадия, ферротитана и древесноугольного карбюризатора размельчают до грануляции 0,1—0,4 мм. Древесноугольный карбюризатор выполняет одновременно роль наполнителя и изолятора рабочих деталей штампов и пресс-форм, предупреждающего налипание. Просушенный хлористый аммоний растирают и просеивают. Перед употреблением смесь прокаливают при 850—900 °С в течение 2—3 ч. Смесь тщательно перемешивают и засыпают в ящик слоем 20—30 мм, на который укладывают рабочие детали штампов и пресс-форм, насыпают опять слой 20—30 мм, укладывают новый ряд деталей и т. д. Ящик герметизируют шамотной глиной с силикатом натрия. После окончания выдержки ящик охлаждение проводят до нормальной тамператири на воздине и повета деталет. Дальнейшее охлаждение проводят нормальной до температуры на воздухе и затем ящик разбирают. Диффузионный слой формируется из расчета 0,15 мм за 1 ч. После диффузионной обработки детали подвергают закалке с температурой 30—50 °С ниже оптимальной

закалке с температурой 30—50 С ниже оптимальной и последующему отпуску на соответствующую твердость. Состав повышает твердость диффузионного слоя до HRC 65—68, износостойкость в 5—10 раз и эксплуатационную стойкость в 2—3 раза.

Инструменты из малолегированных быстрорежущих сталей упрочняют диффузионным ванадированием в по-

рошковых смесях, например, состава (%): феррованадий 60; хлористый аммоний 7; окись алюминия остальное. Недостатки состава: небольшая красностойкость и малая глубина диффузионного слоя, не позволяющая производить заточку инструмента. Повышение свойств инструментов, изготовленных из малолегированных инструментальных сталей типа P6M3, возможно при использовании состава [а. с. 536251 (СССР)], содержащего следующие компоненты (%): древесноугольный карбюризатор 5—15; ферромолибден 20—30; феррованадий 10—20; хлористый аммоний 0,5—2; окись алюминия остальное.

Упрочнение осуществляют нагревом при 1040—

Упрочнение осуществляют нагревом при 1040— 1050 °С образцов и инструмента в смеси порошков: ферромолибдена 27 %, феррованадия 19 %, карбюризатора древесноугольного 12 %, хлористого аммония 0,5 %, окиси алюминия 41,5 %.

древесноугольного 12 %, хлористого аммония 0,5 %, окиси алюминия 41,5 %.

Частицы ферросплавов размельчают до 0,1—0,4 мм и тщательно перемешивают с другими компонентами. Инструмент укладывают в ящик на слой смеси толщиной 20—30 мм, сверху насыпают слой смеси такой же толщины, укладывают новый ряд деталей и т. д. Ящик герметизируют шамотной глиной. После окончания выдержки (6 ч) ящик охлаждают на спокойном воздухе до нормальной температуры и затем вскрывают.

Глубина диффузионного слоя 1,4—1,6 мм, содержание молибдена и ванадия на 2,5—3 и 1,3 % соответственно выше по сравнению с исходным содержанием этих элементов в стали. Содержание углерода по сравнению с исходным повысилось на 0,63 %. После диффузионного насыщения детали следует подвергать закалке с температуры на 50—70 °С ниже обычно принятой для стали данной марки и последующему трехкратному отпуску. Применой марки и последующему трехкратному отпуску. Применот става упрочненного слоя: глубина слоя 1,4—1,6 мм, твердость поверхности после насыщения *HRC* 48—52, после закалки при 1190 °С *HRC* 38—43, после отпуска при 600 °С 3 раза по 30 мин, *HRC* 66—69, красностойкость 657 °С, режущая стойкость увеличивается в 2—5 раз.

Карбованадийтитанирование. Комплексное диффузионное насыщение карбидами ванадия и титана поверхностей деталей штампов и пресс-форм, изготовленных из инструментальных углеродистых или легированных из инструментальных углеродистых или легированных

	Состав	использо- раз		c	износо- упроч-				
		Карбю-	, z	Сталь	слоя,	Тверд с ги	ость пове <i>HRC</i> , по	ерхно- осле	осле
VCI,	TiC12	ризатор	Кратность вания смеси		Глубина мм	насыще- ния	закалки	отпуска	Увеличение стойкости п нения, раз
20	15	Осталь- ное	65	У8 Х12М 4Х5МФС	2,5	18—20 20—24 20—25	66—68 66—69 67—69	66—67 65—68 66—68	6—7 8—10 9—10

42. Механические свойства некоторых сталей после упрочнения

сталей. Процесс обеспечивает получение в металле глубоких (до 3 мм) диффузионных слоев повышенной твердости, износостойкости и эксплуатационной стойкости [а. с. 759618 (СССР)]. Смесь содержит в качестве ванадийсодержащего компонента хлористый ванадий, в качестве титаносодержащего компонента — хлористый титан при следующем соотношении компонентов (%): хлористый ванадий 20—30; хлористый титан 10—15; древесноугольный карбюризатор остальное. Хлористый ванадий и хлористый титан введены для более полного восстановления ванадия и титана из окислов и карбидов, образующихся в насыщенной смеси, и пополнения количества ванадия и титана при регенерации обедненной смеси, бывшей в употреблении.

Пример. В смеси проводят химико-термическую обработку деталей из сталей У8, X12M, 4X5МФС при $1000+50\,^{\circ}$ С. Загружают в печь, нагретую до $600-700\,^{\circ}$ С, и выдерживают в течение 2 ч. Затем повышают температуру до $1000+50\,^{\circ}$ С, выдерживают 12 ч и охлаждают вместе с печью до $500\pm50\,^{\circ}$ С, далее на воздухе. По окончании процесса производят механическую обработку (снятие припуска до 0,1 мм на сторону), закалку и отпуск. Механические свойства сталей после обработки приведены в табл. 42.

В качестве регенерирующей добавки, вводимой в обедненную изношенную смесь, используют ту же смесь, но свежего приготовления. Регенерирующую присадку

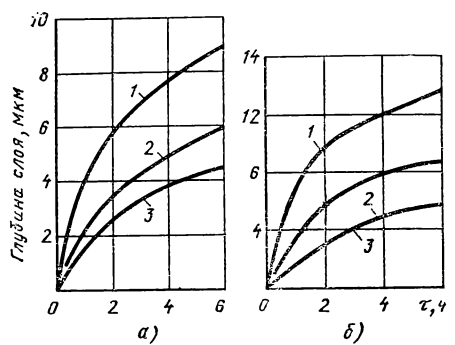


Рис. 12. Влияние температуры и времени насыщения на глубину слоя карбида циркония:

a — на сплаве T15K6; δ — на сплаве BK8; I — 1100 °C; 2 — 1050 °C; 3 — 1000 °C

(смесь) добавляют после трехкратного использования насыщающей смеси в количестве 3—5 % от первоначальной массы исходной смеси, располагая ее не менее чем в 5 мм от деталей (для исключения налипания).

Добавление небольшого количества регенерирующей смеси сохраняет на одном уровне карболегирующую способ-

ность смеси основного количества, позволяя ее использовать до 65 раз. Вследствие активности смеси предупреждается обезуглероживание деталей при насыщении. На поверхности деталей получается диффузионный слой повышенной твердости (HV 900—1100) и износостойкости (в 5—7 раз) выше, чем при обычных методах термической обработки.

Циркотитанирование. Применяется для упрочнения твердосплавных инструментов, в частности вольфрамокобальтовых и титановольфрамокобальтовых пластин путем диффузионного насыщения их поверхности соединениями титана и циркония. Карбидные покрытия из циркония, титана и ниобия, нанесенные на поверхность твердых сплавов, улучшают эксплуатационные характеристики инструмента: повыщают твердость, стойкость, стойкость против образования лунок, снижают адгезию режущего инструмента с обрабатываемым материалом. В результате срок службы инструмента возрастает в несколько раз. Процесс можно осуществить методами диффузии и осаждения из газовой фазы или диффутвердых порошков. При насыщением зионным из осаждении из газовой фазы диффузионные слои наносят в замкнутом реакционном пространстве при пониженном В качестве насыщающей среды используют порошок технически чистого циркония крупностью 100150 мкм, четыреххлористый углерод и полиэтилен, вводимый в реакционное пространство для науглероживания образцов в процессе нагревания.

Количество четыреххлористого углерода, полиэтилена и порошка циркония составляет соответственно 11 мл, 23 и 35 г на 1 м² насыщаемой поверхности, включая и внутреннюю поверхность реакционной камеры.

Согласно данным микрорентгеноспектрального анализа, содержание циркония в карбиде циркония не зависит от температуры и времени насыщения и находится в пределах 87—88 %. В карбиде циркония не растворяется вольфрам и кобальт. Глубина проникновения циркония в насыщаемую поверхность достигает 2—3 мкм.

Зависимость толщины слоя на основе карбида циркония на твердых сплавах от температуры и времени насыщения показана на рис. 12. Металлографически слой на поверхности сплавов ВК8 и Т15К6 выявляется в виде на поверхности сплавов ВК8 и 115Ко выявляется в виде светлой нетравящейся зоны толщиной 2—14 мкм. Непосредственно под карбидной зоной не наблюдается обезуглероженной зоны, которая может ухудшить эксплуатационные свойства карбидных покрытий. В формировании покрытия принимает участие не только углерод матрицы, но и углерод, выделяющийся при диссоциации полиэтилена и четыреххлористого углерода, которые входят в состав насыщающих смесей. Микротвердость карбида циркония находится в пределах 2800—2900.

Оптимальным режимом нанесения карбида циркония на поверхность сплава ВК8 следует считать: температуру 1000 °C, время 2 ч; сплава Т15К6: температуру 1050 °C, время 2 ч.

Установлено, что стойкость пластин ВК8 с покрытием на основе карбида циркония в 2—4 раза выше, чем стойкость пластин ВК8 без покрытия, а пластин Т15К6 в 1,5—3 раза по сравнению с серийными.

Циркосилицирование. Применяют для повышения жаростойкости, кислотостойкости и в некоторых случаях износостойкости рабочих поверхностей деталей машин, инструмента и технологической оснастки. Выполняют в порошковых средах, содержащих окислы кремния, циркония, алюминия и хлорид аммония в качестве активатора процесса. Температура процесса 1100 °С, продолжительность 4 ч (применительно, например, к стали 45).

Глубина слоя насыщения — до 100 мкм [а. с. 522280 (СССР)]. Состав содержит хлорид калия и натрия, а в качестве соединений кремния и циркония соответственно метасиликаты натрия, калия и силикоцирконий при следующем соотношении компонентов (%): метасиликат натрия 18—21; метасиликат калия 42—49; хлорид калия 3—7; хлорид натрия 3—7; силикоцирконий остальное.

Силикоцирконий применяют в виде порошка с размером гранул 0,05—1,0 мм. Наиболее приемлемым размером является 0,2—0,5 мм. Процесс химико-термической обработки рабочей поверхности деталей осуществляют погружением в насыщающую ванну и проводят в интервале температур 750—1100 °С в течение 3—8 ч. Продолжительность выдержки зависит от требуемой глубины диффузионного слоя. При этом на стали образуется слой глубиной 170—185 мкм.

ной 170—185 мкм.

Диффузионное насыщение твердых сплавов соединениями циркония и титана из твердых порошков можно осуществить с помощью состава [а. с. 709714 (СССР)], содержащего следующие компоненты (%): окись алюминия 20—45; окись титана 10—30; окись циркония 20—35; титан 10—30. Предпочтительна смесь состава (%): Al₂O₃—40; ZrO₂—30; TiO₂—15; Ti—15. В зависимости от условий получения твердосплавных пластин на их поверхности имеется свободный углерод, который осаждается преимущественно на выступах, углах, острых кромках, т. е. на рабочей поверхности, и тем самым снижает прочность и износостойкость инструмента. Титан, введенный в покрытие, в процессе диффузионного насыщения при высоких температурах взаимодействует с имеющимся на поверхности свободным углеродом с образованием карбида титана.

При высокоскоростном резании, когда резко возрастает температура на рабочей поверхности, главную роль играет диффузионное изнашивание. В этом случае карбид титана служит диффузионным барьером, препятствуя свариванию пластины со сталью, замедляет образование наростов и лунок, что увеличивает срок службы режущих пластин. Взаимная диффузия титана, вольфрама и углерода в процессе резания при высоких температурах приводит к образованию твердого раствора ТіС — WC,

химически более инертного, чем WC, обладающего высокой твердостью и очень низкой растворимостью в железе: Имеющиеся в покрытии окислы алюминия, титана и циркония отличаются высокой твердостью и окалиностойкостью, что увеличивает износостойкость режущих пластин. В процессе термообработки окислы частично восстанавливаются с образованием карбидов алюминия, восстанавливаются с соразованием кароидов алюминия, титана и циркония. Они, в свою очередь, образуя сложные молекулярные растворы, оказывают положительное влияние на режущие свойства твердосплавных пластин. Смесь порошков, содержащую (%): Al₂O₃ 30; TiO₂ 20; ZrO₂ 32; Ti 18, измельчают в шаровой мельнице в течение 60 ч. На предварительно обработанную режущую поверхность пластин сплавов гипа T15K6 и BK8 методом окунания наносят слой пасты, приготовленной из мелкодисперсных порошков на этиловом спирте. Затем пластины отжигают в вакууме $0.1 \cdot 10^{-2}$ Па при 1400 - 1450 °C в течение 3.5 ч. в вакууме 0,1-10 - 11а при 1400—1450 °С в течение 3,5 ч. После термообработки образуется покрытие толщиной 10—12 мкм. При обработке изделий из сталей ХВГ; ШХ15 с твердостью *HRC* 35—48 со скоростью резания в интервале 56—370 м/мин, подачей 1,2—2 мм/об и глубиной резания 2—4 мм стойкость режущих пластин с покрытием в 2—3 раза, а при обработке чугуна в 7—8 раз выше, чем у серийного инструмента.

Эксплуатационную стойкость твердых сплавов, например, неперетачиваемых режущих пластин, изготовленных из сплавов ВК-8, ВК-6, Т15К6, Т5К10, ТТ10К8Б и др., применяемых для оснащения режущих инструментов, можно повысить нанесением на их поверхность дифтов, можно повысить нанесением на их поверхность диффузионных карбидных покрытий [а. с. 790842 (СССР)]. В процессе нагревания в среде галогенов и (или) галогенидов наносимого металла проводят дополнительную выдержку при температуре 500—950 °С и давлении 13,3—0,1·10⁻² Па. Способ позволяет наносить покрытия на основе карбидов, главным образом, тугоплавких металлов и их сплавов, на твердосплавные изделия без использоваи их сплавов, на твердосплавные изделия оез использова-ния водорода и углеводородов, что существенно упрощает технологическое оборудование и процесс нанесения покрытий, исключает применение пожаро- и взрывоопас-ных компонентов используемых газовых смесей. Пример 1. Получение покрытий карбидами нио-бия. Режущие пластины помещают в печь, вакуумируют

установку до получения в камере остаточного давления 0,1—0,01 Па, нагревают контейнер с пентахлоридом ниобия (NbCl₅) до $T_{\text{конт}} = 110-130$ °C. Затем нагревают печь с изделиями до 600—700 °C. Открывают затвор контейнера с NbCl₅, откуда пары NbCl₅ по паропроводу поступают в реакционное пространство печи. В указанном режиме изделия выдерживают 2 ч, после чего повышают температуру печи до 1000—1100 °C (при неизменных прочих параметрах) и проводят осаждение NbC в течение не более 1,5 ч. Затем прекращают подачу NbCl₅ (закрывают ватвор контейнера) и охлаждают печь вместе с покрытыми изделиями. В результате изделия покрываются ровным плотным слоем NbC серебристого цвета толщиной до 30 мкм, прочно сцепленным с основой.

Пример 2. Получение покрытий карбидами титана. Режущие пластины помещают в печь, вакуумируют установку до получения в камере давления 0,01—0,001 Па. Натревают контейнер с кристаллическим йодом до 40—50 °C. Нагревают печь с изделиями до 550—600 °C. Затем сопловое устройство с размещенной внутри стружкой титана нагревают с размещенной внутри стружкой титана нагревают до 400—500 °C. Открывают затвор контейнера с йодом. Йод, взаимодействуя с титановой стружкой, образует йодиды титана различной валентности. Полученную смесь иода и иодидов титана в течение 1 ч. Полученные покрытия толщиной 8 мкм имеют хорошую адгезию и повышают температуру изделий до 1050—1150 °C и проводят осаждение карбида титана в течение 1 ч. Полученые покрытий сложными карбидами титана и ванадия. Режущие пластины из сплава Т15К6 подвергают травлению йодом в смеси с иодидами ванадия по методике, указанной в примере 2. Стружку титана, смешанную со стружкой ванадия в соотношении 1:5, выдерживают при более высокой температуре 800—900 °C вследствие низкой летучести дийодида ванадия. Осадки толщиной 5—20 мкм, как и в предыдущих примерах, получаются равномерными, беспористыми, прочно сцепленными с основой. Они представляют собой сплав карбидов титана и ванадия переменного состава.

С помощью приемов, аналогичных описанным в примера

С помощью приемов, аналогичных описанным в примерах, наносят покрытия ZrC, TaC и др. В качестве исход-

ных реагентов используют пентахлорид ниобия (NbCl₅), тетраиодид титана (TiJ₄), тетрахлорид циркония (ZrCl₄), пентахлорид тантала (TaCl₅), дииодид ванадия (VJ₂) и др.

Поверхностно-диффузионная карбидизация сложнолегирующими элементами. Способ предусматривает сочетание процесса диффузионного насыщения поверхностного слоя металла сложными карбидами металлов, например хрома, ванадия, титана, вольфрама и др., с процессом создания карбидного покрытия на поверхности металла. В результате обеспечивается повышение износостойкости, теплостойкости и коррозионной стойкости изделия [а. с. 745961 (СССР)]. По способу, включающему нагрев изделий в порошке карбидообразующего металла, галогенида аммония и окиси алюминия, на поверхность изделий предварительно наносят слой органического материала на целлюлозной или белковой основе. Нагрев ведут при температуре 1200—1400 °C.

Сущность способа заключается в том, что при температуре 1200—1400 °C атомы карбидообразующих металлов (например, хром, ванадий, титан, вольфрам и др.) в присутствии галогенида аммония как активатора и противопригарной присадки — окиси алюминия соединяются с углеродом и другими микроэлементами, входящими в состав органического материала (например, хлопчатобумажной, льняной, шерстяной ткани, кожи, лаков и др.) и образуют сложные карбидные покрытия на поверхности изделий. Одновременно образуется диффузионный карбидный слой в металле изделия, прочно соединенный с природно-легированным карбидным покрытием. Это приводит к повышению износостойкости, теплостойкости и коррозионной стойкости изделий.

и коррозионной стойкости изделий.

Температура ниже 1200 °С недостаточна для протекания процесса образования сложных карбидных покрытий.

Температура выше 1400 °С не увеличивает скорость образования покрытий.

Пример 1. Ролики из стали 45 покрывают слоем хлопчатобумажной ткани и помещают в контейнер с порошком, содержащим 50 % феррохрома, 5 % хлористого аммония, 45 % окиси алюминия.

Изделия и насыщающую среду помещают в стальной контейнер с плавким затвором. Контейнер герметизируют

и нагревают до 1300 °C и выдерживают в течение 5 ч. Получают сложные карбохромированные покрытия. При испытании роликов установлено увеличение износостойкости в 2—2,5 раза по сравнению с покрытием, полученным другими способами.

ченным другими спосооами.

Пример 2. Пластины из стали У8 покрывают слоем шерстяной ткани и слоем шерстяной нити и помещают в контейнер с порошком феррованадия (50 %), йодистого аммония (5 %), окиси алюминия (45 %). Контейнер герметизируют и нагревают до 1350 °C с выдержкой в течение 5 ч. Получают сложные карбованадиевые покрытия. При испытании резцы, оснащенные этими пластинами, покавали увеличение стойкости в 3—4 раза по сравнению с покрытием, полученным другими способами.

Ниобирование. Процесс диффузионного насыщения

соединениями ниобия поверхностей твердосплавных изделий, особенно режущих инструментов, с целью повышения их эксплуатационной стойкости. Способ ниобирования, отличающийся сравнительной простотой и эффективностью, изложен в а. с. 726209 (СССР). Процесс осуществляется в составе, содержащем окись ниобия, окись алюминия, порошок алюминия и хлористый аммоний (%): окись ниобия 36—56; алюминий 10—24; хлористый аммоний 1—3; окись алюминия остальное. Предпочтительный состав (%): окись ниобия 46; алюминий 17; хлористый аммоний 2; окись аммония 35.

Процесс ниобирования проводят при температуре 950— 1100 °С в течение 1—6 ч в контейнерах без использования вакуума или защитных атмосфер. На поверхности твердосплавного инструмента формируется износостойкое покрытие, состоящее из карбидов ниобия (NbC и α -Nb₂C) толщиной 7—15 мкм.

толщиной 7—15 мкм.

Пример. Проводят ниобирование деталей из сплава ВК8 при 1100 °С с выдержкой 4 ч в шахтной силитовой печи без использования вакуума или защитных атмосфер. На поверхности твердосплавного инструмента формируется износостойкое покрытие толщиной до 15 мкм.

Преимущества состава: возможность использования типового термического оборудования, обеспечивающего температуру 900—1100 °С; более значительное, по сравнению с известной средой, повышение эксплуатационной стойкости режущего инструмента; повышение стойкости

					Соде	ржани	e, %					
Состав	KCNS	NaCNS	Fes	FeS2	Na ₂ S ₂ O ₃	Na ₂ SO ₄	K ₂ SO ₄	$Al_2(SO_4)_3 \times \times K_2SO_4 \times \times 24H_2O$	K4Fe(CN),	NaCl	BaCl ₂	CaCl ₂
1 2 3 4 6 7 8			13,2 — 12 — —	16,6		3,4 - 4 - 34	10	 - 15—40 	3,4 3,4 — — — 7—10	17 17 — 17 — 17 — 22	25 25 — — 25 — 18	38 38 - 38 - -

43. Составы ванн для сульфидирования

инструмента в 2,5—4 раза по сравнению с неупрочненным инструментом.

Сульфидирование. Процесс насыщения поверхностных слоев металла серой. Сульфидированию подвергают технологическую оснастку, изготовленную из быстрорежущей стали всех марок и стали типа ХВГ и 9ХС, с целью улучшения антифрикционных свойств поверхностей. В качестве оборудования для сульфидирования применяют тигельные ванны. Технологическую оснастку, поступающую на сульфидирование, предварительно обезжиривают. Составы ванн для сульфидирования приведены в табл. 43. Составы 3, 4, 6, 8 предназначены для обработки технологической оснастки из стали типа ХВГ и 9ХС (рабочая температура 180—200 °С, время выдержки 45—60 мин), составы 1, 2, 5, 7 — для обработки технологической оснастки из быстрорежущей стали (рабочая температура 550—570 °С, время выдержки 45—90 мин).

После выдержки технологическую оснастку охлаждают на воздухе до нормальной температуры, погружают в горячую воду для полного удаления соли. Затем опускают в подогретое масло, из которого через некоторое время выгружают и вытирают ветошью. Поверхность инструмента после сульфидирования серая. Глубина слоя, видимая под микроскопом, 0,10—0,13 мм. Образовавшееся

на поверхности инструмента сернистое соединение приобретает в процессе трения самосмазывающую способность. Благодаря этому уменьшаются силы трения трущихся пар деталей или стружки о поверхность режущего инструмента. В результате сульфидирования износостой-кость трущихся пар и инструмента увеличивается.

Контроль качества сульфидирования проводят по

Контроль качества сульфидирования проводят по образцам-свидетелям.

Сульфоцианирование. Диффузионное насыщение металла углеродом, азотом и серой, сопровождающееся образованием сложных химических соединений — карбидов, нитридов и сульфидов железа и легирующих металлов. В сульфоцианированном слое у поверхности располагается тонкая (5—15 мкм) светлая зона сульфидов. Степень насыщенности зоны серой может превышать 5 %. Ниже расположена темная зона карбонитридов. Глубина воны 50—100 мкм. Далее следует переходная зона с преимущественным преобладанием структур перлитноферритного типа. ферритного типа.

ферритного типа.

Процесс применяется для повышения износо- и задиростойкости деталей, работающих в условиях усиленного трения и недостаточной смазки, например для упрочнения фрикционных дисков. Одновременное насыщение углеродом и азотом повышает износостойкость и сопротивление усталости металла деталей при многократных циклических нагружениях. При небольших скоростях перемещений сульфоцианированные стальные и чугунные детали могут заменить бронзовые детали типа венцов червячных колес, втулок подшипников скольжения, полвунов кулисных механизмов и т. п.

Сульфоцианирование повышает износостойкость режущих инструментов, изготовленных из быстрорежущих или высокохромистых легированных сталей. Применяют для упрочнения инструментов и технологической оснастки, изготовленной из быстрорежущей стали всех марок, стали типа X12, X12M и др., для повышения стойкости и улучшения чистоты поверхности обрабатываемых деталей. Выполняют в твердых смесях, в расплавах солей, в смесях газов. Составы для жидкостного сульфоцианирования в расплавах солей приведены в табл. 44. Поскольку тиосульфат натрия более активный осернитель, чем сернистый натрий, то предпочтительно использование ванны

	Содержание, %											
Состав	NaCN	(NH ₂) ₂ CO	K4Fe(CN),	Na ₂ S ₂ O ₃	Na ₂ SO ₃	Na ₂ SO ₄	(NH ₄) ₂ SO ₄	K ₂ S-Na ₂ S	K2CO3	KCI	NaOH	Na ₂ CO ₃
1 2 3 4 5 6 7 8	5 95 95 95 34	54 — 55 — —	75 	5 12 - 5 -	- 3 - 5 - 7			2	44 — 37 — — 16	20 — — — —	— 13 — — — 27	

44. Составы ванн для сульфоцианирования

следующих составов (%): 36 карбамида мочевины; 24 поташа; 30 желтой кровяной соли; 10 тиосульфата натрия; или 20 калия хлористого, 25 натрия сернокислого; 5 тиосульфата натрия и 50 натрия цианистого; либо 95 натрия цианистого и 5 тиосульфата натрия. Применительно к первому из составов реакция мочевины с поташем приводит к образованию неядовитой модификации цианистого калия

$$2(NH_2)_2CO + K_2CO_3 = 2KCNO + 2NH_3 + CO_2 + H_2O.$$

Тиосульфат натрия, реагируя с цианатом калия, образует роданистый калий (KCNS), являющийся основным осернителем. Цианат калия, диссоциируя, обравует соединения, которые, разлагаясь, выделяют азот и углерод, диффундирующие в сталь:

$$4KCNS = K_2CO_3 + CO + 2N + 2KCN + 4S.$$

Атомарный углерод выделяется из СО

$$2CO \rightarrow CO_2 + C_{a_{TOM}}$$

и вместе со свободным азотом насыщает поверхность, образуя карбонитридный слой.

Процесс ведут в тигельных печах-ваннах. Перед загрузкой детали очищают и обезжиривают, промывая в растворе щелочи, затем в теплой воде. После подсушки их подогревают до 150—350 °С и затем с помощью приспособлений погружают в ванну. Рабочая температура

4 5.	Продолжительность	выдержки	инструментов
при	сульфецианировани	И	

Инструмент	Диаметр инструмента, мм	Выдерж мин	Инструмент	Диаметр инструмента, мм	Выдержка, мин
Сверла	Ст 10 до 15 Св. 15 » 20 » 20 » 30	12 15 18	Резцы: зубостро- гальные		10—12
D	30 и более	20	проходные,		15—20
Развертки и зенкеры	От 10 до 15 Св. 15 » 20	12 15	канавоч- ные		
	» 20 » 30 30 и более	18 20	фасонные и танген-		12—20
Метчики	Ст 10 до 12 Св. 12 » 20	5 8	циальные Резьбо-	От 25 до 30	10
	20 и более	10	нарез ные	Св. 30 » 50	12
Накатные плашки		От 5 до 7	несборны е фрезы	50 и более	15
Долбяки		10	ФРЕЗЫ		

ванны 550—570 °C, время выдержки при сульфоцианировании конструкционных сталей 2,5—3 ч. Время сульфоцианирования инструментов приведено в табл. 45.
По окончании процесса детали извлекают из ванны

По окончании процесса детали извлекают из ванны и выдерживают над ней до полного стекания раствора солей. Охлаждение деталей на воздухе при температуре до 100—150 °С. Затем детали промывают 10—15 мин в горячей воде, переносят в масло с температурой ванны 100—125 °С и выдерживают 10—15 мин. В результате такой обработки повышается коррозионная стойкость сульфоцианированной поверхности. Качество процесса контролируют по образцам-свидетелям, обработанным совместно с деталями. Контролируют состав ванны. Содержание серы должно быть в пределах 0,2—2,0 % (по массе). Для восполнения серы следует перед загрузкой очередной партии деталей вводить в ванну соли (например, гипосульфит Na₂SO₃) в количестве 10—20 % от массы первоначальной загрузки. Сульфоцианированные детали имеют равномерный темно-серый цвет.

Алитирование. Диффузионное насыщение металла, преимущественно стали, атомарным алюминием. Сталь-

46. Режимы алитирования стали

Метод алитирова- ния	Насыщающая среда	Темпера- тура, °С	Продол- житель- ность, ч	Глубина слоя, мм	Примечание
В порошко- образных смесях	а) 49,5 % порошка алюминия + 49,5 % окиси алюминия + 1,0 % хлористого аммония б) 99 % ферроалюминия + 1 % хлористого аммония в) 48 % ферроалюминия + 48 % кварцевого песка + 4 % хлористого аммония г) 25 % алюминия + 74 % окиси алюминия + 1 % хлористого аммония д) 50 % ферроалюминия + 49 % окиси алюминия + 1 % хлористого аммония е) 74 % ферроалюминия + 25 % окиси алюминия + 1 % хлористого аммония	950—1050	6—12 *	0,25—0,6	Алитирование проводят в железных или нихромовых ящиках. Упаковка ведется так же, как при цементации, в твердом карбкризаторе. Смесь употребляют многократно с добавкой 10—15 % свежей смеси

Метод алитирова- ния	Насыщающая среда	Темпера- тура, °С	Продол- житель- ность, ч	Глубина слоя, мм	Примечание
В ваннах с расплав- ленным алюминием	Расплавленный алюминий + 8— 12 % железа (во избежание растворения металла изделий)	720—750	0,25—1,0	0,1—0,3	На поверхности распла ва рекомендуется создавать слой флюса для очистки деталей, удаления налипшего металла и уменьшения разъедания поверхности деталей
Металлизация с по- следующим отжигом	На поверхность изделия напыляют слой алюминия толщиной 0,7—1,2 мм, на который наносится обмазка (50% серебристого графита, 20% огнеупорной глины, 20% кварцевого песка, 10% жидкого стекла	900—950	2—4	0,2—0,4	Толщина обмазки 0,8— 1,5 мм. Обмазка просу шивается при 80—100°C

^{*} Для снижения содержания алюминия в слое и уменьшения его хрупкости алитированные изделия отжи гают при 900—1050 $^{\circ}$ С в течение 4—5 ч. Глубина слоя при этом возрастает на 20—40 %.

ные алитированные изделия отличаются высокой окалиностойкостью, хорошей сопротивляемостью корровии, в том числе в морской воде и атмосфере, низкой износостойкостью. Твердость алитированного слоя достигает HV 500. Процесс выполняют в порошкообразных смесях, в расплавах или металлиза-

47. Составы флюсов для алитирования в расплаве

Компоненты	1 (держ %) д состав	ля
	1	11	111
Хлористый калий Поваренная соль Криолит Фторид алюминия Хлористый цинк	47 35 12 6	40 40 10 10	40 30 10 — 20

цией с последующим отжигом. Режимы алитирования приведены в табл. 46. Тигли для алитирования в расплавах изготовляют из шамота или магнезита. Для предотвращения растворения обрабатываемых деталей в расплавленном алюминии в состав ванны вводят 6—8 % стальной стружки. Недостатки способа алитирования в расплаве: низкая стойкость тиглей, налипание расплава на поверхность изделия, частичное растворение металла детали и загрязнение ванны. Процесс частично стабилизируется при введении флюсов в ванну с расплавом. Составы флюсов приведены в табл. 47.

Титаноалитирование. Диффузионное покрытие соединениями алюминия и титана поверхности изделий из стали и чугуна [а. с. 722996 (СССР)]. Предварительно на изделие равномерно наносят смесь из 85—90 % Al и 10—15 % Си толщиной до 0,1 мм с последующим отжигом в вакууме при 930—980 °С и выдержке 4—6 ч. Затем проводят титанирование с использованием металлизатора из губчатого титана, титановой стружки или порошка, с добавкой интенсификатора — хлористого или фтористого аммония, взятых в соотношении 100 (0,5—2).

Режим титанирования: разогрев реактора до температуры 860—870 °С, выдержка 0,5 ч, повышение температуры до 950—1000 °С, выдержка 2—3 ч. Вакуум в реакторе 1,3 Па.

Выдержка при 860—870 °C при титанировании способствует образованию эвтектики ${\rm Ti}_2{\rm Cu}_3$, в результате чего происходит заполнение пор в диффузионном покрытии.

Пример. Изделие из серого чугуна СЧ21 очищают и обезжиривают. На поверхность электрометаллизатором ЭМ-10-66 наносят слой алюминия и меди толщиной 0,1 мм.

ЭМ-10-66 наносят слой алюминия и меди толщиной 0,1 мм. Отжиг осуществляют в предварительно вакуумированисй (1,3 Па) герметичной реторте при 950 °C в течение 4 ч. При титанировании используют губчатый титан фракции 12—6 мм с фтористым аммонием, в соотношении 100 1. Режим титанирования: реактор разогревают до температуры 860 °C с изотермической выдержкой 30 мин, затем повышают температуру до 1000 °C с последующей изотермической выдержкой 4 ч. Разрежение в реакторе 1,3 Па. Образуется плотное диффузионно-титановое покрытие толщиной до 1,8 мм. Диффузионный слой прочно связан с основным металлом. Концентрация титана на поверхности изделия составляет 86—96 %.

поверхности изделия составляет 86—96 %.

Силицирование. Диффузионное насыщение поверхностного слоя стали кремнием. Силицированный слой обладает повышенной стойкостью против коррозии в морской воде и кислотах, а также повышенной износостойкостью при сравнительно низкой твердости (HV 200—250). Выполняют в порошкообразных смесях, жидких или газовых средах. Режимы силицирования приведены в табл. 48.

Для силицирования в порошкообразных смесях детали упаковывают в металлические ящики, заполненные рабо-

48. Режимы силицирования стали

Насыщающая среда	Температу- ра, °С	Продолжи- тельность, ч	Глубина слоя, мм	Примечание
Силициров				х смесях
75% ферросилиция + + 20 % шамота (или окиси алюминия) + + 5 % хлористого аммония	1100— 1200	6-12	0,150,8	_
Газо	вое сили	цирован	ие	
Газовая фаза, образующаяся при введении хлора в среду, загруженную изделиями и ферросилицием (или карбидом кремния)	950— 1050	2—5	0,4—0,8	Процесс ведут в му- фельных печах. Ко- личество карбида кремния или ферро- силиция — 1/10 мас- сы деталей

чей смесью, и помещают в печь, нагретую до 950—1100 °C. Продолжительность выдержки для получения силицированного слоя заданной глубины зависит от температуры процесса и размеров ящика. Ориентировочно можно считать, что для ящиков средних размеров при температуре 1100 °C за 6 ч глубина слоя достигает 0,15 мм. Силицирование в жидкой среде выполняется в расплаве солей удористого бария и удористого натрия (1 1) и форре хлористого бария и хлористого натрия (1 1) и ферросилиция (20 % от общей массы солей). В таком расплаве при 1000 °C на низкоуглеродистой стали за 2 ч создается силицированный слой глубиной до 0,35 мм. Процесс осусилицированный слой глубиной до 0,35 мм. Процесс осуществляется в электродных печах-ваннах. Силицирование в газовых средах проводят в хлоре, смеси хлора и водорода, азота и водорода. Источником атомарного кремния служат ферросилиций, карбид кремния (SiC), тетрахлорид кремния (SiCl₄) и моносилан (SiH₄). Наиболее часто газовое силицирование проводят в среде хлора или смеси хлора и водорода в печи с вращающейся ретортой. В реторту загружают обрабатываемые детали, карбид кремния или ферросилиций. Количество карбида кремния (или ферросилиция) составляет 10 % от массы загруженных деталей. Температура процесса 950—1050 °C. После нагрева до рабочей температуры в реторту подается газ, например, хлор. При введении хлор взаимодействует с кремнием, образуя хлорид кремния (SiCl₂), а затем атомарный кремний марный кремний

 $SiCl_2 + Fe = FeCl_2 + Si_{atom}; 2SiCl_2 \rightarrow SiCl_4 + Si_{atom}.$

Количество хлора, подаваемого в реторту, влияет на качество обрабатываемых изделий. Избыток хлора приводит к разъеданию поверхности деталей и к возникновению реакций, понижающих давление в рабочем пространстве печи. При нормальном ходе процесса давление в реторте равно 100—500 Па. Ориентировочно можно считать, что на 1 м² поверхности обрабатываемых деталей в рабочем пространстве печи должно быть 10—20 л хлора.

ОБРАБОТКА ИНСТРУМЕНТА ИЗ БЫСТРОРЕЖУЩЕЙ СТАЛИ В АТМОСФЕРЕ ПАРА

Окончательно изготовленный инструмент подвергают обработке в атмосфере пара по следующей технологической схеме: обезжиривание в течение 10—15 мин при 70 °C

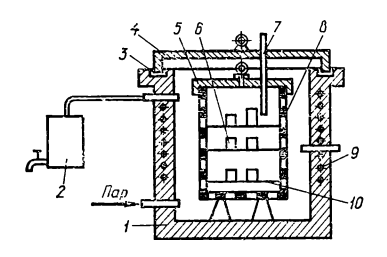


Рис. 13. Схема установки для обработки деталей в атмосфере пара: 1 — электропечь; 2 — водяной конденсатор; 3 — песочный затвор! 4 — крышка печи; 5 — крышка сварного муфеля; 6 — детали; 7 и 9 — термопары; 8 — сварной муфель с отверстиями; 10 — сетка

в ванне следующего состава (кг/л воды): углекислая сода Na_2CO_3 0,02—0,04, каусти-

ческая сода NaOH 0,02-0,004; тринатрийфосфат Na₃PO₄ 0,02—0,04; промывка в горячей воде; подогрев до 340— 380 °C в герметичной камере электропечи с выдержкой 15—30 мин; продувка камеры паром в течение 20— 30 мин для полного удаления воздуха; подогрев до температуры 540-560 °С в электропечи с выдержкой 30-40 мин; охлаждение на воздухе до 50-70 °С; обработка в масле при 50-70 °С с выдержкой 5-10 мин. В результате обработки паром на поверхности окончательно изготовленного инструмента образуется черная с синим оттенком пористая оксидная пленка толщиной до 0,006 мм. Она хорошо удерживает охлаждающие и смазывающие жидкости и затрудняет налипание стружки на режущие грани. В производственных условиях для обработки инструмента паром можно использовать шахтную электропечь, оборудованную сварным муфелем и змеевиком (рис. 13). При обработке паром инструмент в зависимости от конфигурации укладывают на сетки или подвешивают. В результате отпуска, проводимого в процессе обработки инструмента паром, снижаются напряжения, образующиеся при шлифовании. Стойкость инструмента, обработанного паром, возрастает в среднем в 1,5 раза; значительно повышается его коррозионная стойкость.

ИНТЕНСИФИКАЦИЯ ПРОЦЕССОВ ДИФФУЗИОННОГО НАСЫЩЕНИЯ

Увеличить толщину карбидных покрытий, снизить температуру и время их формирования можно следующим способом [а. с. 578363 (СССР)]. На упрочняемую поверхность изделия наносят химическим путем никель-фосфорное или кобальтофосфорное покрытие. Затем проводят нагрев обрабатываемых изделий при 800—1000 °С в тече-

49.	Характеристика	насыщения	стали 45
СП	редварительным	химическим	покрытием

	Режим обр	Толщина	
Предварительная обработка	Темпера- тура, °С	Время, ч	слоя, мкм
Нанесение никель-фосфорного покрытия Нанесение кобальтофосфорного покрытия	800 950 950 800 950	6 6 0,5 6 0,5	30—35 70—80 25—30 25—30 20—25

ние 1—6 ч в порошковых насыщающих средах. Способ позволяет получить карбидные слои толщиной до 70—80 мкм. Например, при предварительном нанесении никель-фосфорного или кобальтофосфорного покрытия и последующем диффузионном насыщении стали 45 в смеси состава (%): Al₂O₃ 38; Al 12; Cr₂O₃ 48; NH₄Cl 2 (хромо-алитирование) скорость насыщения и толщина слоя в зависимости от температуры насыщения изменяются в соответствии с данными, приведенными в табл. 49.

Скорость диффузионного насыщения карбидами, нитридами, боридами и иными сложными соединениями можно увеличить активным перемешиванием насыщающей среды с помощью ультразвука, пульсирующих потоков инертных газов или газов, содержащих активные вещества.

щества.

щества.
В соответствии с пат. 2416272 (Франция) (метод диффузионной поверхностной обработки металлических деталей в ванне расплавленных солей) в ванну расплавленных солей погружается полностью или частично обрабатываемая металлическая деталь. Через перфорированные трубы или пористую керамику со дна ванны подается смесь горячих газов (образующих в жидкой соли мелкие пузырьки), активизирующая процесс диффузионного насыщения поверхностного слоя детали. В зависимости от вида химико-термической обработки (ХТО) — цементации, азотирования, сульфидирования или борирования — в состав активирующих газов могут входить окись углерода, метан, пропан и другие

углеводороды; азот или преимущественно аммиак, а также смесь аммиака с углеводородами; сероводород или хлористая сера; треххлористый бор. В качестве газов-носителей

стая сера; треххлористый бор. В качестве газов-носителей в смесях могут быть использованы инертные или активные газы — азот, аргон, водород или гелий. Из примеров, приведенных в описании к патенту, следует, что метод обеспечивает получение за 2 ч обработки толщину цементованного слоя 0,8 мм, нитроцементованного — 0,6—0,7 мм твердостью HV 700, борированного — 20—40 мкм твердостью HV 1500. Метод ускоряет процесс XTO и повышает стабильность качества упрочненного слоя деталей. Для интенсификации процесса диффузионного насыщения, получения равномерного покрытия при парогазовом насыщении металлических изделий и уменьшения расхода насыщающих веществ на парогазовую смесь дополнительно воздействуют ультразвуковыми колебаниями резонансной частоты, подаваемыми на экран, который предварительно вводят в застойную зону контейнера [а. с. 588259 (СССР)]. Наличие «озвученного» экрана интенсифицирует движение активной парогазовой смеси и соответственно ее взаимодействие с поверхностью детали. детали.

детали.

Пример. Для получения равномерного покрытия на деталях из стали 45 сложной геометрической формы экран помещают в застойной зоне негерметичного контейнера. Над деталью устанавливают пластинчатый экран. С помощью трансформатора скорости ультразвуковые волны направляют на экран и вызывают его колебания. Контейнер помещают в предварительно разогретую до 1000 °С печь. Процесс диффузионного насыщения проходит в течение 3 ч. Рентгенографические и спектральные исследования показывают равномерное (13—14 %) распределение насыщающего элемента по всей поверхности летали. Металлографические исследования определяют

деление насыщающего элемента по всей поверхности детали. Металлографические исследования определяют равномерный диффузионный слой (420—360 мкм) с однородностью (34—37 %) по всей поверхности детали.

Обработка по предлагаемому методу позволяет без существенных затрат повысить равномерность покрытий при химико-термической обработке деталей и использовать преимущество парогазового насыщения (высокая чистота обработываемой поверхности, неизменность размеров деталей) для обработки крупногабаритных деталей

в контейнерах с большими градиентами активной смеси. Эффект складывается из экономии ресурсов при диффузионной обработке деталей и возможной экономии от замены дорогостоящих сплавов, расходуемых для изготовления этих деталей, за вычетом расходов на генерирование

ультразвуковых колебаний. Сокращение времени обработки и повышение стабильности свойств при диффузионном насыщении металла ности свойств при диффузионном насыщении металла достигается переменным пульсирующим давлением, создаваемым струей насыщающего газа, нагретого до температуры обработки и подаваемого с частотой, пропорциональной отношению температуропроводности материала в глубине насыщаемого слоя [а. с. 815078 (СССР)].

Это обеспечивает максимальный контакт и высокую скорость реакции при взаимодействии насыщающего элемента с поверхностным слоем изделия. При этом происходит ускорение диффузионных процессов в поверхностном слое за счет термоциклирования и приложения переменного пульсирующего давления насышенного

переменного пульсирующего давления насыщенного газа.

УПРОЧНЕНИЕ ФИЗИЧЕСКИМИ И ФИЗИКО-ХИМИЧЕСКИМИ МЕТОДАМИ

УПРОЧНЕНИЕ МЕТОДАМИ ЭЛЕКТРОЛИТИЧЕСКОГО ОСАЖДЕНИЯ И РАСТВОРЕНИЯ

Хромирование. Твердое износостойкое хромирование применяют для повышения износостойкости и восстановления деталей машин, контрольного, измерительного и режущего инструмента, а также формообразующих элементов штампов и пресс-форм, дыропробивных пуансонов и матриц. Типовой технологический процесс хромирования выполняют по схеме: электрохимическое анодное либо химическое обезжиривание; промывка в теплой воде, промывка в холодной воде; декапирование; промывка воде; анодная обработка; хромирование: холодной улавливание хрома из электролита; обработка в растворе метабисульфита натрия; промывка в холодной воде, сушка; обезводороживание (по мере надобности). Хромируемую поверхность предварительно шлифуют полируют.

Электрохимическое обезжиривание проводят под воздействием постоянного тока в щелочных растворах следующего состава (кг/л воды): едкий натр 0,025—0,035; сода кальцинированная 0,025—0,035; тринатрийфосфат 0,010—0,020; жидкое стекло 0,003—0,005. Аноды изготовляют из никелированной стали, обычной стали или никеля. Процесс электрохимического обезжиривания следует вести при температуре 80—90 °С, плотности тока 500—1000 А/м² и напряжения источника тока 12 В. Продолжительность обработки на катоде составляет 1,5—3 мин, на аноде 0,5—1 мин. При обработке в барабанах напряжение источника тока устанавливают 16 В; продолжительность обработки на катоде в этом случае составляет примерно 5 мин. Составы растворов для химического обезжиривания и режимы обработки приведены в табл. 1.

Промывку в воде проводят для удаления с деталей продуктов реакции или растворов, оставшихся на поверх-

1.	Составы	растворов	для	химического	обезжиривания
И	режимы о	обработки			

	Состав раствора, кг/л воды								
Состав	Едкий натр	Сода кальци- нирован- ная	Тринатриі фосфат		Эмульгатор ОП-7 или ОП-10		Сульфо- нол		
1 2 3	0,01—0,02 0,004—0,06 —	 0,05	0,01—0,0	2 0,002—0, 0,002—0, —		0,002—0,004 0,002—0,004 —			
	Режим обработки								
Состав	Температур °С	Температура, Прод °C нос			Давление, МПа		Способ обработки		
1 2 3	60—70 60—70 70—95	[1—3 5—10 5—15	0,2—0,3 — —		Струйный Погружением То же			

ности после электрохимического обезжиривания, декапирования и обработки хромированных деталей в растворе метабисульфита натрия. При повышенном количестве солей жесткости в водопроводной воде (свыше $15 \cdot 10^{-6}$ кг/л) последнюю промывку перед хромированием и перед сушкой следует проводить в конденсате или деминерализованной воде. Детали промывают водяным душем или путем погружения в ванну, оборудованную устройством для перемешивания деталей с помощью воздуха. Допускается применение обоих способов: сначала промывка погружением, затем под душем. При двукратной промывке погружением после декапирования подачу воды следует осуществлять каскадно (противотоком), чистую воду подавать только во вторую промывную ванну, откуда она самотеком перетекает в первую. Спуск воды в канализацию следует производить из первой ванны. Режимы промывки приведены в табл. 2.

Химическое декапирование осуществляют для удаления с поверхности обрабатываемых изделий тонкой пленки окислов. Режимы декапирования указаны в табл. 3. Период между химическим декапированием и хромированием должен быть минимальным.

2. Режимы промывки в воде

	Режим промывки			
Вода	Темпера- тура, °С	Продолжитель- ность, мин		
Холодная (водопроводная питьевая или деминерализованная)	10—25	0,15—3		
Теплая (водопроводная питьевая, кон-	50—60	0,15—3		
денсат или деминерализованная) Горячая (водопроводная питьевая, кон- денсат или деминерализованная)	80—90	0,15—3		

3. Режимы химического декапирования

Содержание кислоты,	Режим обработки				
кг/л воды	Температура, °С	Продолжительность, мин			
0,4—0,6 H ₂ SO ₄ 0,09—0,11 HCl	18—25	0,25—3 0,25—0,5			

Твердое износостойкое хромирование следует проводить в стандартном универсальном разведенном электролите различной концентрации либо в саморегулирующемся. Составы электролитов и режимы обработки приведены в табл. 4.

Скорость хромирования (выход хрома по току) можно ускорить [а. с. 264094 (СССР)]. При хромировании в протоке стандартных электролитов хромирования (например, в обычном сульфатном, тетрахроматном и др.) скорость протока электролита поддерживают в пределах 1—50 м/с при плотности тока 200—2000 А/дм² и соотношении между этими величинами от 1 200 до 1:40. При этом выход хрома по току составляет 45—60 %, и более чем в 10 раз возрастает скорость осаждения хромового покрытия. Полученные по описанному способу осадки хрома имеют высокое качество и твердость HV 1050—1150. Перед хромированием изделия необходимо прогревать

Перед хромированием изделия необходимо прогревать непосредственно в ванне для хромирования, а затем анодно декапировать в течение 0,5-1 мин при плотности тока $3500-4000~\mathrm{A/m^2}$. При хромировании изделий сложной формы следует на 1-2 мин увеличивать плотность тока в 2 раза.

191

			·	Coc	гав электро	олита, кг/л			
Электролит	CrO	3		H ₂ SO ₄	K ₂ SiF ₆	SrSO ₄	H ₃ BO ₃	Na ₂ SiF ₆	
Разведенный » Универсальный » Саморегулирующийся То же	0,125—0 0,120—0 0,200—0 0,200—0 0,300—0 0,250—0	0,150 0,300 0,250 0,350 0,300 0,300	$ \begin{array}{c ccccc} (1,00-1,50) \cdot 10^{-3} \\ (2,00-3,00) \cdot 10^{-3} \\ (2,5-2,5) \cdot 10^{-3} \end{array} $		0,008 0,018— 0,020 0,020	$ \begin{array}{cccccccccccccccccccccccccccccccccccc$	(20—25)· 10 ⁻³ ————————————————————————————————————	(6-8)·10-3	
Электролит	Режим Темпе- ратура, °С		тки ность 2 A /м ²	Скорость осаждения хрома, мкм/мин	Материал аподов				
Разведенный Универсальный	45—60 45—55 45—55	3000-	-6000 -4000 -5500	0,6 — 0,2—0,7	Сплав свинец—сурьма (Sb до 8 %) или свинец—оло (Sn до 10 %) Свинец (для внутренних фигурных анодов), сталь (для внутрешних анодов при хромировании узких отверсти Сплав свинец—сурьма (Sb до 8 %) или свинец—оло				
» »		-	-	_	(Sn до 10 %), свинец (для внутренних фигурных анодов), сталь (для внутренних анодов при хромировании узких отверстий)				
Саморегулирую- шийся То же »	55—60 50—60 55—65	5000- 5000- 4000-		1,0 	пип узких отверстии) Сплав свинец—олово (Sn до 10 %) Свинсц (для внутренних анодов, То же				

Способ сушки	Температура, °С	Продолжитель- ность, мин
Обдувка сжатым воздухом	18—25	0,5—3
В сушильном шкафу	85—100	5—10

5. Рекомендуемые режимы сушки хромированных деталей

Толщина наносимого покрытия для гладких мерительных инструментов составляет 30—100 мкм, для резьбовых калибров 2—20 мкм, для пресс-форм, матриц и пуансонов 40—100 мкм. Износостойкость режущего инструмента в результате хромирования увеличивается в 2—3 раза, контрольно-измерительного инструмента в 5—10 раз. Микротвердость осаждаемого хрома находится в пределах 900—1000.

После хромирования обязательно производят улавливание хрома из электролита путем промывки деталей в ванне с непроточной водой без подогрева в течение 0,15—3 мин. Получающиеся относительно концентрированные растворы постепенно добавляют в ванну хромирования. При накоплении в растворе свыше 0,001 кг/л воды трехвалентного хрома раствор меняют. Водопроводную воду, имеющую жесткость свыше 15·10-6 кг/л воды, для улавливания электролита использовать нельзя; вместо нее можно применять конденсат или деминерализованную воду. Хромированные детали после промывки в ванне для улавливания электролита следует обработать в течение 0,15—1 мин в 15 %-ном растворе метабисульфита (пиросульфита) натрия, который восстанавливает оставшийся на поверхности деталей шестивалентный хром до трехвалентного, в результате чего предотвращается попадание шестивалентного хрома в сточные воды. Для удаления с деталей влаги, которая остается на их поверхности после промывки в воде, проводят сушку. Способы сушки и режимы указаны в табл. 5.

Детали технологической оснастки из легированных сталей подвергают термической обработке для снятия напряжений, возникающих в результате наводороживания. Процесс ведут при температуре 180—200 °С в течение 1,5 ч преимущественно в масляной ванне.

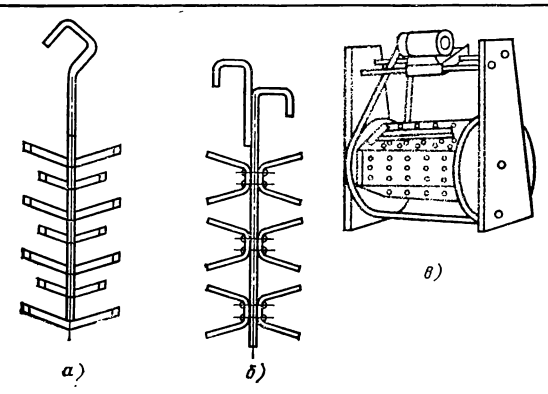


Рис. 1. Контактные приспособления для загрузки деталей в ванну: a — подвеска штыревая; b — подвеска пружинная; b — переносный винипластовый барабан с электроприводом

Хромирование проводят в стационарных стальных ваннах, футерованных листовым винипластом. Обрабатываемые изделия служат катодом. В качестве источников тока применяют низковольтные генераторы постоянного тока, вырабатывающие ток напряжением $^{6}/_{12}$ или 9 В и силой 250—10 000 А. Для питания ванн применяют также селеновые выпрямители, состоящие из понижающего трансформатора и набора селеновых выпрямительных шайб.

Для загрузки изделий в ванну следует применять специальные контактные приспособления (рис. 1). При конструировании и изготовлении подвесок необходимо учитывать следующие основные требования: материал подвесок (электролитическая медь) должен иметь такое сечение, при котором обеспечивается подвод тока соответствующей силы; подвеска должна иметь хороший контакт с покрываемыми деталями и катодной штангой ванны; детали в подвесках должны быть расположены так, чтобы они не экранировали одна другую, а образовавшиеся газы легко удалялись с поверхности деталей, не создавая «газовых мешков»; для устранения возможности покрытия подвески осаждаемым металлом она должна быть покрыта изоляционным материалом, за исключением мест контакта; конструкция подвески должна способствовать рациональному использованию объема ванны; и демонтаж деталей с подвесок должен выполняться затруднений.

⁷ Полевой С. Н. и др.

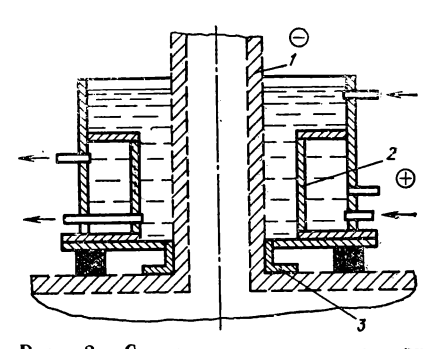


Рис. 2. Схема монтажа анода при хромировании шейки вала:

1 — хромируемая часть вала; 2 — полый цилиндрический анод; 3 — прокладки

В производственных условиях возникает необходимость в местном хромировании безванным способом крупногабаритных деталей (валов, цилиндров, штоков и др.). Способ позволяет исправлять дефекты на хромовом покрытии (сколы, риски, участки) непокрытые без его полного снятия и повторного нанесения, также восстанавли-

вать изношенные поверхности до первоначальных размеров. Для выполнения местного хромирования изготовляют цилиндрический анод из стали X18H10T, который монтируют на вал, подлежащий хромированию. Изоляцию анода от детали выполняют винипластовыми прокладками (рис. 2). В полость, образованную анодом, поверхностью вала и специальным поддоном, заливают электролит, предварительно уложив уплотнения из резины.

зины. Хромирование валов проводят в потоке электролита, который подают из небольшой стационарной емкости через верхний патрубок в полость с помощью кислотостойкого насоса. Слив электролита осуществляют через нижний патрубок. Во избежание перегрева электролита в процессе электролиза анод охлаждают подачей колодной воды противотоком в полость анода со скоростью 0,5 л/мин. При площади хромирования, например, равной 0,2 м², объем полости с охлаждающей водой 15 л, с электролитом 75 л. Перед хромированием рабочую поверхность механически обрабатывают до параметра шероховатости Ra 0,63. Перед нанесением покрытия поверхность обезжиривают бензином и кашицей из венской извести, промывают проточной водой. Устанавливают приспособление на вал, проверяют надежность изоляции между приспособлением и деталью с помощью омметра; вал и приспособление подключают к источнику тока. Окончательно обезжиривают место, подлежащее хромированию, протиркой сал-

феткой, смоченной спиртом, а затем сухой. Полость между приспособлением и поверхностью вала заполняют электролитом, циркулирующим без наложения постоянного тока. Одновременно нагревают вал до 50 °С подачей горячего воздуха в его внутреннюю полость. Температуру в процессе электролиза поддерживают охлаждением анода.

Перед хромированием проводят анодное декапирование в течение 30-40 с при плотности тока 80 А/дм², затем включают прямой ток (80 А/дм²) на 1-2 мин. Режим нанесения износостойкого хромирования: плотность тока 35-40 А/дм², температура электролита 46-53 °C. Продолжительность хромирования в стандартном электролите устанавливают из расчета осаждения хрома толщиной 1 мкм в течение 2,6 мин.

После хромирования получают гладкий, равномерный, хорошо сцепленный с основным металлом осадок хрома толщиной от 50 до 150 мкм. Для местного хромирования применяют стандартный электролит (250 г/л хромового ангидрита, 2,5 г/л серной кислоты) или электролит следующего состава (г/л): хромовый ангидрид 450—500; сернокислый кобальт 20—25; фтористый кальций 90—100, алюмокалиевые квасцы 8—10.

Хромовое покрытие, осажденное из электролита, беспористое, при толщине слоя 50 мкм имеет хорошую адгезию, легко полируется. Скорость осаждения хрома в электролите 60 мкм/ч. Микротвердость покрытия 537—559. Электролит устойчив в работе, не требует предварительной проработки, достаточно производителен, добавки недефицитны.

При контроле качества хромированных изделий следует проверять внешний вид, прочность сцепления с основным металлом и толщину покрытия. Твердость и износостойкость контролируют при наличии указаний на чертеже или карте технологического процесса изготовления инструмента. Контроль внешнего вида покрытия выполняют поштучно осмотром деталей невооруженным глазом, используя в отдельных случаях эталоны сравнения. На поверхности деталей не допускается наличие трещин, сколов, сквозных черновин, отслаиваний, дендритов. Допускаются разнотолщинность и разнотонность цвета покрытия на различных участках поверхности.

6. Составы электролитов и режимы никелирования

	Количество вещества,						
Электролит	Серно- кислый никель (никеле- вый купорос)	Серно- кислый натрий (десяти- водный)	Хло- ри- стый на- трий	Хлори- стый никель	Фто- ри- стый на- трий		
Сернокислый (типовой) То же, скоростной То же, блестящего никели-	175—200 420 200—400	80—160 150 —	20 5 5—15	 30 	<u>-</u> 5		
рования Борфтористоводородный Сульфаминовый	_	=	_		_		

Контроль толщины хромовых покрытий следует проводить приборами, не разрушающими покрытия, в местах, наиболее затрудненных для прохождения тока и осаждения на них металла: на центральных участках плоскостей, вогнутых поверхностях, участках, близких к внутренним углам, и т. п. Толщина покрытия на указанных участках должна быть не менее предусмотренной стандартами или техническими требованиями чертежа. Изделия с толщиной покрытия, меньшей допустимой, отправляют на повторное хромирование.

Никелирование. Типовой технологический процесс никелирования состоит из таких операций: обезжиривание в органическом растворителе; сушка или обезжиривание химическое; промывка в теплой воде; обезжиривание электрохимическое; промывка в теплой воде; промывка в холодной воде; декапирование; промывка в холодной воде; никелирование электрохимическое; улавливание, промывка в холодной воде; промывка в горячей воде; сушка; контроль. Никелируемую поверхность предварительно шлифуют или полируют.

Для снятия различных полировальных и шлифовальных паст, масел, смазочных материалов, находящихся на поверхности деталей, проводят обезжиривание в органических растворителях (бензине, уайт-спирите, керосине) путем последовательного погружения в одну — три емко-

г/л воды		Режим работы				
Натриевая соль (дисульфат натриевой кислоты)	Борфто- ристово- дородный никель	Сульфа- миново- кислый никель	Борная кислота	pН	Темпе- ратура, °С	Плот- ность тока, А/дм²
_ 2—4	=	_ _	20 50 30	5—5,5 2,0—3,5 5,8—6,3	18—25 50—60 45—55	0,5—1,0 До 10 1—3
<u>-</u> 2—3	300		30 25—30	2,7—3,5 3,5	25—50 25—30	5—10 10—15

сти, под душем или протиркой волосяными щетками либо ватным тампоном. После обезжиривания в бензине рекомендуется сушка на воздухе, а после обработки уайтспиритом — промывка в горячей воде. Для износостойкого никелирования применяют сульфатные электролиты. Составы электролитов и режимы обработки приведены в табл. 6.

Составы электролитов для матового и блестящего никелирования даны в табл. 7, 8. При приготовлении электролита каждый из его компонентов предварительно растворяют в воде, переливают растворы в рабочую ванну и доливают ее водой, затем определяют рН и доводят его до заданного значения, добавляя серную кислоту и углекислый никель. Микротвердость осаждаемого никеля составляет 250—300.

Для повышения износостойкости рабочей поверхности штампов и обеспечения ее постоянной смазки применяют покрытие электролитическим осаждением твердого пористого слоя сплава никеля с кобальтом, с последующими операциями расширения пор и пропитки политетрафторэтиленом. Покрытие имеет твердость HV 750, коэффициент трения 0,05. Оно увеличивает срок службы штампов и пресс-форм, защищает поверхность от повреждений и заеданий, устойчиво к кислотам и щелочам, эффективно для штампов горячей и холодной штамповки.

7. Составы электролитов матового никелирования

	Количество вещества, г/л воды								
Состав	Никель сер- нокислый	Магний сер- нокислый	Натрий сер- нокислый	Магний хлористый	Натрий хлористый	Аммоний хлористый	Кислота борная	рН	
1 2 3 4 5	175—200 130—150 120—240 65—70 140—160			_ _ _ 20	20—25 10—15 20—25 — 10—20	 3235 	25—30 25—30 20—30 До 10 20—30	5,4—5,8 5,2—5,6 4,5—5,5 — 4,2—4,6	

8. Составы электролитоз блестящего никелирования

		Количество вещества, г/л воды					
Со- став	Никель сернокислый		дису. л	(ислота пьфонафта- иновая -2,7 г/см³)	Натрий хлористый		Кислота борная
1 2 3	200—250 250—300 250—300			1—2 20—25 1—5 10—15 — 10—15			25—30 30—40 30—40
Co-		Кол	Соличество вещества, г/л воды				
став	Натрий серно- кислый	Қал (натр фторис	ий-	й- Прочне			pН
1 2 3	50 <u>—</u> 60 —			1—2 формалин (40 %) 2 — паратолуолсульфамид; 0,5—1,0 кумарин; препарат «Прогресс» (0,1—0,5)			5,5—5,8 — 4,5—5,5

Пресс-формы и литейные формы (например, из стали $4X4BM\Phi C$) для литья деталей из алюминиевых сплавов (например, AЛ-2) под давлением рационально упрочнять осаждением 9-12 мкм сплава никель — вольфрам. Отмечается повышение износостойкости поверхности цилин-

дров двигателей и поршневых колец гальваническим нанесением слоя композиционного покрытия, состоящего нанесением слоя композиционного покрытия, состоящего из никелевой матрицы, содержащей мелкодисперсные частицы карбида кремния. Покрытие имеет твердость около HV 550 и толщину 30—70 мкм. В электролит вводится в виде суспензии от 2,5 до 5 % мелкодисперсных (менее 4 мкм) частиц карбида кремния (твердость около HV 2500). Процессы ведут при катодной плотности тока 5 $A/\text{дм}^2$, температуре электролита 60 °C; материал анодов — никель $H\Pi A1$. Составы электролитов для комплексного никелирования приведены в табл. 9. Многократное повышение термической стойкости формообразующих элементов пресс-форм при нанесении вольфрамоникелевого покрытия обусловлено аморфной структурой покрытия. Благодаря этому в поверхностном слое по границам зерен не происходит выделения хрупких интерметаллических соедикодит выделения хрупких интерметаллических соеди-нений железа с алюминием, которые являются источником образования разгарных трещин. Не возникает взаимодей-ствия покрытия с содержащимся в смазочных материалах углеродом с образованием хрупких углеродсодержащих соединений, так как никель (металл-растворитель) не является карбидообразующим элементом. Высокие твердость и пластичность вольфрамоникелевого покрытия пресс-форм при литье под давлением деталей из алюминиевых сплавов обеспечивают надежную защиту формо-образующих элементов от механического изнашивания, образования сетки разгара и термических трещин. После никелирования следует производить улавли-

После никелирования следует производить улавливание никеля из электролита и его обезвреживание. Затем детали сушат. Режимы и способы выполнения этих операций, а также составы ванн для их выполнения аналогичны применяемым при хромировании. Контроль качества никелевых покрытий проводят по следующим основным показателям: внешний вид, толщина покрытия, отсутствие пор и прочность сцепления с основным металлом. Методы контроля аналогичны используемым при

хромировании.

Бесцианистые электролиты. Позволяют осуществить электрохимические процессы без применения токсичных веществ. Ниже приведены составы некоторых бесцианистых электролитов и режимы процессов электролитической упрочняющей обработки.

	i	1		
	Состав	Количество		
Назначение электролита		Никель борфто- ристый	Кислота борная	Никель серно- кислый
Борфтористоводородное нике- лирование	1 2	300 110	30 30	_
Осаждение сплава никель—кобальт	1 2 3	_ _ _	20—25 25—30 25	140—160 140
Осаждение сплава никель— вольфрам	4 1 2		30 — —	200 20 15

9. Составы электролитов комплексного никелирования

Аммиакатно-уротропиновый электролит цианирования. Состав электролита (г/л): окись цинка 40—60; хлористый аммоний 240—260; уротропин 40—60; мездровый клей 2—4; водный аммиак 100—120.

Режим работы: температура 20 ± 5 °C, катодная плотность тока 1-2 А/дм², pH 8.0-8.4.

Скорость осаждения при плотности тока 1 А/дм²: 1 мкм за 3,5 мин.

Электролит обеспечивает большую рассеивающую способность, чем распространенные в промышленности хлораммиакатные электролиты, достаточно высокую плотность тока $(1-2\ A/дм^2)$ и выход по току $95-98\ \%$, прост в приготовлении, стабилен в работе.

Сульфатно-аммониевый электролит кадмирования. Состав электролита (г/л): сернокислый кадмий 40—60; сернокислый аммоний 240—260; диспергатор НФ-Б 50—100 мл/л, уротропин 15—20, вещество ОП-10 0,7—1,2.

Режим работы: катодная плотность тока 0.8-1.2 А/дм², температура 20 ± 5 °C, pH 4—6. Скорость осаждения при плотности тока 0.8 А/дм² 1 мкм за 3 мин. Катодный и анодный выходы металла по току составляют примерно 100 %. Покрытия, полученные из данного электролита, мелкозернистые, плотные, с высокой коррозионной стойкостью. Диспергатор НФ-Б

вещества, г	/л			
Қобальт серно- кислый	Калий жлори- стый	Натрий вольфра- мовокис- лый	Прочие	pН
110—120 100—108 100 19 —	10—15 13—15 ——————————————————————————————		— — — — — — — — — — — — — — — — — — —	2,7—3,5 2,3—3,5 4—5 4,8—5,2 — — 8 9

(ГОСТ 6848—79) представляет собой конденсат бетасульфокислоты нафталина с формальдегидом, нейтрализованный аммиачной водой.

Сульфатно-трилоновый (нитрилотриуксуснокислый) электролит кадмирования. Состав электролита (г/л): сульфат кадмия 40—50, трилон А 100—110, едкий калий 100-110. Режим работы: катодная плотность тока 1—4 А/дм², температура $50-55\,^{\circ}$ С, рН 11-11,5. Скорость осаждения при плотности тока $1\,^{\wedge}$ А/дм² — $21\,^{\wedge}$ мкм/ч. Загрузку деталей производят под током.

В растворах оптимальных составов и режимов электролиза в этих электролитах осаждаются высококачественные кадмиевые покрытия в широком интервале плотностей тока от 1 до 8 А/дм² с выходом по току, приближающимся к 100 %. По рассеивающей способности электролит не уступает цианистому.

Электролит пирофосфатного цинкования (г/л): сернокислый цинк, кристаллогидрат 60—70, пирофосфорнокислый калий, кристаллогидрат 350—380, фосфорнокислый аммоний двузамещенный 45—55, сульфониловая кислота 0,2—0,8, рН 8,5—9,5. Катодная плотность тока при температуре электролита 18—25 °C 1—2 А/дм², при температуре 35—40 °C 2—4 А/дм². Время осаждения 1 мкм цинка составляет 2,2 мин при плотности тока

 2 A/дм^2 , либо 1,1 мин при плотности тока 4 A/дм^2 , рН 8.5-9.5.

Этилендиаминовый электролит меднения. Состав электролита (г/л): сернокислая медь 100-125; этилендиамин (100%) 50-60; сернокислый натрий 50-60; сернокислый аммоний 50-60. Режим работы: температура 20 ± 5 °C, pH 8,2-8,5; катодная плотность тока 0,5-1,0 А/дм², отношение анодной поверхности к катодной 2:1. Выдержка до получения осадка толщиной 3-4 мкм. Доращивание необходимой толщины медного покрытия производится из сернокислого электролита. Для улучшения качества сцепления осадка с основой выполняется операция предварительного меднения в тартратном электролите состава (г/л): сернокислая медь 3-5, едкий натр 80-100, сегнетова соль 30-50. Режим работы: температура 20 ± 5 °C, катодная плотность тока 4-6 А/дм². Детали выдерживают в указанном составе без тока в течение 20-30 с, затем под током в течение 1-1,5 мин.

Рекомендуется также железистосинеродистый электролит меднения состава (г/л): сернокислая медь (в пересчете на металл) 15—30; железистосинеродистый калий 180—250; едкий калий 7—25; сегнетова соль 90—100. Режим работы: температура 55 ± 5 °C, катодная плотность тока 1,5—2,0 $A/\text{дм}^2$, отношение анодной поверхности к катодной 6:1. Скорость осаждения при плотности тока $2A/\text{дм}^2$ 1 мкм за 1,5 мин.

В последнее время при покрытии стальных деталей применяют покрытие «биникель», которое позволяет исключить подслой меди. Процесс никелирования по схеме «биникель» заключается в последовательном нанесении полублестящего и блестящего никелевого покрытий из растворов состава, I и II (г/л):

1. Сернокислый никель 250-350, борная кислота 30-40, хлористый натрий 10-20, 1,4-бутиндиол 0,08-0,12 мл/л, формалин 0,1 мл/л. Режим работы: температура 40 ± 5 °C, pH 5,1-5,4, катодная плотность тока 2-3 А/дм². Скорость осаждения при плотности тока 2 А/дм² 1 мкм за 2,5 мин.

II. Сернокислый никель 250—300, хлористый натрий 10—15, фтористый натрий 1—2, борная кислота 30—40, 1,4-бутиндиол 0,5—1,0 мл/л, формалин 0,03—

0,35 мл/л, хлорамин Б 1—2 мл/л. Режим работы: температура 55 \pm 5 °C, рН 4—4,5, катодная плотность тока 3—5 $A/дм^2$. Скорость осаждения при плотности тока 5 $A/дм^2$: 1 мкм за 1 мин.

Двойное никелевое покрытие почти в 2 раза коррозионно-устойчивее однослойного такой же толщины.
Для увеличения коррозионной стойкости крепежных деталей применяют защитные гальванические покрытия в сочетании с различными пропитками и тонкопленочными
ингибитированными покрытиями. В Институте химии
и химической технологии АН Литовской ССР разработан
ряд составов пассивирования — Ликонда: голубое пассивирование — Ликонда 22; радужное — Ликонда 23,
Ликонда 1, Ликонда 2; зеленое — Ликонда 41; прямое
черное — Ликонда 31. Высокопроизводительный процесо
блестящего цинкования выполняют с помощью Ликонды ZnSR. Гальванические осадки цинка, полученные
по этому процессу, пластичные, выровненные с бледноголубым пассивированием. Раствор содержит цинк,
хлористый аммоний и блескообразователи Ликонда
ZnSR—А, Ликонда ZnSR—В, Ликонда ZnSR—С. Выпуск
составов Ликонда освоен в промышленном масштабе
и внедрен для получения преобразующего покрытия на
оцинкованных и кадмированных изделиях.

Высокой коррозионной стойкостью обладают следующие покрытия: в особо жестких условиях — кадмиевое, пропитанное в растворе оливкового цвета, танина, а также в растворе, содержащем Ликонду 41; в жестких условиях — цинковое, пропитанное танином, цинкфосфатное в сочетании с тонкопленочным покрытием Мовиль. Коррозионная стойкость покрытий усиливается ингибированными смазками УСП, СЗГ-1, ХБГ-3. Составы электролитов и режимы осаждения покрытий приведены в табл. 10.

Электрофоретическое упрочнение. Метод получения композиционных покрытий с металлической или полимерной матрицей, армированной дисперсными частицами. Осуществляется осаждением порошковых покрытий на рабочие поверхности стальных деталей сложной конфигурации, например, деталей прессформ, штампов, мерительного инструмента, гидрораспределительных устройств, различной технологической оснастки. Технологи-

10. Состав электролитов и режимы антикоррозионной обработки

Покрытие	Состав электролита, г/л	Режим обработки
Кадмиевое	Сернокислый кадмий 50, серная кислота 50, сернокислый натрий 50, гидролизный спирт 10, столярный клей 5	Плотность тока 5 А/дм ² ; темпера- тура 20°C
Цинковое	Сернокислый цинк 60, хлори- стый аммоний 240, борная кис- лота 20, столярный клей 1	Плотность тока 1,5 А/дм², темпе- ратура 20°C
Цинковое Ликон- да	Хлористый цинк 100, хлори- стый аммоний 200, Ликон- да-А — 50 мл/л, Ликонда-В — 5 мл/л	Плотность тока 1 А/дм², темпера- тура 20°C
Цинкфосфатное	Сернокислый цинк 120, хлори- стый аммоний 250, борная кислота 25, фосфорнокислый двузамещенный натрий 65,	Плотность тока 0,6 А/дм², темпе- ратура 25°C
Тонкопленочное ингибитированное	ортофосфорная кислота 30 НГ-216А НГ-216Б Мовиль	Температура 98°C

ческий процесс нанесения покрытия безвольфрамового твердого сплава на основе карбида хрома с никель-фосфорной связкой состоит из двух основных операций: электрофоретического осаждения смеси порошкообразных компонентов покрытия и припекания электрофоретического осадка к стальной подложке, осуществляемого при 1160—1180 °C в защитной безокислительной среде или в вакууме.

Покрытие имеет высокую адгезию к подложке; разрушение покрытия при деформации происходит раньше, чем отслоение его от подложки. Ввиду того, что коэффициенты термического расширения материала покрытия

Дополнительная обработка					
Вид	Состав, г/л	Режим			
Хромирование оливкового цвета	Бихромат натрия 30, азотнокислый натрий 30, муравьиная кислота 50 мл/л, ледяная уксусная кислота	рН 1,4—2,7, темпе- ратура 25°С, время 5 с			
Танином В растворе Ли-	40 мл/л, формалин 15 мл/л 10 %-ный раствор —	Температура 25°C, время 5 с То же			
конда 41 Хромирование оливкового цвета	Тот же, что для кадмия	рН 1; 4—2,7, темпе- ратура 25°С, время 5 с			
Танином В растворе Ли- конда 41	10 %-ный раствор —	Температура 25°С, время 5 с То же			
Осветление с хроматированием	Хромовый ангидрид 150, азотная кислота 100, сер- ная кислота 20	Температура 20°С, время 3 с			
_	_	-			
_	_	-			

и стали приблизительно одинаковы, в случае необходимости можно проводить термическую обработку деталей с покрытием по обычным режимам, не опасаясь растрескивания покрытия. Это, а также высокая жаростойкость покрытий позволяет использовать их для защиты деталей, испытывающих одновременное воздействие механических нагрузок, высокой температуры и абразивной среды. Максимальная толщина электрофоретического карбидохромового покрытия составляет 120-150 мкм. Многократным нанесением можно довести толщину покрытия до 400—500 мкм. Карбидохромовое покрытие в 7 износостойкости при превосходит по трении без смазочного материала инструментальную сталь

Для нанесения покрытия можно использовать тонкий порошок титана, карбида титана, гидрата титана или смеси на основе одного из этих веществ с добавлением до 20 % карбида молибдена, до 30 % карбидов тантала, до 20 % кароида молиодена, до 30 % кароидов тантала, ниобия, гафния, циркония, хрома, ванадия и 0—50 % металла из группы железа или его сплава. При упрочнении изделий из всех материалов, кроме порошковых, в основной порошок добавляется порошок угля. Из порошка, измельченного в шаровой мельнице влажным способом и высушенного, приготовляют суспензию на основе воды или углеводородов.

В ванну с суспензией погружают изделие и металлическую пластину, которые соединяют с различными полюсами источника постоянного тока напряжением от десятков до сотен вольт. В ванне происходит электрофорез, под действием которого порошок из суспензии осаждается на изделие, образуя покрытие толщиной от единиц до сотен микрон. В суспензию можно добавлять вещество, способствующее образованию коллоидного ионогенного соединения, например, альгинат натрия, кальция, магния или аммония, нитрат алюминия или другие соли азотной и серной кислот. Добавка таких веществ позволяет при низком напряжении электрофореза (несколько десятков вольт) получить покрытие с повышенной адгезией. После осаждения покрытия изделие извлекают, высушивают на воздухе и помещают в печь, где выдерживают при 1200—1300 °C в вакууме (1,3 Па), восстановительной

или нейтральной атмосфере, в результате чего в зоне перехода от покрытия к изделию образуется слой сплава. Электрофоретическое осаждение системы карбид вольфрама—кобальт-бор выполняют при постоянном токе фрама—кобальт-бор выполняют при постоянном токе в суспензии состава (масс. долей): твердосплавная WC—Co—B 350—380; хлористый алюминий 0,25—0,3; ацетилацетон 0,8—3,0; этиленгликоль 100—120; этил-целлюлоза (3—5) 10^{-4} . Напряженность электрического поля 250—300 В/см; скорость осаждения до 23—24 мкм/с или 17 м²/(с·см²), эремя осаждения 30—180 с, температура 20—100 °C. Концентрация порошка твердого сплава ВК-15 20—70 %. Состав дисперсной фазы по плотности (кг/м³): WC — $15,63\cdot10^2$; Co $8,8\cdot10^2$; В 2,34; размер частиц (мкм): WC 1—5; Co 1; В 1,0.

Электрохимическое полирование. Один из наиболее эффективных методов повышения стойкости инструментов путем уменьшения шероховатости поверхности, снижения коэффициента трения инструмента об обрабатываемые детали и стружку, исключения прижогов поверхности. Сущность процесса — анодное растворение металла в электролите. При шлифовании поверхностей деталей часто наблюдается появление прижогов и микротрещин, что вызывает местные напряжения и преждевременный выход детали из строя.

Дефекты могут быть устранены электрохимическим полированием, снимающим поверхностный дефектный слой и формирующим поверхность повышенной чистоты. Преимущество метода — высокая производительность, не зависящая от физико-механических свойств обрабатываемого материала и формы изделия. Статические характеристики металла — предел текучести, относительное удлинение, относительное сужение — практически не изменяются. Основное отличие поверхности, полированной электрохимическим путем, от механически обработанной — отсутствие следов деформации, прижогов и структурных изменений. Растворение гребешков металла улучшает поверхность на 1—2 численных значения параметра и изменяет характер микрорельефа. При сопряжении электрополированных поверхностей величина фактической опорной поверхности возрастает, что оказывает положительное влияние на работу деталей в условиях трения. Электрохимическое полирование способствует стабилизации коэффициента трения, уменьшает время приработки трущихся поверхностей в 5—6 раз, повышает стойкость металла к коррозии, увеличивает срок службы деталей.

Электрохимическое полирование повышает стойкость сверл на 30—35 %, зенкеров на 10—20 %, разверток на 20—25 %, метчиков до 70 %, концевых фрез до 100 %. Упрочняемые инструменты укладывают на медную сетку, соединенную с положительным полюсом источника

Упрочняемые инструменты укладывают на медную сетку, соединенную с положительным полюсом источника постоянного тока, и погружают в электролитическую ванну, через которую пропускают электрический ток при напряжении 8 В в течение 20—45 с. Время выдержки зависит от размера упрочняемого инструмента и марки материала. Выделяющиеся в процессе работы газы отса-

сывают при помощи системы вентиляции. Электролит периодически очищают от шлама.

Перед полированием детали и инструмент термически обрабатывают. После обезжиривания промывают в горячей и холодной воде, декапируют, вновь промывают и погружают в ванну травления. Для травления стали типа 65Г и 40Х применяют сернокислый раствор состава: серная кислота 18—20 %, присадка ЧМ 0,8 г/л (основание хинолинового ряда). Температура раствора 50—60 °С, время травления 15—20 мин. После травления детали промывают. Процесс выполняют в растворе состава (%): 45 ортофосфорной кислоты; 39 серной кислоты; 4 хромового ангидрида; остальное вода. Плотность раствора 1,7—1,74 г/дм³, температура 70—80 °С; продолжительность выдержки 6 мин (катоды свинцовые). Затем инструмент промывают в горячей и холодной проточной воде. Для полного удаления следов кислот проводят нейтрализацию в растворе углекислого натрия—20—30 г/л—в течение 0,15—3 мин, после чего инструмент снова промывают в холодной и горячей проточной воде и сушат.

Для полирования инструментов из быстрорежущих и углеродистых сталей можно применить двухкомпонентный электролит состава: ортофосфорная кислота 88 % (γ = 1,6 г/см³), хромовый ангидрид 10 %, остальное вода. Электрохимическое полирование осуществляется в специальных ваннах с паровым подогревом, электропитание— от источника постоянного тока напряжением до 36 В.

до 36 В.

до 36 В. Электролиты для электрополирования не универсальны, их полирующая способность к различным металлам ограничена. Подбор электролитов и режимов электрополирования для многокомпонентных легированных сталей выполняют с учетом содержащихся в них присадок металлов, вызывающих значительные отклонения электрохимических параметров анодной обработки по сравнению с чистым железом. Это приводит к избирательному растворению участков металла, различных по своим свойствам.

На качество полирования влияют микроскопические неоднородности, возникающие из-за наличия в металле нескольких кристаллических фаз и особенно неметаллических включений. Оптимальные режимы электрополи-

рования предварительно определяют потенциостатическим методом в стеклянной электрохимической ячейке на потенциостате П-5848. Для электрода сравнения используют стандартный хлорсеребряный электрод, в качестве вспомогательного — платиновую пластинку. Рабочим электродом служит деталь. Например, в состав твердой заэвтектоидной инструментальной стали ХВСТ, применяемой для изготовления мелкоразмерных плашек и метчиков, входят углерод, хром, вольфрам, кремний, марганец (по 1 %), ванадий (0,1 %), никель (не более 0,35 %), сера и фосфор (не более 0,03 %). Одна часть этих элементов образует с углеродом карбиды, другая твердый раствор в железе. При электрополировании этой стали в результате влияния указанных включений возникают локальные гальванические элементы, которые обычно являются катодами по отношению к основной фазе. Это приводит к растворению основной фазы вокруг частиц катодной фазы, которые, выкрашиваясь, оставляют на полированной поверхности оспины (питтинг).

Высокое качество полирования сталей такого типа достигается в электролите, содержащем 25 % хромового ангидрида и 75 % ортофосфорной кислоты при температуре 80—100 °С и плотности тока 100—200 А/дм². Работа при такой высокой плотности тока осложняет проведение процесса в производственных условиях. Для снижения плотности тока и увеличения электрической проводимости электролита в раствор вводят серную кислоту и воду. Введение 17 % серной кислоты и 4 % воды повышает электрическую проводимость в 2 раза по сравнению с исходным раствором. При таком содержании дополнительных компонентов рабочая плотность тока имеет минимальные значения.

Оптимальный состав электролита и режим электрополирования плашек из стали $XBC\Gamma$ (%):

•	Оптимальный	`Допустимые
	состав	пределы
Ортофосфорная кислота	60	6065
Серная кислота	17	15—20
Хромовый ангидрид	18	15—20
Вода	5	2—6
Анодная плотность тока,		
$A/_{M^2}$	40-	-60
Температура, °С	80—	-100
Время полирования, мин	5—	-10

Электролит не нуждается в корректировании по основным компонентам, если количество пропущенного через него электричества не превышает 240 А ч/л при условии периодического добавления воды до исходного уровня. Дальнейшее увеличение количества электричества связано с необходимостью корректирования и регенерации электролита путем удаления железа и окисления трехвалентного хрома до шестивалентного. Для осаждения железа предварительно восстанавливают Fe³+ до Fe²+ на свинцовом катоде при плотности тока 0,8—1 А/дм². Анодное пространство отделяют от катодного пористой диафрагмой. Следующая операция — охлаждение раствора до температуры —4 ... + 4 °C. Соли двухвалентного железа кристаллизуются и выпадают в осадок. После охлаждения солей железа проводят окисление Сг³+ до Сг⁵+ на свинцовом аноде при плотности тока 2—4 А/дм². При старении электролита наблюдается уменьшение блеска полируемых деталей, что связано с понижением растворимости продуктов анодного растворения. Поэтому после отработки 240 А ч/л электролит следует заменять. Полированные детали нейтрализуют, промывают в холодной и горячей воде и сушат. Способы устранения возможных дефектов при электролитическом полировании стали приведены в табл. 11.

Электрохимическое полирование изделий из коррозионностойких сталей. Предварительно поверхность подвергают виброабразивной обработке (на установках типа УВГ-100) с использованием твердого абразивного наполнителя по режиму: частота колебаний 36,6—38 Гц, амплитуда 1,8—2 мм, время 4 ч.

Заготовки загружают в барабан, представляющий собой шестигранник со стороной 300 мм и длиной 1000 мм.

туда 1,8—2 мм, время 4 ч. Заготовки загружают в барабан, представляющий собой шестигранник со стороной 300 мм и длиной 1000 мм. В качестве твердого наполнителя используют бой фарфора, керамики и осиновые кубики Жидкий наполнитель — раствор 75 %-ного хозяйственного мыла, кальцинированной соды и воды. Концентрация раствора 0,3—0,5 %. Продолжительность обработки 18—20 ч. Электрохимическое полирование осуществляют в стальных ваннах, футерованных свинцом или винипластом. Состав электролита: ортофосфорная кислота 70 %, серная кислота 30 %, уротропин 3—4 г/л. Плотность электролита 1,745—1,755 г/см³, температура электрополирования 44—

11. Способы устранения возможных дефектов при электрополировании стали

Вид дефекта	Причина звозникновения	Способ устранения
Точечное травление поверхности, питгинг	Присутствие в элек- тролите мельчайших частиц хромового ан- гидрида	Прогреть электролит при 80—90°С до полного рас- творения хромового ан- гидрида
Неглубокие язвы различных очертаний	Наличие на поверх- ности деталей окали- ны и коррозии	Протравить детали в серной кислоте; в дальнейшем принять меры к недопущению появления на деталях окалины и коррозии
Непрозрачные пленки различно- го цвета	1. Состав электролита не оптимальный 2. Плохая промывка деталей после полирования 3. Высокая температура электролита	1. Сделать химический анализ электролита и откорректировать его 2. Обеспечить тщательную промывку 3. Снизить температуру до оптимальной
Слабый блеск и недостаточное сглаживание шероховатости	Низкая плотность; тока	Плотность тока повысить до оптимального значечения
Полосчатость	Высокая плотность электролита	Довести плотность элек- тролита до 1,75—1,8
Травление поверхности металла	1. Низкое содержание окислителя (хромового ангидрида) 2. Накопление железа в электролите 3. Низкая плотность тока	1. Содержание хромового ангидрида довести до оптимального значения 2. Железо из раствора удалить или разбавить электролит свежеприготовленным 3. Плотность тока повысить до оптимального зна-
Пятна в месте контакта Черный налет на поверхности детали	Плохой контакт детали с подвеской Низкая окислительная способность электролита	чения Обеспечить надежный контакт Увеличить содержание хромового ангидрида до оптимального значения

47 °C, время обработки 5 мин, плотность тока 50—55 А/дм². Корректирование электролита (при работе в две смены) производят один раз в неделю. Замену осуществляют после пропускания 250 А/ч на 1 л раствора.

Технологический процесс обеспечивает получение бле-

стящей коррозионно-стойкой поверхности.

УПРОЧНЕНИЕ МЕТОДАМИ ХИМИЧЕСКОГО ОСАЖДЕНИЯ ИЗ РАСТВОРОВ

Фосфатирование. Процесс нанесения фосфатной пленки на поверхность сложного фасонного режущего инструмента типа протяжек, разверток, фрез, долбяков, спе-

12. Подготовка к фосфатированию

	Состав раствор	Режим обработки		
Операция	Қомпоненты	Коли- чество, г/л воды	Темпе- ратура, °С	Выдерж- ка, мин
Обезжирива- ние	Керосин Олеиновая кислота Триэтаноламин Тракрезол	81 6,6 3,4 9,0	18—25 18—25 18—25 9,0 80—90	3—4 3—4 3—4 3—4 1—2
Двукратная (каскадная) промывка Промывка	Проточная вода Непроточная дистил- лированная вода	_	80—90 80—90	15

13. Составы растворов для фосфатирования и режимы обработки

C	остав, г/л водь	Режим обработки		
Zn(H ₂ PO ₄) ₂	Zn(NO ₃) ₂	H₃PO₄	Темпера- тура, °С	Выдержка, мин
40 40	55 58	15	93—98 94—96	10—15 29

Примечание. Кислотность раствора — 60—80 точек. Числом точек называется количество, мл 0,1 н. раствора, необходимого для титрования 10 мл фосфатирующего раствора в присутствии фенолфталеина.

_		Режим обработки		
Операция	Среда	Температура, °С	Выдержка, мин	
Двукратная (каскадная) промывка Сушка Обработка в масле Подсушивание для стока излишнего масла	Проточная вода Воздух Масло И-12 Воздух	80—90 80—90 100—115 Нормальная	1—1,5 3—4 3—4 3—4	

14. Технология обработки фосфатной пленки

циальных резцов, сверл, зенкеров, метчиков, плашек и деталей, работающих на истирание, для защиты от коррозии и повышения износостойкости.

Оборудование для фосфатирования: ванна для обезжиривания — 1 шт.; ванна для двукратной (каскадной) промывки — 2 шт.; ванна для промывки — 1 шт.; ванна для обработки в масле — 1 шт.; сушильный шкаф — 1 шт.

Технология подготовки деталей к фосфатированию приведена в табл. 12, составы растворов для фосфатирования в табл. 13. Для корректирования фосфатирующего раствора на каждую недостающую «точку» на 100 л раствора добавляют раствор следующего состава: $Zn(H_2PO_4)_2H_2O$ 48 г; $Zn(NO_4)_2H_2O$ 49 г; H_3PO_4 22 г; дистиллированная вода остальное (до объема 108 мл). Для уменьшения испарения фосфатирующего раствора при работе поверхность ванны заполняют кусочками полиэтилена, пенопласта или покрывают слоем пушечного сала толщиной 3—5 мм. С целью повышения защитных свойств фосфатной пленки, нанесенной на поверхность инструментов, проводят специальную обработку, технология которой приведена в табл. 14.

Стальные детали можно обезжиривать в растворе состава (г/л): пирофосфорнокислый натрий 20 ± 5 ; техническая кальцинированная сода 10 ± 2 ; кремнекислый натрий 8 ± 1 . Режим работы: температура $60\pm10\,^{\circ}\mathrm{C}$, время обработки 15 ± 2 мин.

Сильно загрязненные детали обезжиривают в растворе состава (г/л): технический едкий натр 80 ± 10 ; техническая кальцинированная сода 60 ± 10 ; тринатрийфосфат

 35 ± 5 ; натриевое жидкое стекло 15 ± 5 ; сульфонол НП-3 15 ± 1 ,5. Режим работы: температура $85\pm10\,^{\circ}$ С, время обработки 15 ± 2 мин.

Технология фосфатирования деталей сепараторов и шайб подшипников с предварительной подготовкой по-

верхности состоит из следующих операций.

1. Монтаж деталей на подвески.

1. Монтаж детален на подвески.
2. Обезжиривание в растворе состава (г/л): технический едкий натр 80 ± 10 ; техническая кальцинированная сода 60 ± 10 ; тринатрийфосфат 85 ± 5 ; жидкое натриевое стекло 15 ± 5 ; сульфонол НП-3 $5 \pm 1,5$. Время обработки 15 ± 2 мин, температура 85 ± 10 °C. Заменяют раствор обезжиривания раз в неделю.

3. Промывка в горячей (70—80 °C) проточной воде. 4. Промывка в холодной проточной воде.

4. Промывка в холодной проточной воде. 5. Травление раствором: 160 ± 10 г/л технической серной кислоты и 40 ± 10 г/л хлористого натрия. Время обработки 20 ± 5 мин, температура 50 ± 5 °C. Замену раствора травления производят раз в месяц. 6. Промывка в холодной проточной воде.

7. Химическая активизация. Для получения качественной фосфатной пленки с высокими противокоррозионными свойствами рекомендуется после обезжиривания и травления проводить дополнительную обработку деталей в течение 1-1,5 мин в растворе щавелевой кислоты 20 ± 2 г/л при температуре 20 ± 2 °C. Замену раствора производят раз в месяц. После химической активизации детали без промывки поступают в ванну

фосфатирования.

8. Фосфатирование раствором 1 или 2. Состав раствора 1 (г/л): фосфорнокислый однозамещенный цинк 50 ± 5 ; азотнокислый цинк 50 ± 5 ; ортофосфорная техническая кислота 14 ± 3 ; щавелевокислый двухводный цинк 0,1-0,2. Режим работы: температура 60 ± 5 °C, время обработки 20 ± 5 мин, общая кислотность 90-100 точек, свободная кислотность 10-15 точек, коррозионная стойсвоюдная кислотность 10—15 точек, коррозионная стои-кость фасфатной пленки 7—8 мин. Состав раствора 2 (г/л): препарат «Мажеф» 60 ± 5 ; азотнокислый цинк 90 ± 10 ; фтористый технический натрий 3 ± 1 . Режим работы: температура 40 ± 5 °C, время обработки 30 ± 5 мин, общая кислотность 80-85 точек, свободная кислотность 4-6 точек, коррозионная стойкость фосфат-

ной пленки 9-10 мин. Фосфатные пленки, полученные при обработке деталей данными растворами, имеют мелкокристаллическую структуру с минимальной пористостью. обладают высокой коррозионной стойкостью и прочно-стью сцепления с основным металлом. В процессе эксплуа-тации фосфатирующий раствор необходимо ежедневно проверять на общую и свободную кислотность и при необходимости корректировать.

Защитное покрытие крепежных деталей низкотемпературным фосфатированием. Перед фосфатированием детали подвергают электрохимическому обезжириванию, промывке в горячей и холодной воде и декапированию в растворе соляной кислоты 1:1. Состав раствора фосфав растворе соляной кислоты 1 1 1. Состав раствора фосфатирования (г/л): 35—60 соли «Мажеф»; 60—80 азотно-кислого цинка; 3—4 фтористого натрия. Температура раствора 50—60 °С; время обработки деталей 20 мин. После фосфатирования на поверхности деталей образуется мелкокристаллическая фосфатная пленка светлосерого или серого цвета, обладающая хорошей корро-

зионной стойкостью.

Для приготовления раствора расчетное количество соли «Мажеф» засыпают в отдельную емкость, заливают горячей водой (с температурой 80—90 °С) и выдерживают в течение 2—3 ч. Затем раствор сливают в рабочую ванну. В отдельных емкостях растворяют расчетное количество азотнокислого цинка и фтористого натрия. Полученные растворы также сливают в рабочую ванну.

В приготовленном для фосфатирования прозрачном растворе обрабатывают случайные детали до получения раствора мутного цвета. Общая кислотность проработанного раствора должна составлять 70—100 точек, а свободная — 5—10 точек.

Корректирование раствора для фосфатирования проводят по кислотности из расчета на одну точку 1 г/л солн «Мажеф» и 3 г/л азотнокислого цинка. Фтористый натрий дсбавляют 2 раза в неделю из расчета 3 г/л.

Химическое фосфатирование с последующей пропит-кой дисульфидмолибденовой смазкой ВНИИНП-229 выполняют в растворе состава (г/л): 35 монофосфата цинка; 35 азотнокислого цинка; 15 ортофосфорной кислоты. Температура раствора 95—98°С, время выдержки 5 мин. Перед фосфатированием поверхность обезжиривают. Затем на нагретый до 100 °C фосфатированный инструмент наносят дисульфидмолибденовую смазку ВНИИНП-229 и выдерживают его в электрошкафу 2—3 ч при температуре 150—200 °C.

Технологический процесс одновременного обезжиривания, травления и фосфатирования. В раствор на основе препарата «Мажеф» вводят азотнокислый цинк в качестве ускорителя, борную кислоту для обеспечения стабильности раствора и увеличения прочности пленки, оксалат цинка (щавелевокислый цинк) для уменьшения шламообразования и нитрат кальция для придания пленке мелкокристалличности и повышения эластичности покрытия.

тия. Состав раствора (г/л): препарат «Мажеф» 100 ± 10 ; азотнокислый цинк 240 ± 25 , фосфорнокислый однозамещенный аммоний 60 ± 5 ; борная кислота 30 ± 2 ; сульфонол НП-3 $2,5\pm0,5$; азотнокислый кальций $3,5\pm0,5$, щавелевокислый аммоний $0,15\pm0,02$, стальная стружка (стали 30,40,50) 5 ± 1 . Режим работы: температура 50 ± 2 °C; время выдержки 20 ± 5 мин; общая кислотность точек 190-210, свободная кислотность точек 12-18, отношение общей кислотности к свободной 11-15, коррозионная стойкость фосфатной пленки 10-12 мин.

Раствор для одновременного обезжиривания, травления и фосфатирования приготовляют в деминерализованной конденсационной или умягченной воде (последнюю готовят добавлением 2—2,5 г/л углекислой соды в водопроводную воду, кипячением в течение 1—1,5 ч, отстаиванием и удалением осадка).

Способ приготовления оказывает существенное влияние на шламообразование, долговечность раствора и коррозионную стойкость покрытия. Основную емкость заполняют на $^{1}/_{2}$ объема водой, растворяют рассчитанное количество фосфорнокислого однозамещенного аммония, сульфонола НП-3 и стальной стружки. Затем раствор подогревают до 60 °С и выдерживают в течение 3 ч. В отдельной емкости азотнокислый цинк смешивают с препаратом «Мажеф», смачивают водой, перемешивают и оставляют на 3—4 ч. После этого смесь азотнокислого цинка с препаратом «Мажеф» помещают в основную емкость, добавляют рассчитанное количество борной кис-

лоты, азотнокислого кальция и щавелекислого аммония. Раствор доводят до рабочего объема, нагревают до 50 °C в течение 1 ч. После прогрева раствора определяется общая и свободная кислотность, которая должна соответствовать величинам 190—210, 12—18.

Для повышения общей кислотности на одну точку необходимо на 1 л раствора ввести выдержанную не менее 1 ч сухую смесь из расчета 1,5 г препарата «Мажеф» и 3 г азотнокислого цинка. Для понижения свободной кислотности на одну точку необходимо на 1 л фосфатирующего раствора ввести 1 мл 0,1 н. раствора едкого натра.

Технологический процесс фосфатирования. Монтаж деталей на подвески или загрузка в барабан, обработка их в кипящей воде с выдержкой 4—5 мин (при незначительном в кипящей воде с выдержкой 4—5 мин (при незначительном загрязнении); предварительная очистка в растворе с тринатрийфосфатом и мыльным спиртом; фосфатирование в растворе одновременного обезжиривания, травления и фосфатирования при 50—55 °C с выдержкой 20 мин; промывка фосфатированных деталей в теплой проточной воде при 50—60 °C, затем в горячей проточной воде при 70—80 °C трех-четырехкратным погружением; сушка горячим сжатым воздухом. Температура 70—80 °C, продолжительность выдержки 8—10 мин; пропитки маслом. Для пропитки деталей для увеличения антикоррозионных свойств используют УКРИНОЛ-11 с концентрацией 40—100 г/л. Температура 65—75°С, время обработки 3 ± 1 мин.

При наличии на деталях сильных загрязнений (жирная металлическая пыль, окалина, коррозия и т. п.)

ная металлическая пыль, окалина, коррозия и т. п.) проводят предварительную очистку в растворе тринатрийфосфата 50 ± 5 г/л и мыльного спирта 4 ± 1 мл/г при температуре 50 ± 5 °C; время обработки 8 ± 2 мин. Технология позволяет сократить продолжительность обработки стальных деталей в 2,5-3 раза, уменьшить число операции; при этом сокращается расход воды, электроэнергии и материалов примерно в 2,5 раза. Износостойкость азотированных поверхностей может

быть увеличена последующим фосфатированием [а. с. 926070 (СССР)]. Проводят фосфатирование в растворе препарата «Мажеф» с концентрацией 30—40 г/л при 90—100°С в течение 20—30 мин (для получения развитой

поверхности, хорошо удерживающей смазочный материал), а затем изотермическую выдержку в течение 10—40 мин при 100—150 °С в индустриальном масле, содержащем 5—10 % дисульфида молибдена.

Температура изотермической выдержки зависит от марки масла. Чем выше температура вспышки масла, тем выше температура изотермической выдержки. Например, концевые фрезы диаметром 6 мм из быстрорежущей стали P6M5 азотируют по двухстадийному режиму. Нагрев до 530 °С и первые 20 мин выдержки проводят в атмосфере чистого аммиака. На второй стадии азотный потенциал снижают за счет разбавления аммиака азотно-водородной смесью в соотношении 50 % NH3 и 50 % ($N_2 + H_2$) в течение 40 мин. В результате на инструменте получают азотированный слой, состоящий из атвердого раствора азота в сплаве и поверхностной в-фазы с содержанием 7 % азота. Затем фрезы подвергают фосфатированию в растворе препарата «Мажеф» с концентрацией 40 г/л при 95 + 5 °С в течение 30 мин, после чего проводят изотермическую выдержку в индустриальном масле 20 мин при 100 °С, добавках 5—10 % дисульфида молибдена и выдержке 10—40 мин. После такой обработки стойкость фосфатированного инструмента на 15—20 % выше стойкости инструмента, упрочненного только диффузионным азотированием. Чистота обрабатываемой поверхности улучшается. Отпадает необходимость в консервации готового инструмента.

Никель-фосфатирование. Улучшение режущих свойств и стойкости инструментов обеспечивает покрытие режущих частей инструментов из быстрорежущих сталей износостойкими пленками никель-фосфора. Выполняют способом химического осаждения пленки в аммиачноникелевой цитратной ванне состава (г/л): хлористый никель 30; гипофосфат натрия 10; хлористый аммоний 100. Для поддержания кислотности в пределах рН 8—9 добавляют аммиак. Процесс химического осаждения осуществляют в ванне. При температуре 85 °C в течение 30 мин на поверхности режущего инструмента осаждается слой никель-фосфора толщиной 5 мкм.

Технологический процесс нанесения покрытия: промывка и обезжиривание химическим способом, химическое осаждение никель-фосфорного покрытия, термиче-

ская обработка инструмента с нанесенным никель-фосфорным покрытием, нагрев до температуры 400—450 °C с последующим охлаждением на воздухе.

Никель-фосфорное покрытие уменьшает силу трения при резании, резко снижает температуру резания, облегчает выход стружки, обеспечивает высокую износостой-кость инструмента. Высокая твердость режущей кромки инструмента HRC 65—68 сохраняется при температуре выше 600 °С. Покрытие особенно ценно для упрочнения и восстановления инструментов сложной геометрической формы, перезаточку которых производят по задней поверхности (например, сверла диаметром 8—35 мм). Никель-борирование. Применяют для повышения из-

Никель-борирование. Применяют для повышения износостойкости, твердости и коррозионной стойкости металла. Выполняют в растворе состава (г/л): никель хлористый 80—100; этилендиамин 114—120; едкий натр 40—50; боргидрид натрия 0,8—0,9; фенантролин 0,02—0,25. Покрытия обладают высокой коррозионной стойкостью, износостойкостью и твердостью, фактически беспористые при толщине слоя 5—7 мкм. Другой состав раствора (г/л): никель хлористый 30; этилендиамин 60; едкий натр 40; боргидрид натрия 0,6; таллий азотнокислый 0,1.

В случае, когда никель-борное покрытие используют для изготовления паяных деталей, можно применить состав [а. с. 740860 (СССР)], который содержит (г/л): никель хлористый 10—20; этилендиамин 20—40; едкий натр 20—30; боргидрид натрия 0,9—1,1; азотнокислый таллий 0,09—0,11; гидразин сернокислый 0,9—1,1; маннит 5—15.

Введение в раствор гидразина сернокислого и маннита обеспечивает получение светло-серого покрытия с малым содержанием бора, обладающего высококачественной пайкой. Применяют следующие компоненты: никель хлористый $\operatorname{NiCl}_2 \cdot 6H_2\mathrm{O}$; этилендиамин — 70 %-ный водный раствор $\mathrm{C}_2\mathrm{H}_8\mathrm{N}_2$; едкий натр NaOH ; боргидрид натрия NaBH_4 ; таллий азотнокислый TlNO_3 ; гидразин сернокислый $\mathrm{Na}_2\mathrm{H}_4\mathrm{SO}_4$; маннит $\mathrm{C}_6\mathrm{H}_{14}\mathrm{O}_6$.

 $\Pi_{pusomosnehue}$ раствора. В $^{1}/_{3}$ объема дистиллированной воды, нагретой до 30—40 °С, растворяют хлористый никель и добавляют этилендиамин. В отдельной емкости растворяют едкий натр, часть его добавляют в раствор хлористого никеля с этилендиамином, а в другой части

растворяют восстановитель — боргидрид натрия, дают раствору остыть и сливают его в основной раствор, содержащий хлористый никель, этилендиамин и едкий натр, при перемешивании. Затем вводят сернокислый гидразин и маннит. Раствор тщательно размешивают и выдерживают сутки.

Нанесение покрытия из раствора осуществляют при 95 ± 2 °C, (pH 12—13), при плотности загрузки 1,6—3,2 дм²/л и периодическом встряхивании в течение 30 мин. Скорость осаждения покрытия 8,7—9,2 мкм/ч, толщина покрытия 6—10 мкм.

Перед нанесением покрытия осуществляют обычную предварительную подготовку в зависимости от типа покрываемого материала.

Никель-кобальт-фосфатирование. Выполняют в целях повышения износостойкости и антифрикционных свойств стальных деталей сложной конфигурации (пресс-формы, измерительный инструмент, крышка клапана, поршень и др.), работающих в условиях трения, при повышенных температурах.

Шероховатость поверхности пресс-формы, на которую наносят никель-кобальт-фосфорное покрытие, должна быть Ra~0,040—0,32 мкм, так как при этом воспроизводится геометрия поверхности детали. Технологические операции по нанесению никель-кобальт-фосфорного по-

- операции по нанесению никель-кооальт-фосфорного по-крытия выполняют в порядке, описанном ниже. 1. Химическое обезжиривание в щелочном растворе следующего состава (r/л): едкий натр 45 ± 5 ; кальцини-рованная сода 65 ± 5 ; тринатрийфосфат 25 ± 5 ; стекло натриевое жидкое 7 ± 2 . Температура 70 ± 5 °C, про-должительность обработки 30 ± 3 мин. 2. Промывка в горячей (70-80 °C) проточной воде.
- 2. Промывка в торячей (70—00 с.) проточной воде.
 3. Промывка в холодной проточной воде.
 4. Обезжиривание окисью магния. Окись магния смешивают с холодной водой до консистенции негустой кашицы и волосяной щеткой тщательно протирают прессформы до полного смачивания поверхности.

 5. Промывка в холодной проточной воде до полного
- удаления окиси магния.
- 6. Сушка пресс-формы горячим (70—80 °C) сжатым воздухом, если следующей операцией будет изолирование непокрываемых участков. Если же пресс-форма подвер-

гается покрытию полностью, сушка исключается. Изолирование участков поверхности пресс-формы, не подлежащих покрытию, производят эмалью XB-124, которую наносят кистью. Сушка при нормальной температуре в течение 30 мин, затем 2 ч при температуре 80—120 °C.

в течение 30 мин, затем 2 ч при температуре 80—120 °С. 7. Электрохимическое обезжиривание на катоде в щелочном растворе состава (г/л): едкий натр 30 ± 5 , кальцинированная сода 30 ± 5 ; тринатрийфосфат 20 ± 5 ; стекло натриевое жидкое 10 ± 5 . Температура 70 ± 5 °С; плотность тока 7 ± 3 А/дм²; продолжительность обработки 5 ± 1 мин. Анодами при обезжиривании служат пластины из катодного никеля H-2. Состав щелочных растворов для химического и электрохимического обезжиривания контролируют не реже одного раза в неделю при односменной работе.

8. Промывка в горячей (70—80 °C) проточной воде. 9. Промывка в холодной проточной воде последовательно в двух ваннах. Смену воды в промывочных ваннах осуществляют со скоростью 0,7—1 объем в ч. Очистку ванн следует проводить не реже одного раза в месяц.
10. Декапирование в растворе серной кислоты (100 г/л).
Температура 23 ± 3 °С, продолжительность 2 мин.
11. Промывка в холодной дистиллированной воде

- последовательно в двух ваннах.
- 12. Нанесение химического никель-кобальт-фосфорного покрытия. В состав раствора входят следующие компоненты (г/л): хлористый никель 15; сернокислый кобальт 15; лимонная кислота 20; хлористый аммоний 50; едкий натр 50; фосфорноватисто-кислый натрий — гипофосфат 20. Температура 85 ± 2 °C, pH раствора 9-10, скорость осаждения 16-18 мкм/ч, плотность загрузки 1 $\text{лм}^2/\text{л}$.

1 дм⁴/л.

Для получения никель-кобальт-фосфорных покрытий толщиной более 18 мкм осаждение проводят в стационарной ванне с переносом пресс-формы через 1 ч из отработанного раствора в свежеприготовленный или откорректированный по данным химического анализа. Из указанного выше раствора осаждается сплав никель—кобальт—фосфор следующего состава (%): никель 70—75; кобальт 10—15; фосфор 10—15. Компоненты раствора для получения химического никель-кобальт-фосфорного покрытия следует растворять каждый отдельно в теплой дистилли-

рованной воде (50—60 °C), едкий натр и гипофосфит натрия — в воде нормальной температуры. Через фильтр из марли и ваты растворы солей сливают в последовательности: раствор клористого никеля и сернокислого кобальта; затем в него растворы лимонной кислоты, клористого аммония и едкого натра. Полученный раствор нагревают до температуры 60—65 °C и вводят растворенный в минимальном количестве воды гипофосфит натрия. Температуру раствора доводят до 80 °C и загружают деталь. Подвеску для загрузки деталей изготовляют из стальной проводоки стальной проволоки.

стальной проволоки.
Ванна для химического никель-кобальт-фосфорного покрытия пресс-форм может быть изготовлена из керамики, фарфора, стекла. Можно использовать в качестве ванн чугунные котлы, а также эмалированные бачки. В процессе нанесения покрытия интенсивно выделяется водород. Для получения покрытия без питтинга необходимо встряхивать, покачивать пресс-форму или перемещивать раствор с помощью сжатого воздуха.

13. Промывка в проточной воде нормальной температиры.

туры.

13. Промывка в проточнои воде нормальнои температуры.

14. Промывка в горячей (70—80 °C) проточной воде.
15. Сушка горячим (70—80 °C) сжатым воздухом.
16. Термическая обработка.

Для увеличения износостойкости никель-кобальт-фосфорного покрытия его необходимо подвергнуть термической обработке в электрической печи. Пресс-формы с покрытием выдерживают при температуре 325—350 °C в течение 1 ч, а затем охлаждают вместе с печью при открытой дверце. В результате прочность сцепления покрытия с основой превышает прочность сцепления никелевого и хромового покрытия, полученного электролитическим способом. При нагреве покрытых пресс-форм до температуры 325—350 °C образуется двухфазная система, состоящая из №3 Р и СО₂ Р. Структурные превращения сопровождаются увеличением твердости покрытия от НV 500—600 (до термообработки) до 1000—1100 (после термообработки), т. е. покрытие по твердости приближается к электролитическому хромовому. Пористость покрытия при толщине 16—18 мкм и более не выявлена. Пресс-формы, покрытые сплавом никель—кобальт—фосфор, используют для прессования пластических масс и резин. При прессовании

резин прилипания поверхности прессуемой детали к поверхности пресс-формы не наблюдалось. Ванну для фосфатирования изготовляют из стали и оборудуют теплоизоляционным покрытием, нагревателем и вытяжной вентиляцией. Во избежание взмучивания осадка фосфатов на расстоянии 100—150 мм от дна ванны устанавливают перфорированную перегородку. Перед началом эксплуатации новой ванны необходимо покрыть

чалом эксплуатации новой ванны необходимо покрыть ее внутреннюю поверхность фосфатным слоем и лишь после этого начинать фосфатирование. Сушку технологической оснастки после фосфатирования проводят в сушильном шкафу, оборудованном вытяжной вентиляцией.

При обезжиривании, промывке и фосфатировании технологической оснастки применяют корзины из тонкой проволоки или перфорированной листовой стали и подвески различных конструкций.

Качество фосфатной пленки определяется плотностью, зернистостью, шероховатостью, защитными свойствами и коррозионной стойкостью. Покрытие должно быть плотным, гладким, мелкозернистым; цвет пленки может быть от светло-серого до черного. Не допускается наличие коррозии и налета взмученного осадка, а также черного налета, оставляющего следы на руках или хлопчатобумажной салфетке. Допускается наличие пятен и непокрытых точек в местах контактов с подвесным устройством на нерабочей поверхности технологической оснастки. Внешнему осмотру после фосфатирования подвергают Внешнему осмотру после фосфатирования подвергают всю партию деталей. Детали с неудовлетворительным качеством пленки выбраковывают. Наличие фосфатной пленки проверяют визуально, царапая поверхность оснастки, протирая ее мелкозернистой абразивной шкуркой или соскабливая.

или соскаоливая. Для определения защитных свойств фосфатной пленки пользуются капельным методом. Метод заключается в том, что на заданный участок поверхности при температуре 15—25 °С наносится одна капля контрольного раствора. Продолжительность времени в минутах между моментом нанесения капли и изменением ее цвета (капля становится темно-коричневой, почти черной) служит характеристикой стойкости пленки.

Оценка защитных свойств. Низкая Пони-Средняя Высокая

При капельном методе испытания контроль проводят на двух-трех образцах-свидетелях, взятых от партии. Состав контрольного раствора: 0.4M раствор $CuSO_4$ — 40 мл; 10 %-ный раствор NaCl — 20 мл; 01M раствор HCl — 0.8 мл.

Для контроля коррозионной стойкости фосфатной пленки технологическую оснастку подвешивают на шелковых или капроновых нитях в 3 %-ном растворе NaCl при температуре 20 °C выдержкой 5—15 мин, после чего промывают водой и оставляют на воздухе в течение 25— 30 мин. Если в результате испытания пленка не изменилась, то ее качество считается удовлетворительным. Контроль проводят на двух-трех образцах-свидетелях от партии. Образцы-свидетели должны быть термически обработаны и изготовлены из стали той же марки, что и фосфатируемая технологическая оснастка.
Обработка стального инструмента ангидридом мо-

либдена выполняется с целью повышения стойкости стальных режущих инструментов [а. с. 277501 (СССР)]. После обработки на инструменте образуется антифрикционный и антикоррозионный слой повышенной твердости, состоящий из интерметаллических железомолибденовых соединений; стойкость слоя до 700 °C.

Окончательно обработанный инструмент предвари-

тельно очищают и обезжиривают в следующем порядке:

1. Промывка в воде. 2. Обезжиривание в горячем растворе (75—90 °C) в течение 15—60 мин в зависимости растворе (75—90 °С) в течение 15—60 мин в зависимости от степени загрязнения инструмента. Состав раствора (г/л): едкий натр 10—15; сода кальцинированная 30—40; тринатрийфосфат 30—70; жидкое стекло 2—3. 3. Промывка в воде. 4. Декапирование в 5—10 %-ном растворе соляной кислоты 0,5—2 мин. 5. Промывка в воде. 6. Кипячение в течение 25—30 мин в 100—150 г/л водном растворе ангидрида молибдена. Промывку выполняют в горячей проточной, а затем в холодной проточной воде.

Химическое никелирование. Осадок химического нителя восстанавлявают на раствора, солержащего 30 г/л

келя восстанавливают из раствора, содержащего 30 г/л сернокислого никеля; 10 г/л уксуснокислого натрия; 10 г/л гипофосфита натрия; 0,007 г/л тиосульфата натрия; 2 мл/л уксусной кислоты; хромовокислый свинец — до

насыщения. Кислотность раствора рН 4,2—4,8; температура 90—92 °C; плотность загрузки 1 дм²/л. Скорость осаждения осадка 6—9 мкм за 30—40 мин; толщина покрытия 15—18 мкм. После никелирования инструмент подвергают термообработке в течение 1 ч при температуре 350—400 °C.

Слой твердого никеля можно осадить химическим способом из состава (г/л): сернокислый Ni кристаллический 80; фосфорноватистокислый Na 24; уксуснокислый Na 12; борная кислота 8; хлористый Na 6. Пористость в слое получают травлением в течение 20 с — 1 мин в ванне, содержащей фтористый аммоний и плавиковую кислоту. Способ позволяет повысить стойкость пресс-форм для литья под давлением, штампов, лезвийных инструментов (сверла, метчики, развертки и др.).

Если в никельсодержащий раствор ввести мелкодисперсные твердые вещества типа алмаза, карбидов или
нитридов бора, вольфрама, кобальта, хрома, ванадия
и др., то при восстановлении никеля из суспензии образуется комплексный осадок, обладающий высокой износостойкостью. Например, покрытие алмазным порошком,
закрепляемым химически осаждаемым слоем никеля,
применяют для упрочнения колец уплотнения газовых
турбин и насосов высокой подачи, нагревательных барабанов, фрикционных дисков, нитеводителей, прессформ для изготовления бакелитовых деталей, шнеков
для термопластавтоматов, а также рабочих поверхностей
калибров, микрометрических и других измерительных
приборов.

Метод химического нанесения слоя позволяет точно контролировать его толщину. Применяемые в этом случае никель-фосфорные сплавы могут быть после нанесения подвергнуты термической обработке (например, 24 ч при 270 °С или 1 ч при 400 °С), что обеспечивает повышение твердости до HV 1000. Рекомендуемые параметры алмазного защитного слоя: объемное содержание алмазов 20—25 % (допустимо до 40 %); толщина слоя покрытия 25—50 мкм; твердость никелевой основы HV 1000—1200; коэффициент трения 0,08—0,2 на синтетическом волокне.

Износостойкость металлических пресс-форм, предназначенных для изготовления изделий из пластмассы,

⁸ Полевой С. Н. и др.

бакелита, фарфора и электрофосфора, повышают химическим нанесением многослойного композиционного покрытия, в котором первый слой представляет собой химическое никелевое покрытие, а последующие из никеля, содержащего окислы, карбиды, металлы, алмазный порошок, бориды, нитриды и др. Для улучшения приработки инструмента в наружных слоях осаждают более мягкие компоненты, например, электрокорунд, а во внутренних более твердые, например, карбид бора. После нанесения всех слоев покрытие подвергается термической обработке при 200—750 °С 15 мин — 48 ч. Износостойкость многослойных покрытий выше, чем однослойных. Изношенное покрытие может быть удалено химическим путем и после предварительной подготовки поверхности восстановлено. Эпиламирование выполняют в эпиламирующих составах. Эпиламирующие составы — поверхностно-активные вещества, снижающие количество поверхностной энер-

вещества, снижающие количество поверхностной энергии, степень адгезии контактирующих материалов, локализующие поверхностные микротрещины и ограничивающие возможность их роста. Основная особенность веществ этого класса — высокая адсорбционная способность, в результате которой на обрабатываемой поверхности образуются разделительные барьерные пленки с очень низким запасом поверхностной энергии — эпиламы. Представляют собой раствор высокомолекулярных фторсодержащих поверхностно-активных веществ во фторсодержащих растворителях — хладоне 113, смеси хладонов 112 и 113, хладоне 114В2 и др. Из раствора адсорбируется на поверхности в виде мономолекулярного или близкого к нему по своим свойствам слоя, резко снижая микротвердость поверхностного слоя и, следовательно, поверхностное напряжение и запас энергии. Бесцветная подвижная жидкость, негорючая, малоток-Бесцветная подвижная жидкость, негорючая, малотоксичная, плотность 1570-1590 кг/м³, вязкость $1\cdot10^{-3}$ — 1,20·10⁻³ Па. Нерастворим в углеводородных растворителях. Смазочные масла, внесенные в эпиламированные узлы трения, прочно удерживаются в их рабочей зоне. Штамповый инструмент после эпиламирования смазывают минеральным маслом.

Режущие инструменты используют с применением СОЖ или с введением любого минерального масла в зону резания.

Технология обработки составом проста, не требует специального оборудования, высокопроизводительна, может быть использована непосредственно на рабочем месте в производственных условиях при температуре окружающей среды. Эпиламирующие составы — высокоэффективный способ упрочняющей обработки. Разработка эпиламирующих составов отмечена Государственной премией СССР. Применяют с целью повышения износостойкости поверхностей деталей машин и особенно для увеличения стойкости инструментов всех типов, используемых в различных отраслях промышленности при обработке металличных отраслях промышленности при обработке металлов резанием, вытяжке, прокатке, штамповке, прессолов резанием, вытяжке, прокатке, штамповке, прессовании, в том числе деталей из органических материалов, а также при формообразовании и вулканизации изделий из резины и каучука и т. п. Изнашивание трущихся поверхностей снижается от 2 до 40 раз (в зависимости от характера работы узла). Износостойкость режущих инструментов, инструментов для обработки металлов давлением повышается до 20 раз.

Технологический процесс эпиламирования. 1. Обезжиривание в хладоне 113, спирте, ацетоне, бензине или подобных растворителях. Детали или инструменты потружают в емкость с хладоном дибо тилательно проти-

гружают в емкость с хладоном, либо тщательно протирают тампоном, смоченным в растворителе. Механические примеси удаляют с поверхности до обезжиривания. 2. Сушка на воздухе 5—8 мин. 3. Эпиламирование. Детали погружают в эпиламирующий раствор на 5—7 мин при температуре окружающей среды. Раствор желательно периодически перемешивать. Емкость с раствором закрывают для предотвращения испарения растворителя. Состав можно наносить тампоном на обезжиренные по-Состав можно наносить тампоном на обезжиренные поверхности 2—3 раза. 4. Сушка эпиламированных деталей на воздухе 5—10 мин. При необходимости длительного хранения детали после эпиламирования покрывают слоем консервирующего смазочного материала. Во избежание улетучивания растворителя состав хранят при температуре не более 30 °С, вдали от нагревательных приборов и действия прямых солнечных лучей, в герметичной таре — бутылях, бочках, бидонах и т. п. Особых условий транспортирования раствора не требуется. Работы по обезжириванию хладоном 113 и обработке эпиламирующим составом следует проводить, соблюдая

меры безопасности, соответствующие требованиям, предъявляемым к работе с хладоном 113. Хладон 113 относится к малотоксичным соединениям 4-го класса опасности. Предельно допустимая концентрация хладона 113 в рабочей зоне производственных помещений — до 3000 мг/м³. Хладон 113 негорюч, невзрывоопасен. Под действием открытого огня разлагается с образованием высокотоксичных веществ, поэтому в помещении, где проводятся работы с хладоном 113 или эпиламирующими составами, запрещается курить и проводить работы с открытым огнем.

Упрочнение твердыми смазками. Стойкость режущих, волочильных, штамповых и других инструментов может быть увеличена покрытием их плотно прилегающими твердыми смазками, снижающими коэффициент трения между режущей кромкой инструмента и обрабатываемой деталью и улучшающими стружкообразование. На стабильность получаемых результатов существенное влияние оказывает геометрия различных инструментов, наличие или отсутствие СОЖ, давление СОЖ, метод нанесения покрытий, обрабатываемый материал. Состав покрытий на основе алюминиевого фосфата и трехокиси хрома, в которых содержатся субмикронные частицы дисульфида молибдена, приведен в табл. 15.

Водородный показатель составов 1 и 2 равен 1,5; плотность 1,37 и 1,22 соответственно. Отношение отвержденной смазки к связке для состава 1 составляет 3:2, для состава 2:3:1. Составы и покрытия из них характеризуются отсутствием взаимодействия с СОЖ, в частно-

15. Состав молибденовых твердых смазок для упрочнения инструментов

	Количество компонента, %			
Компоненты	1	2		
Раствор моноалюминиевого фосфата (52 %) Трехокись хрома Дисульфид молибдена Алкиловый феноло-полиглюколовый спирт Вода	24,7 1,3 20,0 0,4 53,6	12,35 0,65 20,0 0,1 66,6		

сти с горячим маслом; хорошими адгезионными свойствами к различным металлам; высокими абразивными износостойкостью и твердостью, высокой теплостойкостью.

Стойкость инструментов после покрытия твердой смазкой увеличивается в среднем в несколько раз: фрезы — 2,65; метчики — 2,76; сверла — 1,60; фрезы червячные — 1,31; пластины твердосплавные — 1,5; холодновысадочный инструмент — 3,6; вырубной инструмент — 2,0. Твердые смазки для инструментов должны обладать высокой прочностью при растяжении и скручивании, хорошей смачиваемостью. Специфические свойства алкилового полиглюколового спирта, используемого в качестве диспергирующего агента и поверхностно-активного вещества: жидкое неионное поверхностно-активное вещество; точка помутнения 33 °C; активный уровень 100 %, точка затвердения 5 °C; плотность 1,055 г/см³ (при 25 °C). Дисульфид молибдена как смазывающий пигмент имеет следующую характеристику: диаметр частиц 0,75 мкм; нерастворимость аммиака 2,0 %; водородное число тіп 3, тах 8; отсутствие абразивности; отсутствие коррозии к медной пластинке. Покрытия с содержанием 20—90 % дисульфида молибдена имеют минимальный коэффициент трения. Состав 1 применяют при работе инструментов с СОЖ, состав 2 — при работе без СОЖ. Влияние дисульфида молибдена на свойства покрытия приведено в табл. 16.

Инструмент перед нанесением покрытия твердой смазкой промывают растворителем и обезжиривают. Покрытие наносят кистью, окунанием или распылением. Перед

10.	блияние	дисульфида	молиодена	на	своиства	покрытия

Отношение			Услови:	я работы
смазка: связ- ка	Пористость	Смачиваемость	без СОЖ	с примене- нием СОЖ
9 1 4:1	Высокая Незначи- тельная	Пло ха я Прекрасная	Плохие Хорошие	Плохие Хорошие
3:1 1,5:1 0,25:1 0,11 1	» Het » »	Хорошая Отличная » »	Отличные Хорошие » Плохие	» Отличные Хорошие Плохие

нанесением и в процессе нанесения состав нужно тщательно перемешать. При любом методе нанесения толщина покрытия приближенно равна 0,005 мм. Возможно и более тонкое покрытие, если материал разжижен водой. Убеличение толщины покрытия максимально до 0,025 мм возможно при многослойном покрытии, при этом необходимо промежуточное просушивание. Рекомендуется просушивание 10 мин на воздухе или 2—3 мин при 60 °С. Покрытие при просушивании меняет цвет с темно-серого на светло-серый. Во время покрытия изделие должно иметь температуру 15—30 °С. Состав может быть нагрет и до 60—80 °С, если необходимо прочное многослойное покрытие. Для отвердения покрытия после нанесения его можно выдержать 1 ч при температуре 200—250 °С или 3 ч при минимальной температуре 180 °С. Для нанесения покрытия методом распыления используют обычные краскопульты. ные краскопульты.

сения покрытия методом распыления используют обычные краскопульты.

Твердая паста [пат. 51103 (СРР)] для нанесения на режущую кромку и переднюю поверхность режущих инструментов в зоне износа содержит (%): дисульфид молибдена 30—50; графит 2,0—10,0; сульфид сурьмы 0,5—2,5; органическую связку (парафин, пчелиный воск и т. п.) 37,5—67,5. В сосуде соответствующей вместимости расплавляют 525 г органической связки, добавляют 60 г графита и тщательно размешивают, после чего вводят 400 г дисульфида молибдена и 15 г сульфида сурьмы и перемешивают до полного затвердения. Из пасты вырезают столбики-карандаши толщиной 10 и длиной 80 мм. После выдержки в течение 24 ч при пониженной температуре карандаши закругляют с одного конца и погружением второго конца окрашивают краской на основе нитроцеллюлозы. Нанесение пасты на режущую кромку осуществляют, когда кромка чуть нагрета после заточки.

Использование твердых смазок при упрочнении стальных деталей механическими методами. При упрочнении деталей поверхностным пластическим деформированием возможно возникновение на поверхности различных дефектов: прижогов, схватывания материала инструмента и детали, поверхностного отпуска и др. Повышение износотойкости и контактной выносливости поверхности возможно предварительным нанесением твердой смазки [а. с. 791777 (СССР)]. Перед пластическим упрочнением, на-

пример, стальными щетками, вводится предварительная обработка, состоящая из 15-минутной выдержки детали в кипящем водном растворе, содержащем 20—30 г/л в кипящем водном растворе, содержащем 20—30 г/л боровольфрамовокислого кобальта, и последующего нагрева в масле, например, вазелиновом, при 160—180 °С в течение 50—60 мин. На поверхности образуется модифицированный слой, являющийся твердой смазкой, которая, снижая коэффициент трения, создает благоприятные условия для протекания пластической деформации в поверхностном слое при последующем упрочнении щетками, способствует повышению качества поверхности, увеличению контактной выносливости и износостойкости детали при ее дальнейшей эксплуатации.

Упрочнение методами лазерного воздействия

Лазерная закалка перспективна для изделий, долговечность которых лимитируется износостойкостью и сопротивлением усталости, особенно, если закалка другими методами затруднена вследствие сложности конфигурации детали и возможности ее значительного коробления. Поверхностное упрочнение лучом лазера характеризуется рядом особенностей: упрочнение локальных (по глубине и площади) объемов материала обрабатываемых деталей в местах их износа с твердостью, превышающей на 15—20 % и более твердость после термической обработки существующими способами; локальное упрочнение в металлических деталях поверхностей труднодоступных полостей, углублений и т. п., куда луч лазера может быть введен с помощью несложных оптических устройств; создание «пятнистого» поверхностного упрочнения знасоздание «пятнистого» поверхностного упрочнения значительных площадей деталей; получение при необходимости заданной микрошероховатости упрочненных поверхсти заданной микрошероховатости упрочненных поверхностей деталей; получение определенных физико-механических, химических и других свойств поверхностей обрабатываемых деталей путем их легирования различными элементами с помощью лазерного излучения; отсутствие деформаций обрабатываемых деталей, обусловленное локальностью термической обработки, что позволяет полностью исключить финишное шлифование; простота автоматизации процесса обработки лучом лазера по контуру, в том числе деталей сложной формы, определяемая бесконтактностью лазерного нагрева.

Применяется для повышения стойкости деталей штам-пов, пресс-форм и режущего инструмента и деталей, имс-ющих рабочие поверхности, доступные для обработки лучом лазера, в том числе с использованием оптических

и управляющих систем.

Упрочнению подвергают стали: углеродистые, мало-углеродистые и легированные У8А, У10А, 45, ХВГ, 9ХС и др.; высоколегированные Х12, Х12М, Х12Ф, ХВГ, ШХ15, Х, 5ХВ2С; низкоуглеродистые (цементованные) 20, 12ХН3А; хромистые коррозионно-стойкие 4Х13; бы-строрежущие Р18, Р12, Р5, Р6М5, Р9.

Поверхностной лазерной обработке подвергают инструмент, прошедший термическую обработку, окончательное шлифование и заточку.

Метод основан на использовании явления высокоскометод основан на использовании явления высокоскоростного разогрева металла под действием лазерного
луча до температур, превышающих температуру фазовых
превращений AC_1 , но ниже температуры плавления, и
последующего высокоскоростного охлаждения за счет
отвода тепла с поверхности в основную массу металла.
При обработке лазерным лучом, как и в случае обычной закалки, образуются мартенсит и остаточный аустенит.
Микротвердость в зоне обработки повышается с 650—
800 до 850—1100 Высокая тверлость стали после обработки

800 до 850—1100. Высокая твердость стали после обработки лучом лазера обусловлена образованием более мелкозернистого мартенсита в результате быстрого нагрева и охлаждения. Глубина упрочненной зоны достигает 0,2 мм. Лазерную обработку проводят в воздушной атмосфере и в атмосфере защитного газа аргона. Шероховатость после лазерной закалки не изменяется.

Средняя производительность термоупрочнения в аргоне до 500 мм²/мин, на воздухе до 800 мм²/мин. Лазерное

упрочнение обеспечивает повышение стойкости техно-логического инструмента в 2 раза и более. Критическими режимами лазерного упрочнения счи-таются те, при которых воздействие излучения оптического квантового генератора (лазера) не приводит к на-рушению шероховатости поверхности, а глубина упроч-ненного слоя максимальна. При лазерном воздействии в режиме свободной генерации глубина упрочненного слоя

 $z \approx \sqrt{\alpha \tau}$,

где α — коэффициент температуропроводности; т — дли-

где α — коэффициент температуропроводности; т — длительность импульса лазерного воздействия.

С уменьшением длительности импульса уменьшается глубина упрочненного слоя. Критическая энергия лазерной закалки уменьшается с уменьшением диаметра «пятна закалки». При этом наблюдается некоторое уменьшение глубины упрочненного слоя. В ряде практических случаев, например, для упрочнения вырубных пуансонов диаметром 2—3 мм, требуется проводить лазерное упрочнение при разных диаметрах «пятен закалки». Значения критической плотности энергии лазерного излучения (Е, Дж), глубины упрочненного слоя (z, мкм) некоторых марок сталей при разных диаметрах «пятен закалки», а также микротвердость до и после упрочнения приведены в табл. 17. в табл. 17.

в табл. 17.

Выбор критической энергии лазерного излучения при обработке с разным диаметром «пятна закалки» проводят следующим образом. При фиксированном диаметре «пятна закалки» выполняют лазерную термообработку поверхности исследуемых образцов при различной энергии излучения ОКГ. Та энергия, превышение которой приводит к нарушению шероховатости поверхности, считается критической. Лазерную закалку проводят в различных газовых средах, чаще в среде аргона, предохраняющего от обезуглероживания поверхность зоны лазерного воздействия. Для получения равномерного по глубине упрочненного слоя поверхности перед обработкой лазером детали подвергают травлению реактивом состава: хлорное

	17.	Режимы	лазерной	закалки	инструментальных	сталей
--	-----	--------	----------	---------	------------------	--------

			Е, Д	ж				z, M	км		ая	Ė
		Диаметр «пятна закалки»							исходная	после уп		
Сталь	2 mm	3 мм	3,6 мм	4 MM	4,5 мм	2 MM	3 MM	3,6 мм	4,0 MM	4,5 MM	НV ₁₀₀ исх	НV ₁₀₀ пос рочнения
У8 ХВГ 9ХС Х12М Р6М5	9 8 8 7,5 7	23 22 21 20 18	31 30 29 28 26	41 39 37 35 32	54 51 49 46 43	108 103 98 91 82	117 114 112 103 91	126 121 117 112 103	132 127 124 115 107	136 131 129 119 113	708 734 708 764 794	1070 976 1023 934 871

18.	Режимы	лазерной	закалки	инструментальных	сталей
на	установке	«Квант	-16»	-	

				Сталь			
Показатели режима	У8	¥10	9XC	хвг	ШХ15	X 12	X 12M
$E_{\rm a\; proh},\; \mbox{Дж/cm}^2 \ E_{\rm Bo3Д},\; \mbox{Дж/cm}^2 \ z_{\rm a\; proh},\; \mbox{мкм} \ z_{\rm Bo3Д},\; \mbox{мкм} \ HV_{10}.$	310 200 125 135 1030	300 190 120 130 1000	300 190 120 130 980	300 190 120 130 1000	300 190 120 130 980	280 180 105 115 960	280 180 105 115 960

железо 10 г; кислота соляная 15 см³, вода 15 см³. Затем упрочняемую деталь, имеющую ровный темно-серый цвет, устанавливают и фиксируют на столе механизма перемещения лазерной установки.

Значения оптимальной плотности энергии E, глубины z упрочненного слоя и микротвердости HV_{100} при лазерной закалке инструментальных сталей некоторых марок в

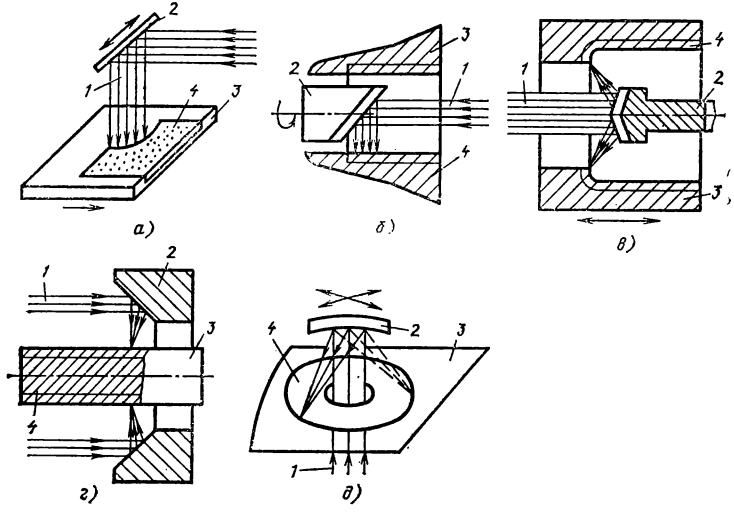


Рис. 3. Схемы управления перемещением лазерного луча в пространстве. Обработка плоскости (a), отверстия (b), внутреннего торца (a), наружного цилиндра (a), криволинейной поверхности с центральным отверстием (b):

^{1 —} световой поток; 2 — веркало; 3 — деталь; 4 — вона упрочнения

различных средах на установке «Квант-16» при площади пятна закалки 0,1 см² приведены в табл. 18. Плотность падающей энергии при лазерной закалке на воздухе меньше, чем в среде аргона. Уменьшение связано с тем, что нагрев металлов лазерным излучением на воздухе приводит к уменьшению коэффициента отражения света в результате дополнительного поглощения энергии образующейся окисной пленкой. Шероховатость поверхности после лазерной закалки в оптимальном режиме не ухудшается.

Лазерную закалку можно применять как окончательный вид обработки при изготовлении инструмента и деталей технологической оснастки для упрочнения рабочих поверхностей, подвергающихся интенсивному изнашиванию; для упрочнения протяженных кромок инструмента и деталей технологической оснастки; для упрочнения рабочих поверхностей, подвергающихся интенсивному изнашиванию. Для лазерного упрочнения протяженных кромок инструмента и деталей технологической оснастки применяют 50 %-ное перекрытие пятен закалки. определяют как отношение разности диаметра D обработки и шага S обработки к диаметру зоны лазерного воздействия:

$$K_{\pi} = \frac{D-S}{D}$$
.

Коэффициент перекрытия пятен закалки определяют как отношение шага S обработки к диаметру D зоны лазерного воздействия. Поперечное сечение зоны лазерного воздействия имеет форму сегмента. Глубина упрочненной зоны по диаметру пятна закалки изменяется от 0ДО z_{max} .

При 50 %-ном перекрытии пятен закалки глубина упрочненной зоны практически одинакова по всей длине упрочненного слоя. Дальнейшее увеличение коэффициента перекрытия «пятен» закалки нецелесообразно, так как уменьшается производительность обработки. Схема управления перемещением лазерного луча в пространстве при упрочняющей обработке приведена на рис. 3. Оптимальные режимы упрочнения типовых инструментальных ста-лей на установке «Квант-18» даны в табл. 19. Лазерное упрочнение спеллита. Ответственные детали, работающие в условиях повышенных и высоких давле-

19. Оптимальные режимы упрочнения инструментальных сталей на установке «Квант-18»

	Энергия излучения, Дж								
Сталь	Обработка в атмосфере при размерах пятна закалки, мм		Обработка в аргоне при размерах пятна закалки, мм		упро ного	бина очнен- слоя, им	Микро- твердость НV ₁₀₀		
					cor- ar- epe	бот-	÷	4-	
	D = 8	3×11	D=6	2×8	Обработ- ка в ат- мосфере	Обработ ка в ар- гоне	исход- ная	упроч- ненного слоя	
45 У8 ХВГ Х12М ШХ15	106 105 100 99 103	71 70 67 66 69	104 103 98 96 101	72 71 67 66 69	160 160 150 140 150	140 140 130 120 130	560 708 730 754 708	890 1023 976 976 934	

ний, агрессивных сред, газов и паров, отличающиеся малой площадью поверхности контакта, например, клапаны, распределители, седла и другие детали трубопроводной арматуры, изготовленные из высокохромистых аустенитных сталей, например 1X17H2, X18H10T, наплавляют кобальтовыми стеллитами. Различие в закономерностях изменения коэффициента линейного расширения исключает применение обычных видов термообработки, основанных на резком изменении температур (например, закалки), для повышения твердости, контактной прочности наплавленного материала. Последнее обстоятельство определило выбор лазерного излучения в качестве источника импульсного локального термического воздействия на наплавленный материал для его упрочнения. Наплавку стеллита ведут дуговым, кислородно-ацетиленовым или аргонодуговым методами. Наилучшее качество наплавленного стеллита достигается при аргонодуговой наплавке. Структура стеллита представляет собой твердый раствор на основе кобальта, расположенный на фоне эвтектики. Химический состав наплавленного стеллита (%): С 1,6—2,3; Si 1,5—2,5; Cr 26—32; Co 59—65; W 4—5; Fe остальное. Наплавку стеллита производят на детали, предварительно подогретые до 750—800 °C.

Наплавленные детали охлаждают медленно вместе с печью. Предварительный подогрев и замедленное охлаждение вызваны разностью коэффициентов линейного расширения наплавляемого металла и металла основы. Упрочненная зона образуется последовательными пятнами фокусирования лазерного облучения с перекрытием 0,75d (d — диаметр пятна), шириной 0,6 мм, расположенными по контактной поверхности детали (например, контактной окружности золотника трубопроводного клапана). Оптимальные режимы лазерного упрочнения стеллита на установке СЛС-10-1: напряжение накачки $U_{\rm H}=980$ В, что соответствует энергии импульса E=8 Дж, длительность импульса $\tau=4$ мс; количество импульсов в фокальном пятне n=1—8, фокусное расстояние фокусирующей оптики F=37 мм, смещение поверхности образца относительно фокальной плоскости $\Delta F=0,05\div0,1$ мм. При этих режимах обработки диаметр зоны проплавления составляет 0,4—0,6 мм. Лазерный нагрев приводит к повышению микротвердости на 210—240 единиц по сравнению с исходной структурой и увеличению твердости материала до HRC 49—50 при исходной твердости HRC 40.

НЯС 40.

Комплексное лазерное и криогенное упрочнение. Выполняется последовательным лазерным нагревом (закалкой) упрочняемой поверхности и последующим охлаждением всей детали в среде жидкого азота или иного криоагента, обеспечивающего охлаждение стали данной марки до температуры ниже точки мартенситного превращения. При криогенной обработке уменьшается содержание аустенита в поверхностном слое, что приводит к повышению микротвердости поверхностного слоя и уменьшению изнашивания его по сравнению с лазерной закалкой. При комплексном применении лазерной закалки и криогенной обработки не происходит растрескивания образцов после извлечения из жидкого азота, а также в процессе испытаний. Применение криогенной обработки после лазерной закалки приводит к дополнительному повышению твердости и износостойкости поверхностного слоя инструментальных сталей, а также к повышению стойкости инструмента для резания и давления, изготовленного из них. Комплексную лазерную закалку и криогенную обработку выполняют по оптимальным режимам,

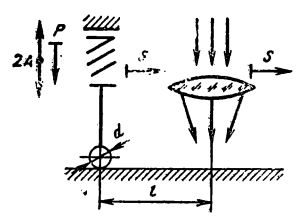


Рис. 4. Схема процесса комплексного лазерного и ультразвукового упрочнения

описанным выше. Примеры изменения микротвердости не-

20. Микротвердость инструментальной стали после комплексного лазерно-криогенного упрочнения

	Микротвердость <i>HV</i> ₁₀ . после упрочнения							
Сталь	Исходная (закалка— отпуск)	Лазер- ная закалка	Лазерная закалка + + крноген- ная обра- ботка					
У12 ХВГ Р6М5	734 734 834	976 976 934	1070 1113 1073					

которых инструментальных сталей, термообработанных по обычной схеме (закалка—отпуск), после дополнительного упрочнения лазером и комплексной лазернокриогенной обработки приведены в табл. 20.

Комплексное лазерное и ультразвуковое упрочнение. Выполняется локальным нагревом лазерным лучом зоны обработки и ее последующим или совмещенным ультразвуковым упрочнением. Объединение методов позволяет получать высокие скорости местного нагрева (10^{10} град/с), охлаждения (10^6-10^8 град/с) и деформации ($\epsilon=1400~i/c$). Схема процесса показана на рис. 4.

Совместное действие температуры, давления и скоростного охлаждения приводит к возникновению мелкодисперсной структуры («белого слоя») в поверхностном слое металла, отличающейся высокой микротвердостью. Так, если микротвердость после ультразвуковой обработки достигнет HV_{100} 400—450, после лазерной HV_{100} 700—800, лазерной и последующей ультразвуковой HV_{100} 800—950, то совмещение методов позволяет получить HV_{100} 1200—1300 при исходной микротвердости HV_{100} 250.

Сочетание высокой энергии в импульсе и скоростной деформации приводит к снижению шероховатости поверхности. С уменьшением расстояния $l\ (l=1,6\,$ мм) шероховатость поверхности снижается. Например, при исходной шероховатости $Ra=0,63\,$ мкм значения шероховатости равны: после лазерной обработки (на указанных ниже режимах) $Ra=2,5\,$ мкм, последовательной ультразвуковой и лазерной $Ra=1\,$ мкм, совмещенной $Ra=0,25\,$ мкм.

Комплексное лазерное и ультразвуковое упрочнение можно выполнить на следующих режимах: энергия импульса $E=5\div10$ Дж; длительность импульса $\tau=0,4\div7$ мс, диаметр пятна закалки 2-3 мм; частота механических колебаний f=20 кГц, статическое усилие $P=10\div200$ H, диаметр шара $d=5\div10$ мм, подача S=0,1 мм/дв. ход (0,1 мм/об); расстояние между центрами пятна контакта и пятна закалки $l=1,6\div2,8$ мм; скорость вращения (для тел вращения) $v=35\div55$ м/мин; смещение инструмента $2A=25\div30$ мкм; толщина упрочненной зоны (с зоной термического влияния) до 0,25-0,3 мм.

УПРОЧНЕНИЕ МЕТОДАМИ ВОЗДЕЙСТВИЯ МАГНИТНЫМ ПОЛЕМ

В процессе резания возникает высокая температура, и существует постоянный контакт между инструментом и обрабатываемым материалом, каждый из которых обладает специфическими физико-механическими свойствами. Фактически инструмент и обрабатываемый материал, взаимодействуя в процессе резания, образуют термопару, состоящую из взаимно перемещающихся разнородных элементов. Разность температур в зоне резания и вне ее создает условия для возникновения электрических потенциалов на разноименных концах инструмента и заготовки. ТермоЭДС оказывает влияние на процесс резания и эксплуатационную стойкость инструмента, особенно при обработке стали невысокой твердости, с небольшим содержанием углерода и легирующих примесей.

содержанием углерода и легирующих примесей. Процессы, связанные с возбуждением термоЭДС в зоне резания, еще достаточно не изучены. Их проявления в общем виде сводятся к следующему.

1. В зоне резания возникает эрозия металлов, т. е. разрушение их поверхностей импульсами слабых электрических разрядов, подобно процессу, действующему в электроэрозионных станках для обработки металлов. В зависимости от полярности термических токов в цепи инструмент—станок—заготовка эрозия в большей или меньшей степени разрушает лезвие и поверхность инструмента, создает множественные очаги концентрации напряжений и развития разрушений.

- 2. В зоне резания возникает кавитация газов и паров, вызывающая разрушение поверхности инструментов взрывами весьма малых парогазовых пузырьков, образующихся при испарении жидкостей и материалов, попавших в зону. Совокупные действия эрозии и кавитации усиливают разрушительное влияние эрозии, поскольку кавитационные вихри дополнительно выполняют роль рабочей жидкости в эрозионном процессе.

 3. Под влиянием термоЭДС в зоне резания возникает электромагнитная индукция, характеризующаяся напряженностью магнитного поля. Поскольку термоЭДС облалает постоянной направленностью. То и индушируемое
- 3. Под влиянием термоЭДС в зоне резания возникает электромагнитная индукция, характеризующаяся напряженностью магнитного поля. Поскольку термоЭДС обладает постоянной направленностью, то и индуцируемое ею магнитное поле также имеет постоянную полярность. Магнитная и электрическая полярность определяются в каждом конкретном случае сочетанием свойств материалов инструмента и заготовки, влиянием внешних магнитных, электрических и тепловых полей, действием ряда других факторов. Однако при любой полярности влияние магнитного поля приводит к накапливанию пылевидных микрочастиц металла в зоне резания, их намагничиванию и поляризации. Поляризованные частицы металла налипают на поверхности инструмента и заготовки, заряженные обратной полярностью, и действуют как абразивные микропорошки. Они создают в зоне резания эффект абразивного изнашивания и разрушения. Влияние этого эффекта распространяется на металл заготовки и инструмента. Его проявления на поверхности заготовки совпадают с целью процесса резания. Напротив, эффект налипания микрочастиц на лезвие инструмента приводит к увеличению силы трения и к абразивному изнашиванию его поверхности. В результате стойкость инструмента снижается.
- абразивному изнашиванию его поверхности. В результате стойкость инструмента снижается.

 4. Сочетание процессов эрозии, кавитации и абразивного изнашивания ухудшает условия отвода теплоты из зоны резания. Возникает дополнительное количество теплоты. Увеличивается разность температур на концах термопары инструмент—заготовка. Соответственно растет разность потенциалов и значение термоЭДС. Возрастает напряженность индуцированного ею магнитного поля. Усиливаются условия для появления и действия эрозии, кавитации и абразивного налипания. Возрастает сила их совокупного действия на контактируемые по-

верхности. Таким образом, явления, возникающие в зоне резания в результате влияния магнитного поля, вызывают рост напряженности этого поля, что, в свою очередь, усиливает разрушительную силу описанных выше процессов. Следовательно, эффект разрушения лезвия инструмента под действием индуцированного магнитного поля постоянно усиливается. Развиваясь по восходящей кривой, он достигает максимального значения, характеризующегося точкой катастрофического разрушения, т. е. моментом выхода инструмента из строя.

Явления, подобные описанным, в той или иной сте-

Явления, подобные описанным, в той или иной степени возникают не только в паре инструмент—заготовка, но и в любой трущейся паре металлических деталей. Нельзя утверждать, что эти явления служат единственной или преобладающей причиной разрушения поверхностей инструмента или детали при резании металла или при работе трущейся пары. Однако они оказывают существенное влияние на скорость и характер протекания таких процессов.

таких процессов.

Защиту металлических поверхностей от действия термоЭДС выполняют для их упрочнения и увеличения эксплуатационной стойкости инструмента. Наиболее часто используют методы разрыва цепи термопары или компенсации термоЭДС. Последний сводится к тому, что в зону
контакта инструмента с деталью от постороннего источника тока вводят электродвижущую силу, полярность
которой противоположна, а величина равна соответственно
полярности и величине термоЭДС, возникающей в зоне
резания.

резания.
 Разрыв цепи термопары осуществляют электроизоляцией инструмента или одной из трущихся поверхностей.
Электроизоляцию наносят покрытием, напылением или
окунанием непосредственно на изолируемую поверхность.
При возможно малой толщине слоя покрытие должно
обеспечить сохранение жесткости системы станок—приспособление—инструмент—деталь и высокое сопротивление прохождению малых электрических токов. Сопротивление изолирующего слоя должно быть не менее
3 МОм, прочность на сдвиг не менее 20 МПа. Слой должен
быть долговечным и не хрупким. В наибольшей степени
этим требованиям отвечают эпоксидные клеи K-153,
фенольно-каучуковый клей ВК-32-200 и герметик (эла-

стомер) марки ГЭН-150, представляющий собой продукт смешивания нитрильного каучука СКН-40 со смелой типа ВДУ Можно использовать фенольно-каучуковые клеи ВК-3, ВК-4, фенольно-поливинилацеталевый клей БФ-2, полиуретановый лак горячего отверждения УЛ-1, бакелитовый лак или шеллак. Лучшими качествами для указанных целей обладает герметик ГЭН-150. В завиуказанных целей обладает герметик ГЭН-150. В зависимости от конструкции и формы поверхности, а также требуемой точности обработки толщину покрытия выполняют в пределах 20—80 мкм. Наилучшие результаты достигают окунанием в ванну. Изолируемую поверхность перед окунанием или напылением следует очистить от забоин, заусенцев, следов коррозии и остатков прежнего электроизоляционного покрытия. Перед нанесением покрытия поверхность тщательно обезжиривают и сушат. Места, не требующие покрытия, смачивают любым маслом или пластичным смазочным материалом либо закленвают бумагой. Для получения равномерного слоя покрытия инструмент или деталь следует медленно вращать, а плоскую поверхность перемещать возвратно-поступательно. Для сушки покрытия инструмент или деталь нужно подвесить. После полного отверждения (полимеризации) слоя на него наносят следующий до получения нужной толщины. нужной толщины.

нужной толщины.

Электроизоляцию можно осуществить с помощью переходных установочных элементов—втулок, подкладок, призм и т. п., изготовленных из электроизоляционного материала. Такие элементы можно изготовить достаточно точно, что позволяет увеличить точность обработки инструментом или сопряжение деталей.

Для эффективного разрыва цепи термоЭДС инструменты или шпиндели станков или инструментальные оправки изготовляют клеесборными, используя для этих целей клеи, перечисленные выше. Однако все виды механической защиты напылением, смачиванием или с использованием установочных и клеесборных элементов обланической защиты напылением, смачиванием или с исполь-зованием установочных и клеесборных элементов обла-дают общими существенными недостатками. Они недол-говечны, не обеспечивают требуемую точность сопряже-ния, сравнительно трудоемки в изготовлении. Исполь-зование установочных элементов, кроме того, связано с необходимостью изготовления и большой номенкла-турой их типоразмеров, что требует организации

производства, учета, хранения, реставрации и т. п. Процесс компенсации термоЭДС можно упростить la. c. 742037 (СССР) l. Предварительно размагниченный режущий инструмент или деталь намагничивают так, чтобы полярность электродвижущей силы электромагнит-ной индукции, возникающей при относительном пере-мещении намагниченного инструмента и обрабатываем й детали, была противоположна полярности термоЭДС, а значение остаточной магнитной индукции выбирают из условия возможного равенства ЭДС индукции и термо-ЭДС.

Способ основан на явлении возникновения электродвижущей силы индукции при перемещении электропроводящих тел в магнитном поле. В частности, при вращении намагниченного инсгрумента возникает ЭДС униполярной индукции, а при вращении детали в магнитном поле инструмента ЭДС электромагнитной индукции, которая может быть рассчитана по формуле

$$U = \frac{\omega R^2}{2} Bd,$$

где U — ЭДС индукции, B; ω — угловая скорость инструмента или детали, рад/с; R — радиус инструмента или детали, \underline{M} ; Bd — остаточная магнитная индукция инструмента, Т.

Исходя из значения термоЭДС, режима механической обработки и размера инструмента, значение остаточной индукции, необходимое для компенсации термоЭДС, рас-

считывают по формуле

$$Bd = \frac{2E}{\omega R^2},$$

где E — термоЭДС, B; ω — угловая скорость инструмента или детали, рад/с; R — радиус инструмента или детали, м. Используя зависимость Bd=f(H) для конкретного инструмента, по рассчитанному значению остаточной индукции определяют напряженность H необходимого намагничивающего поля. Расчетные значения напряженнамагничивающего поля следует экспериментально проверять сравнением стойкости инструментов—образцов, обработанных при различных полярности поля и времени выдержки.

При обработке углеродистой стали намагниченными резцами из быстрорежущей стали лучшие результаты достигаются инструментами, режущая кромка которых достигаются инструментами, режущая кромка которых является северным полюсом магнита. Увеличение тока намагничивания, а следовательно, степени намагниченности до предела магнитного насыщения, приводит к возрастанию стойкости резцов. Влияние намагничивания на изнашивание резцов особенно заметно при работе с малыми значениями подачи (до 0,14 мм/об) и скорости резания до 15 м/мин. Намагничивающей обработке подвергают стальные режущие инструменты: резцы, сверла, развертки, метчики, плашки и др., а также ножи, матрицы и пуансоны разделительных штампов для холодной штамповки повки.

УПРОЧНЕНИЕ МЕТОДАМИ НАПЛАВКИ ЛЕГИРУЮЩИМИ МЕТАЛЛАМИ

Выполняют для увеличения износостойкости, жаропрочности и эксплуатационной стойкости поверхностей деталей, работающих в условиях больших знакопеременных нагрузок, высоких температур и давлений в абразивных и агрессивных средах, а также в целях замены дефицитных и дорогостоящих металлов.

Детали, подлежащие наплавке, тщательно очищают от грязи, масла, коррозии и краски. Если технологиче-

от грязи, масла, коррозии и краски. Если технологическим процессом наплавки предусмотрен предварительный подогрев, экономически целесообразно сочетать с ним очистительный отжиг, обеспечивающий быстрое выгорание масла не только с поверхности детали, но и из пор, раковин и трещин. После отжига окислы, образовавшиеся на поверхности детали, удаляют металлической щеткой. Наплавляют металл на очищенную поверхность. Канавки, пазы и отверстия на поверхности, которые необходимо сохранить, заделывают медными, графитовыми или угольными вставками. Ненаплавляемые поверхности закрывают сухим или мокрым асбестом. На ненаплавляемых переходных плоскостях и кромках делают фаски либо канавки шириной не более 15—16 мм и глубиной не более 6—8 мм по форме, показанной на рис. 5. Детали из легированных и конструкционных сталей, содержащих более 0,3 % углерода, перед наплавкой подогревают. Для деталей небольших размеров доста-





2

Рис. 5. Форма разделки фасек под наплавку:

а — открытая; б — закрытая

Рис. 6. Формы, применяемые при наплавке ванным способом:

1 — графитовые разборные формы; 2 — наплавляемая деталь; 3 — наплавленный металл

точно подогреть только участок начала наплавки

до температуры, устанавливаемой в зависимости от марки стали и электродов. Штампы для холодной листовой штамповки, холодной и горячей обрезки, наплавляемые электродами ЭН-60M, подогревают до 300-400 °C, молотовые и высадочные формообразующие штампы до 400—500 °C. Прошивные, калибровочные пуансоны, матрицы прессования, наплавляемые электродами ОЗН-1, ОЗН-3, подогревают до температуры 400—500°С, а наплавляемые электродами УОНИ-13/85 — до 300—400°С. Все закаленные детали перед наплавкой необходимо подогревать. Чугунные детали наплавляют без подогрева. Предварительный подогрев деталей проводят в печах, индукторах. Допускается местный подогрев газопламенными горелками. Рекомендации по предварительному подогреву приведены на с. 250. Наплавку необходимо выполнять непрерывно, так чтобы температура подогрева деталей не снижалась более чем на 100 °C. При необходимости допускается повторный общий или местный подогрев. Отдельные валики наплавляют рассредоточенно обратноступенчатым способом или «горкой». Толщина многослойной наплавки может быть 3—12 мм, количество слоев в зависимости от марки применяемых электродов: ОЗН-1 1—3 слоя, ОЗШ-1 1—5 слоев, ЭН-60M 2—5 слоев, ОЗН-3 1-3 слоя. Наплавку больших объемов металла проводят ванным способом на постоянных режимах тока с применением медных и графитовых форм (рис. 6), в результате чего значительно повышается качество наплавки, **у**величивается ее производительность именьшается коробление детали.

При многослойной наплавке наиболее ответственных мест в штампах, особенно молотовых, наплавленные ва-

21. Условия наплавки стали в зависимости от толщины наплавляемого слоя

Толщина наплав-	3	словия наплавки	
ляемого слоя, мм	Диаметр электрода, мм	Число слоев наплавки	Сила тока,
До 1,5 » 5 Св. 5	3 4—5 5—6	1 1—2 2 и более	80—100 130—180 180—240

22. Режимы наплавки стали под флюсом

			·				
Сталь	Проволока		Диаметр проволоки, мм		Флюс		Сила тока,
30XFCA 3X2B8 4XHB 4XHB, 3X2HB	Св-18ХГСА ПП-2Х3В10 ПП-3Х2В8 ПП-5Х4В3Ф	I-2X3B10ГТ I-3X2B8		-4,0 -2,6 -3,6 -2,6	AH-348A AH-348A AH-20 AH-200		300—320 До 220 240—260 280—300
Напряже- ние, В	Скорость, м/ч	Шаг	`, мм	п элен	корость одачи стродной олоки, м/ч		Вылет электрода, мм
27—29 До 28 26—28 28—30	35 19—22 30 25	4- 5-	-6 -5 -6 3	7'	153 7—90 156 77		25—30 До 20 20—25 20—25

23. Зависимость режима автоматической наплавки стали под флюсом от толщины наплавленного слоя

Толщина наплав- ки, мм	Диаметр электродной проволоки, мм	Сила тока, А	Скорость подачи электродной проволоки, м/ч	Скорость паплав- ки, м/ч	Напря- жение на дуге, В
2—3	2	160—220	101—12	20—25	30—32
3—4	2	340—350	191	25	32—34
4—5	3	360—460	91,5	20—25	32—34
5—6	5	650—700	191—256	24—30	34—36

24. Режимы электрошлаковой наплавки стали проволочными электродами

Толщина наплав- ляемой детали, мм	Сила тока на один электрод, А		Напря- жение в ванне, В			Нисло элек- оодов, шт.	Диаметр электро- да, мм		Расстоя- ние между электро- дами, мм	Скорость попереч- ного движе- ния элек- тродов, м/ч
30 70 100 150 200 250 300 350 450	60 45 50 40	350—370 650 600—610 450—500 550 500—350 400—150 400—150 200		32—34 47 42—16 44—50 46—18 50—55 46—48 46—48 26—28		1 1 2 2 2 2 2 2 3 3 9	2,5 2,5 2,5 3 3 3 3 3		 4550 65 90 125 110 110 50	31 26—32 26—31 36 31 31—36 31—36
Скорость подачи электрода, м/ч		Выдеря кау по зунов, с	пол- Зазор,			Скорость наплавки, м/ч		Глубина шлаковой ванны, мм		Сухой вылет, мм
172 371—100 300 220—240 250 230—250 200—220 60—80		5 4—6 5 5 5 5 5 5		30 26—30 24—27 25—28 32 28—32 30 30—33 30—33		0,9—1,0 1,0—1,0 1,6 0,8—0,9 0,5 0,4—0,5 0,35 0,30 0,60		20—25 60—65 50—70 40—50 50 45—50 45—50 45—50 40—45		40—45 90—95 60—80 60—70 60—70 60—70 60—70 60—70 50—70

лики проковывают непосредственно после наплавки отдельных валиков в горячем (по возможности пластическом) состоянии ручным пневматическим молотом. При послойной наплавке отдельные валики тщательно очищают от шлака и брызг. Наплавку ведут на постоянном токе обратной полярности короткой дугой и с неглубоким проплавлением в нижнем и вертикальном положениях.

Чугунные детали наплавляют рассредоточенно, медленно, не допуская перегрева. Многослойные наплавки (более трех слоев) для чугуна не рекомендуются. Лучшее качество наплавки получают при ширине валика, равной 2,5 диаметра электрода. Валики накладывают так, чтобы

каждый последующий перекрывал предыдущий на $^{1/}_{2}$ — $^{1/}_{3}$ ширины. Припуск на механическую обработку после наплавки должен составлять 2—3 мм. Необходимо сленаплавки должен составлять 2-3 мм. Необходимо следить, чтобы впадины между валиками находились выше линии обработки поверхности после наплавки. Соотношения между толщиной слоя наплавки, диаметром электрода, числом слоев в наплавке и силой тока приведены в табл. 21; режимы автоматической наплавки под флюсом в табл. 22 и 23; режимы электрошлаковой наплавки проволочными электродами в табл. 24. Силу тока при ручной дуговой сварке определяют по формуле $I=Kd_{\mathfrak{n}\mathfrak{n}}$, где I — ток наплавки, A; K — коэффициент, равный 35—40; $d_{\mathfrak{n}\mathfrak{n}}$ — диаметр электрода, мм. Наплавленные детали, которые могут быть обработаны абразивами, сразу после наплавки подвергают отпуску в течение 1—2 ч для снятия внутренних напряжений. Детали, рабочие кромки и поверхности которых необходимо обработать режущим инструментом, после наплавки отжигают, а после механической обработки закаливают и отпускают.

ливают и отпускают.

ливают и отпускают.

Упрочнение и восстановление малогабаритных вырубных, прошивных и разделительных штампов со сложной гравюрой рабочей части методом наплавки дисперсионнотвердеющими сталями. Обеспечивает увеличение стойкости в 3—6 раз по сравнению со стойкостью термически обработанного ненаплавленного инструмента. Выполняют плавящимися электродами типа ОЗИ-4, ОЗИ-5, ХАДИМ-1. Тип наплавленного металла — Х5М5В6К15Ф (электрод ОЗИ-4), Х2М10В11К18Ф (электрод ОЗИ-5), 5Х12В8МФ (электрод ХАЛИМ-1) (электрод ХАДИМ-1).

(электрод ХАДИМ-1).
После наплавки получают металл с низкой твердостью, обычно не превышающей HRC 30—40, что позволяет производить механическую обработку обычными резцами, фрезами, сверлами. После окончательной механической обработки наплавленные штампы подвергают нагреву при температурах, обеспечивающих развитие процессов дисперсионного твердения в стандартных термических печах.

При нагреве во всем объеме наплавленного металла выделяются интерметаллидные упрочняющие фазы, что вызывает повышение твердости до требуемого уровня: HRC 49—56 для штампов горячего и HRC 60—64 для

штампов холодного деформирования. В процессе эксплуатации твердость наплавленного металла фактически не изменяется, что обусловливает увеличение стойкости штампов.

Технологический процесс изготовления штампов с применением наплавки предусматривает последовательное выполнение следующих операций: предварительная механическая обработка детали по контуру с

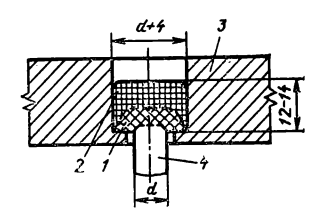


Рис. 7. Разъемная форма для наплавки торца пуансона:

1 — зона смешения наплавленного и основного металлов; 2 — наплавленный металл; 3 — медные полуформы; 4 — рабочая часть пуансона

припуском 0,20—0,23 мм под окончательную механическую обработку; термическая обработка по режимам, рекомендованным для применяемых марок сталей, для обеспечения твердости основного металла в пределах HRC 49—54; наплавка слоя высотой 12—14 мм (например, по торцу рабочей части пуансона) с припуском под механическую обработку по периметру наплавленного слоя до 2 мм; предварительная механическая обработка наплавленного слоя с припуском под окончательную механическую обработку; окончательная механическая обработка наплавленного слоя с припуском под окончательную механическую обработку; окончательная механическая обработка по всему контуру детали.

Пример. Пуансоны, изготовленные из стали 6 XB2C для горячей прошивки круглых (диаметром 13,4—17,5 мм) и квадратных (сечением 13,4 × 13,4 мм) отверстий в заготовках толщиной 28 мм, наплавляют электродами диаметром 4 мм с защитно-легирующим покрытием, обеспечивающим получение наплавленного металла X2H8M12BФ. Сила сварочного тока 120—140 А, напряжение дуги 27—30 В. Наплавку ведут короткой дугой обратной полярности.

Рабочую часть заготовок пуансонов выполняют на 10 мм короче, что предотвращает смешение основного и наплавленного металла в зоне рабочего торца пуансона.

Наплавку выполняют в составных медных формах (рис. 7). Дальнейшую механическую обработку осуществляют режущим инструментом, армированным твердосплавными пластинами.

Тип наплав- ленного материала	Диаметр элек- трода, мм	Напря- жение на дуге, В	Сварочный ток, А	Скорость подачи элек- тродной проволоки, м/ч	Число наплав- ляемых слоев
ПП-АН 170	3,2	30—40	320—380	158	3
ИН-1	5	24—28	150—180		4

25. Режимы наплавки порошковой проволокой и сложнолегированными электродами

Упрочнение и восстановление аргонодуговой наплавкой рабочих поверхностей сложных фасонных геометрических фигур штампов, валков, пресс-форм, пресс-матриц и подобных инструментов для горячего прессования, изготовляемых из сталей типа 3X2ВвФ. Восстанавливаемый и упрочняемый инструмент предварительно очищают от загрязнений в пескоструйной камере. Глубокие трещины разделывают. Трещины глубиной до 2 мм могут быть оплавлены аргонодуговой горелкой без присадочного материала. Перед наплавкой и оплавлением инструмент, например, из стали 3X2ВвФ, нагревают в электропечи до 750—800 °С. Режим наплавки: сварочный ток 100 A, полярность прямая, расход аргона 5—10 л/мин. Присадочный материал: наплавочная проволока диаметром 3 мм из инструментальной стали мартенситно-карбидного класса типа 65X3В10МФГТ.

Способ позволяет получить беспористый слой износостойкого материала, сократить трудоемкость слесарнодоводочных работ, повысить стойкость инструмента.

Наплавка порошковыми проволоками и легированными электродами в ряде случаев позволяет заменить инструментальные стали, например, 5XB2C, P6M5 конструкционной сталью Ст3 и многократно восстановить изношенные детали.

Режимы наплавки приведены в табл. 25. Наплавку порошковой проволокой ПП-АН 170 осуществляют на полуавтомате A-765.

Заготовки перед наплавкой подогревают до 300—350 °C, а после наплавки подвергают высокому отпуску при 650 °C в течение 2 ч для снятия внутренних напря-

Тип наплавленного	Химический состав наплавленного металла, %								
материала	С	Mn	Si		Cr	w			
ПП-АН 170 ИН-1	0,5—0,7 0,3—0,4	0,4—0,6	0,4—0 0,6—0	0,5	18—22 ,1—2,4	2,5—2,9 6,8—8,2			
Тип наплавленного	Химический состав наплавленного металла, % Твердость <i>HRC</i> наплавленного								
материала	ν	Ti	s	P		металла			
ПП-АН 170 ИН-1	0,2—0,3	0,2—0,4	0,04 0,04	0,04 0,04	5 5	4—58 2—54			

26. Химический состав металла, наплавленного порошковой проволокой и сложнолегированными электродами

жений и термофиксации размеров. Наплавленный металл обрабатывают абразивным инструментом.

Химический состав наплавленного металла приведен в табл. 26. Срок службы наплавленных ножей увеличивается в 2—2,5 раза по сравнению с ножами из инструментальных сталей.

Восстановление изношенных поверхностей деталей, работающих при умеренной ударной нагрузке при добыче и переработке минералов. Перед наплавкой на восстанавливаемую поверхность детали наносят слой толщиной 6 мм порошковой смеси угольно-металлических порошков С—Сг—Fe, С—Сг—В—Fe, С—Сг—W—Fe на связующем — натриевой карбон-метил-целлюлозе. Высушивают в течение 8 ч при нормальной температуре. Наплавку производят угольным электродом диаметром 10 мм при отрицательной полярности сварочным током 250 А.

Повышение стойкости режущих инструментов из быстрорежущих сталей. На переднюю поверхность резца вблизи вершины главной режущей кромки наносят порошки карбидов вольфрама, титана, тантала и других металлов или, например, окислов, нитридов, боридов, в том числе кубического нитрида бора зернистостью 10—300 мкм, с последующим оплавлением их при помощи источников высоких энергий: плазменного луча, элек-

тронного луча и т. д. диаметром 0,03—0,1 мм и образованием ванночек расплава. Наилучшие результаты дает расположение ванночек расплавленных составов на расстоянии 0,3—1 мм от вершины резца. Сравнение с обычным инструментом из быстрорежущей стали показало, что резец, на который наплавлен карбид вольфрама, имеет более высокую стойкость: при высоких скоростях — в 25 раз, при средних — в 8 раз, при низких — в 3 раза. Резцы, на которые нанесен карбид титана в тантале, имеют стойкость в 2 раза большую, чем резцы с карбидом вольфрама; кубический нитрид бора еще больше повышает стойкость. Особое значение имеет необходимость расположения ванночек расплава на расстоянии 0,3—1 мм от

вольфрама; кубический нитрид бора еще больше повышает стойкость. Особое значение имеет необходимость расположения ванночек расплава на расстоянии 0,3—1 мм от вершины резца. Способ повышения стойкости инструмента прост и дает значительный экономический эффект.

Метод скоростной наплавки твердых сплавов. Подлежащий наплавке участок детали включают в цепь тока высокой частоты (50—10 000 кГц). Одновременно в нем индуцируют ток индуктором. За счет прямого и индуцированного тока поверхностный слой участка детали быстро (до 3 с) нагревается до расплавления, после чего в него засыпают порошок твердого сплава карбида вольфрама, окиси алюминия, нитрида кремния, карбида кремния и др. зернистостью менее 0,25 мм. Находясь в жидком металле, порошок после отверждения металла прочно в нем удерживается и образует износостойкое покрытие. Для наплавки детали на заданной длине индуктор с контактами плавно перемещают вдоль детали, непрерывно посыпая порошком расплавленную часть слоя. В результате получают равномерный слой покрытия. Высокая скорость наплавки достигается за счет большой плотности энергии (например, 20 кВт/см²) на небольшом участке поверхности детали. Расстояние от проводниканинуктора до поверхности наплавляемой детали зависит от частоты тока и толщины нагреваемого слоя и равно 0,05—1 мм. Индукторный проводник, обычно выполняемый из медной трубки, охлаждается изнутри водой.

Наплавка хромоникелевого покрытия с включениями распределенных карбидов вольфрама. Область применения — кондукторные втулки, клапанные уплотнения, распылители и другие детали из инструментальной или легированной стали. Поверхность очищенной детали покры-

вают слоем консистентной густой смазки, состоящей из клея, порошка Ni—Cr-сплава с раствором борной кислоты в дистиллированной воде. Размер зерен порошка не должен превышать нескольких мкм. Влажный клей посыпают WC-порошком и высушивают при 176—204 °С до полного выпаривания влаги. После охлаждения детали до нормальной температуры вновь наносят слой клея описанного состава, а на влажный клей — слой Ni—Crдо нормальной температуры вновь наносят слой клея описанного состава, а на влажный клей — слой Ni—Сгпорошка. Деталь с нанесенным покрытием толщиной 0,15—0,20 мм высушивают при 176—204 °С до полного выпаривания влаги; охлаждают до нормальной температуры и помещают в вакуумную печь с температурой 1040—1097 °С на 3—5 мин. В печи порошок Ni—Сг-сплава плавится и заполняет промежутки между WC-зернами. Заключительными операциями являются закалка и отпуск детали. Затем поверхность детали подвергают механической обработке. Окончательная толщина покрытия составляет приблизительно 0,08 мм. Стальная деталь с покрытием по твердости не уступает детали, целиком изготовленной из WC, и в то же время сохраняет коэффициент расширения, характерный для стали, что позволяет избежать хрупкости, присущей WC.

Поверхностное легирование крупногабаритных деталей (типа прокатных валков) методом локальной электроконтактной наплавки порошками из легирующих элементов можно выполнить способом [а. с. 865974 (СССР)], по которому поверхность, подлежащую легированию, вначале предварительно обрабатывают резанием — точением или шлифованием — с заданными параметрами шероховатости и необходимым объемом впадин, образованных микронеровностями. В полученные впадины насыпают порошок из легирующих элементов (хром, вольфрам, молибден и т. д.) и одновременно проводят обработку поверхности изделия давящим инструментом, например, обкатывают твердосплавным роликом. Через контакт давящего инструмента с изделием пропускают электрический ток низкого напряжения.

ческий ток низкого напряжения.

Изменением шероховатости (величины Rz) поверхности, т. е. размеров (объема) впадин микронеровностей, образуемых предварительной обработкой резанием, достигают заданной степени (насыщенности) легирования поверхностного слоя и расхода легирующих элементов.

Другими словами, возможно управление процессом поверхностного легирования.

Локальный нагрев изделия совместно с порошком легирующих элементов только в зоне контакта давящего инструмента с изделием происходит без наличия окисляющей среды. Получается гладкая и чистая, без окислов и окалины, упрочненная поверхность с плотным поверхностным слоем, обладающим повышенной термической и механической стойкостью.

механической стойкостью.

Пример. Легирование рабочей поверхности прокатного валка осуществляют на токарном станке, в центрах которого устанавливается изделие. Перед легированием рабочую поверхность предварительно обтачивают, обеспечивая заданную шероховатость. Затем в резцедержатель станка взамен резца устанавливают и электрически изолируют давящий инструмент, например, ролик из твердого сплава марки Т15К6. Спереди давящего инструмента устанавливают и вводят в контакт с рабочей поверхностью порошкоподающее устройство. Его закрепляют на суппорте токарного станка. Осуществляют обработку валка поверхностным пластическим деформированием с электроконтактным подогревом.

Электроконтактный нагрев металла с легирующими элементами происходит только в зоне контакта давящего инструмента с изделием путем включения их в цепь вторичной обмотки понижающего трансформатора.

Сила прижатия давящего инструмента в процессе выглаживания или обкатывания 500—1000 H, напряжение 1,5—2 В, плотность тока 400—600 А/мм², скорость выглаживания $v = 12 \div 15$ м/мин, подача S = 1,0 мм/об (для инструмента с тороидальной поверхностью R = 30 мм, r = 5 мм).

Во время обработки поверхностным пластическим пластическим поверхностным поверхностным прастительного правительного поверхностным поверхностны

= 30 мм, *r* = 5 мм). Во время обработки поверхностным пластическим деформированием в зоне деформирования металл с легирующими элементами нагревается до пластического состояния. Создаются благоприятные условия для диффундирования легирующих элементов в поверхностный слой изделия. Засыпка легирующего порошка во впадины шероховатости производится в процессе обработки изделия поверхностным пластическим деформированием. Порошок, засыпанный во впадины шероховатости, надежно удерживается в них благодаря наличию на поверхностях впа-

дин ультрамикронеровностей и остаточного магнетизма, образующегося после обработки резанием. В зоне контакта давящего инструмента с изделием на поверхности осуществляется металлургический процесс в закрытых условиях под давлением при высокой температуре без доступа окисляющей среды. В результате образуется легированный поверхностный слой с плотной структурой и повышенной твердостью. Получается гладкая упрочненная поверхность с высокой термической и механической стойкостью.

Детонационный метод нанесения порошковых покрытий. Основан на использовании энергии детонации в газах.

Металлический или металлизированный порошок наносится с помощью взрыва ацетиленокислородной смеси, обеспечивающего скорость частиц порошка 800—900 м/с.

Прочное соединение распыленных частиц порошка с подложкой обеспечивается за счет микросварки. Образование газово-порошковой смеси и ее взрыв происходят в специальной камере, куда порошок подается струей азота.

Подложка при взрыве совершает поступательное или вращательное движение. Материал порошков: карбиды вольфрама, титана, окислы алюминия, хрома; металлы: хром, кобальт, титан, вольфрам. Каждый взрыв, продолжающийся 0,23 с, образует слой толщиной 7 мкм. Многослойное покрытие может иметь толщину 0,02—0,4 мм. Покрытия из этих порошков имеют большую твердость и очень высокую износостойкость. В результате напыления образуется слой покрытия с высокими эксплуатационными характеристиками, высокой прочностью сцепления и малой пористостью, в большинстве случаев не превышающей 1 %.

Существенным преимуществом метода является умеренный нагрев обрабатываемой детали — не выше $250\,^{\circ}\mathrm{C}.$

Технологические возможности детонационного способа позволяют наносить покрытия на внешние цилиндрические поверхности диаметром до 1000 мм, внутренние цилиндрические поверхности диаметром более 15 мм, плоские поверхности сложной конфигурации. Наиболее

эффективно нанесение детонационных покрытий на детали, работающие в условиях повышенных давлений и температур, износа, агрессивных сред.

температур, износа, агрессивных сред. Например, детонационно-газовые твердосплавные по-крытия наносят на рабочие поверхности гибочных штампов, изготовленных из стали типа X12M, термически обработанных до твердости *HRC* 56—60. Исходный материал для напыления — механическая твердосплавная смесь ВК-15. Детонационное покрытие, получаемое напылением этой смеси, отличается высокой износостойкостью и способностью воспринимать ударные грузки.

костью и способностью воспринимать ударные нагрузки.

Перед напылением рабочую форму штампа следует очистить от загрязнений и создать на ее поверхности шероховатый рельеф, например, методом струйной обработки абразивными порошками. После окончания процесса напыления поверхность, покрытую твердосплавными порошками, дополнительно шлифуют или полируют алмазными пастами. Метод технологически доступен и экономически эффективен, в том числе в условиях единичного многономенклатурного производства.

Плазменное напыление композиционных порошковых материалов, состоящих из твердой тугоплавкой основы и легкоплавкой связки. Перспективным методом нанесения покрытий, в том числе порошковых, является плазменное напыление, получившее распространение в различных отраслях техники. Эксплуатационные свойства таких покрытий зависят от физико-механических свойств порошковых материалов, температурных и газодинамических параметров плазмы и подготовки поверхности под напыление. Например, упорные центры и оправки к насадным зенкерам подвергают напылению порошковыми композициями, обеспечивающими создание износостойких слоев на рабочих поверхностях инструментов, подверженных трению. Состав композиций подбирают, исходя из общей оценки условий работы поверхности, в том числе с учетом возможности отвода тепла, свойств сопрягаемых материалов трущейся пары, требований к качеству поверхности и точности ее начальных размеров и т. п.

Структура нанесенного слоя состоит из хромоникеров и т. п.

Структура нанесенного слоя состоит из хромонике-левого раствора и карбидной фазы, включающей зерна

релита и упрочняющие частицы связки— карбиды и бориды хрома.

Метод плазменного напыления композиционных порошковых материалов применяют для создания упрочняющих покрытий на трущихся поверхностях деталей типа поршневых колец, втулок цилиндров и шеек коленчатых валов, двигателей внутреннего сгорания, плунжерных пар насосов, направляющих колонок и втулок штампов и пр.

Метод термонапыления. Заключается в бомбардировке обрабатываемой поверхности (например, упорных центров, оправок к гидрокопировальным станкам, гибочных и раскатных роликов, направляющих оправок к насадному инструменту, борштанг, прессовых оправок и др.) частицами порошка, разогретыми до пластического состояния. Передача тепловой и кинетической энергии частицам порошка осуществляется плазменным (за счет введения порошковых материалов в плазменную струю) и газопламенным (с введением порошков в газовую смесь) способами.

Для устойчивой работы плазмотрона электрическая дуга должна быть сформирована и стабилизирована вдоль продольной оси плазмотрона.

Используются порошки самофлюсующихся сплавов системы Ni—Cr—B—Si—C, марок СНГН, ПГХН80СР, ВСНГН, с температурой плавления $1050\,^{\circ}$ C, зернистостью $20-150\,$ мкм, обеспечивающие твердость $HRC\,$ 35—62.

Недостатками плазменно-напыленных покрытий являются низкие прочность сцепления с основой, адгезионная прочность и термостойкость покрытия, что связапо с различными коэффициентами температурного расширения покрытия и основы. Обладая значительной пористостью, плазменно-напыленные покрытия не защищают поверхность от окисления, что приводит к ускоренному разрушению (отслаиванию) покрытия.

Увеличить адгезионную прочность, термостойкость и стойкость покрытия в окислительных средах можно следующим способом [а. с. 676641 (СССР)]. На металлическую поверхность изделия наносят газотермическим напылением порошковое покрытие, а затем подвергают ее азотированию любым из известных способов до образования нитридной прослойки.

⁹ Полевой С. Н. и др.

Так-как порошковое покрытие пористое, то оно не препятствует диффузии атомов азота к поверхности защищаемого металла. Наоборот, за счет усиления адсорбщионных и абсорбционных процессов ускоряется насыщение поверхности азотом и образование на ней нитридов тех элементов, которые входят в состав защищаемого металла (железа, хрома, вольфрама, титана, алюминия и др.). Поскольку нитриды имеют плотность меньшую, чем металлы (плотность окислов 3—5 г/см³, а плотность стали 7,8 г/см³), то при своем образовании они заполняют микропоры порошкового покрытия, увеличивая тем самым сцепляемость по типу механического зацепления. Одновременно повышается термостойкость покрытия, так как образовавшиеся нитриды играют роль прослойки с коэффициентом термического расширения, близким к порошковым материалам на основе окислов. Нитридная прослойка обеспечивает также коррозионную стойкость защищаемого металла.

Применение методов наплавки и напыления износостойких и прочных слоев металла на рабочие поверхности деталей машин и технологической оснастки позволяет не только осуществить их упрочнение, но и решить связь технических и экономических задач, направленных на сбережение ресурсов.

К таким задачам относятся снижение удельной металлоемкости изделия и его элементов путем повышения их прочности и уменьшения массы, применения объемнои поверхностноупрочненных материалов. Восстановление изношенных поверхностей, например, шеек коленчатых валов, элементов гравюр, штампов для горячей штамповки и т. п. методами наплавки и напыления позволяет совместить процессы создания новых слоев металла взамен изношенных и их упрочняющей обработки.

совместить процессы создания новых слоев металла взамен изношенных и их упрочняющей обработки.

Методы широко используются для восстановления отработавших деталей автомобилей, тракторов, сельскохозяйственной техники, подвижного железнодорожного состава.

УПРОЧНЕНИЕ МЕТОДАМИ ЭЛЕКТРОИСКРОВОЙ ОБРАБОТКИ

Применяют для повышения износостойкости и твердости поверхности деталей машин, работающих в условиях повышенных температур в инертных газах; жаростойкости и коррозионной стойкости поверхности; долговечности металлорежущего, деревообрабатывающего, слесарного и другого инструмента; создания шероховатости под последующее гальваническое покрытие; облегчения пайки обычным припоем труднопаяемых материалов (нанесение промежуточного слоя, например, меди); увеличения размеров изношенных деталей машин при ремонте; изменения свойств поверхностей изделий из цветных металлов. Создает возможность значительно изменять исходные физические и химические свойства поверхностного слоя (твердость, износостойкость, жаростойкость и т. д.) как быстрорежущей, так и других инструментальных сталей. Заключается в легировании поверхностного слоя металла изделия (катода) материалом электрода (анода) при искровом разряде в воздушной среде (рис. 8).

В результате химических реакций легирующего металла с диссоциированным атомарным азотом и углеродом воздуха, а также с материалом детали в поверхностных слоях образуются закалочные структуры и сложные химические соединения (высокодисперсные нитриды, карбонитриды и карбиды), возникает диффузионный износостойкий упрочненный слой.

стойкий упрочненный слой.

Упрочненный слой имеет высокую твердость и износостойкость. Твердость слоя, измеренная методом Виккерса на приборе ПМГ-3, составляет HV 1000—1400 и зависит от материала электрода. Общий слой электроискрового упрочнения состоит из верхнего белого нетравящегося слоя и нижнего переходного диффузионного слоя с переменной концентрацией легирующих примесей и карбида, с сильно измененной исходной структурой, постепенно переходящей в структуру основного металла. В большинстве случаев нижний слой по глубине несколько больше верхнего. В связи с наличием диффузионного слоя в структуре упрочненного металла возможно многослойное упрочнение, в том числе с образованием разнолегированных слоев. Применение последующего воздей-

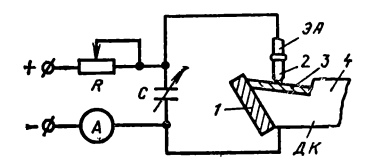


Рис. 8. Принципиальная электрическая схема устройства для электроискровой обработки:

 ∂A — электрод-анод; $\mathcal{U}K$ — деталь-катод на контактной пластине; I — графитовая пластинка; 2 — упрочняющий электрод: 3 — упрочняемая поверхность; 4 — корпус инструмента

ствия лазерным излучением улучшает свойства упрочненной поверхности, легированной электроискровым методом, снижает степень ее шероховатости.

Электроискровому упрочнению подвергаются поверхности деталей машин типа кулачков, направляющих, фиксаторов, прижимов, толкателей, клиньев и других, поверхности шпоночных пазов, шлицев, отверстия корпусных деталей, изготовленных из конструкционных легированных и углеродистых сталей.

Рекомендуемая номенклатура инструментов и технологической оснастки, подлежащих электроискровому упрочнению:

Резцы, сверла диаметром более 5 мм, зенкеры, развертки, фрезы, протяжки

Сталь типа

P18, P9, P6M5, P18Ф2, P18К5Ф2, P9К5, P9К10, P10К5Ф5

Штампы для холодной и горячей штамповки, гибочные, вытяжные

У8, У10, У12, ХВГ, 5ХН**М,** 5ХВ2С, Х12Ф1, Х12М, ХВ5

Подающие и зажимные цанги, оправки, вкладыши, кондукторные втулки, втулки направляющих колонок

65Γ, 60Γ, 60C2A

Процесс целесообразен для указанных ниже рабочих поверхностей.

Наименование технологической оснастки Резцы:

проходные, подрезные, отрезные, расточные, строгальные и др фасонные

Спиральные сверла

Зенкеры Фрезы с зубьями: простыми затылованными Круглые протяжки Зубонарезные долбяки Штампы

Упрочняемая поверхность

Задняя и передняя грани, главная режущая кромка, радиус закругления, переходные и вспомогательные кромки Передняя грань

Задняя грань и перемычка, переходные уголки на передпей грани Задняя грань и заборная часть

Залняя грань Передняя грань Задняя поверхность на режущих зуб**цах** Передняя грань Рабочие грани Инструмент, подлежащий последующим переточкам по заданным поверхностям (резцы токарные и фасочные, сверла, фрезы шпоночные и концевые и т. д.), подвергают упрочнению после каждой переточки. Вспомогательный и штамповый инструмент, изготовленный из инструментальных и конструкционных сталей, упрочняют после окончательной подготовки к эксплуатации. В цангах и вкладышах к цангам упрочняют поверхности рабочих отверстий на длине не менее 30 мм от торца; в направляющих шпоночных протяжках — опорную поверхность направляющего паза по ширине и длине; в копирах гидрокопировальных станков — обкатываемую поверхность копира; в упорных центрах и полуцентрах — центры упорные с конусом Морзе 3—6 после шлифования рабочего конуса и последующих перешлифовок; поверхность рабочего конуса подлежит доводочному шлифованию припуска 0,01—0,015 мм. В матрицах и пуансонах разделительных и формоизменяющих штампов упрочняют рабочие поверхности матриц и пуансонов, по которым в процессе эксплуатации происходит наибольшее изнашивание. вание.

вание.

Технологические рекомендации для выполнения электроискрового упрочнения. Детали, инструменты и технологическую оснастку, подвергаемые электроискровому упрочнению, предварительно подготавливают: затачивают режущий инструмент, удаляют грязь, пыль, коррозию и заусенцы с упрочняемых поверхностей и кромок деталей. Параметр шероховатости упрочняемой поверхности Rz не должен быть выше 80 мкм. Перед началом работы вибратор и аппарат регулируют в соответствии с принятыми режимами обработки. После включения аппарата электроды вводят в соприкосновение друг с другом и затем перемещают упрочняющий электрод относительно упрочняемой поверхности, поддерживая постоянным давление на вибратор.

Перемещение электрода по обрабатываемой поверхности следует выполнять круговыми движениями по небольшому кругу с одновременным продвижением в сторону, либо зигзагом с небольшой амплитудой и продвижением в сторону, либо зигзагом с небольшой амплитудой и продвижением в сторону.

При выполнении операции электроискрового упроч-При выполнении операции электроискрового упрочнения следует как можно реже отрывать упрочняющий электрод и прерывать плавное его перемещение вдоль упрочняемой поверхности. Отрыв электрода вызывает разряд конденсатора контура. Если упрочняющий электрод был отведен от упрочняемой поверхности на некоторое расстояние, а затем вновь приближен к ней, то первый разряд между вновь сближенными электродами возникает в ионизированном воздухе при разности потенциалов, близкой к напряжению источника питания зарядного контура. Такой разряд может вызвать значительную эрозию поверхности упрочняемого изделия или лаже прижог на ней. даже прижог на ней.

При упрочнении режущего инструмента, изготовленного из быстрорежущей стали или ее заменителей, можно допустить на смежной грани наличие первого из цветов побежалости — светло-желтого. При электроискровом упрочнении инструмента и штампов, изготовленных из углеродистой стали, режимы и технология упрочнения должны обеспечивать полное отсутствие цветов побежалости на смежных гранях.

Смазывание упрочняемых поверхностей маслом снижает чистоту обработку. Искровой разряд в жидкой среде приводит к увеличению выброса металла с поверхности приводит к увеличению выороса металла с поверхности электродов, а тепловое воздействие не успевает распространиться на большую глубину, вследствие чего толщина упрочненного слоя не увеличивается. Шероховатость и сплошность нанесенного покрытия зависят от степени шероховатости исходной поверхности; при этом чем ниже шероховатость, тем выше качество поверхности с нанесенным покрытием.

сенным покрытием.
После упрочнения инструмента рекомендуется выглаживать его поверхность алмазными кругами либо шлифовальной шкуркой. Вместо алмазного выглаживания можно применять доводку поверхности электродом из электрографита ЭГ-4. В точном инструменте достаточно упрочнить только передние грани вдоль режущей кромки и ленточки. Упрочнение металлорежущего инструмента следует начинать по передним граням режущей кромки и ленточки, а затем по задним граням, чем обеспечивают качественное покрытие и уменьшают опасность возникновения коротких замыканий.

Для механической обработки деталей, не требующих высокой чистоты и точности, упрочнение инструмента можно производить на высокопроизводительных грубых режимах обработки. Электроискровому упрочнению подвергают поверхность грани инструмента шириной около 3 мм (для штампов — более 5 мм). Чтобы не повредить режущие кромки упрочняемого инструмента и штампов, рекомендуется специально защищать режущую кромку графитовой пластинкой, прижимаемой к смежной грани технологической оснастки. Рекомендации по выбору режима электроискрового упрочнения приведены в табл. 27.

Электроискровое упрочнение проводят на мягких, средних и жестких режимах по току в сети и напряжению на электродах. Мягкие режимы обеспечивают получение тонкого мелкодисперсного плотного слоя упрочняющего металла. Для образования упрочненного слоя при работе на мягких режимах требуется больше времени, чем при использовании жестких режимов. Жесткие режимы позволяют получить более толстые слои упрочняющего металла, однако не обеспечивают его однородность, плотность и мелкодисперсность. Характеристика режимов электроискрового упрочнения на установке ЭФИ-46А приведена в табл. 28.

Электроискровое упрочнение осуществляют вибрирующим электродом вручную. Основным недостатком ручного упрочнения является неустойчивость и зависимость результатов упрочнения от квалификации и навыков рабочего. Кроме того, ручная работа малопроизводительна.

Скорость перемещения электрода при ручной обработке не должна превышать 0,07—0,09 м/мин. При более высокой скорости качество покрытия снижается. Следует соблюдать перпендикулярность расположения электрода по отношению к упрочняемой поверхности. Установки с ручными вибраторами не позволяют полностью реализовать все преимущества процесса. Целесообразно механизировать процесс, использовать для этих целей механизмы перемещения рабочих столов и суппортов металлорежущих станков.

При электроискровом легировании, в результате термического воздействия разряда, наблюдается значительный рост зерен в поверхностном слое основного металла, что приводит к уменьшению его прочности. Нагрев тон-

27. Режимы электроискрового упрочнения технологической оснастки

Технологическая осна	Электрод			
Нан.	Сталь	Материал	Марка	
Резцы, сверла, зенкеры, фрезы, развертки, протяжки	P18, P9, P6M5	Угли спек- тральные Графит Твердый сплав	В-3 ЭГ-2, ЭГ-4 ВК-2, ВК-3	
Штампы для холодной и горячей штамповки гибочные, вытяжные	У8, У8А, У10, У10А, У12, ХВГ, 5ХНМ	Феррохром Твердый сплав	ФХ100Н ВК-8, Т15К6	
Подающие и зажимные цанги, вкладыши, кондукторные втулки, втулки направляющих колонок	65Г, 60Г, 60С2А	Феррохром Твердый сплав	ФХ100Н Т15 К 6	

28. Характеристика режимов электроискрового упрочнения (применитель

	Наприжение (при наприжении сети 220 В), В		(при н сети	Время т		
Режим	вспомо- гатель- ный ход	рабочее	корот- кого за- мыкания	рабочий	обработки I см² по- нерхности, мин	
Мягкий	15 25	9—13 10—18	3,5 3,7	0,8—1,2 1,2—1,5	4,0—16,0 3,0—8,0	
Средний	40 75	21—33 30—48	4,5	1,5-2,0	2,0-8,0	
Жесткий	135 190	30—48 35—58 48—68	4,3 4,2 5,5	2,0—2,5 2,0—2,5 2,2—2,8	2,0—7,0 1,0—6,0 0,5—5,0	

^{*} Расход Q материала электрода определяют по формуле $Q=F\lambda$,

	Режим обр	аботки	Упрочненная поверхность			
Диаметр, мм	Ток короткого замыкания I _{к. э} , А	короткого Рабочий ток I _р , н		Сплошность покрытия, % площади	Параметр шероховато- сти <i>Ra</i> , мкм	
4 4 3	3,6—4,4	1,2—1,5	0,001	80	2,5	
4 4	3,9—4,7	2,0-2,5	0,1	80	2,5	
4	3,6-4,4	1,2—1,5	0,01	70	2,5	

но к установке ЭФИ-46А)

Количество (мг) сплава Т15К6, перенесен- ного на 1 см ² за время т при 220 В, не менее	Продолжи-	Удельный расход λ (г/см²) материала электродов *			
	тельность процесса, с/мм²	Феррохром	Сплав Т15К6	Титан	
3,0 3,9 8,0 15,0 12,0 9,0	1,5 1,3 1,2 1,1 1,0 0,7	0,009 0,030 0,050 0,070 0,085 0,110	0,006 0,025 0,045 0,060 0,080 0,100	0,002 0,010 0,024 0,036 —	

где F — площадь упрочнения, см².

ких поверхностных слоев основного металла, примыкающих к износостойкой оболочке, сопровождающийся одновременным интенсивным отводом тепла массой холодного изделия, вызывает образование микротрещин в поверхностных слоях. Трещинообразование тем значительней, чем ниже прочность поверхностных слоев основы. Это ухудшает сцепление наносимого слоя с основным метальней. таллом.

Это ухудшает сцепление наносимого слоя с основным металлом.

Улучшить контакт наносимого износостойкого покрытия с основным металлом можно способом, изложенным в а. с. 833424 (СССР). Перед электроискровым легированием изделие подвергают воздействию ультразвука. Затем выполняют рекристаллизационный отжиг. Его можно совместить с процессом нагрева изделия под закалку.

Эффект достигают в результате воздействия ультразвука на дислокационную структуру кристаллической решетки металла. При поглощении акустической энергии происходит рост плотности дислокаций, активация малоподвижных дислокаций, разориентация субзерен и разрушение субграниц, образование ячеистой структуры, двойникование и образование других структурных несовершенств. При последующем рекристаллизационном отжиге в металле с высокой плотностью структурных несовершенств скорость образования зародышей больше, чем скорость их роста. Это предопределяет образование мелкого зерна при рекристаллизации и сохранение его в конечной структуре после закалки.

Образование двойников, по границам которых при нагреве выделяются мелкодисперсные карбиды, повышает допустимый уровень перегрева аустенита. В результате повышается прочность материала основы, и при последующем электроискровом легировании уменьшается возможность трещинообразования поверхностных слоев основы, улучшается сцепление с наносимым слоем.

Пример. Матрицу обрезного штампа изготавливали из стали 5XВ2С. После механической обработки материал изделия подвергали воздействию ультразвука с амплитудой колебаний 0,00065 мм и частотой 80 кГц. Рекристаллизационный отжиг проводили при 690 °С, выдерживали 70 мин и затем нагревали под закалку до 880 °С. После закалки в масле изделие отпускали при 270 °С до твердости НКС 50—52.

Электроискровое легирование выполняли на установке ЭФИ-46A по режиму: рабочее напряжение 50 В, сила рабочего тока 2,3 A, толщина наносимого слоя 0,1—0,15 мм. Поверхностное пластическое деформирование проводили накаткой роликом с усилием 1,5 кH.

Электроды для электроискрового упрочнения. Максимальная глубина и высокая твердость упрочненного слоя получаются при использовании электродов на хромовой основе (феррохромовых, хромомарганцевых) и из чистого хрома. В случае применения твердосплавных или металлических электродов поверхностный слой получается твердый, износостойкий, но большой толщины (до 0,12 мм), в результате чего увеличиваются размеры изделия. При использовании электродов из графита не происходит увеличения габаритных размеров изделия, сохраняется

29. Рекомендации по выбору материала упрочняющего электрода

Упрочняемые изделия	Материал упрочня- ющего электрода и его марка	Эксплуатационные особенности	
Развертки, зенкеры, сверла, протяжки, фрезы и другой режущий инструмент	Графит ЭГ-2, ЭГ-4 Твердый сплав ВК-2, ВК-3	Сохраняет заданные чертежом размеры и шероховатость поверхности инструмента После упрочнения требует доводочного шли-	
Пуансоны, матрицы, кондукторные втулки, втулки направляющих колонок, адаптеры протяж-	Твердый сплав ВК-3, ВК-8, Т15К6, Т60К6, Т30К4	фования Возможно многократ- ное восстановление с последующим шли- фованием	
ных станков Инструмент и детали ма- шин, работающие в усло- виях высоких контакт- ных напряжений и абра-	Твердый сплав Т15К6, хром Хр5, Хр6, белый чугун	То же	
зивного изнашивания Подающие и зажимные цанги, детали типа вал—	Литой карбид вольфрама		
подшипник Измерительные инструменты, детали с повышенными требованиями точности	Графит ЭГ-2, ЭГ-3, ЭГ-4, КП-6	Сохраняет первона- чальные геометриче- ские размеры и форму обработанной поверх- ности	

исходная шероховатость упрочняемой поверхности, но не обеспечивается выполнение повышенных требований к твердости и износостойкости упрочненного слоя, образуемого в результате одновременного науглероживания и закалки. Рекомендации по выбору материалов электрода приведены в табл. 29. При отсутствии пластинок требуемых форм и размеров, а также для более полного использования твердого сплава возможно применение электродов, изготовленных напайкой или приваркой твердосплавных пластинок к стальной державке.

Рабочая часть электрода должна иметь форму конуса или пирамиды, с затуплением вершины радиусом 1,6—2,0 мм, что способствует получению качественной поверхности упрочненного слоя.

УПРОЧНЕНИЕ МЕТОДАМИ ИОННО-ПЛАЗМЕННОЙ ОБРАБОТКИ

Применяют для повышения износостойкости инструментов, рабочих элементов штампов, пресс-форм, приспособлений, а также ответственных стальных деталей машин, работающих в условиях адгезионного и диффузионного изнашивания при высоких температурах сопрягаемой среды. Выполняют преимущественно в вакуумных установках. Вещество осаждаемого металла в вакууме последовательно превращают в газ, пар, ионизированный пар и плазму и осаждают в атмосфере реакционного или нейтрального газа в виде конденсата на упрочняемую поверхность. Покрытие получают способами термического испарения, катодного или ионно-плазменного распыления, либо путем бомбардировки поверхности ионами осаждаемого вещества. В качестве реакционного газа используют азот или углеводород. Соответственно покрытие состоит из нитридных или карбидных соединений тугоплавких металлов. Способ термического испарения можно осуществить в безокислительной атмосфере нейтральных газов или в воздушной среде. Существенное отличие методов состоит в различном качестве создаваемой плазмы; наличии в плазме нейтральной или заряженной ионизированной составляющей.

Основные факторы, определяющие работоспособность

Основные факторы, определяющие работоспособность поверхностей с покрытиями: материал основы, обеспечи-

вающий прочность, сопротивление тепловому удару и деформации; сцепление между покрытием и основой; материал покрытия: самыми распространенными являются карбид титана TiC, нитрид титана TiN и окись алюминия Al_2O_3 ; толщина покрытия: слишком тонкое покрытие плохо сопротивляется изнашиванию, слишком толстое может скалываться; качество подготовки поверхности.

Химическое осаждение покрытия из газовой фазы при термическом испарении. Из газообразной смеси бензола, хлорида титана, аргона и водорода на пластинки твердых сплавов химически осаждают слой ТіС. Параметры осаждения: скорость потока смеси (55—70 л/мин); температура пластин 1030—1060 °С; температура смеси (900—1100 °С). Наибольшей износостойкостью обладает слой ТіС толщиной 4—8 мм; слой толщиной менее 2 мкм быстро изнашивается, а износостойкость слоя толщиной более 8 мкм уменьшается с увеличением толщины слоя.

стро изнашивается, а износостойкость слоя толщиной более 8 мкм уменьшается с увеличением толщины слоя. Твердые покрытия толщиной 5-10 мкм — однослойные из TiN или TiC или двухслойные TiN + TiC — осаждают на поверхность деталей из газовой фазы при температуре 800-1000 °C. Твердость покрытия TiN составляет HV 2000; TiC, TiN + TiC - HV 3000 (в то время, как твердого хрома HV 1200). Покрытия могут быть нанесены на детали из твердых сплавов, углеродистой и легированной стали, стеллита, коррозионно-стойкой аустенитной стали, инконеля, монель-металла, нейзильбера, а также на покрытие из твердого хрома. Применяют для повышения износостойкости и коррозионной стойкости режущих и других инструментов, коленчатых валов, режущих и других инструментов, коленчатых валов, деталей насосов, дизелей и других деталей, подвергающихся изнашиванию и коррозионному воздействию. ющихся изнашиванию и коррозионному воздействию. Для осаждения покрытий используют герметизированные камеры-печи и вакуумные установки с автоматизированным регулированием температуры. Химическое осаждение карбидов титана из смеси TiCl₄, водорода и углеводорода при температуре 1000 °С дает возможность получить покрытия малой толщины. При толщине покрытия менее 10 мкм уменьшается опасность его отделения от основы, имеющей другой коэффициент температурного расширения. Нитрид титана обладает меньшей химической активностью, чем карбид титана. Двойное покрытие хорошо защищает инструмент от диффузионного изнашивания (TiN) и изнашивания по задней поверхности (TiC). Перспективно покрытие окисью алюминия, которое на атомарном уровне осаждается на предварительно нанесенный на основу слой карбидов. Благодаря низкой активности окиси алюминия режущие свойства пластин могут быть значительно (до 5 раз) выше, чем у обычных твердых сплавов.

Слой Al_2O_3 , препятствующий диффузии, можно наносить непосредственно на твердый сплав и затем на него износостойкие слои TiC, TiN, TiCN. Покрытия наносят в печи методом осаждения из газовой фазы. Режим нанесения покрытий при давлении 6,56 кПа следующий. В потоке (40 л/мин) смеси 92,5 % H_2 , 3 % $AlCl_3$ и 4,5 % CO_2 при 1027 °C за 15 мин осаждают слой Al_2O_3 толщиной 0,2—0,3 мкм. В печь вводят H_2 до атмосферного давления. В потоке смеси (80 л/мин) 88 % H_2 , 5 % TiCl и 7 % CH_4 за 150 мин осаждают слой CI0 толщиной CI1 толщиной CI2 толщиной CI3 мин осаждают слой CI4 и 6 % CI3 за CI4 и 6 % CI3 за CI5 мин осаждают слой CI6 мкм. Давление снижают до CI8 км. Для формирования слоев CI8 толщиной CI9 мкм. Для формирования слоев CI9 толщиной CI9 кмесь вводят CI9. Износостойкость твердосплавного инструмента с многослойными покрытиями намного выше, чем с покрытием CI6.

Штампы с двухслойным осажденным покрытием из карбида и нитрида титана способны отформовать 80 000—120 000 головок винтов со шлицем вместо 25 000. Отдельные штампы работают до замены, обеспечивая изготовление 180 000 винтов. Высокая твердость карбида и нитрида титана (соответственно 3000 и 2000 HV) предотвращает абразивное изнашивание штампов, а химическая инертность этих неметаллических покрытий снижает вероятность микроадгезии между обрабатываемым металлом и штампами, что уменьшает адгезионное изнашивание штампов.

Слой TiC можно наносить методом высокочастотного напыления в вакуумной камере с вращающейся платформой, обеспечивающей последовательное покрытие нескольких инструментов. До напыления поверхность очищают ультразвуком или струей распыленного аргона. Травление распыленным аргоном перед напылением существенно для качественной адгезии напыленного слоя TiC

и базового твердого сплава и улучшает режущую способность инструмента.

Износостойкость инструмента из твердых сплавов повышают путем нанесения многослойного покрытия при протекании химической реакции в газовой фазе при 850 протекании химической реакции в газовой фазе при 850—1200 °С. Покрытие имеет не менее трех слоев. Первый, примыкающий к поверхности, состоит из карбидов Нf или Тi. Наружный состоит из окислов Нf, Zr или Al. Промежуточный образуют нитриды или оксикарбиды Hf, Zr или Тi. Если средний слой состоит из нитридов, рекомендуется между ним и слоем карбидов наносить слой карбонитридов. Толщина каждого слоя 0,5—20 мкм. При обработке резанием изнашивание инструмента с трехслойным покрытием более чем в 2 раза меньше изнашивания инструмента с двухслойным и в 18 раз меньше изнашивания незащишенного инструмента щенного инструмента.

щенного инструмента.

В соответствии с пат. 56-25960 (Япония) для увеличения адгезии между износостойким покрытием и основой режущей пластины из быстрорежущей стали на ее поверхность наносят слой чистого титана толщиной до 2 мкм, затем несколько (или один) слоев соединений титана типа ТіС, ТіN, ТіСN, ТіСNО, ТіСО толщиной от 0,5 до 10 мкм. Многослойные покрытия режущей части инструментов слоями различной твердости и толщины из-за хрупкости покрытия (слои в покрытии выполнены убывающими по толщине) часто не обеспечивают требуемую стойкость металлорежущего инструмента

металлорежущего инструмента.

металлорежущего инструмента. Увеличить прочность покрытия можно следующим способом [а. с. 607659 (СССР)]. Для повышения стойкости инструмента слои с более высокой твердостью, порядка 2600—3600, чередуются со слоями, твердость которых плавно изменяется от 600—900 до 2600—3600. Причем толщина твердого слоя составляет 1—3 мкм, а общая толщина покрытия не превышает 25 мкм. Такое покрытие на металлорежущем инструменте может быть получено путем распыления металла в вакуумной камере. Создание слоев с различной твердостью и плавное изменение твердости достигаются за счет изменения параметров процесса напыления процесса напыления.

Слои с уменьшенной твердостью препятствуют выкрашиванию твердого слоя при работе в условиях вибрации и ударных нагрузок, так как более мягкие слои деформи-

руются и допускают тем самым некоторый прогиб твердого слоя.

слоя.

Стойкость сопрягаемых взаимно перемещающихся поверхностей можно увеличить путем нанесения на них покрытий, отличающихся по своим физико-механическим свойствам, но в комплексе обеспечивающих повышение износостойкости трущейся пары [а. с. 778873 (СССР)]. На поверхность направляющей колонки наносят пленку на основе нитрида титана толщиной 0,005—0,007 мм. Поверхность втулки покрывают пористой твердосплавной оболочкой толщиной 0,12—0,15 мм.

Пример. Направляющую колонку изготовляют из стали 38Х2МЮА и наносят на ее рабочую поверхность пленку на основе нитрида титана путем конденсации титана в вакууме с плотной бомбардировкой. Толщина полученной пленки составляет 0,006 мм. Направляющую втулку изготовляют из стали 20. На ее рабочую поверхность наносят твердосплавное покрытие детонационным методом твердосплавным порошком марки ВК15, с величиной зерна 15—20 мкм. Толщина покрытия 0,14 мм. Износостойкость направляющих элементов штампов

Износостойкость направляющих элементов штампов с покрытиями рабочих поверхностей, нанесенными этим способом, превышает в 18—20 раз износостойкость элементов, изготовленных из высокопрочных легированных сталей, прошедших термическую обработку, и в 4—5 раз элементов, армированных твердым сплавом. Предварительная очистка поверхности подложки возбуждением тлеющего разряда в непосредственной близости от очищаемой поверхности часто недостаточно эффективна, особенно в высоковакуумных напылительных установках [а. с. 211265 (СССР)]. Поверхность подложки очищают с помощью пучка электромагнитных волн, генерируемых, например, оптическим квантовым генератором, используя для этой цели эффект фотодесорбции. Способ обеспечивает более качественную очистку поверхности подложки перед началом или, в случае нанесения многослойных покрытий, непосредственно в процессе напыления, повышают тем самым качество напыляемых пленок.

Преобладающий вид изнашивания режущего инструмента связан главным образом с температурой рабочей поверхности. При низкой скорости резания изнашивание определяется адгезионными процессами. При высокой

температуре возникает диффузионное изнашивание и истирание. Покрытие TiN наиболее эффективно в условиях изнашивания по передней поверхности, а TiC — при изнашивании по задней поверхности.

Износостойкие покрытия из нитрида титана наносят

на дисковые долбяки, червячные и дисковые резцы, осевые инструменты, изготовленные из быстрорежущей стали, а также на инструменты, оснащенные твердым сплавом.

На стандартные неперетачиваемые твердосплавные пластины из сплавов типа ТК целесообразно наносить покрытие нитрида титана равномерной толщиной 5-7 мкм, с твердостью HV 2500. Стойкость твердосплавных пластин возрастает в 1,5—1,8 раза при увеличении скорости резания на 25—30 %. Для инструмента из быстрорежущих сталей типа Р18, Р9, Р6М5, Р6М3 толщина покрытия должна быть в пределах 3—5 мкм при микротвердости $HV 2600 \div 2800$.

Многослойные покрытия. Прочность и износостой-кость покрытия увеличивают созданием в нем слоев различного химического состава и физико-механических личного химического состава и физико-механических свойств. Например, двухслойное износостойкое покрытие может состоять из карбидов титана ${\rm TiC}$ (нижний слой) и боридов титана ${\rm TiB_2}$ (верхний слой). В качестве подложки используют твердый сплав на основе WC и Co с относительно высокой прочностью и микротвердостью HV 1800, которая в диффузионной зоне повышается до HV 2200.

Режущие пластины с трехслойным покрытием TiN имеют слои: первый — толщиной 2—3 мкм TiC, второй — смесь TiC и TiN, третий — 2—3 мкм TiN.

Многослойное покрытие из карбонитридов и карбида титана при общей толщине слоя до 10 мкм может состоять из нескольких очень тонких слоев. Наружный слой состоит из чрезвычайно износо- и диффузионно-стойкого карбонитрида титана. Под ним располагается несколько кароонигрида титана. Под ним располагается несколько промежуточных слоев из карбонитридов титана различного состава. Нижний слой из карбида титана обеспечивает прочное сцепление с основным сплавом. Наружный слой придает покрытию золо тистый оттенок.

Тонкий защитный слой, наносимый на поверхность твердосплавной режущей пластины, обладает низкой

теплопроводностью и снижает трение на поверхности контакта инструмент—стружка. Это приводит к снижению температуры рабочей поверхности и, следовательно, уменьшению диффузионного изнашивания. Кроме того, защитный слой выполняет роль барьера, препятствующего диффузии и уменьшающего схватывание металлов инструмента и стружки. Степень уменьшения изнашивания зависит от материала защитного слоя. Изнашивание по задней поверхности более заметно снижается при применении защитного слоя из ТіС по сравнению с защитным слоем из ТіN. Многофазное защитное покрытие, в котором каждый отдельный тонкий слой имеет определенное назначение, обеспечивает улучшение вязкости и износостой-кости режущих пластин.

Осаждение покрытия способом катодно-ионной бомбардировки в вакууме (КИБ). Выполняют для упрочнения деталей машин, технологической оснастки и инструментов, изготовленных из конструкционных и инструментальных материалов, в том числе твердых сплавов и быстрорежущих сталей, путем осаждения на них тонкопленочных износостойких покрытий.

Сущность способа состоит в распылении тугоплавкого металла катода, образовании ионов в низкотемпературной плазме и бомбардировке ими упрочняемой поверхности. Материал катода (напыляемый материал) испаряется в виде высокоскоростных струй (скорость 1×10^6 см/с), содержащих как заряженные, так и нейтральные частицы. Струи представляют собой плазменные потоки атомов и ионов с высокой степенью ионизации.

Деталь (анод) помещают на пути плазменных потоков. На нее подают отрицательный потенциал, ускоряющий поток ионов. Выбитые из катода атомы разгоняются до высоких энергий. Они с большой скоростью бомбардируют поверхность анода, очищают ее, внедряются в кристаллические решетки поверхностного слоя и, накапливаясь, образуют на поверхности микропленку осаждаемого (конденсируемого) вещества.

Способ позволяет создавать металлические и износостойкие покрытия, состоящие из химических соединений — карбидов, нитридов, оксидов, карбонитридов, тугоплавких металлов Ті, Мо, Сг, W, V и др., а также многослойные и многосоставные (композиционные) покрытия.

Принципиальная особенность способа по сравнению с другими способами получения покрытий в вакууме — термического испарения, катодного и ионно-плазменного распыления — в том, что в условиях электродугового разряда вещество катода превращается в потоки плазмы, и конденсат образуется за счет как нейтральной, так и заряженной компонент плазмы. Процесс начинается с того, что перед осаждением покрытия поверхность детали, помещенной в вакуумированную камеру установки, очищают путем интенсивной бомбардировки ее ионами осаждаемого вещества, имеющими энергию 1 кэВ и выше. Одновременно происходит нагрев детали до температуры конденсации, которая обеспечивает высокую адгезию покрытия.

покрытия.

В процессе осаждения на деталь подают отрицательный потенциал 150—200 В, который и поддерживает необходимую температуру конденсации. Очистка и термомеханическое активирование поверхности подложки способствуют адгезионной сцепляемости основы и пленки, закрытию («залечиванию») поверхностных микротрещин и частичному упрочнению поверхности твердосплавной или стальной подложки. Для получения износостойкого покрытия в вакуумную камеру вводят реакционный газ. Реагируя с распыленным материалом катода, он создает соответствующее упрочняющее покрытие в виде химического соединения (нитридов, карбидов и др.), обладающее хорошей адгезией с основным материалом подложки. Покрытие можно наносить не только при высоких, но и при относительно низких температурах плазмы, что расширяет диапазон упрочняемых материалов. Способ позволяет наносить покрытия на инструмент из закаленной быстрорежущей стали без применения покрытия материал, образующий его, приобретает новые физико-механические свойства, существенно отличающиеся от исходных.

Микротвердость покрытия можно изменять регулированием параметров процесса, что создает возможность осаживать пленку с заранее заданными свойствами. Процесс выполняют при температуре 400—600 °C, без разупрочнения подложки из твердых сплавов или быстрорежущих сталей.

Покрытия отличаются параметрами шероховатости, достигающими $Ra=0.08\div0.32$ мкм. Толщину покрытий можно изменять в зависимости от условий работы инструмента, оснастки или детали. Обычно толщина покрытия 5—20 мкм.

Способ дает возможность образовать слоистый конденсат, состоящий из чередующихся твердых слоев, например, нитрида Мо либо Ті (HV 3000—3600), и мягких— из чистого Мо либо Ті (HV 600).

например, нитрида Мо либо Ті (HV 3000—3600), и мягких — из чистого Мо либо Ті (HV 600).

Покрытие из нитрида титана обладает высокой микротвердостью, пониженным коэффициентом трения, низкой химической активностью. Комплекс свойств приводит к снижению усилий резания, уменьшению температуры в зоне резания и сокращению интенсивности изнашивания режущих инструментов. Преимущества способа в сравнении с методами химико-термической обработки: возможность получения на рабочих поверхностях износостойкого покрытия высокой микротвердости (HV 2600—3800); более высокая (в 2—6 раз) производительность технологического процесса упрочнения; возможность проведения технологического процесса осаждения покрытия при температурах нагрева подложки, не превышающих температуру ее отпуска на высокую твердость; возможность упрочнения прецизионных режущих инструментов и деталей без дополнительной последующей размерной механической обработки; высокие стабильные значения износо-, окалино- и коррозионной стойкости покрытия.

Технологический процесс осаждения покрытия разделяют на этапы: прогрев, очистка, напыление.

Основные операции типового технологического процесса: подготовка упрочняемой детали или инструмента (обезжиривание поверхности); загрузка детали или инструмента на позиции напыления в камеру установки; вакуумирование камеры до рабочего давления; очистка поверхности в тлеющем разряде (бомбардировка упрочняемых поверхностей тяжелыми ионами легирующего газа); ионная бомбардировка и нагрев упрочняемой детали или инструмента; конденсация продуктов плазмохимической реакции на рабочие упрочняемые поверхности; охлаждение детали или инструмента в среде газообразного азота; выгрузка упрочненных деталей или инструментов из установки.

Прогрев камеры выполняют с целью предотвращения конденсации паров воды и для их удаления с поверхности стенок, дегазации этих поверхностей в процессе откачки и вакуумирования камеры. Прогрев выполняют горячей водой (60 °C) по трубам, приваренным к стенкам рабочей камеры. Очистку поверхности подложки (анода) от загрязнений обеспечивают ионным облучением («травлением») перед напылением. Для этого напыляемому изделию сообщают высокий отрицательный потенциал. Ионы металла катода, возникающие в результате электродугового разряда, ускоряются под действием потенциала до энергии, позволяющей выбить с поверхности изделия атомы поверхностного слоя. В режиме напыления происходит испарение материала катода (например, Ті) и «обдув» поверхности изделия (анода) ионизированным паром металла катода и реакционным газом (например, азотом). В результате на поверхности изделия возникает покрытие нитридом титана.

УПРОЧНЕНИЕ МЕТОДАМИ ПЛАСТИЧЕСКОГО ДЕФОРМИРОВАНИЯ

УПРОЧНЕНИЕ МЕТОДАМИ ПОВЕРХНОСТНОГО ПЛАСТИЧЕСКОГО ДЕФОРМИРОВАНИЯ БЕЗ ИСПОЛЬЗОВАНИЯ ВНЕШНЕГО ТЕПЛА

Упрочнение выполняется с целью повышения сопротивления усталости и твердости поверхностного слоя металла и формирования в нем направленных внутренних напряжений, преимущественно напряжений сжатия, а также регламентированного рельефа микронеровностей на поверхности.

Упрочняющую обработку поверхностным пластическим деформированием эффективно применяют на финишных операциях технологического процесса изготовления деталей машин взамен операций окончательной обработки резанием лезвийным или абразивным инструментом. При обработке нежестких в сечении тонкостенных деталей наиболее пригодна динамическая обработка пластическим поверхностным деформированием инструментами ударного действия, ультразвуковое или импульсное обкатывание.

Поверхностное пластическое деформирование, выполняемое без использования внешнего тепла и обеспечивающее создание указанного комплекса свойств поверхностного слоя, называют наклепом. Слой металла, в котором проявляются эти свойства, соответственно называют наклепанным.

В результате наклепа повышаются все характеристики сопротивления металла деформации, понижается его пластичность и увеличивается твердость. Упрочнение металла в незакаленной стали происходит за счет структурных изменений и изменений структурных несовершенств (плотности, качества и взаимодействия дислокаций, количества вакансий и др.), дроблением блоков и наведением микронапряжений. При упрочнении закаленных сталей, помимо этого, происходит частичное превращение остаточного аустенита в мартенсит и выделение дисперсных карбидных частиц.

Поверхностная деформация приводит к образованию сдвигов в зернах, упругому искажению кристаллической решетки, изменению формы и размеров зерен.

Интенсивность наклепа тем выше, чем мягче сталь; на незакаленных сталях в результате поверхностного деформирования можно получить увеличение твердости более 100 %, а у закаленных только на 10-15 %. Прирост твердости определяется структурой деформируемой стали. Наибольшее повышение твердости наблюдается в сталях со феррита структурой аустенита, мартенсита (рис. 1), наименьшее — со структурой перлита и сорбита. Абсолютный прирост твердости в результате наклепа составляет для марструктур HB 180 - 320, тенситных а для сталей, содержащих избыточный феррит, *HB* 60—120. Существенное увеличение твердости мартенситных структур объясняется тем, что, помимо упрочнения пластическим деформированием, происходит частич-

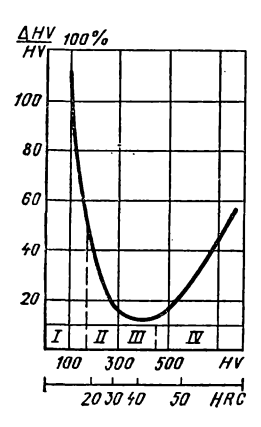


Рис. 1. Относительное увеличение твердости углеродистых и легированных сталей при пластическом деформировании в различных структурных состояниях при степени деформации d/D=0,5: I- феррит и феррит перлит; II- перлит; III- сорбит; IV- троостит и мартенсит

ное превращение аустенита в мартенсит и выделение высокодисперсных карбидных частиц. Наклеп поверхности выполняют бомбардированием ее струей стальной или чугунной дроби, шариков либо суспензии, содержащей абразивные частицы; обкатыванием роликами, шарами или ротационным инструментом; чеканкой. Дробеструйный наклеп обеспечивает неглубокую пластическую деформацию до 0,5—0,7 мм. Применяют для обработки поверхностей небольших деталей сложных форм, а также деталей малой жесткости типа пружин, рессор, мембран и др.

Применяют преимущественно стальную дробь (реже литую чугунную) диаметром 0,8—2 мм. Глубина наклепа при дробеструйной обработке не превышает 0.8 мм.

Поверхность детали приобретает некоторую шероховатость и последующей обработке не подвергается. Режим обработки определяется скоростью подачи дроби (до 70—90 м/с), расходом дроби в единицу времени и экспозицией — временем, в течение которого обрабатываемая поверхность находится под ударами дроби. Режимы обработки устанавливают экспериментально. Поверхность детали должна быть полностью покрыта следами — вмятинами. Обычно экспозиция равна 0,5—2 мин на обрабатываемую поверхность.

Обкатку роликами или шариками осуществляют с использованием различных приспособлений к токарным или строгальным станкам. Приспособления изготовляют одно- или многороликовыми. Давление роликов или шариков создают механическим (пружинным) или гидравлическим способом. Пружинящие элементы тарируют, что дает возможность нормировать пределы давления на ролики. Обкатку роликами или шариками применяют для обработки деталей типа осей, валов и других, имеющих форму тел вращения, реже — плоские поверхности. Режим упрочняющей обкатки роликами устанавливают по следующим параметрам: давление на ролик, форма и размеры ролика, величина продольной подачи, скорость обкатки.

Поверхностная твердость обрабатываемого материала и глубина пластической деформации зависят от режимов упрочнения, физико-механических свойств, структуры и химического состава материала. Наибольшее влияние на поверхностную твердость оказывает удельное давление деформирующего элемента в контакте с обрабатываемой деталью и кратность приложения этого давления. Значение удельного давления определяется усилием обкатывания, геометрией деформирующего элемента и детали, а также физико-механическими свойствами обрабатываемого материала. Кратность приложения давления зависит от величины подачи, длины линии контакта, числа проходов и деформирующих элементов.

числа проходов и деформирующих элементов.
Соотношение между значением давления (нагружения)
и кратностью ее циклического приложения можно определить по формуле

$$\frac{l}{S}$$
 $i \leq \left(\frac{\sigma_{\rm B}}{kJHB}\right)^t$

где l — длина контакта инструмента с изделием в направлении подачи с учетом упругой деформации; S — подача; i — число проходов; t — показатель кривой усталости, определяемый углом наклона прямой в логарифмических координатах; $\sigma_{\rm H}$ — временное сопротивление материала; k — коэффициент, характеризующий напряженное состояние и зависящий от природы материала; f — коэффициент трения; HB — твердость по Бринеллю

$$HB = \frac{4P}{\pi d^2}.$$

Значение давления на деформирующий элемент можно ориентировочно считать равным

$$P = 2a^2\sigma_{\rm T}$$

где $\sigma_{\rm T}$ — предел текучести упрочняемого металла; a — глубина наклепа. Обычно $0.02R_3 \leqslant a \leqslant 0.1R_3$; R_3 — радиус поперечного сечения упрочняемой детали. С увеличением усилия и кратности его приложения степень наклепа возрастает примерно прямо пропорцио-

С увеличением усилия и кратности его приложения степень наклепа возрастает примерно прямо пропорционально только до предельно допустимого давления для данной геометрии деформирующего ролика. Превышение этого давления или числа циклов нагружения сопровождается остановкой роста твердости и ее снижением в связи с перенаклепом, т. е. разрушением поверхностного слоя металла, возникающим в результате наступившего предела пластического деформирования его кристаллической решетки. График соотношений между значением нагрузки и числом циклов ее приложения (например, применительно к условиям обкатывания шаром поверхности стали типа 15X28 при t=10 и $\sigma_{\rm B}=3,10$ ГПА) имеет вид, приведенный на рис. 2, и характеризует режимы, позволяющие получить максимальную степень упрочнения (зона ниже кривой). Область, расположенная выше кривой, определяет режимы обработки, вызывающие перенаклеп.

Необходимая степень упрочнения может быть достигнута применением одного из множества сочетаний HB, l, S, i. Конкретные значения указанных параметров должны определяться, исходя из конструктивных особенностей обрабатываемой детали, производительности процесса и T. Π .

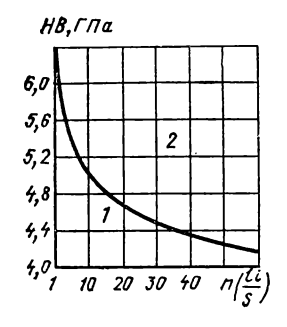


Рис. 2. График оптимальных режимов, обеспечивающих максимальную степень упрочнения:

1 — область режимов неполного наклепа; 2 — область режимов, вызывающих перенаклеп; HB — удельная нагрузка; $n\left(\frac{li}{S}\right)$ — кратность приложения нагрузки

При упрочняющем обкатывании шаром степень пластической деформации $\varepsilon = d/D \ll 0,4-0,5,$ где d — диаметр лунки на поверхности; D — диаметр вдавливаемого шара. Повышение степени деформации свыше 0,4-0,5 практически не обеспечивает увеличения твердости деформируемого металла.

При обкатке роликом степень деформации определяют из соотношения $\varepsilon = b/(2r) \leqslant 0.4 \div 0.5$, где b — ширина единичной канавки, возникающей как след от обкатки роликом; r — профильный радиус ролика.

Профильный радиус обкатывающего ролика должен быть возможно меньшим для заданной глу-

бины наклепа. Если при обкатывании наблюдается шелушение поверхности, то размер профильного радиуса ролика следует увеличить. Для упрочнения деталей малой жесткости необходимо использовать деформирующие элементы с малым профильным радиусом, что позволит получить максимальное увеличение твердости при незначительных усилиях.

При обкатке роликами достаточно одного прохода роликов по упрочняемой поверхности. Последующие проходы не создают дополнительного увеличения глубины и степени наклепа.

Формулы для расчета режима упрочнения методом обкатывания роликами и шариками приведены в табл. 1, 2.

Рекомендуемые значения давления на обрабатываемую поверхность применительно к некоторым методам упрочнения поверхностным пластическим деформированием с наклепом приведены в табл. 3.

Упрочнение режущих поверхностей инструментов методом обкатывания роликами. Упрочнению подвергают развертки, зенкеры и фрезы, изготовленные из сталей P18 и P9, после термообработки и шлифования. В качестве деформирующих элементов используют ролики высокой

	для расчета усилий пластического	деформирования
поверхности	методами обкатывания	

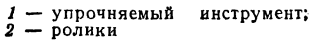
Инстру- мент	Схема обработки	Формула
Ролик	\$ b ₁	$P = \frac{DB_1q^2}{0,126E(D/d+1)}$
LOSING		$P = \frac{DB_1q^2}{0.18E\ (D/d - 1)}$
Шарик	5 d	$P = \left(\frac{dq}{0.045E}\right)^2 q$ при $D/d \geqslant 10$
	VV S d	$P = \left[\frac{Dq}{0,054E(D/d-1)}\right]^2 q$

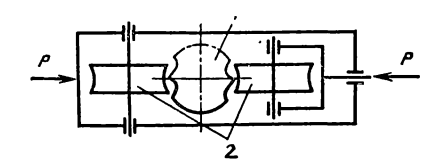
Обозначения: P — усилие обкатывания, H; q — максимальное давление обкатывания, Π а; D — диаметр обкатываемого изделия, мм; d — диаметр ролика или шарика, мм; b_1 — ширина контакта ролика с обрабатываемым изделием, мм; E — модуль упругости обрабатываемого материала, Π а.

твердости (из стали ХВ4) с прямолинейной или криволинейной образующей.

Упрочняемый инструмент зажимают в центрах. Приспособление с одним или двумя (рис. 3) роликами устанавливают на резцедержателе токарного станка. Поворот

Рис. 3. Схема упрочнения режущего инструмента в само у станавливающемся двухроликовом приспособлении:





2. Формулы для расчета режима обкатывания

Параметры	Формулы	Обозначения		
Скорость v м/мин: для станков с враща- тельным движением (токарных, револьвер- ных, расточных, свер- лильных, фрезерных и др.)	$v = \frac{\pi Dn}{1000}$	 D — днаметр обрабатываемой детали, мм; п — число оборотов шпинделя станка, мин 		
то же, для станков с возвратно-поступательным движением (строгальных, долбежных и др.)	$v = \frac{Ln\left(1+m\right)}{1000}$	 L — длина рабочего хода детали или накатного ролика (шарика) в направлении рабочего двойных ходов, мин; т — отношение скорости рабочего хода к скорости холостого хода 		
Подача на один ролик (шар) при обработке многороликовыми обкат-ками $S_{\mathbf{m}}$, мм/об	$S_{\mathbf{m}} = S/z$	S — подача на оборот или двойной ход, мм; z — число роликов или шариков в обкатке (раскатке)		

инструмента на шаг между зубьями производят с помощью делительного приспособления. Фиксирующим устройством, расположенным на заднем центре, удерживают инструмент от проворота. Развертки и зенкеры упрочняют по задней поверхности режущей и калибрующей частей и обратного конуса. Фрезы упрочняют по задней поверхности зубьев. Оптимальным можно считать P=750+1000 Н при диаметре роликов 35 мм. Диаметр разверток в процессе упрочнения изменяется на 0.05-0.08 мм. Под упрочнение разверток, предназначенных для обработки отверстий с параметром шероховатости $Rz=80\div 40$ мкм, необходимо оставлять припуск 0.04-0.06 мм.

Время доводки развертки оставляет 3—5 мин. На упрочнение развертки при использовании однороликового приспособления затрачивается 8—10 мин, а при использовании двухроликового — 4—5 мин. Таким обра-

3. Давление на поверхность при «скоторых методах упрочнения поверхностным пластическим деформированием с наклепом

	Предварительная обработка поверхности			Рекомендуемое давление, ГПа				
				Стати-	Перемещение инструмента		Накатывание	
Мате- риал	Метод	Подача, мм/об (мм/дв. ход)	Высота неров- ностей <i>Rz</i> , мкм	ческое сдавли- вание неров- ностей	поперек рисок микро- профиля	вдоль рисок микро- профиля	роликом	шариком
Сталь 10, 20, 35	Обтачивание Растачивание Строгание Шлифование Развертывание	0,45—1,1 0,2—0,45 (До 0,2) (Грубое) Чистовое	80—320 40—80 10—40 6,3—10 До 6,3	90—130 70—110 40—70 50—80 20—50	0,70—1,1 0,40—0,75 0,25—0,20 0,30—0,60 0,22—0,40	0,40—0,75 0,30—0,45 0,20—0,35 0,20—0,35 0,20—0,35	0,60—0,80 0,30—0,60 0,40—0,70	0,75—0,10 0,55—0,95 0,25—0,55 0,35—0,65 0,20—0,40
Сталь 45, 50Г	Обтачивание Растачивание Строгание Шлифование Развертывание	0,45—1,1 0,2—0,45 (До 0,2) (Грубое) Чистовое	80—320 40—80 10—40 6,3—10 До 6,3	130—160 110—140 80—100 60—90 40—60	0,75—0,10 0,50—0,80 0,30—0,60 0,35—0,75 0,25—0,40	0,35—0,70 0,30—0,40 0,20—0,35 0,25—0,40 0,25—0,40	0,10—0,12 0,50—0,80 0,50—0,80	0,11—0,13 0,90—0,11 0,40—0,70 0,40—0,70 0,30—0,40
Латунь Л-62	Обтачивание Растачивание Строгание Развертывание	0,45—1,1 0,2—0,45 (До 0,2) Чистовое	80—320 40—80 10—40 Ло 6,3	85—120 70—100 40—65 20—45	0,70—0,100 0,40—0,70 0,25—0,50 0,20—0,40	0,45—0,75 0,40—0,65 0,25—0,45 0,20—0,35	0,35-0,55	0,75— 0,115 0,55—0,75 0,30—0,55 0,20—0,40
Чуг ун СЧ12	Обтачивание Растачивание Строгание Шлифование Развертывание	0,45—1,1 0,2—0,45 (До 0,2) (Грубое) Чистовое	80—320 40—80 10—40 6,3—10 До 6,3	90—125 75—110 45—70 45—65 25—50	0,75—0,11 0,45—0,75 0,30—0,55 0,30—0,60 0,25—0,45	0,50—0,80 0,45—0,70 0,30—0,50 0,30—0,55 0,20—0,35	0,60—0,80 0,30—0,60 0,40—0,70	0,80—0,10 0,55—0,80 0,25—0,55 0,35—0,65 0,20—0,40

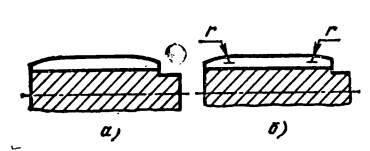


Рис. 4. Геометрия неупрочненных (а) и упрочненных (б) зубьев развертки в продольном сечении

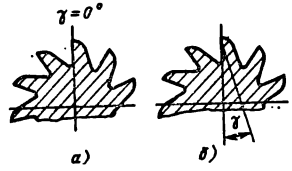


Рис. 5. Геометрия неупрочненных (a) и упрочненных (δ) зубьев развертки в поперечном сечении

зом, время, затрачиваемое на доводку и упрочнение разверток, примерно одинаково, но в последнем случае повышаются качество обрабатываемой поверхности и стойкость инструмента, что обусловливает экономический эффект применения метода упрочнения.

В результате упрочнения параметры шероховатости инструмента улучшаются от Ra 0,63 до Ra 0,040 мкм, твердость поверхностного слоя возрастает. Количество остаточного аустенита в нем значительно уменьшается.

В процессе упрочнения возникает скругление (радиус r на рис. 4) при переходе режущей части в калибрующую, что является положительным фактором, так как предотвращает быстрое изнашивание. Изменяется геометрия передней поверхности инструмента (рис. 5); образуется передний угол $\gamma=8\div10^\circ$, который увеличивается при возрастании усилия P. Радиус скругления режущих кромок в этом случае получается несколько меньшим, чем при шлифовании, и составляет 15—20 мкм. Указанные изменения геометрии инструмента оказывают благоприятное воздействие на процесс резания.

Обработка инструмента и деталей технологической оснастки методом алмазного выглаживания. Применяют для упрочнения изделий с твердостью до *HRC* 65. Может заменить операции окончательного шлифования, полирования, доводки и суперфиниширования поверхности. Метод широко универсален. Рационален для обработки стальных закаленных или термически не упрочненных деталей, с поверхностными покрытиями и без них, а также деталей из цветных металлов, их сплавов, высокопрочных чугунов. Выполняют специальными инструментами — выглаживателями, оснащенными сфероидальными, трапециевидными или конусообразными деформирующими

элементами, изготовленными из синтетических сверхтвердых материалов — карбонада, гексанита-Р, эльбора-Р и других, реже — из природных алмазов или твердых сплавов.

В инструментальном производстве используют при обработке колонок и направляющих втулок штампов для холодной штамповки, пуансонов, вкладышей прессформ, формообразующих поверхностей вытяжных штампов, зубьев круглых деформирующих, уплотняющих протяжек, прошивок, калибров-пробок. Износостойкость выглаженной поверхности увеличивается в 2—3 раза по сравнению со шлифованной и на 20—40 % по сравнению с полированной; износостойкость и контактная выносливость выглаженной хромированной поверхности на 35—50 % выше полированной.

Гидроабразивное упрочнение. Наклеп поверхностного слоя струей суспензии (жидкость + абразивные частицы) применяют для случаев, когда требуется небольшая глубина упрочненного слоя. Подача абразивной суспензии к соплам установок для гидроабразивной обработки может осуществляться в зависимости от конструктивных особенностей и типа установки самотеком, эжекцией сжатым воздухом или под давлением с помощью насоса.

Гидроабразивное упрочнение стальных и твердосплавных инструментов. Поверхности и грани твердосплавных пластин и инструментов после спекания могут обладать рядом специфических дефектов. Наиболее характерные дефекты — рванные кромки, заусенцы (наплывы), микротрещины и микропоры, неравномерность химического состава, окисные пятна, неравномерность распределения твердости («пятнистость»), ликвация и зоны высокой концентрации металлов, используемых в качестве наполнителя и связки и отличающихся повышенной вязкостью (например, кобальт). По этим причинам могут возникать «вторичные» дефекты — внутренние напряжения, вспучивания, искривления геометрических форм и т. п. Дефекты снижают прочность поверхностного слоя, увеличивают силу трения, создают условия для возникновения нежелательного эффекта «схватывания» металла стружки с вязкими участками на поверхности твердого сплава. Они служат очагами концентрации напряжений и цен-

трами разрушений, преобладающей причиной поломок и преждевременного изнашивания твердого сплава при эксплуатации инструмента. Поверхности стальных, окончательно обработанных инструментов, также обладают большинством перечисленных дефектов. Кроме того, поверхностный слой металла закаленного инструмента часто содержит в себе скрытые пороки — зашлифованные прижоги, растягивающие внутренние напряжения, зоны водородного насыщения, зоны повышенной концентрации аустенитных структурных включений.

Гидроабразивная обработка поверхностных слоев инструментальных материалов позволяет ликвидировать большинство из указанных дефектов и тем самым увеличить стойкость инструментов на 25—40 %. Процесс выполняют на гидроабразивных установках либо с помощью центробежно-планетарных машин. В качестве рабочих сред применяют абразивные гранулы, бой абразивных инструментов, фарфоровые, стеклянные или стальные закаленные шарики, кварцевый песок. Для обработки пластин твердого сплава успешно применяют абразивный порошок зеленого карборунда марки КЗ 160. Состав рабочего раствора (г/л): триэтаноламин 6—8, калий хромовокислый 9—10 или жидкое стекло 3—4, остальное вода.

Длительность процесса обработки в центробежно-планетарных машинах — 40-60 мин. Целесообразно разделять цикл процесса на два этапа: предварительной и финишной обработки. На первом этапе (10-15 мин) причастоте вращения рабочей кассеты n=200 об/мин притупляются острые кромки на ребрах и вершинах пластин, частично снимается дефектный поверхностный слой. Окончательную обработку выполняют в течение 40-50 мин при n=300-500 об/мин. На этом этапе обеспечивают скругление режущих кромок до радиуса 15-50 мкм и полное снятие дефектного поверхностного слоя. В процессе обработки обеспечивается создание упругих деформаций сжатия, оказывающих положительное влияние на стойкость инструмента. Процесс доступен и экономически эффективен даже при малых партиях упрочняемого инструмента.

Упрочнение чеканкой — упорядоченное ударное воздействие на упрочняемую поверхность. Выполняют спе-

циальными бойками с помощью механизированного инструмента — пневматического, электрического или механического.

Применяют инструменты с единичным бойком и многобойковые ротационные — шариковые и роликовые. Ударные бойки — шары или ролики — расположены в гнездах дисков-роторов. При их вращении в контакте с обрабатываемой поверхностью бойки поочередно наносят удары, создавая эффект наклепа. Ротационную чеканку используют для упрочнения деталей с малой жесткостью или для обработки внутренних поверхностей.

Вибрационно-упрочняющая обработка (чеканка). Разновидность метода чеканки деформирующими бойками, роликами или шариками. При вибрационной отделочно-упрочняющей обработке происходит многократное соударение частиц рабочей среды с деталью, вызывающее поверхностное упругопластическое деформирование. Выполняют в среде вибрируемых стальных закаленных шаров или роликов. Применяют для получения наклепа и образования в поверхностном слое детали сжимающих остаточных напряжений с целью повышения износостой-кости и сопротивления усталости.

Наибольшие значения глубины наклепа и остаточных сжимающих поверхностных напряжений достигаются при виброобработке стальными роликами. При обработке деталей с исходным параметром шероховатости поверхности свыше Rz 20 мкм возможно ухудшение поверхности и увеличение ее шероховатости.

Лучших результатов достигают при обработке в среде стальных закаленных полированных шаров диаметром 2—16 мм. Шероховатость поверхности можно снизить на два—четыре интервала числовых значений параметра шероховатости.

В процессе отделки и упрочнения поверхности деталей в среде закаленных тел типа шаров происходит улучшение шероховатости поверхности, наклеп и образование сжимающих остаточных напряжений. Глубина наклепа и величина напряжений при этом меньше, чем при обработке в среде роликов. После вибрационной обработки в среде стальных закаленных шаров можно получить параметры шероховатости поверхности детали от Ra 0,63 до Ra 0,040 мкм. Достигаемые параметры шероховатости

¹⁰ Полевой С. Н. и др.

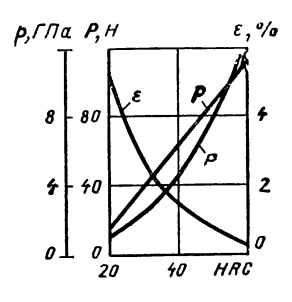


Рис. 6. Зависимость силы Р удара, контактных давлений р, степени деформации є от твердости НКС обрабатываемой стали при вибрационной обработке

поверхности зависят от исходной шероховатости и твердости материала обрабатываемой детали.

Практика показывает, что продолжительность вибрационной обработки не должна превышать 200 мин. Продолжительность можно уменьшить путем увеличения частоты и амплитуды колебаний, изменения характера рабочей среды и искусственного увеличения массы детали (крепление на специальные оправки; обработка нескольких деталей, жестко связанных одна с другой). Наиболее интенсивен процесс обработки при неподвижном закреплении

детали. Сила *Р* микроудара при обработке деталей, закрепленных в вибробункере со свободно перемещающимися шарами или роликами (вибросредой), может быть определена по формуле

$$P_{\text{Bar}} = \frac{m_1 v_1^2}{2} \frac{4R}{r^2} \left(1 - \frac{3}{8} K^2 \right).$$

В случае свободной загрузки деталей, т. е. если детали не крепятся к корпусу вибробункера и могут свободно перемещаться в вибросреде, силу микроудара P можно рассчитать по формуле

$$P_{\text{CB}} = \frac{m_1 v_1^2}{2} \frac{4R}{r^2} \left\{ \frac{5}{8} \left[1 - (1 + K) \frac{m_2}{m_1 + m_2} \right]^2 + (1 - K^2) \frac{m_2}{m_1 + m_2} \right\},$$

где m_1 и m_2 — приведенная масса частицы рабочей среды и обрабатываемой детали соответственно; v — скорость частицы рабочей среды при ударе; R — радиус частицы рабочей среды; r — радиус отпечатка на обработанной поверхности после удара частицы; K — коэффициент восстановления при ударе.

Контактные давления определяют по формуле $p = P/(\pi r^2)$; степень деформации принимают равной $\epsilon = r/R$, где R — радиус инструмента (шара или ролика).

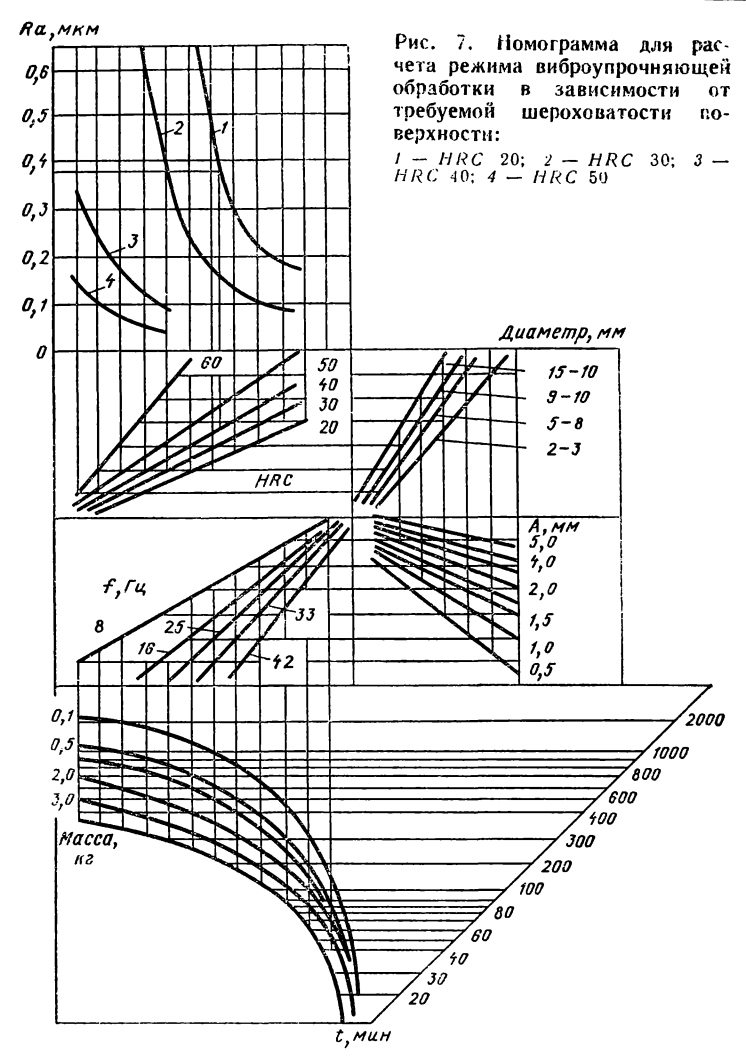
Режим виброупрочняющей обработки зависит от твердости и вязкости обрабатываемого металла. Например, для стали марки 40X с увеличением ее твердости от HRC 20 до HRC 60 степень деформации уменьшается с 5 до 0,5 %; сила удара увеличивается с 8 до 900 H; контактные удельные давления увеличиваются с 0,5 до $12\ \Gamma\Pi a$ (рис. 6).

Режим виброупрочняющей обработки можно определить по номограммам в зависимости от требуемой шероховатости поверхности и глубины наклепа. С учетом исходной шероховатости и твердости, характера частиц рабочей среды, частоты и амплитуды колебаний камеры, массы детали определяют продолжительность обработки.

По номограмме на рис. 7 устанавливают режим виброупрочняющей обработки, выполняемой с целью изменения шероховатости поверхности детали. На номограмме приведены данные для обработки деталей с исходными параметрами шероховатости $Ra=2.5\div0.16$ мкм, однако можно обрабатывать детали и с большими параметрами шероховатости.

По номограмме на рис. 8 определяют режим обработки, осуществляемой для получения заданной глубины наклепанного слоя. Глубина наклепа значительно зависит от твердости обрабатываемого материала. Для сталей твердости HRC 50-60 глубина наклепа при всех условиях и режимах обработки не превышает 0,1 мм. С уменьшением твердости стали глубина наклепа увеличивается (при одинаковых условиях обработки) и при твердости HRC 20 достигает 0,3 мм. При рекомендуемых условиях обработки степень наклепа достигает 30-60 %.

В номограммах приведены данные для расчета режимов виброупрочняющей обработки в среде частиц типа шаров и роликов различного размера, изготовленных из закаленной стали ШХ15 (HRC 60—65), деталей из углеродистых и легированных сталей различной твердости и различных структурных состояний: твердостью HRC 20 (структура феррит и феррит + перлит); твердостью HRC 30 (перлит); твердостью HRC 40 (сорбит); твердостью HRC 50—60 (мартенсит и троостит). На расчетных режимах проводят виброупрочняющую обработку с постоянной промывкой 3 %-ным водным раствором кальцинированной соды.



Рекомендуемые амплитуды в вертикальной плоскости лежат в пределах 0,5—6,0 мм; диапазон частот: 8, 16, 25, 33 и 42 Гц. Нецелесообразно проводить обработку с частотой колебаний свыше 42 Гц, так как в этом случае нарушается нормальная работа вибрационной установки. При обработке нужно учитывать массу деталей, закреп-

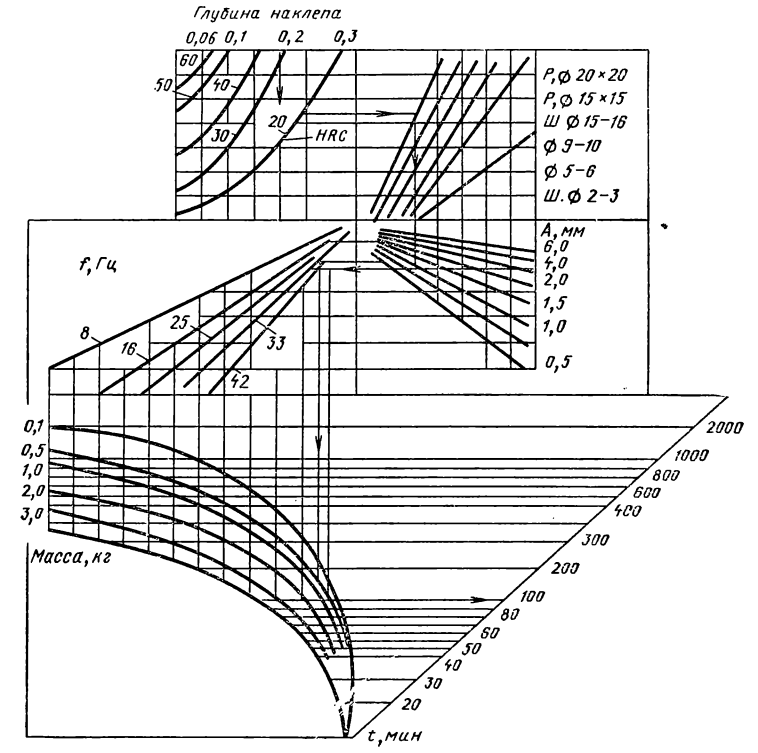


Рис. 8. Номограмма для расчета режима виброупрочняющей обработки в зависимости от глубины наклепанного слоя (Р — ролик, Ш шарик, А — амплитуда колебаний)

лять их неподвижно. На номограммах приведена масса деталей (0,1—3,0 кг).

Порядок расчета по номограммам: по требуемой шероховатости или глубине наклепа с учетом исходной шероховатости и твердости стали определяют характер рабочей среды, частоту и амплитуду колебаний камеры вибрационной установки. После этого, зная массу детали, определяют значение необходимой продолжительности обработки на установленных режимах.

Вибрационное упрочнение твердых сплавов. Для виброупрочнения твердых сплавов наиболее эффективный вариант — виброабразивная обработка с последующим

виброупрочнением в среде, где в качестве наполнителя используются твердосплавные шарики. Виброабразивную обработку выполняют в абразивных средах, состоящих из порошков и боя абразивных кругов белого и хромистого электрокорунда, черного карборунда, отработавших пластин минералокерамики (например, марки ЦМЗЗ2). При виброупрочнении твердосплавных изделий несложной конфирурации форма обрабатывающих тел не оказывает существенного влияния на эффективность обработки. Использование твердосплавных цилиндрических тел дает такой же эффект, как и применение твердосплавных шариков. Производительность виброобработки, качество мариков. Производительность виоросорасотки, качество обработанной поверхности и эксплуатационные свойства твердосплавных изделий зависят от режимов обработки (частота и амплитуда колебаний контейнера, продолжительность процесса) и от природы обрабатывающих сред. Виброупрочнение твердосплавных изделий выполняют при амплитуде колебаний вибробункера равной 2—3 мм, частоте 1500 кол/мин. Время виброабразивной обработки колеблется от 2 ч (для сплавов типа ВК6, ВК8) до 3 ч колеблется от 2 ч (для сплавов типа ВК6, ВК8) до 3 ч (для сплавов типа ВК15). Продолжительность виброупрочняющей обработки соответственно равна 3—4 и 1,5—2 ч. В результате виброобработки твердого сплава повышаются его ударная вязкость, предел прочности при изгибе, твердость, снижается шероховатость поверхности. Виброупрочнение — эффективный метод увеличения эксплуатационной стойкости твердосплавных инструментов, особенно тех, где используются механические способы крепления рабочих твердосплавных элементов — режущих пластин, фильер, матриц, калибрующих колец протазуем и т. п тяжек и т. п.

УПРОЧНЕНИЕ ЭНЕРГИЕЙ ВЗРЫВА

Энергией взрыва можно повысить износостойкость при истирании, твердость поверхностного слоя, пределы прочности и текучести, статическую прочность (сварных соединений в результате сквозного наклепа сварного шва и зоны термического влияния), циклическую прочность (из-за повышения пределов прочности и текучести материала), улучшить качество поверхностного слоя металла. Упрочнение при импульсных нагрузках взрывом суще-

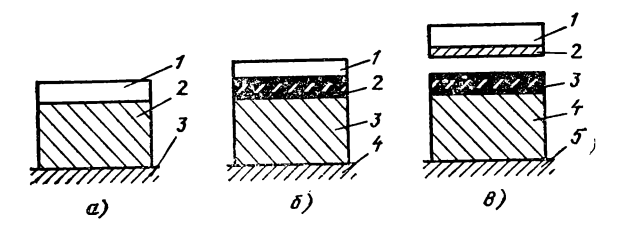


Рис. 9. Схемы процесса упрочнения с помощью взрыва: a-c укладыванием взрывчатого вещества на поверхность; b-c использованием передающей среды; b-c метанием пластины на поверхность; b-c дегаль; b-c дегаль; b-c пора; b-c пластина

ственно отличается от упрочнения в обычных условиях. При ударе с большой скоростью, свойственной взрыву, эффект упрочнения возрастает по мере увеличения скорости удара. В металле могут возникать высокие локальные температуры, вызывающие фазовые превращения в локальных участках. Одновременно действуют процессы, присущие упрочнению при обычных скоростях деформирования, такие, как двойникование, сдвиги, фрагментация. Упрочнение энергией взрыва осуществляют по схемам, показанным на рис. 9, в зависимости от конструкции и назначения упрочняемого изделия.

Схему упрочнения наложением заряда взрывчатых веществ на упрочняемую поверхность применяют для упрочнения деталей большого сечения в том случае, если к ним не предъявляется высоких требований в отношении шероховатости поверхности и если существует припуск на обработку поверхности, повреждаемой взрывом. Схема эффективна при упрочнении деталей, выполненных методом горячего проката, литья, горячей штамповки (железнодорожные рельсы, звенья цепей экскаваторов, траки гусеничных машин). Ее можно использовать для упрочнения деталей большого сечения, к которым предъявляются высокие требования к точности размеров и шероховатости поверхности. В этих случаях важно определить место упрочняющей обработки в технологическом процессе, предусмотреть припуск на окончательную обработку. Припуск должен быть достаточным для устранения поверхностных дефектов и быть меньше толщины наклепанного слоя. Окончательная обработка резанием не должна сопровождаться появлением высоких

температур и разупрочнением поверхности. Упрочнение по этой схеме используют для повышения износостойкости при трении, статической и циклической прочности.

по этой схеме используют для повышения износостойкости при трении, статической и циклической прочности. Схему упрочнения взрывом в передающей среде применяют для упрочнения точных и высокоточных деталей, в том числе деталей сложных геометрических форм. Передающая среда служит защитой обрабатываемой поверхности от повреждений в результате действия взрывчатого вещества. Она передает импульс взрыва взрывчатого вещества и воздействует на обрабатываемую поверхность; регулирует давление и время действия импульса. Изменением плотности и толщины слоя среды регулируют глубину и степень наклепа материалов различной прочности. Плотность среды должна быть тем большей, чем большую нужно получить глубину и степень наклепа. Чем выше прочность обрабатываемого металла, тем большей должна быть плотность передающей среды. В качестве передающих сред используют воздух, воду и другие инертные вещества. При использовании воды в качестве передающей среды следует иметь в виду, что в результате неполной смачиваемости на поверхности могут скапливаться мельчайшие пузырьки воздуха. Под действием высокого давления ударной волны происходят тикровзрывы пузырьков воздуха, что приводит к значительному повреждению поверхности. Во избежание этого обрабатываемую поверхность покрывают специальными смазочными материалами, обеспечивающими полную ее смачиваемость, или удаляют пузырьки тонкой волосяной щеткой. Стабильность результатов упрочнения во многом зависит от постоянства температуры воды, примененной в качестве передающей среды.

Технологические параметры процесса упрочнения: вид взрывататого вещества, масса заряда, дистанция взрыва,

в качестве передающей среды.

Технологические параметры процесса упрочнения: вид взрывчатого вещества, масса заряда, дистанция взрыва, передающая среда, ее плотность.

Основными источниками энергии при упрочнении металлов взрывом служат гексоген (флегматизированный) и тротил (прессованный и сыпучий). Иногда для получения основного заряда используют детонирующие шнуры, укладываемые соответственно форме детали. Детонирующий шнур ДШ-А — высокобризантное взрывчатое вещество, помещенное в хлопчатобумажную оплетку. Внутри сердцевины по всей длине шнура проходят направляющие нити.

Взрывчатые вещества	Консистенция	Область применения		
Гексоген Тротил Тротил РЕТN ТЭН	Флегматизирован- ный Прессованный Порошкообразный Пластический В детонирующем шнуре	Основной заряд То же » » » Вспомогательный		
Электродетонатор	_	заряд Инициирующий заряд		
Аммонит	Порошкообразный	То же Основной заряд		

4. Варывнатые вещества, применяемые при упрочнении металлов

Сверху шнур покрыт парафиновой изоляцией. Это позволяет использовать его в воде. Детонирующий шнур создает скорость детонации не менее 6500 м/с. Шнур легко и безопасно можно резать острым ножом на деревянной доске; изготовляют отрезками по 50 м, свернутыми в бухты. Основные характеристики взрывчатых веществ даны в табл. 4.

При необходимости получения малых импульсов энергии в качестве основного заряда используют электродетонаторы различных конструкций. В качестве основного заряда часто применяют так называемые пластические взрывчатые вещества — консистентную пасту, получаемую при смешивании твердых взрывчатых веществ с воском или парафином.

Форма заряда — один из важнейших факторов. Она определяет форму ударной волны и продолжительность воздействия давления на заготовку. Для упрочнения взрывом используют заряды сферической, цилиндрической и плоской формы.

Детонирующую способность заряда цилиндрической формы определяет диаметр заряда.

Инициирование заряда осуществляется с помощью специальных электродетонаторов или через промежуточный (пассивный) заряд, в качестве которого наиболее часто применяется детонирующий шнур ДШ-А. Расчет зарядов, их подготовку, хранение, монтаж и использование для целей упрочнения металлов пластическим деформированием осуществляют в соответствии со специальными правилами.

УПРОЧНЕНИЕ МЕТОДАМИ ЭЛЕКТРОМЕХАНИЧЕСКОЙ ПЛАСТИЧЕСКОЙ ОБРАБОТКИ

Электромеханическая обработка (ЭМО) — способ обработки металла термомеханическим местным воздействием на поверхностный слой. При электромеханическом способе упрочнения в процессе обработки детали через место контакта инструмента с деталью пропускают ток большой силы и низкого напряжения (рис. 10). Возникает сильный нагрев неровностей и поверхностного слоя металла, снижаются его прочность и твердость. Давлением инструмента обеспечивают деформацию и сглаживание поверхности, придают ей новые прочностные свойства. Особенности процесса: тепловое и силовое воздействия на поверхностный слой осуществляются одновременно, а не последовательно. Нагрев при этом сопровождается действием значительных удельных давлений; нагрев поверхностного слоя металла происходит от действия двух источников тепла: внешнего (теплота трения) и внутреннего (теплота, выделяемая при прохождении тока). Особенность второго источника: теплота от него создается одновременно и мгновенно во всем поверхностном слое; длительность нагрева и выдержки в зависимости от по-

одновременно и мітновенно во всем поверхностном слое; длительность нагрева и выдержки в зависимости от поверхности контакта и скорости обработки весьма кратковременна (сотые и тысячные доли секунды); высокая скорость охлаждения из-за интенсивного отвода теплоты от тонкого поверхностного слоя вовнутрь холодной детали. Поверхностный слой подвергается многократным термомеханическим воздействиям в зависимости от числа проходов.

В зависимости от степени влияния на структуру и свойства поверхностного слоя различают следующие виды упрочнения: чистовой скоростной режим с малой глуби-

ной упрочнения; режим со средней глубиной упрочнения; высокий режим с более значительной глубиной упрочнения.

При высоких (интенсивных) режимах упрочнения в поверхностном слое (на значительной глубине) образуется светлая зона. В переходном

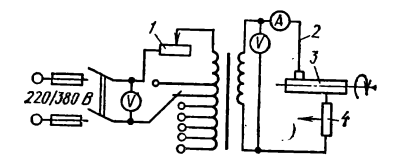


Рис. 10. Принципиальная схема устройства для электромеханической пластической обработки:

1 — реостат; 2 — вторичная обмотка; 3 — деталь; 4 — инструмент

слое отсутствует значительная пластическая деформация. Режим характеризуется наличием фазовых превращений в структуре стали. Обработка на средних режимах приводит к возникновению в поверхностном слое металла однородной (темной или светлой) зоны. Нижележащий переходный слой сильно деформирован. Режим характеризуется частичным возвратом к зоне однородного поверхностного слоя. При этом если температура нагрева выше Ac_3 , то образуется светлый слой, связанный с фазовыми превращениями, а если ниже Ac_3 , то образуется темный слой. Режимы упрочнения приведены в табл. 5.

Указанные в табл. 5 значения тока и скорости выбирают в соответствии с требованиями к глубине упрочнения. При этом следует иметь в виду, что предельные значения

5. Режимы упрочнения среднеуглеродистых конструкционных сталей

Вид упрочнения	Инструмент	Сила тока, А	Скорость, м/мин	Подача, мм/об	Параметр шероховато- сти <i>Ra</i>	Глубина упрочненно- го слоя, мм	число про- ходов
Чистовой скоростной режим: с малой глубиной упрочиения со средней глубиной Высокий режим с более значительной глубиной упрочнения	Пла- стина То же Ро- лик	600	80— 130 8—15 8—10	0,3	0,63— 0,16 0,63— 0,16 2,5— 0,63	0,02— 0,03 0,06— 0,10 0,15— 0,30	1—2 2—3 1—2

этих параметров рассчитаны на типовую геометрию инструмента ($R=30\,\mathrm{mm},\,r=15\,\mathrm{mm}$) при обработке деталей средних диаметров ($30-60\,\mathrm{mm}$).

При обработке деталей сложной конфигурации или при обработке роликовым инструментом его геометрия может существенно изменяться. В этих случаях необходим расчет площади контакта инструмента с деталью. Плотность тока выбирают для первого режима $200-250\,\mathrm{A/mm^2}$, для второго $270-320\,\mathrm{A/mm^2}$, для третьего $400-600\,\mathrm{A/mm^2}$. Для больших обрабатываемых поверхностей следует выбирать меньшее значение плотности тока. Глубину упрочнения рассчитывают по формуле

$$\delta = \frac{\textit{K}\mu \; (0,24 \eta \textit{JU} + \textit{Pvf}/42,7)}{\textit{cvB}\rho T_{\Phi}}$$
 ,

На значение усилия электромеханического сглаживания влияют площадь поверхности контакта инструмента с изделием и физико-механические свойства поверхност-

Скорость рабочего органа машины, м/мин	Температура обработки, °С					
	Ниже 0,5 <i>Т</i>	Выше 0,5 <i>Т</i> при неполной горячей деформации	Выше 0,5 <i>Т</i> при горячей деформа- ции			
16—42 42—125 Более 160	1,1 1,15 1,25	1,4—2,4 2,4—3,0 3,5	1,2—1,6 1,6—2,0 2,5			

6. Значения коэффициента ю

Примечание. Т — абсолютная температура плавления.

ного слоя. В свою очередь, поверхность контакта зависит в основном от исходной шероховатости и кривизны контактирующих поверхностей детали и инструмента. В случае, если давление p будет ниже расчетного, то шероховатость поверхности увеличивается. Если давление p будет выше расчетного, процесс сглаживания начинает переходить в процесс высадки и появляется так называемая вторичная шероховатость.

Давление р можно рассчитать по формуле

$$p = \omega K_{\Pi} \sigma_{B}' F \left(\frac{Rz}{Rz - a} \right)^{m}$$

где ω — коэффициент скорости; K_{π} — коэффициент пропорциональности; σ_{δ}' — предел прочности нагретого металла; F — площадь поверхности контакта; Rz — параметр шероховатости сглаживаемой поверхности; a —
сближение инструмента и детали при сглаживании; m — показатель политропы сжатия.

Значения коэффициента ω приведены в табл. 6.

Мощность процесса сглаживания неровностей и упрочнения поверхности электромеханической пластической обработкой можно рассчитать по формуле (пренебрегая величиной работы, совершаемой при подаче инструмента)

$$N_a = Pfv/(60 \cdot 120) \text{ kBt.}$$

При выборе метода упрочнения электромеханической пластической обработкой и установлении ее режимов

следует учитывать состояние исходной структуры металла, его дисперсность и химический состав. Мелкозернистая структура, обладая большим сопротивлением, способствует более интенсивному выделению теплоты, лучшей растворимости легирующих элементов, карбидов, нитридов и более глубокой прокаливаемости поверхностного слоя. Мелкозернистая структура одного и того же металла, обладая большей суммарной поверхностью раздела, отличается меньшей электрической проводимостью. По мере увеличения температуры отпуска электрическая проводимость закаленной стали повышается, что связано с понижением дисперсности ее структуры. Отдельные составляющие структуры поликристаллов,

Отдельные составляющие структуры поликристаллов, например, перлит, феррит и цементит, обладают различным сопротивлением прохождению тока. Наибольшее сжатие силового потока и наиболее высокая температура возникают по границам включений или пор. Это обстоятельство имеет важное практическое значение для обработки поверхностных слоев, образованных при восстановлении деталей наплавкой и металлизацией и содержащих много пор и других объемных дефектов.

Если обработку проводят на режиме, при котором отсутствуют фазовые превращения и поверхностный слой имеет темный цвет, то температуру обработки принимают ниже $0.5T_{\Phi}$. В том случае, когда обработку проводят с фазовыми превращениями, поверхностный слой светлый, но переходный слой имеет ярко выраженную завихренность (текстурированность), температуру обработки можно принять выше $0.5T_{\Phi}$ при неполной горячей деформации. При наличии фазовых превращений в поверхностном слое и резком переходе к исходной структуре без заметной завихренности температура обработки должна быть выше $0.5T_{\Phi}$ (горячая деформация). При высоких температурах и значительных давлениях ЭМО можно ожидать появления растягивающих остаточных напряжений в светлом поверхностном слое, несмотря на мартенситное строение его структуры. При умеренных температурах ЭМО ниже точки Ac_3 и небольших давлениях можно ожидать в мартенситной структуре появления сжимающих остаточных напряжений.

При высокотемпературной деформации, когда температура выше Ac_3 , возникает горячий наклеп металла. В ре-

зультате деформированные зерна приобретают мелко-дисперсное строение, уплотняются и срастаются между собой. Поверхностный слой принимает темный цвет. Такой слой металла характеризуется уменьшением объема и, следовательно, появлением растягивающих остаточных напряжений. Давление обрабатывающей пластины при ЭМО создает тангенциально направленную силу трения, которая способствует вытягиванию наружных слоев ме-талла, возникновению растягивающих остаточных на-пряжений. Избежать этого можно применением враща-ющегося ролика вместо пластины. Многократное термомеханическое воздействие на по-

Многократное термомеханическое воздействие на поверхностный слой способствует получению более мелкой, однородной и плотной структуры. При многократном воздействии, характеризующемся числом проходов инструмента по упрочняемой поверхности, показатель политропы сжатия можно рассчитать по формуле

$$m = lN/S$$
,

где l — длина контакта инструмента с деталью, мм: N — число повторных проходов; S — подача, мм/об. Твердость упрочненного поверхностного слоя зависит от числа проходов инструмента, скорости сглаживания (скорости пластического деформирования), давления на поверхность в точке (зоне) контакта, а также от физикохимических особенностей металла обрабатываемой детали. При прочих равных условиях твердость возрастает с увеличением количества углерода в стали, числа проходов инструментом, давления на инструмент. Наибольшей твердостью обладает поверхностный слой глубиной 0,02—0,1 мм. Зависимость значения твердости поверхностного слоя стальных деталей после упрочнения электромеханической обработкой от перечисленных факторов иллюстрируется примерами графиков (рис. 11).

Упрочнение методом электромеханической пластической обработки можно выполнить жестко закрепленным инструментом или принудительно вращающимся роликом (рис. 12).

ком (рис. 12).

В качестве неподвижного жестко закрепленного инструмента применяют пластины или ролики твердого сплава Т15К6 с двойным радиусом скругления торца;

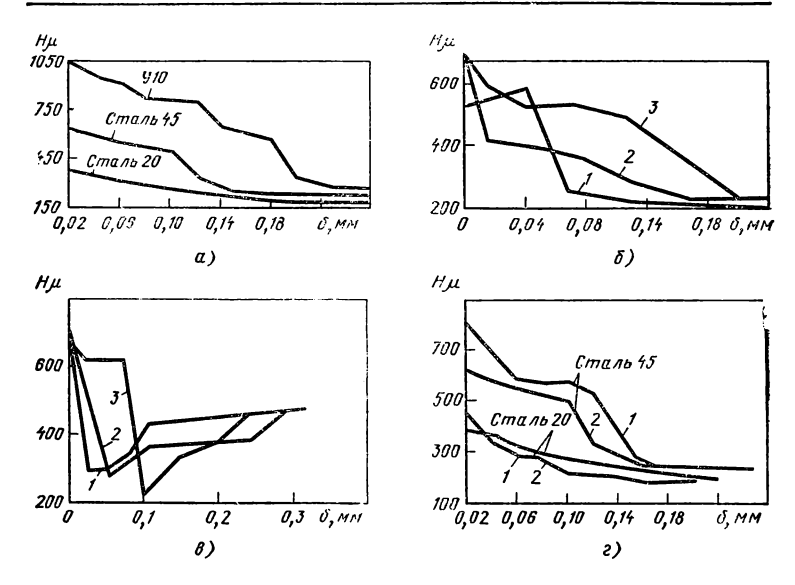


Рис. 11. Зависимость твердости поверхностного слоя от содержания углерода в стали (a), числа проходов инструмента (b), скорости сглаживания (скорости упрочняющей пластической деформации) (a), давления на инструмент (a):

a-p=700 Па, J=600 А, v=3,2 м/мин, S=0,195 мм/об; 6- сталь 40 Х, HB 318, J=710 А, v=8 м/мин, S=0,2 мм/об; e- сталь 40 Х, HB 536, J=470 А, p=500 Па, S=0,2 мм/об (I-v=82,2 м/мин; 2-v=54,1 м/мин; 3-v=13,6 м/мин); e-J=600 А, v=3,2 м/мин, S=0,195 мм/об (I-p=100 Па; 2-p=700 Па)

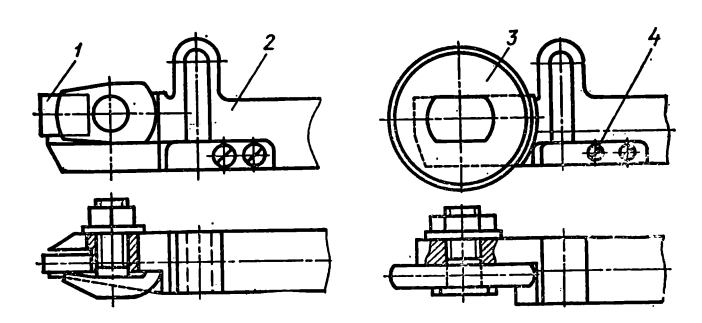


Рис. 12. Примеры конструкций единичных деформирующих инструментов:

^{1 —} давящая твердосплавная пластина; 2 — пружинная однопетлевая державка; 3 — давящий неподвижный твердосплавный ролик; 4 — боковые упоры

например, $R=25\div40$ мм, r=15, где R — радиус в плане; r — радиус профиля пластины (ролика). При одинаковых режимах ЭМО глубина упрочненного

При одинаковых режимах ЭМО глубина упрочненного слоя выше при сглаживании неподвижным инструментом. В этом случае имеет место трение скольжения, что приводит к образованию завихренной текстуры поверхностного слоя и более интенсивному измельчению его структуры. Детали, упрочненные неподвижным инструментом, по сравнению с деталями, упрочненными подвижным инструментом, обладают большей выносливостью и износостойкостью. При работе неподвижным инструментом, имеющим радиусный профиль, на нем быстро образуется площадка. Поэтому на радиусе нужно выполнить поясок шириной 0,5 мм, что в несколько раз увеличивает стойкость инструмента. Перед каждой очередной операцией инструмент-ролик поворачивают на угол 10—15° для обновления поверхности контакта.

К недостаткам неподвижного инструмента относится его сравнительно небольшая стойкость. Поэтому он находит применение при обработке небольших поверхностей типа шеек валов. При упрочнении валов диаметром $60-100\,$ мм из среднеуглеродистых нормализованных сталей с параметрами шероховатости до $Ra=0,63\div 0,08\,$ мкм профильный радиус ролика диаметром $45\,$ мм может быть принят равным $15\,$ мм. Режим обработки: сила тока $J=400\div 450\,$ А, подача $S=0,21\,$ мм/об, усилие $P=500\div 700\,$ H.

Упрочнение колец диаметром 60-100 мм, изготовленных, например, из отожженной стали 40 X, можно осуществить неподвижной пластиной из твердого сплава T15 K6 с геометрией R=30 мм, r=15 мм при следующем режиме обработки: J=400 A, v=6,5 м/мин, S=0,2 мм/об, P=200 H.

Для повышения стойкости инструмента подача при ЭМО не должна совпадать с подачей, применяемой при резании. Целесообразно применять при этом охлаждение сжатым воздухом, эмульсией или любой пожаробезопасной охлаждающей средой. Например, предварительную обточку под сглаживание выполняют при режиме резания $v=120\div130$ м/мин, t=0.3 мм, S=0.17 мм/об резцом из сплава T15K6, имеющим следующую геометрию: $\gamma=5$ °; $\alpha=8$ °, $\varphi=45$ °, $\varphi_1=30$ °, r=0.5 мм. После пред-

токарной обработки параметры шеро-новерхности соответствуют $Rz = 40 \div$ варительной поверхности ховатости 10 мкм.

10 мкм.
 При чистовой обработке нежелательно схватывание контактируемых материалов, так как это ведет к образованию нароста на твердом сплаве и резкому увеличению шероховатости поверхности. Поэтому при изготовлении деформирующего инструмента твердые сплавы типа ВК, обладающие большой склонностью к схватыванию, следует заменять сплавами типа ТК.
 Преимущества вращающегося ролика: высокая стойкость, возможность упрочнения деталей на большую глубину. Вращающийся ролик применяют при обработке больших поверхностей, когда не предъявляют высоких требований к волнистости, а также во всех случаях при обработке чугуна.

требований к волнистости, а также во всех случаях при обработке чугуна.

Процесс электромеханической пластической обработки выполняют при постоянном токе. Источниками постоянного тока могут быть мощные низковольтные выпрямители, электромашинные преобразователи, генераторы постоянного тока, сварочные трансформаторы, трансформаторы машин для точечной и контактной сварки и др. При выборе мощности трансформатора следует учитывать продолжительность его включения. При ЭМО она может достигать 30—50 %, что неизбежно отразится на увеличении необходимой номинальной мощности. Для многих процессов упрочнения электромеханической пластической обработкой, в особенности при одновременном использовании нескольких инструментов, а также при обработке обработкой, в особенности при одновременном использовании нескольких инструментов, а также при обработке крупногабаритных деталей требуется большая мощность источника тока. Необходимая сила тока во вторичном контуре может достигать 2000—3000 А и выше. В этих случаях наиболее подходящими являются трансформаторы для контактной сварки мощностью 25—50 кВт. Диапазон их регулирования при установлении режима процесса может быть расширен введением в первичную цепь трансформатора напряжения 220/380 В. Более плавное регулирование силы тока может быть осуществлено установкой реостата в первичную цепь трансформатора. В генераторах постоянного тока регулирование силы тока можно производить реостатом, включенным в цепь возбуждения. При использовании выпрямителей регулирование силы тока может быть осуществлено введением в питающую сеть специального автотрансформатора или с помощью

мощного ступенчатого реостата, включаемого последовательно в низковольтную цепь (например, от 0,015 до 2 Ом).

Упрочнение быстрорежущих и высоколегированных инструментальных сталей методом электромеханической пластической обработки. Выполняют для поверхностей инструментов, например, сверл, фрез, разверток, зенкеров и других, изготовленных из быстрорежущих и легированных инструментальных сталей а также инструментальных инструментальных сталей а также инструментальных сталей.

и других, изготовленных из быстрорежущих и легированных инструментальных сталей, а также инструментов, например, пуансонов, матриц, ножей, изготовленных из высоколегированных инструментальных сталей.

Упрочнению подвергают закаленный, окончательно обработанный инструмент или детали. Электромеханическую пластическую обработку режущих инструментов выполняют по задним поверхностям режущих зубьев. Сложнопрофильные инструменты, например, долбяки, фрезы червячные, резьбонарезные гребенки, резцы зубострогальные и другие, обрабатывают по передней поверхности. Детали типа пуансонов, матриц, ножей и т. п. упрочняют по образующим и торцовым (передним и задним) поверхностям. Электромеханическая обработка инструментальных, в том числе быстрорежущих сталей позволяет создать однородную структуру поверхностного слоя металла на глубину до 0,15 мм, с микротвердостью в 1,3—1,6 раза выше исходной. Стойкость упрочненных режущих инструментов, например, сверл, изготовленных режущих инструментов, например, сверл, изготовленных из быстрорежущих сталей типа Р9, в среднем в 1,7—2,1 раза выше, чем у инструментов, не подвергавшихся такому упрочнению.

При установлении режима упрочнения инструментальных сталей электромеханической пластической обработкой нужно учесть следующие особенности — необходимость нужно учесть следующие осооенности — неооходимость создания мелкодисперсной структуры поверхностного слоя, обладающей высокой твердостью и износостойкостью, сохранения этих свойств в процессе резания и при повторной заточке, доводке, шлифовании.

В результате электромеханической обработки в поверхностном слое закаленных инструментальных сталей происходят фазовые структурные превращения с образованием мелкодисперсной структуры, обладающей высокой

твердостью и отличающейся высокой отражающей способностью света («белый слой»). На основные характеристики упрочненного слоя влияют электрические, механические и временные параметры режима процесса упрочнения. С ростом силы тока возрастают микротвердость и толщина упрочненного слоя. Увеличение усилия пластического деформирования способствует росту количества дислокаций, и следовательно, созданию мелкодисперсной структуры в поверхностном слое. Дисперсность структуры определяет глубину фазовых превращений и увеличение микротвердости упрочненного слоя.

Вместе с тем в конкретных условиях обработки суще-

микротвердости упрочненного слоя. Вместе с тем в конкретных условиях обработки существует предельное значение силы тока (например, при упрочнении сверл диаметром 20 мм, изготовленных из стали Р9, при электромеханической обработке на режиме $P=900~\rm H,~U=6~\rm B,~v=10,2~m/muh,~S=0,2~mm/об$ предельное значение силы тока $I=1000~\rm A$). Превышение предельной силы тока сопровождается выделением такого количества теплоты, которое не успевает отводиться в тело детали. Так как быстрорежущие и подобные им высоколегированные стали обладают малой теплопроводностью, то в результате возникновения большого количества теплоты происходит отпуск закаленной стали и снижение характеристик упрочняемого изделия. Увеличение давления снижает электрическое сопротивление в зоне контакта, что уменьшает количество выделяемой теплоты. Оптимальное значение радиального усилия при электромеханической обработке пластическим

Увеличение давления снижает электрическое сопротивление в зоне контакта, что уменьшает количество выделяемой теплоты. Оптимальное значение радиального усилия при электромеханической обработке пластическим деформированием быстрорежущих сталей для основной номенклатуры инструментов и их типоразмеров находится в интервале 800-1100 Н. Время контакта определяется скоростью обработки. Продолжительность процесса влияет на количество теплоты, выделяющейся в зоне контакта инструмента с деталью. Превышение предельно допустимой продолжительности процесса вызывает появление избыточной теплоты, и, вследствие этого, возникает отпуск закаленной стали, ухудшение качества изделия. Критическую продолжительность процесса следует установить пробной обработкой. Так, для сверл, принятых выше в качестве примера, время обработки на указанных выше режимах, но при силе тока I= — 700 A не должно превышать 0,09 с.

СПИСОК ЛИТЕРАТУРЫ

1. Алимов Ю. А. Электроискровое легирование сталей твердосплавными электродами. — Технология и организация производства, 1978. № 3. с. 45.

2. Анельчик Д. Е., Полевой С. Н., Евдокимов В. Д. Ремонт: восстановление и испытание инструмента и технологической оснастки. Справочник. 2-е изд., перераб. и доп. Киев: Техника, 1981. 200 с.

3. Аршинов В. А., Алексеев Г. А. Резание металлов и режу-

щий инструмент. М.: Машиностроение, 1977. 440 с.

4. Аскинази Б. М. Упрочнение и восстановление деталей электромеханической обработкой. Л.: Машиностроение. Ленингр. отд-ние, 184 с.

5. **Бабичев А. П., Устинов В. П.** Оптимальные режимы вибрационной отделочно-упрочняющей обработки в бункерах. — Вестник машиностроения, 1975, № 8, с. 64.

6. Баженов М. Д., Байчман С. Г., Карпачев Д. Г. Твердые сплавы:

Справочник. М.: Металлургия, 1978. 184 с.

7. Барсов А. И. Технология инструментального производства. 4-е изд. М.: Машиностроение, 1975. 272 с.

8. **Бельский Е. Й.** Упрочнение литых и деформированных инструментальных сталей. Минск: Наука и техника, 1982. 280 с.

9. Бобровский В. А. Электродиффузионный износ инструмента.

М.: Машиностроение, 1970. 246 с.

10. Болтарович А. В. Технология нанесения химического никелькобальт-фосфорного покрытия. — Технология и организация производства, 1983, № 4, с. 36.

11. Болтарович А. В., Луценко С. В. Бесшламное антикоррозионное фосфатирование стальных деталей. — Технология и органи-

зация производства, 1981, № 2, с. 47.

12. Болтарович А. В., Луценко С. В. Совмещенный метод фосфатирования стальных деталей. — Технология и организация производства, 1981, № 1, с. 47.

13. **Болтарович А. В., Черняк Н. В.** Прогрессивная технология фосфатирования стальных деталей. — Технология и организация производства, 1982, № 2, с. 45.

14. Борисенко А. П., Дубко В. Д., Прокопец А. Л. Химикотермическая обработка режущего инструмента из быстрорежущей стали. — Технология и организация производства, 1977, № 3, с. 38.

15. **Бродянский А. П., Анельчишина Е. А., Бунда И. А.** Упрочнение инструмента на установке «Булат». — Технология и организация производства, 1977, № 2, с. 54—55.

- 16. **Быргазов В. А.** Электрополирование деталей из нержавеющих сталей. Технология и организация производства, 1978, № 3, с. 55.
- 17. Великих В. С., Гончаренко В. П., Картавцев В. С. Лазерное упрочнение инструментальных сталей. Технология и организация производства, 1976, № 11, с. 45.

18. Вилль В. И. Сварка металлов трением. Л.: Машиностроение Ленингр. отд-ние, 1970. 175 с.

19. Владимиров В. М. Изготовление штампов, пресс-форм и при-

способлений. 3-е изд. М.: Высш. школа, 1981. 431 с.

- 20. Воробьев С. А., Курьеров В. Н., Шевченко В. И. Применение режущего инструмента, упрочненного на установке «Булат». Технология и организация производства, 1982, № 3, с. 35.
- 21. Востриков Г. Г., Проскуркин Г. А. Пути повышения стойкости и долговечности инструмента и технологической оснастки. Тракторы и сельхозмашины, 1977, № 5, с. 39—41.

22. Геллер Ю. А. Инструментальные стали. М.: Металлургия,

1983. 526 c.

- 23. Геллер Ю. А. Современные инструментальные стали для режущих инструментов и их термическая обработка. М.: Машиностроение, 1972. 47 с.
- 24. Гладилин А. Н., Малевский Н. П. Справочник молодого инструментальщика по режущему инструменту. 3-е изд. М.: Высш. школа, 1973. 320 с.

25. Гольдберг Б. Удар холодом. — Изобретатель и рационализа-

тор, 1977, № 3, с. 32—33.

- 26. Гольдштейн М. И., Фарбер В. М. Дисперсионное упрочнение стали. М.: Металлургия, 1979. 208 с.
- 27. Горбунов Ю. А., Климухин Ю. И., Верхотуров А. Д. Механизированная установка для электроискрового легирования режущего инструмента. — Технология и организация производства, 1980, № 1, с. 40.
- 28. Горохов В. А. Отделка жаропрочных сплавов поверхностным пластическим деформированием. Технология и организация производства, 1977, № 3, с. 24.
- 29. Грибенкин А. Г., Вахитова Н. М. Повышение стойкости режущего инструмента. Химическое и нефтяное машиностроение, 1977, № 8, с. 29—30.
- 30. Гринченко И. Г. Упрочнение деталей из жаропрочных и титановых сплавов. М.: Машиностроение, 1971. 120 с.
- 31. Гуляев А. П., Малинина К. А., Саверина С. М. Инструментальные стали: Справочник. М.: Машиностроение, 1975. 272 с.
- 32. Дибнер Л. Г. Развитие твердых смазок для покрытия инструмента. Режущие инструменты. Экспресс-информ., ВИНИТИ, 1980, № 4.
- 33. Жигалко Н. И. Проектирование и производство режущих

инструментов. 2-е изд. Минск: Вышейш. школа, 1975. 399 с.

34. Затуловский Д. М., Сафронов В. В. Электромеханическая обработка инструментальных сталей. — В кн.: Исследование процессов производства и проектирование изделий машиностроения. Орелз Приокское кн. изд-во, 1978.

35. Изготовление прессово-штампового инструмента, упрочненного_наплавкой/Ю. А. Алимов, Н. А. Падун, В. А. Стражников, Н. Е. Скопенко. — Технология и организация производства, 1981. № 3, c. 33.

36. Инструментальные стали/Л. А. Позняк, С. И. Тишаев,

Ю. М. Скрыпченко и др. М.: Металлургия, 1980. 244 с.

37. Исследование износостойкости быстрорежущей стали после карбонитрации/Б. Г. Колмаков, Д. А. Прокошкин, В. Г. Грицай и др. — В кн.: Химико-термическая обработка металлов и сплавов. Минск: Вышейш. школа, 1977, с. 196—197.

38. Қадкевич О. В. Низкотемпературное фосфатирование деталей из углеродистых сталей. — Химическое и нефтяное машиностроение.

1977, № 12, c. 33.

- 39. Каледин Б. А., Чепа П. А. Повышение долговечности деталей поверхностным деформированием. Минск: Наука и техника, 1974. 231 c.
- 40. Каменичный И. С. Пособие термисту инструментального цеха. Киев: Техника, 1982. 135 с.

41. Киберев Г. Н., Богодухов С. П. Оптимизация режимов термической обработки сверл из стали Р6М5К5. — Технология и организа-

ция производства, 1976, № 12, с. 37—39.

- 42. Коваленко В. С., Головко Л. Ф., Забелин В. А. Повышение износостойкости металлорежущих инструментов с помощью лазерного излучения. — Технология и организация производства, 1982 № 2, c. 49.
- 43. Коваленко В. С., Приходько Н. И., Стрижок А. И. Поверхностное упрочнение деталей с помощью лазера. — Технология и организация производства, 1975, № 7, с. 47.
- 44. Кокора А. Н., Зулаев В. Б., Коряев Е. Н. Лазерное поверхностное упрочнение деталей оборудования, инструмента. — Электрофизические и электрохимические методы обработки материалов. 1978, c. 127—135.

45. Корсанов В. Д. Справочник мастера по штампам. М.: Машино-

строение. Ленингр. отд-ние, 1972. 191 с.

46. Котомина А. А., Шарлай А. Э. Новые защитные покрытия для крепежных деталей в морской атмосфере. — Технология и организация производства, 1981, № 3, с. 51.

47. Лившиц М. И., Харламов Ю. А. Повышение стойкости матрицы гибочного штампа детонационно-газовым напылением. — Технология

и организация производства, 1980, № 2, с. 32. 48. **Лоскутов В. Ф.**, **Х**ижняк **В. Г.**, **П**альщин **Г. И**. Нанесение карбида циркония на поверхность сплавов Т15 K6 и ВК8. — Технология и организация производства, 1979. № 3, с. 30.

49. Лошак М. Г. Упрочнение твердых сплавов. Киев: Наукова

думка, 1977. 147 с.

50. Мартынов И. Н., Руденко И. А. Установка для упрочнения

инструмента. — Машиностроитель, 1980, № 10, с. 24—25.

51. Материалы и методы упрочнения для инструмента полугорячего выдавливания стальных поковок/А. М. Рогалев, А. П. Штаков, А. С. Крыжановский, Т. И. Зенченко. — В кн.: Поверхностное упрочнение деталей и штампов кузнечно-прессовых машин. Воронеж: 1979, c. 76—96.

52. Муханов И. И., Синдеев В. И. Упрочняюще-чистовая обработка стальных деталей лучом лазера и ультразвуковым инструментом. — В кн.: Новые методы упрочнения и обработки металлов. Новосибирск: НЭТИ, 1979. 218 с.

53. Наплавка ножей измельчителей полимерных материалов/ А. П. Чистяков, Ю. Д. Мышко, В. Г. Нечипоренко, С. В. Погорельский. — Химическое и нефтяное машиностроение, 1977, № 8, с. 28.

- 54. Настасюк И. Г., Глазов Ю. Г. Повышение стойкости инструмента электроискровым легированием. — Технология и организация производства, 1978, № 3, с. 49—50.
- 55. Определение режимов лазерной термообработки инструментальных сталей/В. С. Великих, В. П. Гончаренко, В. С. Картавцев и др. — Технология и организация производства, 1979, № 1, с. 32.
- 56. Павленко В. Ф. Повышение стойкости пресс-форм путем нанесения вольфрамоникелевого покрытия. — Технология и организация производства, 1983, № 2.
- 57. Павловская К. К., Романенко Л. Ф. Перспективы замены цианистых электролитов бесцианистыми. — Технология и организация производства, 1974, № 6.
- 58. Папшев Д. Д., Пронин А. М. Влияние соотношения технологических факторов на степень упрочнения при обработке методами поверхностного пластического деформирования. — В кн.: Новые методы упрочнения и обработки металлов. Новосибирск: НЭТИ, 1979. 218 c.
- 59. Папшев Д. Д., Пронин А. М. Фрикционно-контактная усталость поверхностей при обработке методами поверхностного пластического деформирования: Тезисы докладов Всесоюзной научной конференции «Теория трения, износа и смазки». Ч. III. Смазочное действие. Контактные задачи при трении. Ташкент, 1975.

60. Папшев Д. Д., Човнык Л. Н., Маслова Л. Э. Повышение износостойкости режущего инструмента модифицированием поверхностного слоя с упрочнением. — В кн.: Новые методы упрочнения и обра-

ботки металлов. Новосибирск: НЭТИ, 1979. 218 с. 61. Певзнер В. Х., Комисаренко Р. И. Упрочнение инструмента плазменным напылением. — Технология и организация производства, 1976, № 11, c. 48-49.

62. Пемехов Г. К., Перпери М. М. Повышение стойкости инструмента и техоснастки электроискровым легированием. — Технология и организация производства, 1978, № 3, с. 51—52.

61. Перняк В. Ф., Шаров А. Д., Голубец В. М. Электроэрозионное упрочнение ковочных штампов. — Технология и организация производства, 1974, № 1, с. 49.

64. Повышение износостойкости режущего инструмента из стали Р6М5/М. С. Борушко, В. Н. Барков, В. М. Береснев, С. А. Тихонов. — Технология и организация производства, 1978, № 2.

65. Повышение износостойкости штампов методом электроискрового упрочнения/В. И. Андреев, Н. И. Беда, Б. И. Гинзбург и др. —

Технология и организация производства, 1974, № 7, с. 53.

66. Повышение стойкости инструмента вакуумным напылением/ Г. П. Богачев, В. П. Гончаренко, А. Й. Маслов, А. Т. Суслов. — Технология и организация производства, 1976, № 11, с. 47—48.

67. Полевой С. Н., Евдокимов В. Д. Обработка инструментальных

материалов. Киев: Техника, 1980. 150 с.

68. Применение лазерной закалки для поверхностного упрочнения инструментальных сталей/Е. В. Бративник, В. С. Великих, В. С. Картавцев, А. И. Маслов. — Технология и организация производства, 1980, № 1, с. 42.

69. Редько С. Г., Басков Л. В., Герасимов А. А. Повышение стойкости быстрорежущего инструмента. — Станки и инструмент, 1975,

№ 1, c. 24.

- 70. Режущие свойства инструментов с износостойкими покрытиями и их применение в автостроении/П. А. Брахман, А. И. Григоров, М. Д. Киселев, Ю. А. Лопухин. Технология автомобилестроения, 1980, № 1, с. 10—13.
- 71. Романенко А. А., Яценко Н. Н., Кудря Г. А. Особенности технологии электроискрового упрочнения инструмента. Технология и организация производства, 1977, № 3, с. 52—54.

72. Савчак К. А., Некрасов В. М. Повышение износостойкости штампов холодного деформирования. — Технология и организация

производства, 1979, № 4, с. 31.

- 73. Сан Е. Ф. Применение способа местного хромирования при ремонте оборудования. Технология и организация производства, 1982, N 4, c. 52.
- 74. Смольников Е. А., Ткаченко В. И. Влияние обработки в жидком азоте на стойкость режущего инструмента. — Станки и инструмент, 1980, № 6, с. 22—24.
- 75. Смольников Е. А., Шевченко А. Н., Ткаченко В. И. Особенности термической обработки прецизионного зуборезного инструмента. Станки и инструмент, 1977, № 4, с. 27—29.

76. Тарасов А. Н. Химико-термическая обработка шлицевых и отрезных фрез из быстрорежущих сталей. — Технология и органи-

зация производства, 1978, № 2, с. 41.

- 77. **Тимошенко В. А., Иванов В. И., Коваль Н. П.** Оптимизация параметров поверхностного слоя инструмента, формируемого электрочискровым легированием. Электрофизическая обработка металлов, 1979, № 5, с. 82.
- 78. Ткаченко Ю. Г., Парканский Н. Я., Юрченко Д. З. Износостой-кость покрытий, полученных электроискровым нанесением порошков в электрическом поле. Электронная обработка материалов, 1980, № 2, с. 31—33.
- 79. **У**величение долговечности ведущих дисков гидрокоробки автобуса ЛАЗ/В. Ф. Булич, Н. Я. Шевченко, А. И. Величко, З. В. Лисогорова. Технология и организация производства, 1978, № 3, с. 39.
- 80. Упрочнение инструментальных сталей на лазерной установке «Квант-18»/Е. Ц. Браславский, В. П. Гончаренко, В. С. Картавцев и др. Технология и организация производства, 1983, № 1, с. 51.
- 81. Федюкин В. Ф., Труш Н. А., Дмитрыев П. А. Применение электроискрового упрочнения инструментов из быстрорежущих сталей. Технология и организация производства, 1975, № 9, с. 54.
- 82. Фиргер И. В. Термическая обработка сплавов. Л.: Машиностроение. Ленингр. отд-ние, 1982. 304 с.

83. Футорянский Ю. В. Эффективные методы упрочнения стальных

изделий. Куйбышевск. кн. изд-во, 1978. 88 с.

84. Хромирование шеек крупногабаритных валов/Г. С. Волкова, Э. Н. Картошкин, К. М. Гланцева, В. Е. Хабенко. — Технология и организация производства, 1977. № 3, с. 58.

85. Шельвинский Г. И., Клинов А. А. Гидродробеструйное упрочнение штампов холодной штамповки. — В кн.: Поверхностное упроч-

нение деталей машин и инструментов. Куйбышев, 1976.

86. Шилов П. М., Руденко В. А., Банатов А. П. Упрочнение стальных деталей при электромагнитной обработке. — Технология

и организация производства, 1980, № 4, с. 45.

87. Электрохимическое полирование изделий из инструментальной стали/В. В. Орехова, Ф. К. Андрющенко, А. Г. Мозговая и др. — Техпология и организация производства, 1979, № 1.

88. Юдицкий А. И., Дорофеева А. И. Повышение стойкости металлорежущего инструмента из быстрорежущей стали. - Технология

и организация производства, 1976, № 9, с. 38-39.

89. Юрасов С. А., Кариман М. Г., Соколова Н. Х. Износостойкое диффузионное покрытие на инструментальных сталях. - В кн.: Химико-термическая обработка металлов и сплавов. Минск: 1977, c. 184—185.

90. Юртенсон А. А. Азотирование в жидких средах. — Металло-

ведение и термическая обработка, 1974, № 3, с. 42.

ПРЕДМЕТНЫЙ УКАЗАТЕЛЬ

Азотирование — Режимы 116, 117, 120, 134, 135 — Сущность процесса 114, 121, 125, 133

— газовое 115, 120

 ионное в тлеющем разряде 133

Алитирование — Режимы 179, 181 — Составы флюсов 181 — Сущность процесса 178

Борирование — Методы 137 — Назначение 136 — Режимы 137,

— Составы насыщающих сред 137, 140—145 — Сущность пропесса 136

безэлектролизное

— газовое 137, 144— жидкостное 137, 142

— пастами 145

порошками 137, 138

— электролизное 137

Бороалитирование — Режимы 153, 154 — Составы среды 154 Боромеднение — Режимы 153 — Составы среды 154

Боросульфидирование — Режимы 146 — Составы среды 146 Борохромирование — Назначение процесса 146 - Режимы 147 — Составы среды 146, 148 – электролизное 148 – Режимы 149

Бороцирконирование — Назначение процесса 154 — Режимы 155 — Составы среды 154, 155

Ванадирование — Назначение

процесса 164 — Режимы 164. 165, 167 — Составы среды 164 — Вибрационно-упрочняющая обработка — Назначение процесса 289, 94 — Режимы 290—293 твердых сплавов 293, 294

Гидроабразивное упрочнение — Назначение процесса 287 — Режимы 288 — Составы среды 288 инструментальных сталей 288, 289

твердых сплавов 287

Диффузионное насыщение по⊲ верхности соединения — См. также под названием каждого метода, например: Азотирование, Борирование и др.

— азота 114

— бора 136 — сложными

— хрома 155

3

Закалка

— в двух жидких средах 24 изотермическая 14, 22

— инструментальных **сталей 4**5

— несквозная 24 — полная 14

— светлая 25

 с непрерывным охлаждением 14

с обработкой холодом 26

 с ограниченным пребыванием в охлаждающей среде 24

— с подстуживанием 15

с самоотпуском 24ступенчатая 14, 23

И

Ионно-плазменная обработка — Многослойные покрытия 273 — Сущность процесса 268, 275 — осаждение из газовой фазы при термическом испарении 269 — осаждение способом катоднонной бомбардировки в вакууме 274

K

Карбидизация сложнолегирующими элементами

- карбованадийтитанирование
 166
- карбониобирование 171
- карбонитрирование 109
 Контроль
- качества термической обработки 68
- люминесцентный 68
- сплошности 68
- твердости 68
- тепловой 67
- ультразвуковой 69

Криогенные методы упрочняю**щей обработки** — Влияние элементов 74 — Восстановление размеров инструментов 80 — Источтемператур ники криогенных 83 — Приборы для измерения криогенных температур 83 — Режимы 78 — Свойства после обработки 74 — Стабилизация размеров и формы деталей 80 — Структурные превращения после криогенной обработки Технологические процессы 75

Л

Лазерная закалка — Назначение процесса 231 — Режимы 232—237 — Технологические рекомендации 232, 233, 234, 235 — Управление процессом 234 Лазерно-криогенная обработка—Назначение процесса 237 — Технологические рекомендации 237, 238

Лазерно-ультразвуковая обработка — Назначение процесса 238 — Режимы 239 — Технологические рекомендации 238, 239 Лазерное упрочнение стеллита — Назначение процесса 235, 236— Режимы 236, 237 — Технологические рекомендации 236, 237

M

Метод упрочнения воздействием магнитного поля — Назначение процесса 241 — Режимы 243, 244 — Сущность процесса 239—241 — Технологические рекомендации 241—243

Н

Наплавка

— легирующими металлами — Назначение процесса 244, 248, 251 — Режимы 246, 247, 250 — Состав наплавленного металла 251 — Технологические рекомендации 244, 245, 247, 248 — твердыми сплавами 252

Напыление порошками

— детонационное — Назначение процесса 255 — Режимы 255 — Сущность процесса 255 — плазменное — Назначение процесса 256 — Режимы 256 — Технологические рекомендации 257

Ниобирование — Назначение 174 — Режимы 174 Нитроцементация

- в твердых смесях 106
- высокотемпературная 102
- газовая 99, 104
- низкотемпературная 99
- пастами 106

Нормализация — Сущность процесса 13 — Температурный режим 13

n

Обработка паром инструментов из быстрорежущих сталей

- Назначение процесса 184
- Режимы 184
- Состав среды 184

 Технологические рекомендапии 184

Отжиг

— диффузионный 11

— изотермический 10

инструментальных сталей 9

— на зернистый перлит 10

— неполный 10

низкотемпературный

— полный 9

— рекристаллизационный 9

Отпуск — Виды процесса 40 — Назначение процесса 39 — Режимы 15, 45 — Технологические рекомендации 40—42, 44 — Цвета побежалости 41

Очистка деталей после термической обработки

 абразивными зернами 69, 71 металлическим песком 69

— ультразвуком 70

П

Правка после термической обработки — Способы правки 65

— в горячем состоянии 66

— в холодном состоянии 67

— с подогревом 67

 в штампах и приспособлениях 66

C

Силицирование — Назначение процесса 182 — Режимы 182 — Составы среды 182 — Технологические рекомендации 183

Старение — Назначение процесса 46 — Режимы 44 — Соста-

вы среды 44

Сульфидирование — Назначение процесса 175. 176 — Режимы 175 — Составы среды 175 Технологические рекомендации 175

Сульфоцианирование — Назначение процесса 176 — Режимы 178 — Составы среды 177 — Технологические рекомендации 177, 178

Термическая обработка — Техно-

логические рекомендации 47-

 в контролируемых атмосфеpax 63

— зенкеров 49

— калибров 56

— метчиков 49

— плашек 54

— протяжек 55

— резцов из быстрорежущих сталей 51

— сверл 47

— шаблонов 56

— штампов 57

Титаноалитирование — Назначение процесса 182 — Режимы 181 — Составы среды 181

Улучшение — Назначение процесса 44 — Режимы 46 — Texнологические рекомендации 46 Упрочнение металлов — Классификация методов 5—7 — См. также под названием каждого метода, например: Азотирование, Борирование и др.

Упрочнение

 пластическим деформированием — Назначение процесса 278 — Расчет усилий и давления на деформируемый элемент 281, 283 — Режимы 280—285 Твердость упрочненной поверхности 279

— роликами 282

— чеканкой 288

Химическое никельборировапие — Назначение процесса 219 — Режимы 220 — Составы растворов 219, 220 — Технологические рекомендации 219,

— никелирование — Назначение процесса 225, 226 — Режим 225, 226 — Составы растворов 224, 225 — Технологические рекомендации 225, 226 — Улучшение с использованием твердых наполнителей, вводимых в никелевое покрытие 225

— никель-кобальт-фосфатирование — Назначение процесса 220 — Определение качества 223, 224 — Режимы 220, 221, 225 — Составы растворов 220—222, 224 — Технологические рекомендации 220—223 — никель-фосфатирование — Назначение процесса 218, 219 — Режимы 218 — Составы растворов 218 — Технологические рекомендации 218

— молибденирование — Назначение процесса 224 — Режим 224 — Составы растворов 224 — Технологические рекомендации 224

— твердыми пастами 228 — Назначение процесса 238 — Составы паст 228—230 — Стой-кость инструментов после молибденирования пастами 229 — Технологические рекомендации 229—231

 фосфатирование — Назначение процесса 212 — Подготовка поверхности 212 — Режимы 213, 214 - Составы растворов и технологических сред 216— Технологические рекомендации 212-215, 217 - Технологический процесс одновременного обезжиривания, травления и фосфатирования 216 Хромоалитирование — Назначение процесса 163 — Режимы 163 — Составы рабочих смесей 156, 157, 163 — Технологические рекомендации 157

Хромирование диффузионное — Назначение процесса 155, 156 — Режимы 158, 159 — Составы рабочих смесей 156, 158, 159 — Технологические рекомендации 157—159

в вакууме 160

— пастами 160— в порошках 156

Хромосилицирование — Назначение процесса 161 — Режимы 161 — Состав рабочей смеси

161 — Технологические рекомендации 161

Хромотитанирование — Назначение процесса 160 — Режимы 160, 161 — Состав рабочей смеси 160, 161 — Технологические рекомендации 160, 161

П

Цементация — Режимы, составы рабочих смесей, технологические рекомендации 85, 93—95

— газовая 95

— в жидкой среде 94

— пастами 93

— твердыми карбюризаторами 85

Цианирование — Контроль качества 133 — Режимы 130, 131 — Составы рабочих сред 129

— высокотемпературное 128— в пасте 133

— в твердых смесях 133

низкотемпературное 126среднетемпературное 128

Циркосилицирование — Назначение процесса 169 — Режимы 169, 170 — Составы среды 169—171 — Технологические рекомендации 169—172

Циркотитанирование — Назначение процесса 168 — Режимы 169 — Составы рабочей среды 169 — Технологические рекомендации 168, 169

Э

Электроискровая обработка — Назначение процесса 259, 260 — Режимы 264—266 — Технологические рекомендации 261—265 — Электроды 267, 268
Электролитическое биникелирование — Назначение процесса 202, 203 — Режимы 202, 203 — Составы рабочей среды 202, 203 — Технологические рекомендации 203

кадмирование — Назначение процесса 200 — Режимы 200 — Составы рабочей среды 200, 201 — меднение — Режимы 202 —

Составы рабочей среды 202 — Технологические рекомендации 202

- никелирование Назначение процесса 196—198 Режимы 196—198 Составы рабочих сред 196—198 Технологические рекомендации 196, 197, 199
- полирование Назначение процесса 207 Режимы 208, 210, 212 Составы рабочих сред 208—210 Технологические рекомендации 207—210 Устранение дефектов 211
- хромирование Назначение процесса 188 Режимы 189—192, 195 Составы рабочих смесей 188—191, 195 Технологические рекомендации 188—196

цианирование — Режим
 200 — Состав рабочей среды
 200 — Технологические рекомендации

— цинкование — Режим 201, 202 — Состав рабочей среды 201 Электромеханическая пластическая упрочняющая обработка — Назначение процесса 298 — Расчет 301, 303 — Режимы 299, 302, 307, 308

— твердость 303

 пластинчатыми инструментами 303—305

— роликами 305, 306

Электрофоретическое упрочнение — Назначение процесса 203, 204 — Режимы 204, 206 — Составы рабочих сред 204, 205— Технологические рекомендации 204—206



Сталин Наумович Полевой, Вадим Дмитриевич Евдокимов

УПРОЧНЕНИЕ МЕТАЛЛОВ

Редактор Е. В. Медведева Художественный редактор С. С. Водчиц Технический редактор Н. М. Харитонова Корректоры А. П. Озерова и О. Е. Мишина

ИБ № 4627

Сдано в набор 15.04.85. Подписано в печать 02.12.85. Т-22903. Формат $84 \times 108^{1}/_{32}$. Бумага типографская \Re 1. Гарнитура литературная. Печать высокая. Усл. печ. л. 16.8. Усл. кр.-отт. 16.8. Уч.-изд. л. 18.15. Тираж 24 500 экз. Заказ 127. Цена 1 р. 30 к.

Ордена Трудового Красного Знамени издательство «Машиностроение», 107076, Москва, Стромынский пер., 4.

Ленинградская типография № 6 ордена Трудового Красного Знамени Ленинградского объединения «Техническая книга» им. Евгении Соколовой Союзполиграфпрома при Государственном комитете СССР по делам издательств, полиграфии и книжной торговли. 193144, г. Ленинград, ул. Моисеенко, 10.